MITSUBISHI DENKI GIHO 三菱電機技報



Vol.57 No.4

工業用計算機システム 《MELCOM 350-60》特集





三菱電機技報 Vol. 57 No. 4 1983

工業用計算機システム《MELCOM 350-60》特集

目 次

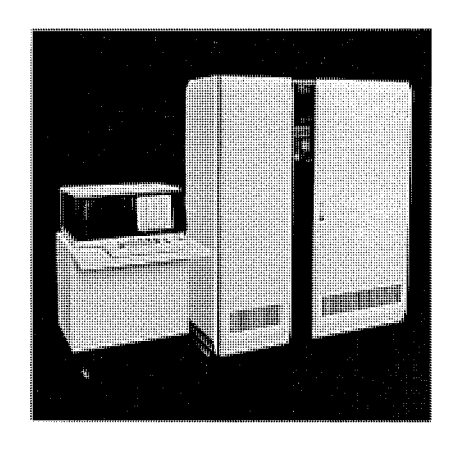
特 集 論 文	
工業用計算機《MELCOM 350-60》モデル500のハードウェアシステム 朱雀二朗・黒田健児・下間芳樹・科野順蔵・渡辺信也	1
工業用計算機《MELCOM 350-60》の基本ソフトウェア・・・・・・・・・・・・・・・・・・・・・・・・・・・・・・・・・・・・	5
工業用計算機《MELCOM 350-60》のソフトウェア開発支援システム 加藤幸男・小林 博・竹田栄作・David.G.BLIESNER・大久保忠雄	10
工業用データウェイシステム《MDWS-60》 松本正弘・那須昭吾・池山茂樹・三野容志郎	15
普通論文	
原子炉核計装用高温核分裂計数管 - 電離箱の開発 · · · · · · 友田利正・深草伸二・山下進一・若山直昭・山岸秀志	21
韓国KETRI (電気通信研究所) 納め大容量短絡試験設備・・・・・・・・・・・・・・・・・・・・・・・・・・・・・・・・・・・・	26
韓国KETRI (電気通信研究所) 納め6,000MVA短絡発電機・・・・・・・・・・・・・・・・・・・・・・・・・・・・・・・・・・・・	31
24kV及び36kV, 40kA大容量ガス遮断器と閉鎖配電盤······ 堤 透・片山 明・古林 昇・長谷川 裕	37
インバータ駆動時の電動機の機械的諸特性····· 竹下光夫・佐藤公夫・柳沢公人・清水正義	43
《MELCOM-COSMO 900 II》 の高速ベクトル演算処理システム 益田嘉直・森 伯郎・藤掛 遵・佐々木良男	48
《MELCOM 80》 ビ ジ ネ ス グラフ シ ス テ ム · · · · · · · · · · · · · · · · · ·	53
ソフトウェア品質評価支援システム"SQUARE" 中山俊英・佐伯正夫	57
高出力GaAs FETのパルス動作特性······ 大橋光雄・酒寄隆雄・鈴木 武・西岡保彦・斎藤日出夫	61
MASS付カーラジオ RX-240SY形····································	64
特許と新案	70
アナログーディジタル変換装置	
中継増幅器を用いた通信装置	
スポットライト	
三相35kVAモールド式アモルファス変圧器・・・・・・・・・・・・・・・・・・・・・・・・・・・・・・・・・・・・	
三菱音声合成学習機《さんすうめきめき》,《えいごめきめき》	
《エレドラヒーポン霧ヶ峰》MSHEシリーズ 三菱オーブンレンジRO-1000形,電子レンジRR-50形(表	

表紙

32ビット工業用計算機《MELCOM 350-60》

この計算機は、工業用計算機としては最上位の32ビットアーキテクチャを採用した高速大容量のマシンであり、昭和57年5月より発売を開始した。

最近のシステムの大規模化、高度化などに対応し、加算時間、95ナノ秒と100ナノ秒を切る高速性と、最大実装記憶容量16Mバイトを実現し、基本言語として構造化FORTRAN77を採用し、OSを意識せずプログラミングが可能な方式をとるなど、使いやすさを徹底させて開発した最新鋭の計算機システムである。更に各種の高信頼化機構を付加し、工業用として、電力、鉄鋼などの産業、交通、水処理など広い分野への適用を計画している。



アブストラクト

工業用計算機《MELCOM 350-60》モデル500の ハードウェアシステム

朱雀二朗·黒田健児·下間芳樹·科野順蔵·渡辺信也

三菱電機技報 Vol.57·No.4·P1~4

32ビット工業用の計算機《MELCOM 350-60》モデル500を開発した。この計算機は《MELCOM 350シリーズ》の最上位機種であり、160Kバイトのキャッシュ、5段のパイプライン制御を使用し95nsの加算速度と5μsの正弦関数の計算速度をもち、今までの《MELCOM 350-50/A2500》に比べて2.5倍の性能向上をもつ。また16Mバイトの主メモリは、プログラム/データの常駐化を促進しシステムの高速化、単純化が可能となった。

原子炉核計装用高温核分裂計数管一電離箱の開発 友田利正・深草伸二・山下進一・若山直昭・山岸秀志

三菱電機技報 Vol.57·No.4·P21~25

高速炉、高温ガス炉など新型炉の核計装に高温でも動作する中性子検出器が必要とされている。我々は、高性能の動作特性と優れた耐熱性を両立させた核分裂計数管−電離箱の開発に成功した。これは原子炉の起動領域から出力領域までの広い計測範囲をカバーできるものであり、温度依存性もなく600℃で長期間の使用が可能である。また信号パルス幅は、約100nsと狭いため106R/hの高いガンマ線環境下でも支障なく中性子の計測ができる。

工業用計算機《MELCOM 350-60》の基本ソフトウェア 小川義高·菊竹秀夫·野村晃男·大原 彰·池山茂樹

三菱電機技報 Vol.57·No.4·P5~9

32ビット工業用計算機《MELCOM 350-60》の基本ソフトウェアは、リアルタイム性能の向上、ソフトウェアの信頼性向上及び使いやすさを目的として開発した。

本稿では基本ソフトウェアの体系と中核となるスーパバイザとファイルシステム、基本応用ソフトウェアパッケージとしてマンマシンシステム、センサベース管理システム、通信回線管理システム、分散制御システムについてその特長と高速化/高信頼化手法について述べる。

韓国KETRI (電気通信研究所)納め大容量短絡試験設備 辺 勝陽・林 重雄・合田啓治・斎藤博士・斎藤伸朗

三菱電機技報 Vol.57·No.4·P26~30

韓国KETRIへ納入した大容量短絡試験設備を紹介する。短絡½サイクル後6,000MVAの短絡発電機を有しており、試験電流は50kAまで、電圧は直接試験で3.6~25.8kV、合成試験で全点試験34.5~170kV、ユニット試験230~362kVまで可能である。三菱電機(株は計測装置を含む全設備を納入した。

この設備は韓国の国家的プロジェクトとして、今後の同国電気機器産業の発展に大きく貢献することが期待されている。

工業用計算機《MELCOM 350-60》のソフトウェア開 発支援ジステム

加藤幸男·小林 博·竹田栄作·David.G.BLIESNER·大久保忠雄 三菱電機技報 Vol.57·No.4·P10~14

32ビット工業用計算機《MELCOM 350-60》のソフトウェア開発/保守を支援するシステムは、ソフトウェアの生産性向上、信頼性向上を図るものである。システムの計画段階から製作、調整、改造に至るライフサイクルのサポートを目指し、エディタ、コンパイラはもとよりデータ/ファイル定義、CRT画面作成、エラー解析、性能評価、バージョン管理、シミュレート、ホストプロセッシングなどのツールを採用している。

韓国KETRI(電気通信研究所)納め6,000MVA短絡発電機

田中正昭·田熊良行·河相成孝

三菱電機技報 Vol.57·No.4·P31~36

韓国KETRI向けに短絡発電機を製作し、1982年9月に現地性能試験を終了した。本機は短絡容量6,000MVA(三相突発短絡½サイクル後、対称分)と世界でも最大級の短絡発電機である。本機の設計・製作に当たっては既に実績のある4極、円筒回転子、空気冷却方式をベースに最新のタービン発電機製作技術を適用した。

本稿では短絡発電機及び補機 (潤滑油系統など) の特性, 構造の概要 並びに工場試験・現地試験結果について報告する。

工業用データウェイシステム《MDWS-60》

松本正弘·那須昭吾·池山茂樹·三野容志郎

三菱電機技報 Vol.57·No.4·P15~18

工業用計算機システムの分散化指向に対する工業用の通信システムとして、従来のデータウェイとは異なった方式のデータウェイを開発した。このデータウェイは、共有メモリの概念を採用し、他の計算機のメモリを直接読出し、書込みできることや、通信装置のアドレスをプログラム設定できるなどの特長を有し、今後の分散制御システムの有力なツールとなるものである。

24kV及び36kV, 40kA大容量ガス遮断器と閉鎖配電盤 堤 透・片山 明・古林 昇・長谷川 裕

三菱電機技報 Vol.57·No.4·P37~42

発変電設備の大容量化に伴い,特別高圧領域の開閉装置も大容量化の要求が増えつつある。これらの需要にこたえるべく定格電圧24kV及び36kV,定格遮断電流40kAのガス遮断器と収納閉鎖配電盤を開発した。この遮断器は単圧式パッファ形消弧室の最適設計により,従来の空気遮断器に比べ飛躍的な小形経量化に成功し,収納閉鎖配電盤自体の小形化が図れ、信頼性,安全性の向上に加えて省スペース,保守の省力化などのニーズに適合するものである。

Abstracts

Mitsubishi Denki Giho: Vol. 57, No. 4, pp. 21~25 (1983)

The Development of High-Temperature Fission-Counter Chambers for Nuclear-Reactor Control and Protection

by Toshimasa Tomoda. Shinji Fukakusa, Shin'ichi Yamashita, Naoaki Wakayama & Hideshi Yamagishi

The instrumentation for fast-breeder reactors, high-temperature gas reactors, and similar n-w reactors requires neutron detectors capable of operating at high temperatures. The authors have succeeded in developing fission-counter chambers possessing both improved operating characteristics and high heat resistance. The measurement range of these chambers is wide enough to cover all reactor conditions from start-up to full power. Measurements using them show no temperature dependence, and the chambers can withstand long-term operation at temperatures up to 600°C. In addition, the narrow, 100ns pulse width enables neutron measurement to be performed under gamma-ray dosages of up to $10^6 R/h$.

Mitsubishi Denki Giho: Vol. 57, No. 4, pp. 1~4 (1983)

The MELCOM 350-60 Model 500 Industrial Computer System

by Jiro Sujaku, Kenji Kuroda, Yoshiki Shimotsuma, Junzo Shinano & Shinya Watanabe

The article describes the 32-bit MELCOM 350-60 Model 500 industrial computer recently developed by Mitsubishi Electric. The MELCOM 350-60, the top-of-the-line Series 350 computer, possesses a 160KB cache memory and uses a five-level pipeline system. Addition is performed in 95ns while sine calculations take 5 μ s, 2.5 times faster than its predecessor, the MELCOM 350-50 A2500. By making the program data resident in the 16MB main memory, system structure has been simplified, with a corresponding increase in speed.

Mitsubishi Denki Giho: Vol. 57, No. 4, pp. 26∼30 (1983)

High-Power Testing Facilities for KETRI

by Sung Bong Byon, Shigeo Hayashi, Keiji Goda, Hiroshi Saito & Shinro Saito

The article discusses the high-power testing facilities delivered to the Korea Electrotechnology and Telecommunications Research Institute (KETRI). The short-circuit generator can produce 6,000MVA one half-cycle after a short circuit, enabling test currents of up to 50kA to be used. The maximum voltages available are $3.6 \sim 25.8 \mathrm{kV}$ for direct tests, $34.5 \sim 170 \mathrm{kV}$ for full-pole synthetic tests, and $230 \sim 362 \mathrm{kV}$ for unit tests. The entire system, including instrumentation, was produced by Mitsubishi Electric. This equipment is expected to be of great value in South Korea's national-development project for the electrical-equipment-manufacturing industry.

Mitsubishi Denki Giho: Vol. 57, No. 4, pp. 5~9 (1983)

The Basic Software of the MELCOM 350-60 Industrial Computer

by Yoshitaka Ogawa, Hideo Kikutake, Akio Nomura, Akira Ohara & Shigeki Ikeyama

Software for the 32-bit MELCOM 350-60 industrial computer was developed with the aim of improving real-time performance, increasing software reliability, and simplifying usage. The article introduces the main features of the software system and describes how speed and reliability were raised in the basic software organization comprised of the central supervisor the file system, and the semibasic software package consisting of the man-machine interface system, sensor-base management system, data-communications management system, and distributed-control system.

Mitsubishi Denki Giho: Vol. 57, No. 4, pp. $31\sim36$ (1983)

A 6,000MVA Short-Circuit Generator for KETRI

by Masaaki Tanaka, Yoshiyuki Takuma & Shigetaka Kawai

In September 1982, after producing a short-circuit generator for the Korea Electrotechnology and Telecommunications Research Institute (KETRI), the authors conducted on-site performance tests. The generator possesses a 6,000MVA short-circuit capacity, (symmetrical component one half-cycle after a 3-phase sudden short-circuit), which places it among the largest in the world. Generator design and construction were based on a proven air-cooled, 4-pole, cylindrical-rotor design produced using the newest turbine-generator-manufacturing technology. The article discusses the characteristics and construction of the generator and its lubrication system and reports on the results of factory and field testing.

Mitsubishi Denki Giho: Vol. 57, No. 4, pp. $10{\sim}14$ (1983)

The Software-Development System for the MELCOM 350-60 Industrial Computer

by Sachio Kato, Hiroshi Kobayashi, Eisaku Takeda, David G. Bliesner & Tadao Okubo

The development of a software-development and maintenance-support system for the 32-bit MELCOM 350-60 has increased the system's software productivity and reliability. This system is aimed at providing support over the full software life cycle—from the system-planning stage through production, modification, and subsequent upgrading. Based on an editor and a compiler, the software-development system includes tools for data/file definition, CRT display generation, error analysis, performance evaluation, version management, simulation, host processing, and other functions.

Mitsubishi Denki Giho : Vol. 57, No. 4, pp. $37{\sim}42$ (1983)

24kV and 36kV, 40kA Large-Capacity SF₆-Gas Circuit Breakers and Metalclad Switchgear

by Toru Tsutsumi, Akira Katayama. Noboru Kobayashi & Hiroshi Hasegawa

Growth in power-plant and substation capacity has led to increasing requirements for large-capacity, medium-voltage-class switchgear. To meet these needs, Mitsubishi Electric has developed 24kV- and 36kV-rated gas circuit breakers and metalclad cubicles with a rated interrupting-current capacity of 40kA. By optimizing the design of a puffer-type (single-pressure) arcing chamber, a large reduction in size and weight has been achieved over conventional air-blast circuit breakers, cubicle size has been reduced, and reliability and safety improved. These advances have permitted the manufacture of circuit breakers and switchgear capable of meeting current needs for space-saving and reduced-maintenance requirements.

Mitsubishi Denki Giho: Vol. 57. No. 4, pp. 15~18 (1983)

The MDWS-60 Industrial Dataway System

by Masahiro Matsumoto, Shogo Nasu, Shigeki Ikeyama & Yojiro Mino

A novel dataway system has been developed as a communications system for industrial distributed computer systems. Based on the concept of shared memory, this dataway system permits direct read and write operations on the memory of other computer systems, programmed setting of communications-unit addresses, and other features, making it a powerful tool for distributed control systems.

アブストラクト

インバータ駆動時の電動機の機械的諸特性

竹下光夫·佐藤公夫·柳沢公人·清水正義

三菱電機技報 Vol.57·No.4·P43~47

高調波成分をもったひずみ波電圧,電流のインバータで小形誘導電動機 を駆動した場合の電動機の振動,騒音,損失による熱影響について解析 し,その実験結果を説明した。特に振動,騒音については時間高調波に よる電磁加振力を重点に,熱解析については損失の形態を明らかにし、 通風熱解析を例題をもって解説した。 ソフトウェア品質評価支援システム "SQUARE" 中山俊英・佐伯正夫

三菱電機技報 Vol.57·No.4·P57~60

フィールドでの故障に関する種々のデータから学びとった教訓・情報を、品質管理サイクルの中枢に位置する品質管理部門がその立場を生かして各作業段階へ適切にフィードバックしていくことは、ソフトウェア製品品質向上のための重要かつ効果的な施策である。"SQUARE"は、柔軟かつ多角的な集計・分析・レポート機能によってフィールド故障データベースに基づく品質向上施策を強力に支援するとともに管理業務の省力化、管理密度の向上を実現した。

《MELCOM-COSMO 900 II》の高速ベクトル演算処理 システム

益田嘉直·森 伯郎·藤掛 遵·佐々木良男

三菱電機技報 Vol.57·No.4·P48~52

科学技術計算の進展に伴い、高速ベクトル演算処理に対する要求が高まってきている。当社では汎用電子計算機《MELCOM-COSMO 900 II》に付加機構として内蔵アレー処理装置を開発し、併せて自動ベクトル化FORTRANコンパイラを作成した。これらによりベクトル計算や行列計算を容易に高速処理することができ、性能価格比の大幅な向上をみた。

本稿では、高速ベクトル演算処理システムの概要、特長及びコンパイラの方式、利用効果について紹介する。

高出力GaAs FETのパルス動作特性

大橋光雄・酒寄隆雄・鈴木 武・西岡保彦・斎藤日出夫

三菱電機技報 Vol.57·No.4·P61~63

現在開発中の6 GHz帯CW出力5 W以上の内部整合形高出力GaAs FET のパルス動作特性を検討した。ドライブ方式,素子構造,パルス条件などとパルス特性との関連及びCW特性との比較を行った。アップサイドダウン構造素子をドレインパルス動作させた場合,CW動作と比較して,直線電力利得1.2dB,出力電力3.4W,付加電力効率13%の特性向上があった。

《MELCOM 80》ビジネスグラフシステム

富沢研三·太田将夫·高橋真理·川上孝仁

三菱電機技報 Vol.57·No.4·P53~56

オフィスオートメーションの推進に伴い、その中核機器であるオフィスコンピュータから出力される情報も表形式のものから、イメージに訴えるグラフ化された資料へと広がってきている。《MELCOM 80》 日本語では標準のディスプレイやプリンタ装置に図形出力機能をもたせ、各種グラフを作成するビジネスグラフシステムを開発した。このシステムは日本語データ処理と図形処理とを隔合させ、簡単に美しい資料を出力できる特長がある。

MASS付カーラジオRX-240SY形

池田洋介•井上弼文•金森一憲

三菱電機技報 Vol.57·No.4·P64~67

電子同調式カーラジオにおいて、電波が弱くなると自動的に、より強く、かつ同一内容の放送局に切換わるMASS、及びワンタッチで電界強度の強い局5局をメモリし、その中の最も強い局から順次受信することのできるオートメモリ機能を開発した。

本稿は業界で初めての、この二つの機能が搭載された三菱自動車工業 (株)向けカーラジオRX-240SYについてその概要を述べる。

Abstracts

Mitsubishi Denki Giho: Vol. 57, No. 4, pp. 57~60 (1983)

SQUARE: A Software Quality-Control Support System

by Toshihide Nakayama & Masao Saeki

An effective policy for the improvement of software quality will necessarily incorporate a means of feeding back the lessons learned and the information acquired from failures in the field to the software quality-control department. This department, with its central role in the quality-control cycle, can then ensure that the information is incorporated appropriately at each stage of the development process. The Mitsubishi SQUARE (Software Quality and Reliability Evaluater) system provides flexible, multipurpose summarizing, analytical, and reporting functions to achieve improved software quality control by using a database for on-site failures. It also offers labor savings and enables more efficient management.

Mitsubishi Denki Giho: Vol. 57, No. 4, pp. 43~47 (1983)

The Mechanical Characteristics of Industrial Motors Driven by an Inverter

by Mitsuo Takeshita, Kimio Sato, Kimito Yanagisawa & Masayoshi Shimizu

When a small induction motor is driven by an inverter, the nonsinusoidal voltage and current components in the form of highfrequency harmonics causes motor vibration, noise, and power loss. The article discusses the testing and analysis of these factors and, in particular, clarifies the noise-loss mechanism through thermal analysis of magnetomotive forces caused by time-dependent harmonics. These findings are illustrated by examples of ventilation and thermal analysis of small induction motors.

Mitsubishi Denki Giho: Vol. 57, No. 4, pp. $61\sim63$ (1983) Pulsed Operation of High-Power GaAs FETs

by Mitsuo Ohashi, Takao Sakayori, Takeshi Suzuki, Yasuhiko Nishioka & Hideo Saito

The authors investigated the pulse-operation characteristics of internally matched GaAs FETs possessing 6GHz-band CW outputs of at least 5W. The study correlates pulse characteristics with the mode of operation, device structure, and pulse condition, and compares these characteristics with the CW characteristics. It established that drain-pulse operation of an upside-down structure element gives an improvement in RF performance over CW operation of the same structure, as shown by a linear power gain of 1.2dB, an output power of 3.4W, and a 13% increase in power-added efficiency.

Mitsubishi Denki Giho: Vol. 57, No. 4, pp. 48~52 (1983)
The High-Speed Vector-Processing System of the MELCOM-COSMO 90011

by Kanae Masuda, Hakuro Mori, Jun Fujikake & Yoshio Sasaki

Progress in scientific and technical calculations has lead to a growing demand for high-speed vector calculations. Mitsubishi Electric has developed an integrated array processor and automatic-vectorizing FORTRAN compiler as an option for the MELCOM-COSMO 900II computer system. This facilitates the performance of vector calculations and matrix calculations, achieving significant gains in cost-effectiveness. The article outlines the high-speed vector system, includes discussion of compiler structuring, and cites examples of effective system application.

Mitsubishi Denki Giho: Vol. 57, No. 4, pp. 64~67 (1983)

The Model RX-240SY MASS Car Radio

by Yosuke Ikeda, Narifumi Inoue & Kazunori Kanamori

Mitsubishi Electric has developed an electronically tuned car radio, the RX-240SY, with innovative MASS (Microcomputer Automatic Station Selector) and auto-memory functions. When the field strength of the station being listened to in the car drops, the MASS function automatically selects a stronger station carrying the same program. The RX-240SY also has an auto-memory function that memorizes five stations and automatically selects them in the order of descending field strength. The article discusses this innovative car radio fitted to Mitsubishi Motor Co. automobiles.

Mitsubishi Denki Giho: Vol. 57, No. 4, pp. 53~56 (1983)

The MELCOM 80 Business-Graphics System

by Kenzo Tomisawa, Masao Ota, Shinri Takahashi & Takato Kawakami

Advances in office automation have been accompanied by an increasing trend toward the display of data in the form of visually attractive graphic reports rather than the tables produced by most small business computers. The MELCOM 80 Office Land system incorporates a business graphics system that includes Japanese-language (kanji) display devices and printers with a full range of graphic-output capabilities. The combination of kanji- and graphic-data processing simplifies the production of attractive hardcopy business graphics.

工業用計算機《MELCOM 350-60》モデル500の ドウェアシステム

朱雀二朗*·黒田健児*·下間芳樹*·科野順蔵*·渡辺信也*

1. まえがき

近年の半導体技術とソフトウェア技術との目覚ましい進歩によって、 一つには データウェイ を中心とした分散処理 ネットワークシステム が経済的 に構築でき、地域的にも機能的にもますます分散処理の傾向が強ま ってきている。

一方,分散 システム の中枢となる中央の計算機には、システム 全体の 協調と効率の面から大量の情報が集められると同時に、高度な処理 が要求されている。特に工業用計算機 システム においては、システム の 動きに対して リアルタイム に応答する能力が重要視されるため、 大規 模の プログラム、データ を容易に扱える能力はもちろんのこと、それら を高速に処理できることが必す(須)条件となる。しかしながら、従来 の性能では高速処理が要求される機能については、ソフトウェアの生産 性を犠牲にしてもァセンブラ言語で記述せざるを得なかった。そこで、 次の新たな要請としてリアルタイム性能を十分に維持しつつ、ソフトウェ ァの生産性向上をねらってすべて高位言語で記述できる高性能,高 信頼性計算機システムが求められている。

工業用計算機 システム《MELCOM 350-60/500》(以下, M-60 と 称す)は、それらの要請を満たすため新たに開発したものであり、 《MELCOM 350 シリーズ》の最上位に位置し、今までの最上位機種で あった《MELCOM 350-50/A 2500》の 2.5 倍の性能と, 高い信頼

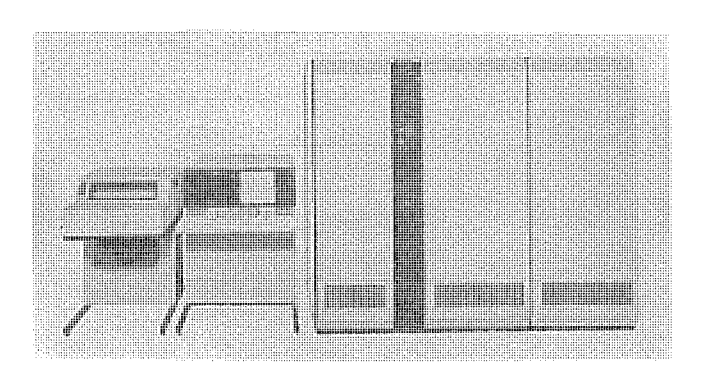


図 1. M-60 の 概 観

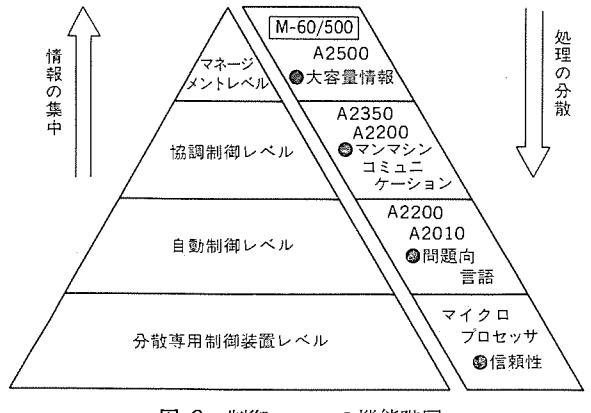


図 2. 制御 システム の機能階層

性をもつ32ビットのリアルタイム計算機システムである。

また, 更にこれらの機能, 性能の著しい向上の 結果, 最近では CAD/CAM などの設計,製造 システムや ファクトリーオートメーション に代 表される生産管理 システム,更には産業分野だけではなく,画像処理 やラホラトリオートメーションなどの研究開発分野においても脚光を浴びて いる。(図 1., 図 2.)

2. 特 튯

以上のような要請のもとに開発された M-60 システム の主な特長は次 のとおりである。

(1) 大量の情報処理に適した 32 ビットマシン

大規模な プログラム と大量の データを容易に 扱えるようにするために 32 ビットマシンとし、論理空間の拡大、主メモリ実装も最大16 M バイト とシステム拡張にも十分対処できるものとした。

(2) 高速処理性能

置換えを プログラム で制御できる 128K バイト の スタティックキャッシュ と, 通常の置換え アルゴリズム で動作する 32K バイト の ダイナミックキャッシュ と を併用することによって, リアルタイム性能と高 スループットとを同時に 実現している。特に使用頻度の高い OS (オペレーティングシステム) やユー ザープログラム を スタティックキャッシュ に常駐させることによって 100% の tット 率を保証することができる。

また、 5 段の パイプライン 制御の採用とすべての プログラム を高位言 語で記述することを目的として、工業用計算機としては画期的な演 算速度(加算:95 ns, 浮動小数点加算:300 ns) を実現した。 高位 言語で記述しても従来以上の高い性能を得ることができ, プログラム の生産性、保守性を向上できる。

(3) RAS (Reliability, Availability, Serviceiability) 機能の充実 ECC 機構はもちろん、命令再試行、キャッシュメモリの自動縮退など ハ ードウェア 故障に対する システム 稼働率の向上や、16層の主 メモリ 保護 リングにより、各 ソフトウェアの レベル付けを行って ソフトウェアの信頼性 をも向上している。また, 256 レベルの プログラムトレース 機構をも内蔵 し、エラー時のプログラム解析能力は従来に比較して格段に向上した。

(4) シリーズ 互換

M-60 では、《MELCOM 350-50》(以下、M-50 と称す) シリーズ と の ソフトウェア 互換性の維持を も 重視し、M-50 の基本命令はすべて サポート されている。 また,入出力機器も《MELCOM 350 シリーズ》 全体として互換性が あ り,M-50 システム からの移行, M-50 システム との分散処理 システム の構築, M-60 上での M-50 ソフトウェア の保守な ど システム の拡張性、保守性に富んでいる。(表 1.)

3. システムの構成

M-60 の システム 構成を図 3. に示す。 M-60 は負荷分散指向に基づ いて設計しており、データ 転送を行う M バス の下に CPU、 チャネル、 メモリ が接続される構成になっている。 コモンメモリの下で複数の CPU が負荷分散処理したり、 データウェイを介して地域的にも分散処理を

主メモリ	最対	意 素大 容イクルタ制 御 方		250 ns/8バイト	割込み	8 レベル+割込み要因コード (各レベルに対して,最大 16 レベル可能) セレクタチャネル
コモンメモリ	モン 最大8台のCPUから					マルチプレクサチャネル インテグレーテッドファイルアダプタ データウェイアダプタ
		万	式	LSI, MSI, SSI		コンピュータリンケージアダプタ 監視時計機構(ウオッチドグタイマ)
	命令	帝令形語	双式長	RR, RI, RX, RS, SI, S, SS, RRE, RSE		タイマ機構, エマージェンシ出力 メモリ保護機構, 特権命令チェック
演算部	デ ー	タ 形	大	単精度, 倍精度固定小数点データ 単精度, 倍精度浮動小数点データ 固定長論理データ(ビット, バイト,ワード,ダブルワード) 可変長文字データ	機 能	自動/遠隔イニシアルプログラムローディング アドレスサーチ機構 (アドレスサーチ側込みを含む)
		アドレス方式			デバッグ 機 能	不正命令チェック
	演算時間		,,_	24 (32 ビット) 固定小数点加算 0.095 μs 固定小数点乗算 0.3 μs 浮動小数点加算 0.3 μs 浮動小数点乗算 0.5 μs		温度 0~40°C 湿度 20~80% RH

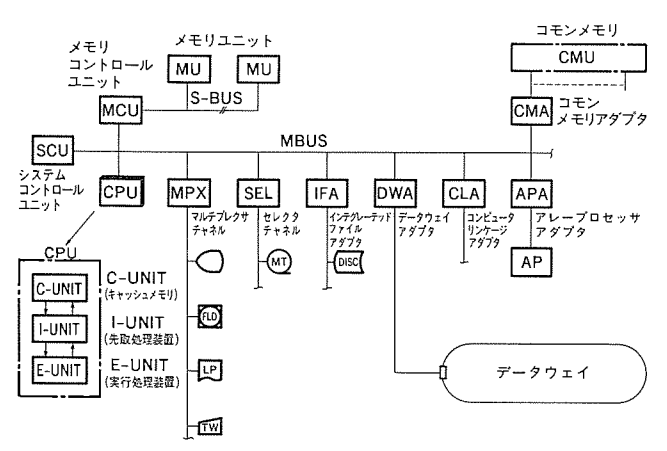
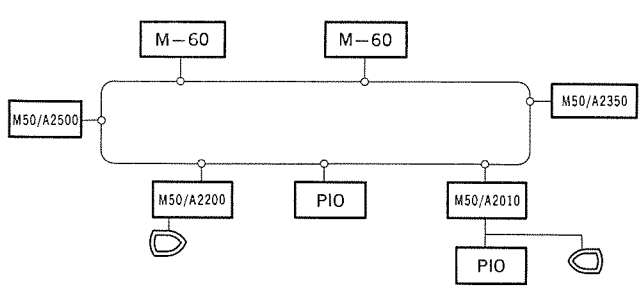


図 3. M-60 システム 構成



- oM-60上でのM-60/M-50計算機のプログラム開発
- 0ダイレクト ローディング
- oリモートCPUのメモリRead/Write
- O データ/ファイルの転送

図 4. M-60 の データウェイ による分散 システム 構成

行う マルチコンピュータシステム が容易に構築できる (図 4.)。

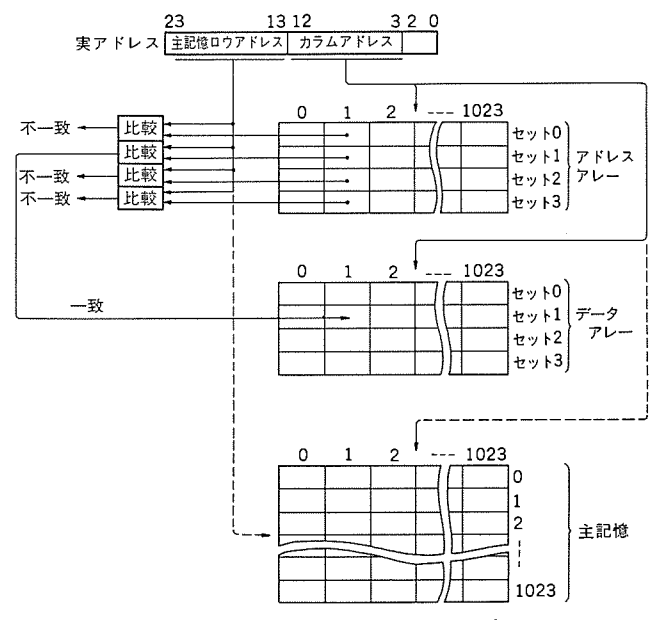


図 5. ダイナミック キャッシュメモリ の構造

4. ハードウェアシステム

4. 1 CPU (Central Processing Unit)

CPU は、++ッシュメモリを内蔵した C-UNIT、命令の先取処理を行 5 I-UNIT、命令を実行する E-UNIT で構成し、 CPU と ++ネルの並列動作だけでなく CPU 内部も並列動作を可能にし高速 化を実現している。

4. 1. 1 キャッシュメモリ (C-UNIT)

キャッシュメモリは、 高速な処理装置と大容量ではあるが比較的低速な 主記憶装置との間にあって、 使用頻度の高い プログラム や データ を保 持しておく高速緩衝記憶である。

 っ 処理を行っている。 データメモリ の容量は 160K バイト で, 32K バイト の ダイナミックキャッシュ と 128K バイトの スタティックキャッシュ からなる。 一般に プログラム の挙動が予想し難い場合は, 確率的に キャッシュ の ヒット率を上げることが重要である。 このような プログラム の高速化に ダイナミックキャッシュ を導入した。

ダイナミックキャッシュ は図 5. に示すように、1ブロック8 バイト、1,024 列×4行で構成している。マッピングアルゴリズムにはセットアソシアティブ方式、入替えアルゴリズムは LRU(Least Recently Used) 法を採用し、高い ヒット 率を実現している。 この形の キャッシュメモリ は、ほとんどの汎用大形・中形機で採用されているが、プログラムの局所性を利用し確率的な スループット向上が目的であり万能とは言えない。リアルタイム制御の分野では、ある事象が発生した時に起動される タスクの応答性が問題であり、OSも含めて一度しか実行されない命令列は キャッシュメモリの効果が薄く、別のプログラムや データを追い出すという点でキャッシュの無効化と同様の結果を招く。

工業用分野の応用では プログラム が比較的固定化されており、高い頻度で周期的に実行される プログラム や スーパバイザ などは、動作が推定できる プログラム と言える。 M-60 ではこのような プログラム のために、スタティック な キャッシュメモリ を 128Kバイト導入した。図 6. にこのキャッシュメモリ の構造を示す。キャッシュメモリ は 16Kバイト×8個の ブロック からなり、主記憶と実 アドレス の ページ 単位で対応が付けられる。主記憶と キャッシュメモリの データ 転送のために、 コネクトキャッシュ、ディスコネクトキャッシュ、リバースキャッシュ命令が用意されている。 スタティック キャッシュメモリ に対する書込みは、主記憶に同時に書かれることがなく(ストアイン方式)連続した書込みで主記憶 サイクルネックになることがなく高速である。

ダイナミック 方式に対する スタティック 方式の利点は、リプレース が プログラム の制御下におかれているため、 キャッシュメモリ に配置すべき プログラム を プログラマ が指定できることと、 このような プログラム はその実 行速度を確率的にでなく保証できることである。 M-60 では スーパバイザ を スタティック キャッシュメモリ 上に配置して お り、 ダイナミックキャッシュでの コールドスタート 時に比較して 1.76 倍の改善を達成している。一方、スーパバイザ の中で タスク 管理機能が頻繁に 起動されるが、 実際 の システム で測定した結果、要求中約 60% が ディスパッチ 不要で、元の プログラム を続行すべきであった。 タスク 管理機能が スタテイックキャッシュ に

図 6. スタティック キャッシュメモリ の構造

配置されていることから, ダイナミックキャッシュ に格納されている元の プログラム の リプレース はほとんど行われず, 元の プログラム を続行する 場合に キャッシュイン のまま実行できる。

以上のように 2 種類の ダイナミックキャッシュ と スタティックキャッシュ を併用し、 その使い途を考慮することにより、 リアルタイム 制御分野における キャッシュメモリ の有効性を大きく向上することができた。

高速化に対する全体的 な 思想は、 リアルタイム 処理を中心とした工業 用計算機 システム における プログラム の動き、特質を十分に分析して高速化の ポイント を絞ることが性能/価格比を向上する重要な ファクターであるとしている。 その意味で前項に述べた 2 種類の キャッシュメモリシステム はその典型であり、この項で述べる パイプライン 処理、 浮動小数点演算強化の上に立った関数 プロセッサ なども システム の特質を十分に考慮して設計されたものである。

命令の処理は一般に、①命令の読出し、②命令の解読、③オペランドアドレス計算、④オペランド読出し、⑤命令の実行の五つの要素に分解できる。それらに要する時間が命令実行時間を決定するものであり、①~⑥の時間を極力短縮すべきである。

M-60では図 7. に示すように、①~⑤の各要素を並列動作させること、すなわち 5 段階のパイプライン 動作を行わせることにした。その並列動作を効果的に機能させるためには各要素の時間が短かく、かつ理想的には同一時間である必要がある。そのために一つの要素の最小単位を 95 ns と、工業用計算機としては初めて 100 ns を切った。命令/オペランドの読出し(①、④)を実効的に短縮するために、前項で述べた ‡ャッシュメモリ のほかに 16 バイトの命令 バッファ を導入した。命令の種類による①~④までの命令実行に至る準備と、⑤の命令実行との処理時間のばらつきを平滑化し、並列動作を更に効果的に行うために前処理済の命令と オペランド を格納しておく ‡ューを設けている。

4. 1. 3 実行処理装置 (E-UNIT)

実行処理装置の ハードウェア 構成を図 8. に示す。実行処理装置は前項で述べたように キュー に準備した命令と、 その オペランド を受けとり命令の実行を行う処理装置である。

M-60 では高速演算を実現するため、同時実行が可能な三つの演算器と乗算器を並列に配置し、高度な並列処理を行っている。このための制御には、64 ビットの水平形マイクロプログラムを採用し、同一実行サイクルでの演算動作を多重化させて処理に必要な実行サイクル数

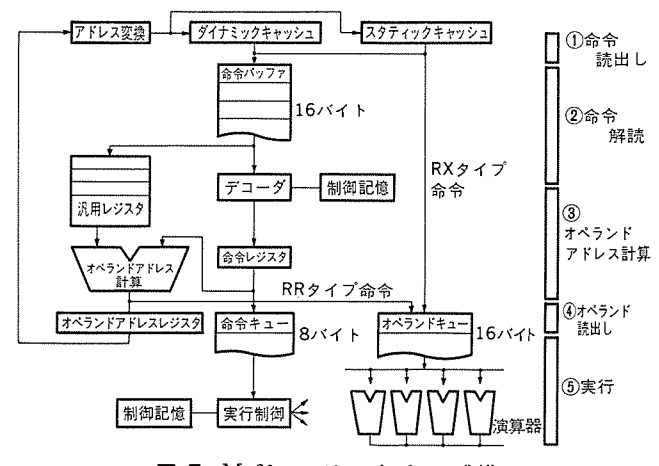


図 7. M-60 における パイプライン 制御

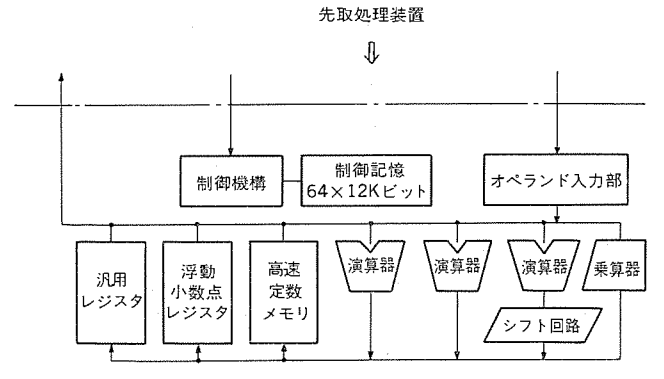


図 8. 実行処理装置の内部構造

が最小となるようにした。

更に、M-50 で実績のある高速定数 メモリ と演算の オーバラップ動作を用いた アルゴリズム により関数演算の高速化を行った。 これは、関数プロセッサ として ユーザー に提供し高位言語による記述でも高い性能を得る目的をより十分に達成することができた。

また、処理の高速化には OS の処理速度についても改善を図らなければならない。とのため割込処理命令、 キュー 命令、ビットストリング命令などを OS 用大形命令として用意し、情報処理 システム の性能強化を図っている。

4.2 チャネル

- (1) マイクロプロセッサ を用いて、入出力機器の特質に合った独立 チャネル 方式を採用することに よ り、入出力処理における CPU に対する妨害をなくした。
- (2) チャネル に、 メモリバス の転送能力を最大限に引き出せるような データバッファリング 機構を持たせることにより、メモリアクセス の回数を少なくし、データ 転送時において CPU 及び複数の チャネル 間に起こる競合の頻度を低く抑えた。

また、異常発生時における障害情報収集能力の充実、更にマイクロ 診断機能の導入により RAS 機能を向上した。

なお、M-60 の f+ネル には、MPX、SEL、CLA、IFA、DWA など機能に合った多数の レパートリ を用意している。

4. 3 RAS 機能

M-60 では、 オンラインリアルタイム 計算機に要求される高信頼性を トータ

ルシステム として実現することを前提に、 回復機能・修復機能の充実を図っている。

- (1) 障害検出機能の強化:障害を検知するためのパリティチェック, バスの時間監視などの機構を設けるとともに, 障害注入機構により障害検出機能のチェックも行っている。
- (2) エラー 自動訂正機能:主記憶装置の データ に 1 ビット 誤り が 検出されると, ECC 機構により 1 ビット 誤りを自動訂正する。
- (3) 命令の再試行機能:命令実行中の障害に対ては,16回の命令 再試行を行う。
- (4) 自動縮退運転:キャッシュメモリについては、障害発生時にその一部を切り離して運転を継続する。主記憶装置に 2 ピット 以上の故障が発生した場合は、その故障部分を含む ページを切り離し システムの運転を継続する。
- (5) 制御 メモリ・制御 テーブル の修復機能:制御 メモリ や制御 テーブルの障害は自動修復を行い、命令再試行時の成功率を向上させている。
- (6) ログアウト機能:障害を検出すると、プログラムによる回復処理の ための障害情報を主記憶へ格納するとともに、保守や故障解析のた めの詳細な障害情報も ログアウト される。
- (7) トレース 機能:CPU と独立に動作するトレース 機構を内蔵 しており、256 レベル の信号値の変化を連続的に記録し、故障解析のための詳細情報としている。
- (8) 二重化構成:ディスククロスコール,データウェイの二重化,共有記憶装置の二重化構成により、システム構成上の高信頼化手段を提供している。

5. む す び

M-60/500 は、十数年にわたる工業計算機の ハードウェア、ソフトウェア 両面にわたる実績を元に開発した、高性能 32 ビットリアルタイム 計算機 である。工業用計算機の分野はもとより、画像処理、 CAD などの技術計算をはじめとする広範な分野にも十分にこたえることのできる計算機 システム である。

今後ともあらゆる分野での計算機利用技術動向を踏まえ、顧客の ニーズにこたえられるよう努力する所存である。

参考文献

- (1) 米沢ほか:《MELCOM 350-50》 工業用計算機 システム, 三菱 電機技報,52,No. 3(昭 53)
- (2) 武藤ほか:《MELCOM 350-50》 工業用 計算機 システム モデル A 2500, 三菱電機技報, 54, No. 2 (昭 55)
- (3) 2種の キャッシュ・メモリ 採用などで リアルタイム 処理 を 高速化した 32 ビット 工業用 コンピュータ,日経 エレクトロニクス,No. 302 (昭57)

工業用計算機《MELCOM 350-60》の基本ソフトウェア

小川義高*·菊竹秀夫*·野村晃男**·大原 彰*·池山茂樹

1. まえがき

計算機技術の発展に伴い工業用計算機の分野も拡大し、上は大容量 データを扱うマネージメントのレベルから、下はマイクロプロセッサによる分散専用制御装置まで幅広い広がりを展開している。 オペレーティングシステム60 (以下、OS60と称す) は高速処理、大容量記憶、拡張性、信頼性、保守性、生産性といった各種の要求に答えるべく開発された32ビット工業用計算機《MELCOM 350-60》(以下、M-60と称す)の基本ソフトウェアシステムである。このOSはハードウェアと同時設計を行い、ハードウェアの性能を十分に引き出すよう、きめ細かく配慮された機能をもつことを特長としている。

2. 開発意図

工業用計算機の ソフトウェア は、制御に使用されるものと システム の運用 を 支援するものとに大別できる。 M-60 では前者の リアルタイム 系の ソフトウェア に対しては、高速化、 高信頼化を目標とし、後者の支援 ソフトウェア は使いやすさを目標とした。

2.1 高速化

リアルタイム 制御 システム における OSは、 ューザー に便利な機能を用意すればするほど高頻度で使用され、その オーバヘッド が システム の負荷に占める割合が増大する。実測 データ では OS の負荷が 50% という システム も珍しくない。ューザー に M-60 の高速性を享受してもらうため、M-60 の ソフトウェア では次のような点に留意して高速化を図った。

(1) キャッシュ/パイプライン など ハードウェア を生かす方式 スーパバイザ 用に開発された キャッシュメモリ 上に スーパバイザ を配置した。 このため スーパバイザの キャッシュ のヒット率は 96.6% に向上した。また 分岐命令の使用は、パイプライン による先取りが有効に働くよう に、分岐の確率により判断して命令を 使用した。FORTRAN 77 で記述したプログラム をこの キャッシュ に常駐できるよう にした。そして FORTRAN 77 では、 関数命令、 サブルーチンリンク 命令などの高機能の命令を多数採用した。

(2) 大容量 メモリ の有効利用

スーパバイザ, データ 管理, FORTRAN の実行時 サブルーチン, 基本応用 ソフトウェアパッケージ などをすべて主 メモリ 常駐化し, 全 システム で共有 可能とした。主 メモリファイル の考え方も導入し, また主 メモリ を ディスク と同一のアクセス 方法で使える仮想 ディスク 方式の採用により, ディスクアクセス をほとんどなくすことも可能となった。

(3) アルゴリズム の改善と ファームウェア 化

スーパバイザ における N $_{y o y o z o z}$ の使用や、D $_{y o z o z o z}$ における B-T ree など高速化 D $_{y o z o z}$ とした。

(4) 最適化 コンパイラ の採用

FORTRAN 77 では, 定数式の コッパイル 時計算や DO μ ープ 内の不変式のはじき出しなどを行う。

これらの手法の結果、スーパバイザの タスク起動は《MELCOM 350 50 /A 2500》 に比べて 1/5 の時間で行える。

2.2 高信頼化

工業用計算機の信頼性は、基本 ソフトウェア の信頼性と ユーザー の作成 する応用 ソフトウェア の信頼性の両方が向上してはじめて達成される。 このため M-60 の ソフトウェア 作成時には、次の点を目標とした。

(1) 基本 ソフトウェア の全 パステスト

ハードウェアの動作をそのままソフトウェアで実現したシミュレータを作成し、すべてのプログラムをこのシミュレータ上にて動作させ、各プログラムのすべての命令が一度は実行されることを確認した。このシミュレータ上では、ディスクを始め各種デバイスもシミュレートし割込みもシミュレートする。これにより今までテストの行いにくかったハードウェアの故障時のソフトウェアの動作、ソフトウェアの並列動作などを自由に組合せてテストできた。

(2) ユーザープログラム インタフェース チェック の強化

ユーザープログラムの信頼性向上対策としては、ユーザーのミスを早期に検出し、これをシステム的な影響がないように局所化することが望ましい。このためスーパバイザ、基本応用ソフトウェアパッケージなどとユーザープログラムのインタフェースでは、パラメータの数、形式、限界、使用権、書込み権のチェックを徹底して行った。このためユーザーへのエラー報告の種数は、今までのOSに比べて3倍強となっている。

(3) ハードウェア の保護機能利用

M-60 の 16 層の リング保護機構を利用して,各 ソフトウェア の層づけを行い,他の ソフトウェア をあやまって破壊することを防いだ。 入出力装置に対しても書込み保護の領域を設けている。

(4) 多重論理空間

各 プログラム に独立の論理空間を与えることにより、各 プログラム は他の プログラム がァクセス できないようにして、相互破壊を防いでいる。

3. ソフトウェア体系

ソフトウェア の構築には ユーザー から見て理解しやすい体系 を 目ざし、ソフトウェア の体系と ドキュメント の体系及び システム の供給/生成といった作業が統一された概念で行えることを目標と し た。 ソフトウェア の構造は、各 プログラムコンポーネント の独立性を高め、また基本応用 ソフトウェアパッケージ は他の基本応用 ソフトウェア を介さず、直接 スーパバイザ を使用する形にして オーバヘッド の減少を図った。

3.1 ドキュメント体系

図 1. に OS 60 の ドキュメント 体系を示す。 ドキュメント は基本部と オプション 部よりなり、基本部についてはすべての操作、エラーメッセージ を一冊の ドキュメント に集約した。オプション 部の ソフトウェア は選択して導入可能のため、それぞれの ソフトウェア に対応して ドキュメント を用意した。ただし操作、エラーメッセージ は統一した様式を使用しているため、ユーザー はその部分のみ集めてまとめることも容易である。

3.2 ソフトウェア構造

構造を図 2. に示す。この特長は従来の ハードウェァ 中心, OS 中心の構造を ユーザー 中心にとらえなおしたことにある。 そして ユーザーイン タフェース は FORTRAN 77 の基本言語に含まれたもののみとし, 機

詳細説明齊 操作説明書 エラーメッセージ 生成の手引 製用機 テキスト OSデータ構造説明書 オペレーティング OS説明書 システム入門 OS操作説明書 OS生成の手引 SVCファンクション 説明書 ロSメッセージ *川* (ファイル共通データ編) 説明書 APINT製明察 エラー解析の手引 SEのために SEのための S/W設計 パバイザタスク 説明書 リンケージ エディタ説明書 基本ソフトウエア アセンブラ プログラミング入門 アセンブラ説明書 アセンブラによる プログラム作成方法 FORTRAN 77 フォートラン プログラミング FORTRAN 77 認明律 利用の手引 フォートラン デバッグ技法入門 デバッガ説明書 NFIOWR説明書 データ管理(SAM/ DAM) 説明書 ータ管理 マクロ命令説明書 EDITER説明審 BIO説明書 汎用サブルーチン 説明轡 PAM説明書 OS操作入門 ユーティリティ説明書 QAM説明審 VSAM説明睿 センサベースマネージメントシステム (SBMS 60) 説明書 コンソールプロセッササポートS/W説明書 VIPPS プログラミング入門 VIPPS (VIPMNR) 説明書 **基本応用ソフトウエア** VIPGNR説明審 CBS説明容 グラフィックペーシックサブルーチン (GBS) 説明書 グラフィックサブルーチンパッケージ (GSP) 説明書 ☐ GSP利用の手引 MEDPAK - 60 プログラミング 入門 MFDPAK-60説明書 MEDPAK-60ユーティリティ説明書 MEDPAK-60リモート入出力説明書 BTAM説明書 UBTAM利用の手引 システム評価ツール (SPM) 説明巻 トラブル解析ツール (SOAP) 説明書 VM60説明書 データベースエディタ (DBEDIT) 説明書 M60システム 説明審 インタフェース説明書 M60パネル説明書 HOPS60説明會

図 1. ドキュメント体 系

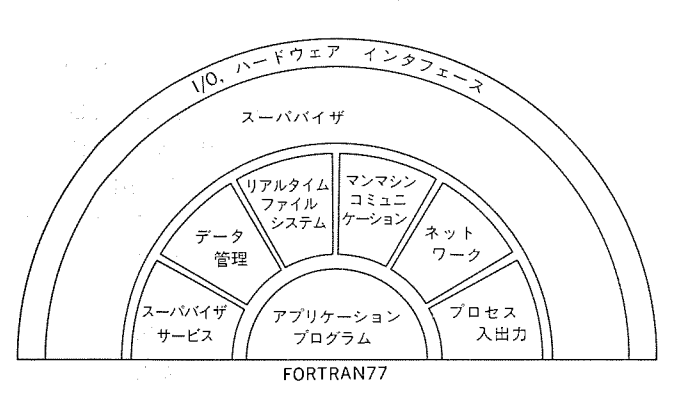


図 2. ソフトウェア 構造

種特有の拡張機能などは不要でありわか りやすくしている。

4. スーパバイザ

オペレーティングシステム の中核部であり、 タス ク 管理, 割込み管理など、システム を制御 する基本的な サービス を行う。

4.1 タスク管理

スケジューリング 方式は、 事象の発生ごとに 優先順位を調べ、常に実行可能状態の タスク 群のうち、 最も優先順位の高いもの を実行させる優先順位 スケジューリング と、一定時間ごとに順次 CPU 使用権を与える会話形 プログラム 開発に適した ラウンドロビンスケジューリング を併用している。 また、実 行時に一部機能の制限を行う デバッグレベルを設けることにより オンライン 運転の妨害を防いでいる。

4.2 メモリ管理

論理空間と実空間をページ単位に対応させる方法をとっている。このため、プログラムもデータも論理空間上に連続であっても、実空間上は連続している必要はなく、効率の良い主記憶の使用が可能となっている。プログラムは主記憶に常駐させることも、起動時に主記憶を確保しディスク装置からロードする非常駐とすることも可能であり、起動頻度の高いプログラムを常駐化することにより、高速応答性に答えることができる(図 3.)。

4.3 割込み/タイマ管理

割込みの制御は、一括してスーパバイザによって管理されるが、各システムごとに異なるユーザーの処理ルーチンをシステムに登録することが可能となっている。また処理ルーチンも FORTRAN で記述することができる。タイマ管理の機能としては、時間あるいは時刻を指定したタスクの起動(周期起動も可)、タスクの実行遅延、時間経過報告、時刻の設定/補正を行うスーパバイザマクロ命令を用意している。

4.4 異常管理

異常処理には、ハードウェアの異常など システム で一括処理すべきものと、各 タスク で独自の処理が必要なものとがある。 プログラムチェック発生時の処理, 強制終了に対する後処理を ユーザー が記述し, あらかじめ システム に登録することが可能となっている。

4.5 システム管理

プログラムの開発,作成を行い システム に組込む際には, その プログラム の版名,作成日付などをもとに管理しなければならない。ソースプログラム で指定した版名情報(作成年月日など)が, そのまま翻訳連繫編集後の プログラム に付加されるため,従来よりも確実な モジュール 管理が可能となった。

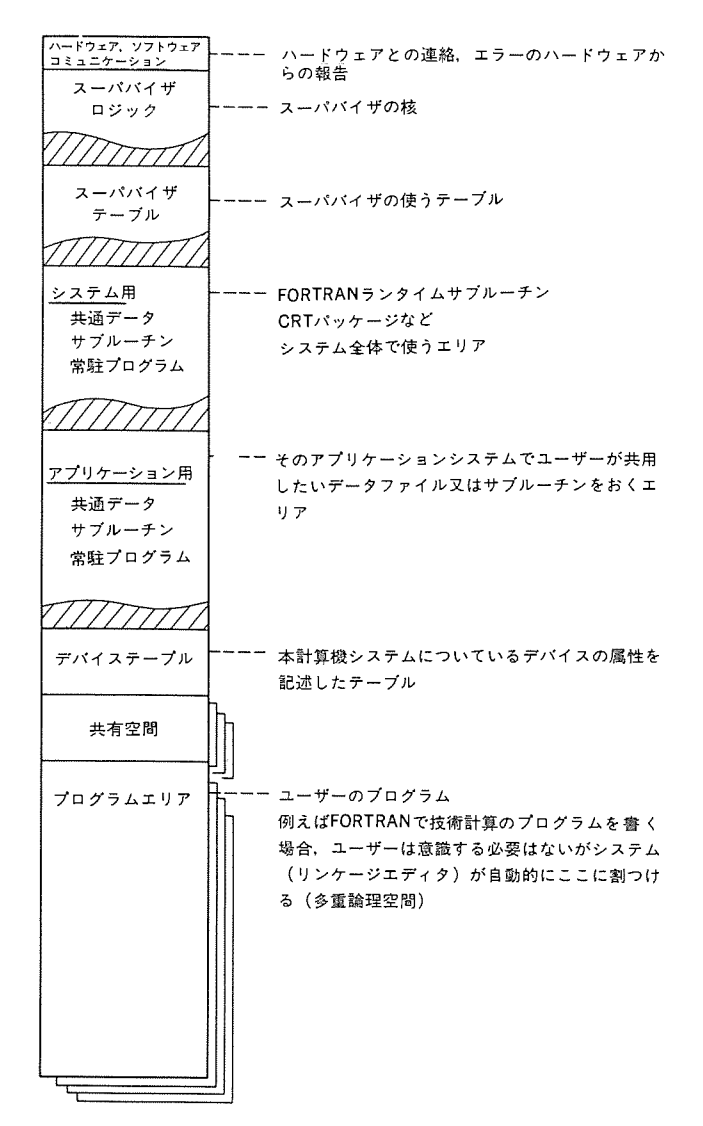


図 3. 論理空間の構成

5. ファイルシステム

ファイルシステム としては、FORTRAN の READ/WRITE 文で処理可能な順編成 ファイル(SAM) と、直接編成 ファイル(DAM) 及び プログラム の ロードモジュール や オブジェクトモジュール などの格納、 検索を行うための,区分編成 ファイル(PAM) が標準で、 また生成消滅の激しい データ を高速に処理するための高速 リアルタイムファイル(QAM),及び大量データ を処理する大容量 ファイル(VSAM) が オプション として用意している(図 4.,表 1.)。

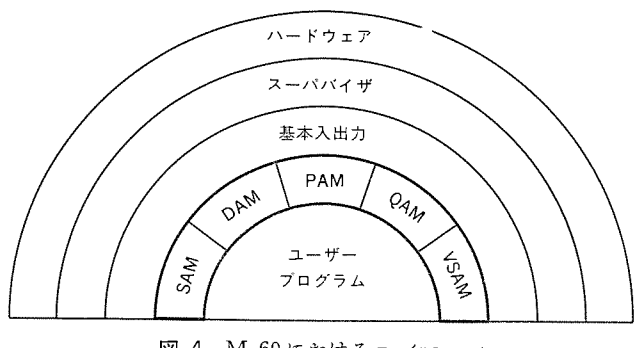


図 4. M-60 における ファイルシステム

表 1. ファイルシステム と特長

		衣 1・ファ	1ルシステム と 村女						
分類	アクセス方式	ファイル 編 成	特 - 長						
基本ファ	SAM (Sequential Access Method	顋 纈 成	・FORTRAN READ/WRITE文で処理が可能。 ・ディスク上のファイル以外に、タイプライタ、ラインブリンタ、CRT、磁気テープ、フレキシブルディスクなどもサポート。 ・バスワードによる機密保護と二重書きによるデータ保全。						
イルシステム	DAM (Direct Access) Method	直接網成	・FORTRAN READ/WRITE 文で処理が可能。 ・ディスク上のファイルのみサポート。 ・パスワードによる機密保護と二重書きによる データ保全。						
24	PAM (Partition) (Access Method)	区分綱成	・モジュール(ロードモジュール,オブジェク トモジュール)の管理に使用。 ・Tree-形の階層構造をもつ。						
高速リアルタイムファイル	QAM (Queue Access) (Method	直接網成巡網成份網成份	・生成、消滅の激しいリアルタイム処理に適している。 ・ 待行列処理とインパートインデックスによる高速なデータ検索機能を提供。 ・ 主配憶、ディスクいづれにもファイルを作成できる。 ・ データウェイ (MDWS-60) で接続された遊解計算機の主配憶上のファイルもアクセス可能。 ・ 二重書きとチェックポイント・セーブ機能によるデータ保全。 ・ アクセス頻度などの集計データによる最適化が可能。 ・ ファイルの生成、削除、レコード検索などには会話形の問合セプログラム (QAMS) が準備されている。						
大容量ファイル	USAM (Virtual Storage (Access Method)	順 網 成 直接網成 キー順網成	・大容量のデータを取扱うのに適している。 ・キー順綱成ではインデックス部に B-tree 構造を採用し、大容量のデータに対しても効率の良い検索が可能。 ・二重書きによるデータ保全。 ・アクセス頻度などの集計データによる性能評価が可能。						

6. 基本応用ソフトウェアパッケージ

6.1 CRT 処理パッケージ (VIPPS)

CRT $f_{1/2}$ プレイ用の サブシステム である VIPPS は、基本的な機能、概念を M-50 と同一とし、 互換性を重んじた。 VIPPS は、画面管理 サブシステム (VIPMNR) と画面作成 サブシステム (VIPGNR) の二つで構成し、更に VIPMNR の下位 サブルーチン である CRT ベーシックサブルーチン (CBS) も利用することができる。M-60 の VIPPS では、CRT 表示を高速化することを最重要視して、ここに労力を注ぎ、広い論理空間を活用することにより、 M-50 と比べて CPU 占有時間が 1/3~ 1/5 となった(図 5.)。

6. 2 センサベースパッケージ (SBMS 60)

SBMS 60 は,工業用計算機 システム には必す(須)な プロセス 入出力装置を,効率よく アクセス するための システム である。ユーザーインタフェースは ISA (Instrument Society of America) の提案に基づき使用しやすいものとした。また従来は アセンブラ で書いていた プロセス 割込ルーチン を FORTRAN 77 で記述できるように考慮したり,プロセス 入出力装置 ハードウェア の試験を簡単に行える ユーティリティ を用意することによって,ユーザーにとって コンパクト でかつ使いやすいものとなっている。

6. 3 分散処理システムパッケージ (MEDPAK 60)

分散処理 システムパッケージ (MEDPAK 60) は、データウェイ 《MDWS-60》 で接続された M-60/M-50 分散 システム の サポート を行う パッケージ で

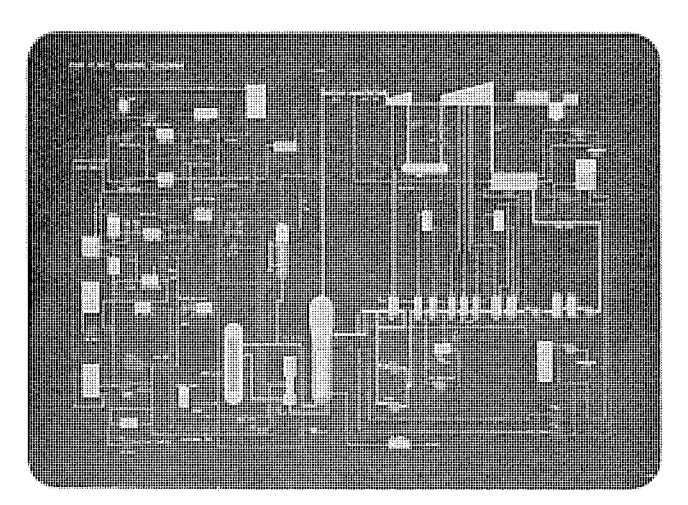


図 5. VIPPSによる CRT 表示画面

分散処理システムパッケージ) オペレーティングシステム(OS60) 分散形メモリ管理 - 分散形共有メモリ管理機能 (MEDPAK60) --- 主メモリファイル管理機能 (**Q**AM) 通信管理 - タスク管理機能 (MEDPAK60) — メッセージ通信機能(MEDPAK60) リモートペリフェラル入出力管理) -- CRT処理機能 (VIPPS) - FORTRAN入出力機能 (OS60) - リモートTSS機能 (OS60) (リモートディスクレスシステム管理) — ダイレクトローディング/スキャンアウト機能 (RSDLD) ー アナウンスメッセージ集中機能(RMSG) システム管理 - 多重系バックアップサポート機能 (MEDPAK60) - ハードウェアトレース収集機能(MEDPAK60) サポートユーティリティ -- ダイレクトローディング/スキャンアウト機能(RSIPL) - ディスクレスシステムエラーダンプ機能(RERDMP) - ディスクレスシステムコンソール機能 (RSUT) - データウェイ・モニタ機能(RSUT)

あり、次の特長を持っている。

- テスト機能 (RSUT)

大幅な ファームウェア 化により高速/高機能を実現し、特に計算機負荷なしで主記憶内容を共有できる機能、主記憶を直接編成 ファイル として論理的に扱える機能は特徴的である。 また ソフトウェア 設定可能

図 6. MEDPAK 60 機能構成図

な論理 ステーションアドレス による多重系 バックアップ の容易化,ソフトウェア, ハードウェア による トレース 機能の拡充,遠隔 ディスクレスシステム の サポート 機能など高信頼化/保守性向上に配慮している。(図 6.)

6.4 通信回線サポートパッケージ (BTAM)

通信回線 サポートパッケージ (BTAM) は、 基本形 データ 伝送制御手順を使用する通信回線を利用するための アクセスメソッド であり、次の特長を持っている。

BSC 伝送手順及び JIS 基本形伝送手順に準拠しており、同期式/調歩式ともに伝送制御手順に柔軟に対応できるよう配慮している。また テスト 機能としては、手順 レベル、 メッセーラレベル での会話形 テスト に加え、リアルタイム に手順 エラー を シミュレート し ユーサー まで含んだ エ ラーテスト が可能である。更に トレース 機能/ トレース 印字機能を拡充し障害時の解析を容易にしている。

6.5 統計解析ソフトウェアパッケージ (MSP)

MSP (Mathematic Subroutine Package) は,科学技術計算,統計 確率計算でしばしば用いられる計算処理を サブルーチャ の形式に ま とめたもので, 100 種以上の サブルーチャ が用意されている(表 2.)。

6.6 図形処理ソフトウェアパッケージ (GSP)

GSP(Graphic Subroutine Package) は、ACM (米国計算機協会)の分会 SIGGRAPH が提案している「CORE システム」 に準拠した サブルーチンパッケージ で、デバイス 独立と プログラム の ポータビリティ を高めることを目的としている。 CORE を基調としているが、円、 だ円などの高水準 プリミティブ や、 漢字 (JIS 水準1)、ハッチング による塗りつぶしなどが可能なように機能拡張を図るとともに、高速性に関しても十分配慮されている。

表 2. 科学技術計算,統計確立計算 パッケージ (MSP)

表 2. 科子技	文術計界, 統計惟払計界 ハッケーシ(MSF)
サブルーチンパッケージ	既要
(1) 行列サブルーチン	行列の和,差,積,商の演算をはじめ,転置行列,逆行 列の作成,固有値と固有ベクトル,行列の人出力などを 行う。
(2) 多項式サブルーチン	高次方程式の根,多項式の和,差,積,商,微積分など 多項式に関する各種の演算,操作を行う。
(3) 連立方程式, 微分 積分, 特殊関数サ ブルーチン	
(4) 記述統計サブルー チン	ヒストグラム,各種データのフロッティング,基礎統計 量,次測値検査,モーメント計算などを行う。
(5) 確率統計サブルー チン	二項分布, ポアソン分布, 正規分布などの分布関数の値 の算出。検定 CU-検定, Q-検定などを行う。
(6) 多変量解析サブル ーチン	分散分析サブルーチン, 因子分析などの分析サブルーチン, 重回帰分析, 多項式回帰などの回帰分析サブルーチンなどが用意されている。
(7) 乱数サブルーチン	一様乱数の発生,検定,一様乱数をもとにした各種の分 布に従う乱数,マルコフ連鎖の乱数などのサブルーチン が用意されている。
(8) ノンパラメトリッ ク統計サブルーチ ン	Kolmogorov-Smilnovの像本アスト, X* 模定などの

7. 性能評価/障害管理

システム の制御性能は、設計時にはなかなか予測しがたい要因もあり、システム の最終調整で性能を定量的に測定することは重要である。同時に将来の拡張余裕といった情報も設備の増設が考えられる場合には必要となる。また、絶えずシステムを監視しておいて故障の場合、この原因を速かに検出することがシステム信頼性向上に有益である。OS 60 ではこれらのため次のような機能を用意している。

7.1 性能測定ツール

性能評価 データ を時系列に測定採集し、 これらを編集、印刷する ソフトウェアパッケージ を用意している。どの程度の時間精度、期間で負荷変動を知りたいかによって、採集方法と印刷出力を選択することができる。採集方法には高精度と履歴があり、前者は短い期間内での変動を詳しく知るのに対し、後者は日、週、月といった長期間での変動をとらえるのに適している。

7.2 障害管理ツール

システムの障害が発生した場合、障害が発生するまでの経過を知るととは障害の早期解決に有益である。 タスク の実行状態、 入出力の状

態など収集する項目をあらかじめ設定することにより、障害発生時 に経過情報が得られ、自動時に待避された システム 状態情報とともに 有益な情報を提供する。

8. 互 換 性

OS 60 ではプログラム のみならず, データやファイル の互換性に留意した。ファイルシステム は M-50 の ファイル と上位互換性をもたせ,固定小数点 データ, 浮動小数点 データ の表現形式の互換性 を 保 っ た。 M-50 の TSOS の SVC は,ほとんどのものが シミュレート される。

9. む す び

32 ビット工業用計算機《MELCOM 350-60》の ソフトウェア, OS 60 について主に リアルタイム の制御に関係した機能を中心に説明した。 このOS は《MELCOM 350-30》に始まる 350 シリーズの 15 年にわたる歴史をうけつぎ, ユーザー 各位の貴重な御意見をとり入れて完成した。これからも工業用 ユーザー の要求をとり入れ、より良いものへの改良を行い、工業用 システム の発展に少しでも役立てれば幸いである。参考として OS 60 の SVC マクロ 命令の機能を示す (表 3.)。

表 3. OS 60 SVC マクロ 命令一覧

分類	スーパバイザマ クロ名	機 能 概 要										
	ABLE	タスクを起動可能状態にする。										
	DISABL タスクを起動不可能状態にする。											
	FORKG	タスクの生成及び実行要求(時間後起動,時刻指定起動,周期										
Я		起動可能)。										
ス	FORK	タスクの生成及び実行要求(FORKG の予約パラメータタイプ,										
ŋ		短縮形)。										
2	CANCEL	時間,時刻起勁タスクの登録削除。										
管	STOP/QUIT	タスクの実行を終了する。										
理	HALT	タスクの実行を中断させる。										
	RESUME	タスクの HALT 状態を解除する。										
	PURGE	タスクの実行をやめさせる。										
	EXTRCT システムデータの内容を得る。											
管プ	LOAD	オーバレイセグメントのロード。										
グラ	LOADD	オーバレイプログラムのロード。										
理ム	LOADG	セグメントのロードとエリトリアドレスからの実行開始。										
	EXIO	入出力機器への入出力要求。										
人	PACRD	補助記憶装置(ディスク装置)からの入力要求(入出力の終了										
Ш		同期もとる)。										
カ	PACWRT	補助記憶装置 (ディスク装置) への出力要求 (入出力の終了同										
管		期もとる)。										
理	MSGANS	メッセージの出力要求(メッセージの出力要求の登録、出力は										
		非同期に行われる)。										

分類	スーパバイザマ クロ名	機 能 概 要							
同期管理 资源	DELAY WAIT WAITM LOCK	タスクの実行を遅延させる1時間経過の報告を要求する。 単一事象の完了待ち合わせ。 複数事象の完了待ち合わせ。 リソースの占有要求(辨他使用と共有使用の2種類がある)。							
資源管理 管理	UNLOCK	リソースの解放要求。 エリアの使用を動的に要求する。							
型ア	FREEM TIMSET								
クイマ管理	TIMADJ DATE TIMGET TIMBTC TIMCTB	時刻の補正。 日付のセット。 現在の日付,曜日,時刻を得る。 バイナリータイムをキャラクタの時刻パターンに変換する。 キャラクタの時刻をバイナリタイムに変換する。							
異常管理 理	SPIE STAE	プログラムチェック時の出口ルーチンの定義を行う。 タスク異常終了時出口ルーチンの定義を行う。							
メッセージ交換	SNDMSG ANSMSG RCVMSG TQINIT	相手タスクに対してメッセージの送信を行う。 受けとったメッセージに対する応答メッセージを返す。 送られたメッセージをタスクキューから読出す。 タスクキューの初期設定とシステムへの登録を行う。							
割込管理	CONNEC DISCON	割込発生時に実行するユーザーサブルーチンを登録する。 割込発生時に実行するユーザーサブルーチンの登録を削除する。							

工業用計算機《MELCOM 350-60》の ソフトウェア開発支援システム

博*・竹 田 栄 作*・David.G.BLIESNER*・大久保忠雄** 加藤幸男*・小林

1. まえがき

近年,産業界において、省力化、省エネルギー化の要求が強まるにつ れ、工業用計算機システムの数は急速に増加しつつある。またその規 模も年々大形化の傾向にある。しかしながら、それらの計算機を動 かすための ソフトウェア 開発要員や保守要員の数は システム の増大ほど には増加していない。

《MELCOM 350-60》(以下, M-60と称す)では,少ない人数で 信頼性の高い システム を効率良く開発し、 保守するために システムの 計画段階から製作、調整、 改造にいたる ライフサイクル の サポート を目 指し、各種支援ソフトウェアを用意している。

2. 開発意図と特長

M-60 の開発・保守支援 システム は、計算機 システム の計画から始まり 保守に至る ソフトウェア 生産の ライフサイクル の各 フェーズ ごとに、プログラ マの負担を軽くするための各種支援ツールをそろえている。M-60の ユーザーは、これらの支援 ツール の助けにより、ソフトウェア の生産性と 信頼性の向上を図ることができる。 M-60 の開発・保守支援 システム は、次のような特長を持っている。

(1) 信頼性の向上

ソフトウェア の信頼性は、プログラム の作成・試験段階だけでなく、計画 ・設計段階によっても大きく左右される。 M-60 開発・保守支援 シ ステム では、プログラム の デバッグテスト 用に会話形 デバッガ、 VM (バーチャル マシン), インタフェースチェッカなどのツールをそろえているほか、テスト計 画の妥当性を チェック するための テストカバレージ 測定 ツール・オンライン 運 転に支障をきたさずに被 テストプロクラム を実行できる デバックモード など 多くの支援 ツール を用意している。

また、計画・設計段階における支援 ツール として MPSS (システム 負荷 シミ ュレータ) などを準備している。

(2) 生産性の向上

ソフトウェア 生産性の向上のための ツー ルとして、TSS や エディタを始め, データベース 用の エディタ (DBEDIT), JCL の記述を助ける カタログドプロシジュ ァ, M-50 の ソフトウェア を M-60 上で 又は M-60 の ソフトウェア を ホスト 計算 機上で開発する ホストプロセシング など を用意している。ユーザーは、これら のツールを使うことに より効率良く 作業を進めることができる。

(3) 保守性の向上 システム が完成したあとの保守は、 ュ -ザーにとって大きな仕事となる。 M-60 では、 システム の稼働状況を把

握するために、稼働管理機能を用意しているほか、計算機の操作を 計算機室外(管理 センター など)から行える リモート 保守機能や, 計 算機内の プログラム の状況を管理する世代管理機能などを用意し、ュ -ザーの負担を極力軽くしている。

3. ライフサイクルサポート

《MELCOM 350-60》開発・保守支援 システム における各種支援 ツー ルと ライフサイクル の関係を図 1. に示す。

4. 計画/設計

計算機システムが完成後うまく動くか否かは、システムの計画・設計段 階に負うところが多い。特に システム の負荷や スループットは、計画時 点で予測しておかねばならず、システムエンジニアの負担になっている。 また、 システム 全体の設計・製作手法を統一するための ガイドライン を 確立することもこの段階の仕事である。

システム 負荷 シミュレータ(MPSS 60) は、計算機 システム の計画・設計 段階において, 各種 リソース(CPU,補助 メモリ ほか)の負荷を予測 するための ツール である。MPSS 60 を使うことにより、ユーザー は自 己の システム に関する各種 データ をもとに システムの シミュレーション を行 い,応答性を調べ,それをもとにシステムの最適設計を行うことがで きる。MPSS からは次のような情報が得られる。

- (1) リソース 占有率 (CPU, 主 メモリ, 補助 メモリ ほか)
- (2) 待行列情報(最大待数,平均待数,平均待時間など)
- (3) プログラム 実行 サマリ
- (4) 許容以上遅れた プログラム の情報

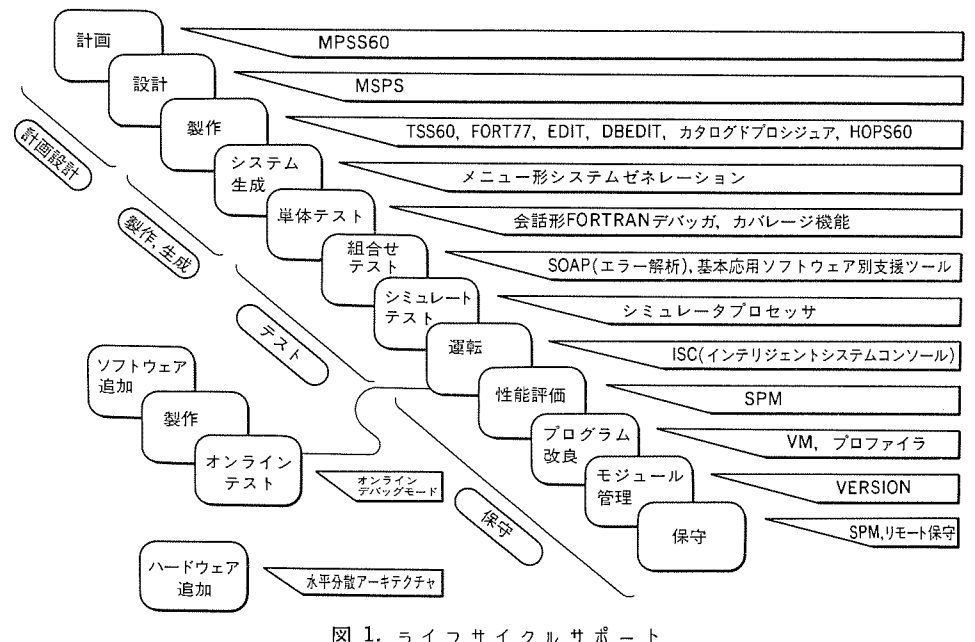


図 1. ライフサイクルサポート

5. 製作/システム生成

計算機 システム の開発過程で、 プログラム や データ の製作作業はかなり の割合を占めている。また、メーカー から供給される標準 プログラム を自分の システム に合わせて組上げるいわゆる システムゼネレーション 作業は、プログラム の製作段階から調整段階において パラメータ を変更しな がら何回となく実行される。 これらの作業を効率良く行えるよう M-60システム では次のような ツール 類を用意している。

5. 1 タイムシェアリングシステム (TSS 60)

プログラム や データ の製作作業を効率良く行うために、 TSS 60 を用意している。 TSS 60 用の端末としては、 オンライン 運転用の タイプライタ や CRT を流用できるので、プログラム 開発用に特別な端末 を 準備する必要がない。

5. 2 コマンド言語

ソフトウェアの開発、保守、システムの保守などを行うための ツール として、豊富な ユーティリティプログラム を用意しており、 ジョブコントローラ(JBCON)の下で オンライン の制御を妨げることなく処理することができる。 これらの ユーティリティプログラム は、会話形 ジョブ、バッチ 形 ジョブ 共通の簡単な コマンド で処理の記述ができる。 定形作業に対しては、 カタログドプロシジュア により作業の効率化が図れる。 カタログドプロシジュア の使用例を図 2. に示す。

また、システムで決められたコマンド名をユーザーの決めた他のコマンド名に変更するシノニム機能を備えているので、ユーザーは自分の覚えやすいコマンド言語を定義できる。

5. 3 FORTRAN 77

《MELCOM 350-60》では、プログラミング 用基本言語と して FORT-

RAN 77 を準備している。FORTRAN 77 は ANSI(X 3.9 1978) の 規格に準拠しており、当社独自の拡張機能として、スーパバイザコール機能、ビット 操作機能、 リエントラントサブルーチン 作成機能、 基底付き構造体 データ 宣言機能など リアルタイム 用の機能を備えており、より強力なプログラミング 言語となっている。

5. 4 ソースエディタ (EDIT)

プログラム や データ の作成,変更を TSS 端末から会話形成で,あるいは バッチジョブ として行うために ソースエディタ を用意している。

5.5 データベースエディタ (DBEDIT)

計算機の利用分野の拡大とともに、プログラム や データ の量が増加している。大量の データを簡単な操作で修正、変更できる ツール として、データベースエディタ (DBEDIT) がある。計算機 システム で使用する各種 コットロールワード、テーブル などの データベースを CRT などの端末装置 から会話的に表示、検索、更新できる。その指定方法も論理 レベル で(各レコード 内の各 アイテム に各々名前を付けてその名前で) 指定できる。 これにより データベース の保守が容易に、 かつ確実に行え、また論理的な情報で表示するので データベース のドキュメット 性が向上 できる。 DBEDIT の コマッドを表 1. に示す。

5.6 ホストプロセシング

ホストプロセシング とは、 ターゲットマシン の ソフトウェア 開発を, それより大形の プログラミング 環境の良い計算機上で行うことにより, 生産性の向上を図るものである。M-60 には、2種類の ホストプロセシング機能がある。一つは図 3. に示すように, M-60 の プログラム 開発を更に上位 (IBM マシン など) の計算機で行うものであり, もう一つは下位機種である M-50 の プログラム 開発を M-60 上で行うものである。後者については、M-60 の プログラムファイル から データウェイ を経由して M-50

を IPL するなど, 分散形 システムの構築に必要な機能を備えている。

5.7 メニュー形システムゼネレーション M-60 の標準 プログラム は、すべて ロードモジュール 若しくは、オブジュクトモジュール として供給する。これらのプログラム は全 システム 同一の内容であり、システム ごとの ゼネレーション 作業は、各プログラム ごとにあらかじめ用意され

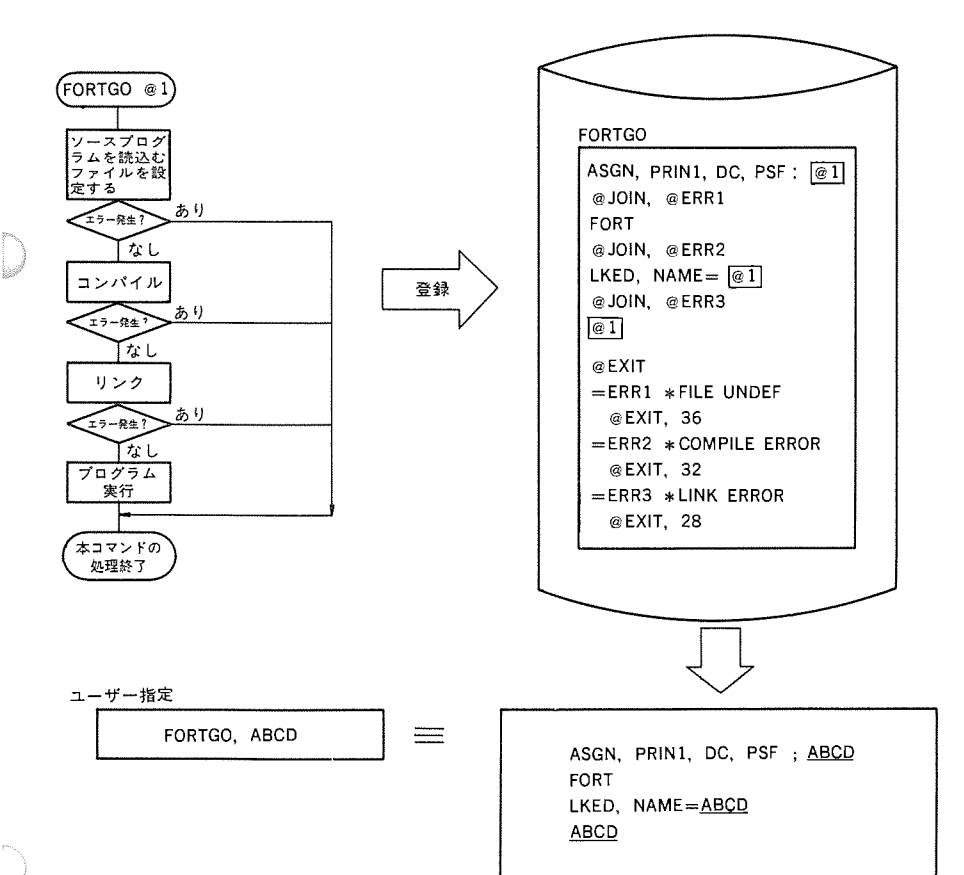


図 2. カタログドプロシジュア

表 1. データベースエディタコマンド 一覧

コマンド	コマンド機能
DD	データ記述入力
FN	データファイル指定
BS	先頭レコードアドレス指定
ST	イントラレコードモードセット(順次)
SE	イントラレコードモードセット (一括)
DP	データ記述の表示
DK	ディスクデバイス指定
CD	CRT アクセス時のディスクデバイス指定
PO	ポインタオフセット値指定
PR	レコードの印字
DE	レコードの削除
IN	レコードの挿入
END	終了指定
	イントラレコードコマンド

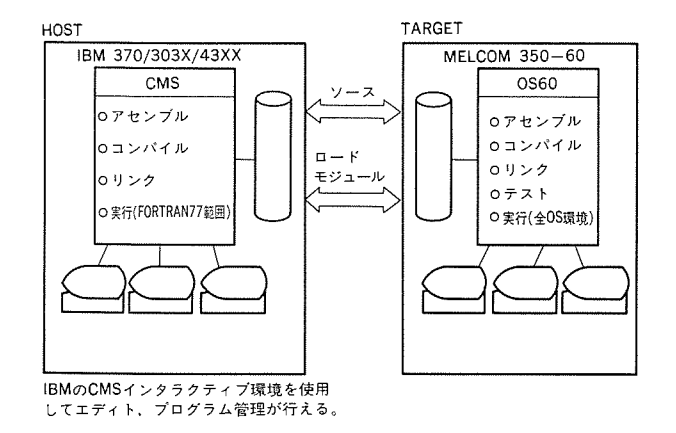


図 3. ホストプロセシングシステム

た標準のテーブル類(ソース 供給)を変更することによって行う。この方法により、 システムゼネレーション 作業を効率化するとともに、 システム の信頼性の向上を図っている。

6. 単体・組合せ・シミュレートテスト

プログラムの テストは、システムの信頼性を決める重要な作業であり、また システム 開発過程の中で大きな部分を占めている。この段階の作業を効率良く行うためには、単体・組合せ・シミュレートの各 テスト 段階に合った ツール が必要である。

6.1 FORTRAN 会話形デバッガ

単体 テスト 用の ワーール であり、FORTRAN 77 で記述した プロクラム を TSS 端末を使って ソースレベル で テストデパック するための機能を備えている。 すなわち従来のような 16 進の ア ドレス 情報でなく、変数名や 文番号などの シュボリッック な情報を用いて作業ができる。 また、テスト用の モシュール は、オリシナルソース を変更することなく、コュパイル時に オ プション 指定するだけで作れるようになっている。

主な機能として、テスト機能(プログラムの実行開始/停止、変数の

値の $f_{x,y,0}$, 条件判定), デバッグ 機能(変数の値の変更, 文単位の 実行制御, 実行 h_{U-2}), 評価機能(文実行頻度の統計の収集,未 実行文の y_{2}, y_{2})などがある。(表 2.)

また FORTRAN 77 は、サブルーチンの コーリングシーケンス(パラメータ数と データタイプ)を チェック する機能がある の で、 アプリケーションプログラムの BUG の中で最も多いと言われている サブルーチンコール の誤りを、単体 テスト 以前の段階で検出できる。

6. 2 VM 60

VM 60 は、M-60 の ハードウェア 機能を シミュレート する プログラム である。 対象計算機 システム の全体(スーパバイザ を含めて)の動きを シミュレート しているため、タスク の並行動作、 基本 ソフトウェア 及び基本応用 ソフトウェア の動きも シミュレート され、 ターゲットマシン における各 ソフトウェア の組合せ テスト に有効な ツール である。 更に、 ソフトウェア の性能評価(命令実行回数測定機能など)、 動作解析の ツール としても有効に活用できる。

VM 60 は、シミュレート対象計算機 システム の全主 メモリ 領域を擬似 化して持っているので、被 シミュレートシステム の影響が実 システム に及 ばないようになっている。 また、豊富な テスト、デバッグコマンド(ブレークポイント 指定、トレース、データの セット、ダンプ など)を用意しているので、様々な場面に応じて有効に活用できる。 特に、通常の テスト 環境では実現できない エラーテストケース なども簡単に設定できるため、きめ細かい テスト が可能となる。 VM 60 の使用例を図 4. に示す。

6.3 エラー解析ツール (SOAP)

組合せ テスト ないしは総合 テスト 段階で発生した トラブル の原因 追求は、単体 テスト のそれに比べ格段に難かしくなる。 SOAP は、この段階での トラブル の原因追求のための ツール であり、次のような機能を持っている。

- (1) ユーザープログラム の動作事象(SVC 発行、 サブルーチン呼出し)の トレース
- (2) 障害発生時の主 メモリ 内容の保存と印字出力 これらの データ は、 分かりやすい形で印字出力されるので、ユーザ

表	2.	FORTRAN	会話形	デバッガコファ	," 一瞥
24		TOTELLUIT	五四ル	ノハツカコマン	見

コマンド	コマンド機能									
ASGN	論型装置名の物理装置への割付けを行う。									
AT	ブレイクポイントを設定する。またプレイクポイントにプログラムのコントロールが渡ったときに実行するコマンドリストの指定ができる。									
END	すべてのテストを中所し、会話形デバッグコマンドモードを終了させる。									
GO	プレイクポイント,アテンション翻込み後,又は実行エラー後のいずれかで停止しているプログラムの実行を再開させる。									
HALT	このコマンドは IF コマンドのサブコマンドとしてのみ使用される。 もし IF コマンドで与えられた条件が真の場合,そこでプログラムの実行は停止し,ユーザーにコントロールが渡る。									
IF	条件をテストしその条件が真の場合は一つのサブコマンドを実行する。									
LIST	変数値や記憶域の内容を表示する。その値は各種形式で表示される。									
LISTBRKS	現在設定されているすべてのプレイクポイントと,現在定義されているすべての WHEN 条件をリストアップする。									
LISTFREQ	文の実行頻度をリストアップする。又は一度も実行されなかった文をリストアップする。									
NEXT	次の文に一時的にプレイクポイントを設定する。									
OFF	AT コマンドで設定されたプレイクポイントを解除する。									
QUALIFY	現在実行しているプログラムユニット以外のプログラムユニットに対するコマンドを使用したいときに,とのコマンドによって対象としたいプログラムユニット名を指定する。									
RUN	このコマンドにより以後のテストは行わず,プログラムを再開し終了する。									
SET	変数又は配列要素の値を変更する。									
SKIP	指定された FORTRAN 文を実行しないようにする。									
TRACE	プログラムの実行の流れのトレースを開始又は停止させる。									
WHEN	条件のモニタリングの開始を設定する。									
WHERE	- 現在どの文にいるか,又はアテンション割込みを行ったときどの文を実行中かを知りたいときに使用する。									

図 4. VM 60 の 使 用 例

- の トラブル 解析時間を大幅に短縮できる。

6.4 デバッグモード

システムの増設や改造時、若しくは テストの最終段階では、1本の タスク に対する入力は オンラインデータ を用い、出力は抑止するような形での テスト(これを オンラインテストと呼ぶことがある)ができると、テスト作業が楽になるだけでなく信頼性の向上に非常に効果がある。M-60 では、タスクの起動時に オンラインモードが デバッグモードかを指定できる。デバッグモードの プログラム からの入力要求(例えばプロセス入力)は、オンラインの データがそのまま伝わり、出力要求(例えばプロセス出力)は無効となるので、オンライン 動作環境で信頼性の高い テストを行うことができる。

7. 性能評価/改良/保守

いったん動き出した システム は、 オンライン で運転しつつ性能を評価し改良して初めて完成した システム となる。そのためには、計算機内の各種 リソース の使用状況や、応答性など詳細な データ が必要である。またこのような評価には、 数砂といった時間的な データ と、 1日とか 1 か月といった長い期間の データとが必要である。

一方, こうして完成した システムは, その後, 何年にもわたる保守の段階に入る。工業用計算機 システムでは, 計算機は通常広い構内に分散配置されるので, これらの計算機の点検は保守担当者にとってかなりの負担となっている。

7.1 システムパフォーマンスモニタ (SPM)

SPM は出来上った システム の改善のために、システム の動作状態を測定するための ツール であり、次のような項目が測定できる。

- (1) CPU 占有率
- (2) ディスク や デバイス の使用頻度
- (3) タスク や サブルーチン の動作回数
- (4) タスク の応答性
- (5) その他

これらの データは、 短時間 (秒単位) の変化と、長時間 (日又は月

単位)の平均値とを収集できる。 ユーザー はこれらの データ をもとに システム の改善の手がかりとするとともに、システム の将来における拡張予力を知ることができる。図 5. に SPM の出力例を示す。

7.2 リモート保守

計算機の保守作業を、遠く離れた管理 センターのような場所から行えるよう、M-60 では インテリジェント システムコンソール (ISC) を標準装備している。 ISC は、 CRT と $+-\vec{n}-\vec{r}$ 及び FLD で構成する デバイスであり、計算機から出力される エラーログ 情報や $+-\vec{r}-\vec{r}$ からの操作履歴は FLD へ自動収集される。 FLD に収集された データ は、必要に応じて CRT や $N-\vec{r}$ つピー に出力することができる。 また、 FLD内に蓄積された情報の中から、エラーの発生回数を要因別に集計しサマリとして出力することもできる。

また図 6. に示すように、離れた場所にあるもう 1 台の ISC と通信回線で結合することにより、計算機の保守作業を管理 センター のような所から行うことができる。ISC と ISC の結合は公衆電話回線によっても行うことができる(音響 カプラ 使用)ので、 メーカー の技術者の支援のもとに保守作業を行うことも可能である。

7.3 分散形システムの保守

データウェイ で結合した複数計算機 で構成する分散形の システム では,下位の計算機は通常現場近くの例えば運転室のような所に設置される。 M-60 では,このような計算機室から離れた下位計算機の出力する各種 エラー 情報を上位の計算機に集中することにより, 下位計算機の保守を上位計算機の ISC から行うことができる。また,この ISC を先に述べたように通信回線で別の ISC に接続し,更に遠く管理 センター のような所から下位計算機を含めた分散形 システム 全体の保守が可能である。(図 7.)

8. む す び

M-60 システム の開発・保守支援 システム は, 517 サイクルサポート を目標 として開発し,以上述べたような各種機能を備えるに至った。しか しながら,開発・保守支援に対する 1- ザーの 1- ズ は今後ますます

## SPM HOURLY	, RE	PURT *	¢ (17/	17/17	01:12	- 6/0	6/06 0	2:12)		12:3	4:56	82-0	9-12	PAGE	1	
CPU ANO AREA:	С	PU	WORK	TCB	LUCKQ	TIMEQ	MSG	POUL	CCB							
PK/AV Util(*) /	1	2/3	4/ 5	6/7	8/ 9	10/11	12/13	14/15							
ERROR ÍD:		CK	MCK(SD) MCK(PÖ) MC	K(SR)	MCK (ED) MCK (ER)					•		
COUNT	100	10.6	2000	5 30	004	20013	2001	2 20	j 11						•	
DEVICE PUBNO:	0	1	2	3	4	5	6	7	. 8	9_	10	11_	12	13	14	15_
ACC (1/HR)	60	180	300	420	540	660	780		1020	1140	1260	1380	1500	1620	1740	1860
ERROR COUNT	2	. 4	5	8	10	12	14	16	18	20	22	24	26	28	30	32
DEVICE PUBNO:	16	17	18	19	20	21	22	23	24	25	26	27	28	29	30	31
ACC (1/HR)	1980	2100	2223	2340	2:460	2580	2700	2820	2940	3060	3180	3300	3420	35 40	3660	3780
ERROR COUNT	34	36	38	40	42	44	46_	48	50	52	54	56	58_	60	62	64
DEVICE PUBNO:	32	33	34	35	36	37	38	39	40	41	42	43	44	45	46	47
ACC (1/HR)	3900	4020	4140	4260	4380	4500	4620	4740	4860	4980	5100	5220	5340	5460	5580	5700
ERRUR COUNT	66	68	70	72	74	76	78	80	82	84	86	88	90	92	94	96
DEVICE PUBNO:	48	49	50	51	52	53	54	55	56	57	58	59	60	61	62	63
ACC (1/HR)	5820		6060	~6180		6420	6540	6660	6780	6900	7020	7140	7260	7380	7500	7620
ERRUR COUNT	98	100	102	104	105		110	112	114	116	118	1 20	122	124	126	128
TASK PIB NO:	1 F F	166	166	155	1 F F	1FF	1FF	1 F F	1 F F	1 F F	LFF	1 FF	1 F F	IFF	1FF	1 F F
FORKED(1/HR)		420	780		1500	1860	2220	2580	2940	3300	3660	4020	4380	4740	~5100°	5460
PK RESP(MS)	2	8	14	20	26	32	3 9	44	50	56	62	68	74	80	86	92
AV RESP(MS)	3	. 9	15	21	27	33	39	45	51	57	63	69	75	81	87	93
PK EXEC(MS)	. 4	10	16	22	28	34	40	46	52	58	64	70	. 76	_ 82	88	94
AV EXEC (MS)	~ · 5	11	17	23	29	35	41	47	53	59	65	71	77	83	89	95
OISK ACC	6	1.2	18	24	30	36	42	48	54	6,0	66	7.2	78	84_	90	96
USER DATA NO:		1	2		3	4		5	6		7	8		9	10	
ADDRESS:	000027	711 000	002712	000027	13 000	02714	000027	15 000	Ĵ2716	000027	17 000	02718	000027	19 000	0271A	
INCREASE		1	2		3	4	1	01	102	1	0,3	104	l	.05	106	
** CASE 2 **																
TIMBTC TIM	1E=05:U	3:05	E	RR=	0											
TIMBIC TIM	1E=08:0	3:05	E	RR=	0											
TIMGET TIM	4E=12:3	33:13	82-0	9-22	ERR=	.0									-	

図 5. SPM 出力例

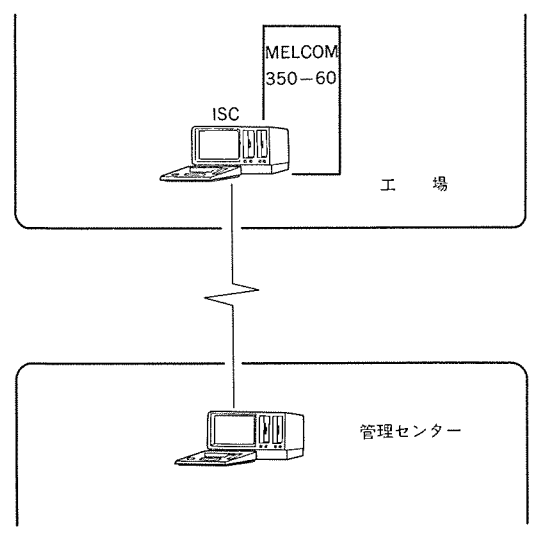


図 6. リモート保守

強くなることが予想されるので、 これらの支援 ソフトウェア も今後改良を重ね、より良いものに発展させたい。

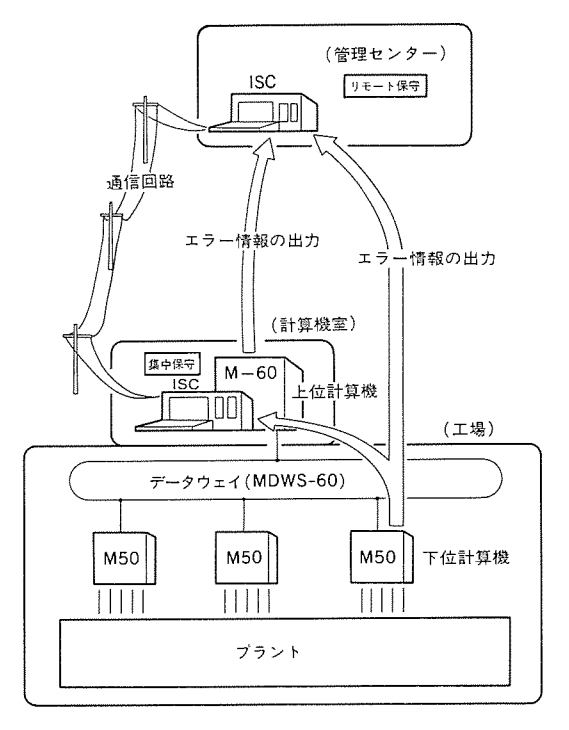


図 7. 分散形 システム の リモート 保守

工業用データウェイシステム《MDWS-60》

松 本 正 弘*·那 須 昭 吾*·池 山 茂 樹*·三野容志郎*

1. まえがき

データウェイは、工業用計算機と一群のプロセス入出力装置を結合する 直列伝送 システム から出発し、分散制御 システム の構築に欠くことの できない中規模通信 システム へと発展してきた。この間、光伝送の実 用化も手伝って、その性能は著しく向上し、適用分野も拡大された。 しかし伝送速度に依存した性能向上は、今や、頭打ちの状態であり、 分散形 システム への適合性を高めるには、入出力 インタフェース 方式、 通信方式などの見直しが必要であった。

《MDWS-60》は,通信 プロ クラム の大幅な ファームウェア 化と メモリ 共有の概念に基づいた通信方式の導入によって,高性能化を図った。本稿では ファームウェア 機能,通信方式及び RAS 機能の概要を紹介する。

2. 開発の意図と特長

2. 1 高性能化

データウェイの高性能化は、 これまで伝送速度の向上によって進めら

表 1. OSI プロトコル 階層と《MDWS-60》の内蔵機能

プロトコル階層	MDWS-60 の内蔵機能
アプリケーション圏	
プレゼンテーション層	・主記憶ファイル転送
セッション層	・論理チャネルの設定, 解放 ・転送オーダーの整合
トランスポート層	・メッセージの組立,分解
ネットワーク層	・自局折返し通信(データウェイを経由しない)の制御
データリンク周	・伝送フレームの誤り制御
物 理 層	・LCP とのインタフェース

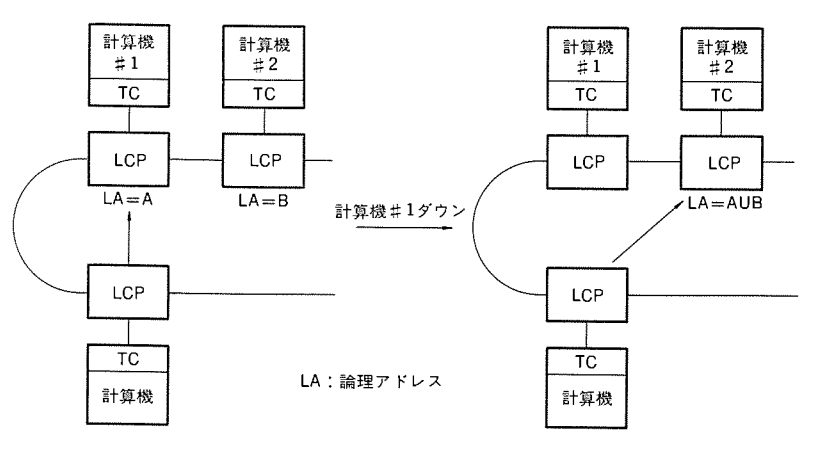


図 1. 論理 アドレス による バックアップ

れてきた。

従来のデータウェイの多くは、表 1. に示す OSI(Open System Interconnection) プロトコル 階層の データリンク層と物理層の下位 2 階層をハードウェアとファームウェア で実現し、その上位をソフトウェア に依存していた。この機能分担は、他の標準的な通信システムにおけるものに等しく、データウェイの高速性は、物理層が提供する伝送速度によるものであった。しかし、伝送速度が数十 Mb/s(メガビット/秒)となった現在では、通信プログラム性能や計算機負荷がネックとなり、伝送速度の向上だけでは高性能化に対応することはできない。今後は、上位プロトコルの性能改善による対応が必要となる。この観点から《MDWS-60》では、共有メモリの概念を実現するための通信方式の導入とそのファームウェア化によって高性能化を図った。

(1) 共有 メモリ の概念

従来,通信システムを介して接続した計算機間では,主記憶上のデータの共有に双方の通信プログラムの介入を必要とした。《MDWS-60》では,計算機が共有メモリを介して接続しているように,一方的な入出力制御によって他の計算機の主記憶にアクセスできる。この機能は,ファイル転送及びサイクリック転送と呼ばれる通信方式によって実現されていて,分散形共有メモリシステムとも言える構成を可能にする。これらの通信方式は,相手計算機あるいは自他双方の計算機のプログラム介入を必要としないため,高い応答性を保証する。

(2) 通信 プログラム の ファームウェア 化

《MDWS-60》の通信制御部には、16 ビットマイクロプロセッサのマルチプロセッサ構成を適用して、OSI モデルのセッション層までの機能を持たせた。これによって、アプリケーションからの接続要求に対する論理チャネルの設定や多重化、論理チャネルに対応したメッセージの組立、分解など、計算機負荷を大幅に削減している。

2. 2 高信頼度化

データウェイは、分散制御 システム の共通要素であり、 その信頼性が システム の稼働率に与える影響は大きい。《MDWS-60》では、基本的な通信機能は各局に等しく割当てられているが、 RAS 機能は、 回

復処理を高速化できること,異常検出を総合的に 行えることから μ -プコントローラ に集中化した。 ま た,計算機を含めた h-g μ -g μ 0 信頼度向上を 目的として,論理 g μ -g μ

(1) 論理 アドレス 方式

通信装置のアドレスは、計算機からプログラムで設定、変更できる。とのアドレスは、通信のあて先、送り元アドレスとして使用される。したがって、計算機がダウンした場合、そのアドレスを他の計算機が引継ぐことによって容易にバックアップできる(図 1.)。

(2) ステータスブロードキャスト

データウェイ の構成要素の異常を検出すると、伝送系 切換、ループバック などの再構成制御を実行する と ともに、系の構成状態を全計算機に伝達する。

表 2. 《MDWS-60》の高信頼度化対策

データウェイの冗長化構成	・伝送路の二重化 ・ループコントローラの二重化
冗長化システム構成の支援	・論理アドレス方式 ・ステータスプロードキャスト
障害の波及防止	 ・バイバス ・伝送路切換 ・ルーブバック ・ルーブカブラカードユニットの切換 ・ループコントローラカードユニットの切換
保守の支援	・エラートレース・ループコントローラによる各ステーションの定周期診断

(3) エラートレース

各局で検出された通信上の $_{5-}$ は、 その情報と時刻が $_{n-}$ プコントローラ に記録され、 一定の条件のもとで参照することができるので、 $_{5-}$ 解析の効率化や重故障の未然防止に効果がある。

(4) 周期診断

ループコントローラ は、全局を同期的に テスト する。異常を検出すると、その局の通信 ユニット の切換(二重化 システム の場合)を行うとともに エラートレース 域に記録する。(表 2.)

3. 《MDWS-60》 の構成, 仕様

《MDWS-60》の構成例を図 2. に、仕様を表 3. に示し、その構成要素は次のとおりである。

(1) 伝送路

同軸 ケーブル 又は光 ファイバケーブル であり, ループバック のために二重化することもできる。 伝送信号は, $15.36~{
m Mb/s}$ の ベースバンド 信号である。

(2) ループコントローラ (LCN)

 ν -プ 伝送路の同期の生成, f-タウェイ の運用状態の監視,制御を行 う。

(3) ループカプラ (LCP)

伝送信号の再生中継,ループバック, バイパス 機能を含み, ターミナルコントローラ に対して伝送路との インタフェース を与える。

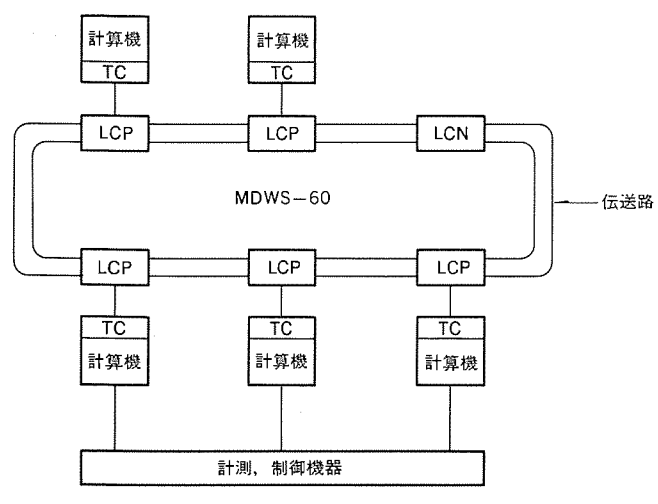


図 2. 《MDWS-60》 の構成例

表 3. 《MDWS-60》 仕様

ステーション数	最大 126 台	
ステーション問距離	標準 1km (同軸ケーブル)	
伝 送 速 度	15.36 Mb/s	
ラインアクセス方式	フリーアクセスタイムスロット方式	
多重化方式	バケット多重化方式(最大パケット長 512 バイト)	

(4) ターミナルコントローラ (TC)

入出力制御装置として計算機内に実装する カード であり、 通信 プロトコル を実行する。

4. ファームウェアの機能

(1) 論理 チャネル の多重化

通信は、相手との接続、データの交換及び切断の手順で行う。 従来の通信システムでは、アプリケーションプログラムの通信要求を多重処理し、通信装置の共有を実現するのは計算機内の通信プログラムであった。 通信プログラムは、アプリケーションプログラムからの要求に対して、その接続から切断までの間、論理的なチャネルを割当て、更に実際に入出力が必要とされる場合にだけ、その論理チャネルに通信装置を割当てることによって多重化を実現していた。

《MDWS-60》では、計算機の入出力 サブチャネル と TC 内の ファーム ウェア が管理する論理 チャネル とを 1 対 1 に対応させ、更に アプリケーションプログラム と入出力 サブチャネル を 1 対 1 に対応させることによって、アプリケーションプログラム と論理 チャネル の 1 対 1 を実現し、セッション 層のファームウェア 化を図った。この様子を図 3. に示す。

(2) メッセージの組立,分解

TC は、複数の論理 チャネル からの出力要求に対して、図 4. に示すとおり メッッセーーシ を分割し、パケット として送信することによって通信 チャネル の共有を実現している。パケット 長は、最大 512 バイト である。 伝送 ェラー による パケット の消失、重複を防止するため、パケット には 論理 チャネル ごとに パケット 番号を付ける。

(3) データリンク 制御

HDLC に準拠した伝送 フレーム により、パケット を送受信し、伝送 フレームレベル の誤り制御を行う。 したがってこの層では、 論理 チャネルの識別は不要となる。従来の通信 システム では、 データリンク 制御が通

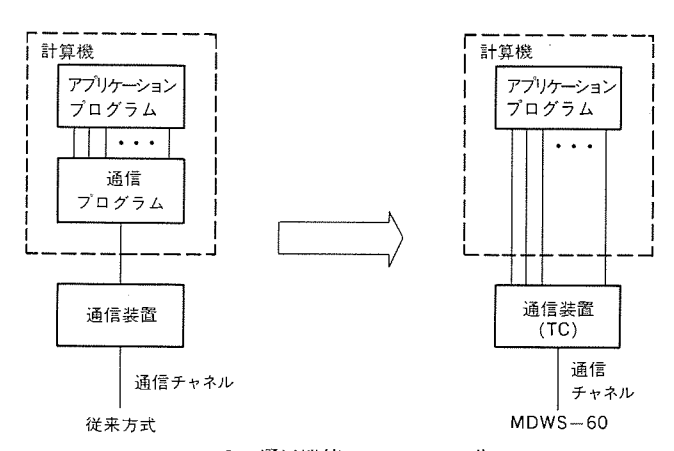


図 3. 通信機能の ファームウェア 化

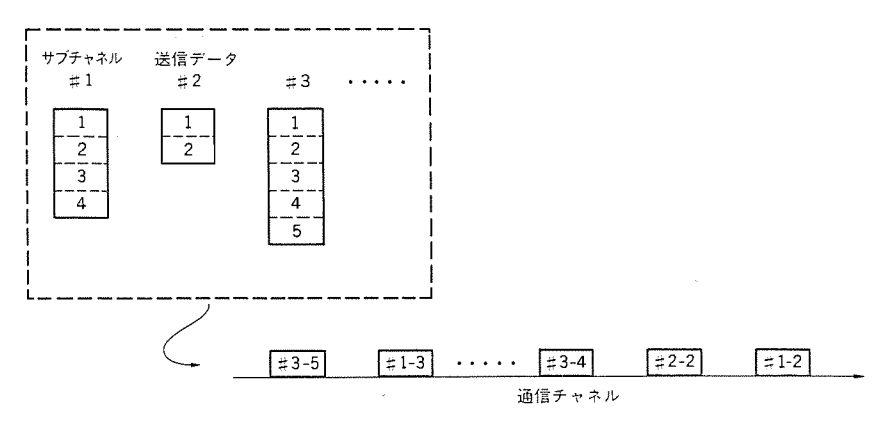


図 4. パケット 多重化方式

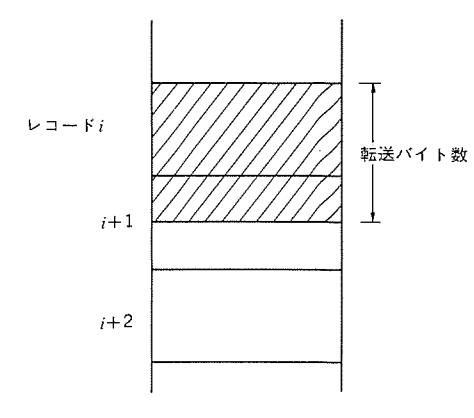


図 6. コンティニュアスアクセス

信装置の主機能であった。

5. 通信方式

5.1 メッセージ転送

メッセージ 転送とは、データの転送が送受双方のプログラムの制御の下に行うものである。 す なわち、送信側が WRITE オーダー、受信側が READ オーダー を発行して初めて データの転送が可能となる。この転送は主に、システム 管理情報に適用される。 メッセージ 転送は、接続、データ 転送及び切断の フェーズ からなり、その概要を図 5. に示す。

(1) 接続 フェーズ

発呼側計算機から出された接続要求 オーダー は、空き サブチャネル を介して TC へ伝える。TC は着呼側 TC へ接続要求 メッセージ を送信する。これを受けて着呼側 TC は、サブチャネル # O に割込みを発生する。割込みによって該当 プロセス が起動し、空き サブチャネル を介して接続応答 オーダー を発行し、発呼側 サブチャネル へ接続応答 メッセージ を返送する。以上により、発呼側、着呼側の サブチャネル あるいは アプリケーションプロセス 同士の接続が完了する。

(2) データ 転送 フェーズ

データ 転送 フェーズ では, 着呼側から出された WRITE (READ) オーダー が, データウェイ を経由して発呼側に伝達し, 発呼側から出された オーダー との整合を確認した後, データ の転送を開始する。 すなわち オーダー の整合は, 発呼側TCでとられる。 データ の転送は, アプリケーションプロセス の バッファ 間の直接転送であり プログラム の介在を必要 と しない。

(3) 切断 フェーズ

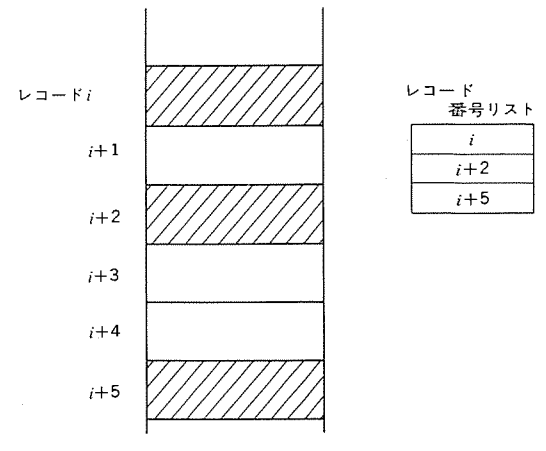


図 7. サップリッグアクセス

切断要求 オーダー は,発呼側, 着呼側いずれの プロセス からも発行することができる。この オーダー を発行すると, データウェイ を経由して切断要求 メッセージ が伝達され, 相手の サブチャネル に割込みが発生し双方の サブチャネル が解放される。

5.2 ファイル転送

ファイル 転送とは、発呼側 プロセス と着呼側計算機の主記憶の間の データ 転送であり、着呼側計算機の プログラム 走行を全く必要としない。したがって着呼側では、あらかじめ ファイル を定義し、TC 内にそのディレクトリ を初期設定しておく。ディレクトリの容量は 63 ファイル である。ファイル は、システム で ユニーク に割当て られる識別子(ファイル ID)

により、いずれの計算機からも READ 又はWRITE することができる。ファイル転送には、コンティニュアスクセスとサンプリングアクセスの2種類がある。

(1) コンティニュアスアクセス

図 6. に示すとおり、 ファイル 内の 連続する領域の アクセス である。 アクセス に当たり、 発呼 プロセス は ディレクトリ 指定情報と して、 ファイル ID, 先頭 レコード番号及び転送 バイト 数を用意する。

(2) サンプリングアクセス

図 7. に示すとおり、 離散してい

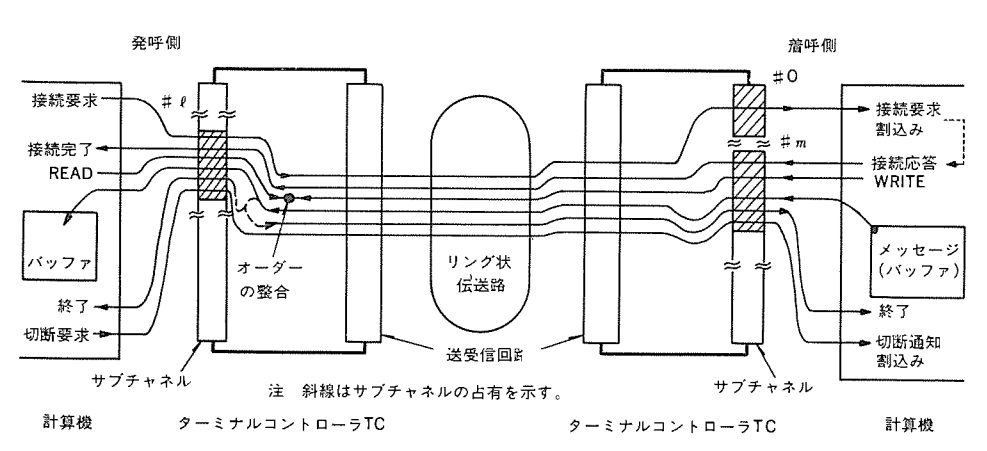


図 5. メッセージ 転送 シーケンス (リード の場合)

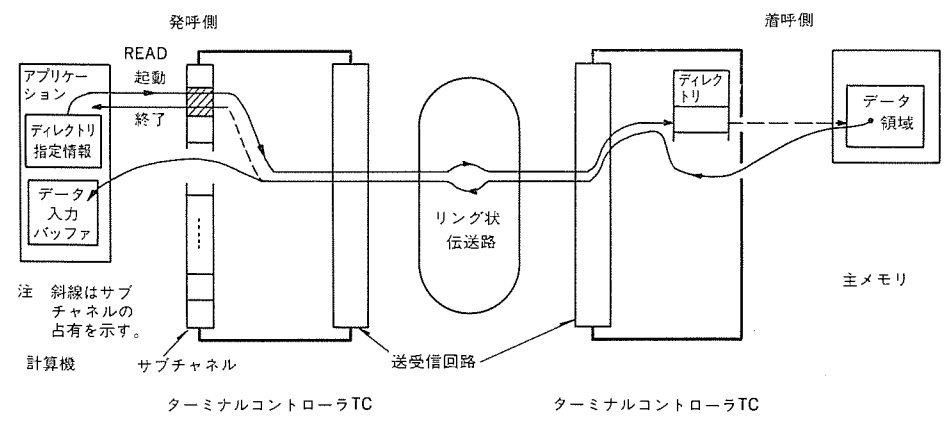


図 8. ファイル 転送 シーケンス (コンティニュアスリード の場合)

る複数の ν コードの rクセス である。 rクセス に当たり,発呼プロセス は τ ファイル τ と τ かる。

ファイル 転送は図 8. に示すとおり、メッセージ 転送に比べて手順が 簡潔であり、着呼計算機における プログラム の介入がないため、応答性が非常に高く、制御情報の転送に適している。

5.3 サイクリック転送

サイクリック 転送とは、計算機の主記憶間の データ 転送であり、送信側 においても受信側においても計算機 プログラム の走行を全く伴わない。サイクリック 転送が適用される データ は、その データ 識別子、 データ の先頭 アドレス及び データサイズ をあらかじめ TC に設定しておき、その TC が周期的に送信権を得る度に送信される。 データ の受信側では、 必要とする データ ID とその格納 アドレス を TC に初期設定しておくことにより、所定の メモリエリア が周期的に更新される。 サイクリック 転送は、

データ に対する操作と データ 更新の タイミング との同期を必要としない 連続プロセスの制御情報の転送に適している。

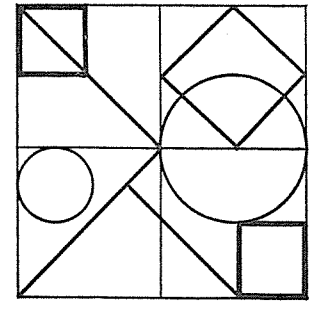
6. む す び

- プログラム 間の通信(メッセージ 転送)
- プログラムーメモリ間のデータ転送(ファイル 転送)
- メモリ間のデータ転送(サイクリック転送)

これら3種類の通信 τ-ドを計算 機負荷をほとんど伴うことなく実

参 考 文 献

- (1) 中塚ほか:分散制御 IC 適した工業用 データウェイ 方式の提案, 情報処理学会,分散処理 システム 研究会資料,分散処理 システム 16-1, P. 1-8 (昭 57-11)
- (2) 村木ほか:《MELCOM 352-50》 工業用計算機における分散 システム の構成技術, 三菱電機技報, 55, No. 11 (昭 56)



特許と新案有償開放

有償開放についてのお問合せ先 三菱電機株式会社 特許部 TEL (03) 218-2136

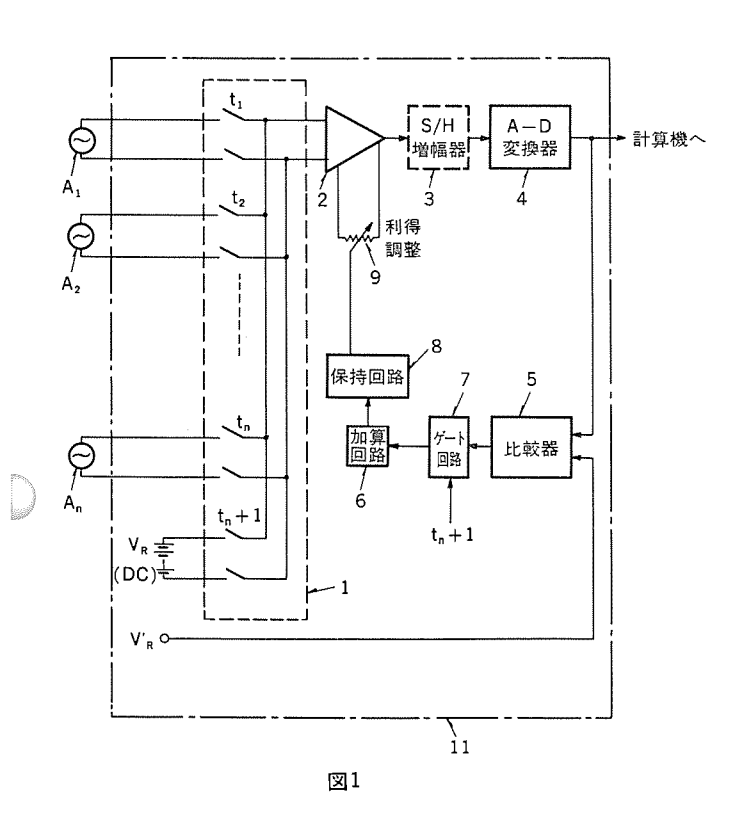
アナログ - ディジタル変換装置 (特許 第997293号)

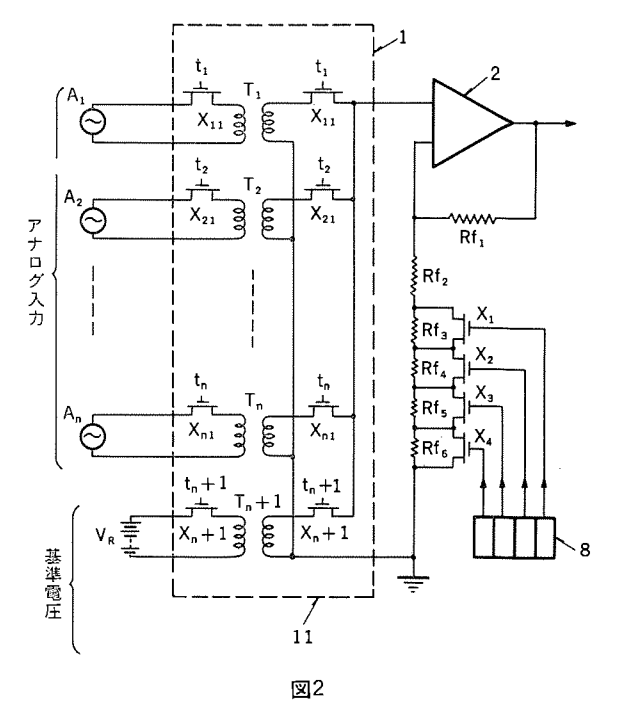
発明者 磯 崎 真

この発明は、制御用計算機及び計測用 データ 収集 システム 等において、アナログ 入力信号を ディジタル 信号に変換して データ 処理装置に導入させる 入力装置に関するもので、その特徴は、稼働時に周期的に入力される アナログ 基準電圧に対する既知の ディジタル 信号に近づけるよう 増幅器の利得を制御することにより、アナログ 入力 スキャナ 装置の高速化や アナログーディジタル 変換器の環境変化、経時変化による精度低下を防ぎ高精度化を実現することにある。

第1図において V_R は $_{7}$ to $_{9}$ 基準電圧 V_R に対する初期に設定された既知の $_{7}$ to $_{9}$ $_{1}$ 値であり、複数の $_{7}$ to $_{9}$ 信号 A_1 $\sim A_2$ を周

期的に取込む入力 $_{$ スキャナ(1) の時間 $_{$ $t_{n}}$ +1 に読込まれた $_{$ r +1 で 電 $_{}$ E V_{R} $_{}$ U_{R} U_{R

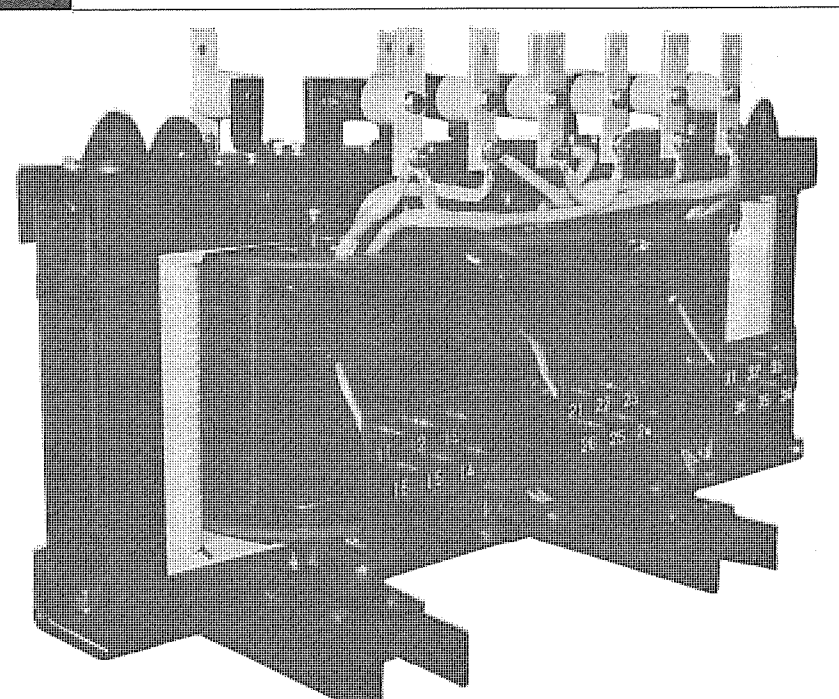




利得調整器の具体例



省エネルギー、高能率化に貢献する 三相35kVAモールド式アモルファス変圧器



このたび三菱電機では、変圧器の鉄心に電力損失の少ないア モルファス磁性材料を使用した三相35kVA、 モールド式ア モルファス変圧器の試作に成功しました。

この試作変圧器は、省エネルギー化、高能率化を目標とし、 更にビル内配電用など、幅広い用途に使用できるように三相 モールド式で製作したものです。

アモルファス変圧器の仕様、特性を、けい素鋼板鉄心を用いた従来の変圧器と対比して表に示します。けい素鋼板を用いた変圧器に比べて無負荷損は約%、無負荷電流は約%に減少できます。また、騒音値も低く、特性の優れた変圧器であることを示しています。

このようにアモルファス磁性材料は、素材の電力損失が小さく、その製造方法もけい素鋼板に比べて比較的簡単であるた

あ、高能率化、省エネルギー化の観点から国内外から大きく 注目されています。

アモルファス磁性材料には

- (1)飽和磁束密度が1.6~1.7Teslaとけい素鋼板鉄心に比べて 約20%低い。
- (2)厚さが0.03mm程度とけい素鋼板鉄心に比べて約½と薄く、 鉄心の占積率が悪い。
- (3)素材が硬くて、また、焼鈍後脆くなり折損しやすいなど、加工性が悪い。

(4)特性が高温領域において不安定になる。

等の難点をもっています。

今回の試作変圧器は、これらを考慮して専用の製作機械を使用して、特性に影響のないよう製作しました。

仕様および特性値

-					アモルファス鉄心変圧器	けい素鋼板鉄心変圧器	
鉄 心 材 料			材料		アモルファス磁性材料METGLAS® 2605 S-2	方向性けい素鋼板 G-6H	
仕		形		式	モールド式、自冷F種絶縁		
	様	相数		数	3相		
		周	周 波 数		60Hz		
		容		量	35kVA		
		電		圧	F6.9-F6.6-R6.3-6.0-5.7kV / 210-105V		
特	性	無	負荷	損	49W	238W	
		無	負荷電	流	0.5%	5.0%	
		負	荷	損	980W	954W	
		イン	/ピーダンス1	電圧	5.00%	4.55%	
		騒		音	58dB(A)	60dB(A)	
		効		率	97.14%	96.71%	

原子炉核計装用高温核分裂計数管一電離箱の開発

友田利正*・深草伸二*・山下進一**・若山直昭***・山岸秀志***

1. まえがき

核計装装置は原子炉の中性子束を測定し、そのしべルを表示するとともに、原子炉の運転、制御、保護に必要な信号を提供する装置である。高速炉や高温 ガス 炉などの新型炉の核計装には高温環境でも動作する中性子検出器が必要である。また一般に、原子炉においては、ガンマ線の混在する場において中性子を計測せねばならないが、高速炉においては、冷却材の ナトリウム が放射化して ガンマ 線源となるため、原子炉の停止・起動時の低い中性子束領域においても非常に強い ガンマ 線環境下で正しい中性子計測ができなければならない。我々はこれらの条件を満たすものとして核分裂計数管をとりあげ、優れた中性子計測性能と耐熱性 (600°C) を両立させた中性子検出器の開発に成功した。

一方,軽水炉においても核計装中性子検出器は,原子炉事故時の高温,高 ガンマ線環境下でも動作することが要求されだしたため,開発した核分裂計数管は,これら軽水炉への適用も期待される。

2. 核分裂計数管による中性子の計測

核分裂計数管は、中性子有感物質として濃縮 ウラン が用いられる。通常、濃縮 ウラン は電極表面に膜状に コーティング される。対向する陰陽電極間には、電離用 ガス が封入されている。外部から中性子が到来すると電極表面上の ²³⁵U と反応し核分裂が生じ、同時に大きなエネルギーが大部分、 核分裂破片の運動 エネルギー の形で解放される。したがって電極表面から飛び出した核分裂破片は、電極間の ガス 層を通過する際、多くの ガス分子を電離する。

このようにして核分裂破片の飛跡に沿って生じたイオン、電子は、電極間の電界によりそれぞれ陰極及び陽極に引き寄せられ電気的パルス信号を生じる。これをケーブルで測定回路に導き、計数すればその計数率は中性子束に比例した信号となる。ガンマ線も電極壁などとの相互作用で二次電子を発生させ、二次電子は同様にガスを電離するのでガンマ線も電気パルスを生じる。しかし、電子線の線ェネルギー付与は、重荷電粒子のそれに比べ十分小さいので、ガンマ線によるパルスは中性子によるパルスに比べ十分小さくなり、波高弁別技術を用いることにより、容易に中性子によるパルスのみを計測することができる。しかし、周囲のガンマ線レベルが高くなると、ガンマ線パルスが数多く発生し、ガンマ線パルスの重なり合いが生じ、本来微小なパルスの波高が大きく成長し中性子パルスと同様に計測されるようになる。このガンマ線による妨害作用を滅じるには、信号パスル幅が狭くなるよう設計すればよい。パルス幅が狭い方が時間的にランダムに発生するパルスの重なる確率が小さくなるためである。

中性子束が高くなって信号計数率が高くなると、信号パルス自体の重なりの発生や、計数回路の時間分解能の限界のためパルス計測が不正確となる。この場合、時間的積分をとり、直流電流にして計測することができるが、ガンマ線束に比べ中性子束が十分高くない領域ではガンマ線によるノイズ寄与分が無視できないため、通常は ‡

+ンベル 法という,ゆらぎ計測が用いられる。これは,ゆらぎの大きさは,ゆらぎをもたらす素過程の頻度に比例するという原理を用いるものである。ゆらぎの大きさは,素過程の作る信号 パルス の大きさの二乗にも比例するので,直流法に比べ ガンマ線 ノイズ の寄与が小さくなり,許容できる ガンマ線 レベル は高くなる。

したがって、核分裂計数管は中性子束の低い領域では パルス 計数 法を用い、中性子束が高く パルス 計測のでき ない領域では ‡+ンベル 法を用いることにより、1台の計数管で広い中性子束範囲を計測できるという利点をもっている。なお、 ‡+ンベル 法では通常出力が対数表示となるので、原子炉の出力運転領域では、直流電流法をあわせて用いることも行われる。

しかし、パルスカウンタとしての動作特性が、主として核分裂計数管の優劣を決定するので、以下はパルス計数特性を中心に説明する。

3. 電離ガスと電極間隔

核分裂計数管の設計にあたって考慮すべき事項は多い。この章では、計数動作特性に関連する事項をとりあげて説明する。間隔dの平行平板電極内のf力、空間に核分裂破片の飛跡に沿って総電荷が $\pm Q$ 。の電子、f力、対が生じた場合を考える。飛跡は一方から他方の電極に達しており、飛跡に沿った電荷密度は一様とする。このとき、電極に誘起される電流f(f) は、

$$I(t) = \frac{Q_0}{d} \left(1 - \frac{v_+}{d} t \right) v_+ + \frac{Q_0}{d} \left(1 - \frac{v_-}{d} t \right) v_-$$

さて, 電荷 Q_0 は電極間隔 d , f_{12} 圧 p を用いて近似的に $Q_0 = q_0 p d$ と表される。 qo は ガス の種類によって決まり、 エネルギー 阻止能に比 例し, W 値 (一対の電子,イオン を作るのに要する平均 エネルキー) に 反比例する定数である。また、電極間の電圧を V_0 とすると v_- は、 電子の ガス 中での移動度 μ を用いて,近似的に v_=μVo/pd と表さ れるので、パルスの大きさは $I_0 = \mu q_0 V_0 / d$ 、パルスの幅は $T_C = p d^2 / \mu V_0$ となる。以上は、かなりの近似を用いており、特に $v_- = \mu V_0/pd$ は ガスの種類によってはあまりよい近似とはいえないが, 次のことが 言える。 信号 パルスは、波高が大きく、幅の狭いことが望ましいが、 このためには、電子の移動度の大きい ガス を選択せねばならないこ とは当然である。 ガス 圧と電極間隔に関しては、共に小さい方がよ いが、電極間隔を小さくする方がより効果の大きいことがわかる。 電離 ガスとして希 ガスを選ぶのが、放射線、高温に対する安定性の 点で好ましいが、純粋な希ガスを用いたのでは電子の移動速度が小 さすぎるため、アルゴンと窒素 5%の混合ガスを選んだ。希ガスに 多原子分子 ガスを混合すると移動度が大幅に増加する。封入してあ

る窒素と電極材料などとの反応による電離 ガス 組成の変化を極力避けるため、ニッケルベース の超耐熱合金 インコネル を主要金属材料に使用している。

また,電極間隔と % 圧の各種組合せについて試作品を作り,動作基本特性,高温特性などを検討した結果,電極間隔として $1\,\mathrm{mm}$,% 圧とし $4\,\mathrm{kg/cm^2}$ を標準としている。

4. 中性子感度とウラン膜

中性子感度は使用する ウラン 量に依存するが、電極表面上に コーティング する ウラン 膜をあまり厚くしても ウラン 膜による中性子吸収が増えるばかりでなく、ウラン からの アルファ 線による バックグランド 信号が増加するので好ましくない。 また ウラン 膜内で生じた二つの核分裂破片のうち、どちらか一つが電極間の ガス 層に飛び出す平均確率 P_{av} は P_{av} =1-t/2R(t は ウラン 膜厚、 R は ウラン 膜中での核分裂破片の飛程)となる。更に容器壁、電極などでの中性子の吸収も考慮する必要がある。 これらの検討から所要感度を得るのに必要な コーティング 面積が算出できる。我々は ウラン 膜厚を約 1.5 mg/cm² とし、0.12 cps/nv の感度のものに対し約 160 cm²、0.3 cps/nv のものに対し約 410 cm² を採用した。

なお, 膜厚の一様性は, 円筒の両端部 5 mm を除けば約 ±10% になっている。

5. 構造上の特長

600°C で長期にわたり正常に動作し、650°C でも破損や劣化の生じないものとするため、構造上種々の工夫を行った。図 1. に概念図を示す。電極は同筒形とし、膨張係数の差により発生する半径方向の「がた」を小さくするため、電極を支持する セラミック 絶縁物は、小径の棒状とし電極円筒軸上に設置した(1)。高温でのばねの緩和に伴う問題を避けるため、電極間などの軸方向の寸法誤差や熱膨張差を吸収するためのばねは設けず、電極は片端を固定し、他端は軸方向の運動を自由に許すしゅう(摺)動構造とした(2)。

容器は二重構造とし、電極を含む計数管本体部分は独立な内側気密容器に収納し、内側と外側の容器の間には、内側容器内の電離ガスと等しい圧力のガスを封入した(3)。 内側容器の内外で圧力がバランスしているため、 内側容器には圧力はかからず、信号線引出しのため内側容器の一部を形成する金属一セラミックシールは、 高温にしても内圧の上昇による破損を被ることはない。なお、金属一セラミックシールは封着部の形状寸法に改良を加えた(4) 結果、 常温一700°C の急熱急冷熱 サイクル に耐えるものとなっている。

信号 ケーブルは6章で述べる MI ケーブルを用いており、 外側容器

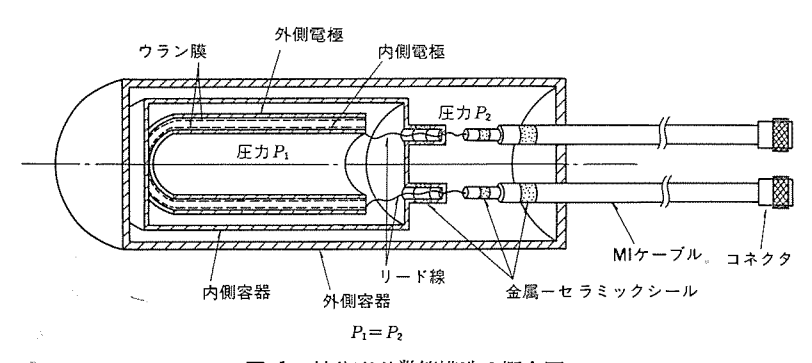


図 1. 核分裂計数管構造の概念図

に2本のケーブルが一体的に接続されている。そのため、コネクタ に付随して生じる接触不良や放電 パルスノイズ 発生の問題から解放されている。また陰陽電極にそれぞれ独立に ケーブル を取付けているので、高電圧の供給と信号の取出しが別々に行え、直流電流計測も精度よく行える。

濃縮ウランは、対向する電極の両表面に コーティングしてあるので、 片面のみ コーティングしたものに比べ、中性子感度と ガンマ 線感度の比がほぼ 2 倍改善されている。また同じ中性子感度を得るのに電極長は約半分でよいので、電極間隔を一定に保つために必要な電極径などの工作精度に対する要求は緩和される。

検出部の外径は 38 mm であり、 長さは感度 $0.1~{
m cps/nv}$ のものが約350 mm、感度 $0.3~{
m cps/nv}$ のものが約530 mm である。MI τ -ブルの外径は約 $5~{
m mm}$ である。

6. Ml ケーブル

信号ケーブルが検出部の外側容器に一体的に取付けられていることは 5 章で述べた。耐熱性、耐放射線性の点から ケーブル の絶縁材として 有機物は使用できないので、酸化 マグネシウム 粉末を用いている。ケーブル の構造は三同軸であり、中心導体は銅線、内側の シールド 導体が 銅 パイプ、 外側の シールド 導体は ステンレス 鋼である。高温での安定性 の観点からは、すべて ステンレス 鋼を使用するのが好ましいが、パルス 伝送特性や外来雑音に対する耐性の観点からは、固有抵抗の小さい 銅が好ましく、中心導体と内側シールド導体にはあえて鋼を使用している。

なお、酸化マグネシウム は吸湿性が強く、 吸湿すると絶縁抵抗が低下するのみでなく、 低い印加電圧でも微小放電 パルス が発生し、中性子の パルス 計測の妨害となるので、 十分脱湿した後に端末を封止している。

7. 中性子計測特性

これまで数多くの試作を重ね、高温においても良好な中性子計測特性が安定して得られている。以下に各種特性を試験結果を示しながら説明する。

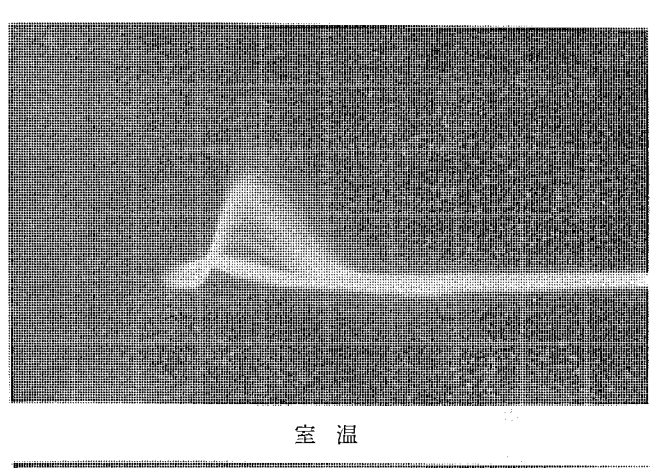
7.1 パルス波形

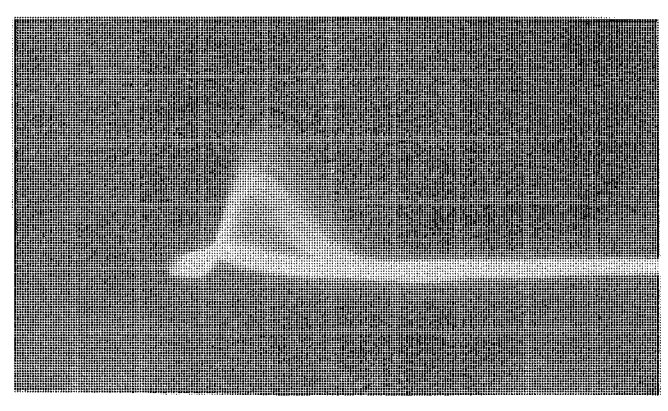
3 章で述べたように、 電流 パルス は主として電子の運動によるものであることを述べた。 信号 パルス は、原理的には湿度の影響をうけないはずであるが、高温での封入 ガス 成分の変化や電極などの熱膨張の影響などがあり、これらの影響を受けにくい設計にする必要がある。 この観点から窒素 ガス の混合比として 5% を、 また主要金属材料として インコネル を選び、構造面でも 4 章に述べたような工夫

をこらしている。 図 2. に 600°C までの種々温度 における信号 パルス 波形を示す。 パルス 幅は約 100 ns であり,有意な温度変化は認められず安定した 特性が得られている。

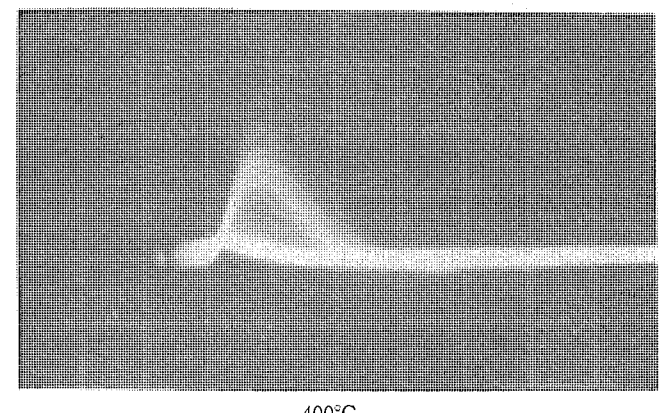
7.2 波高分布特性

図 3. に電流パルスの波高分布特性を示す。これは 横軸にパルス波高, 縦軸にその計数率(一定時間 内の計数値)を示したものである。核分裂破片は, ウラン膜から電極間のガス層へ等方的に飛び出すの でガス中での飛跡の長さはある分布を保つ。計算 により,核分裂破片が電極間を垂直に走る場合に 生じる電流パルスの頻度が最も大きくなり,波高

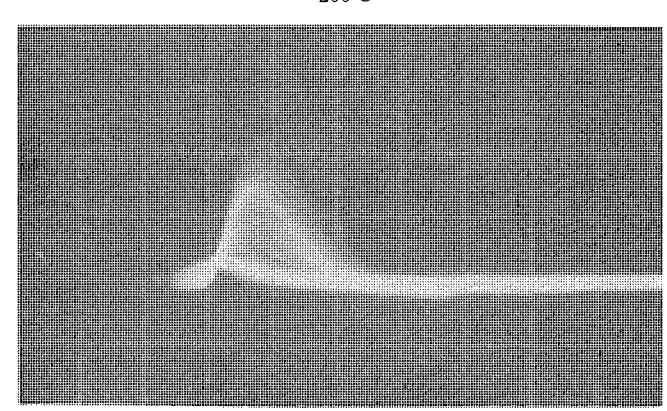




200°C



400°C



600°C

図 2. 各種温度における信号 パルス 波形(縦軸:電流 $1\,\mu\mathrm{A/div.}$,横軸:時間 $50\,\mathrm{ns/div.}$,印加電圧 $200\,\mathrm{V}$)

105

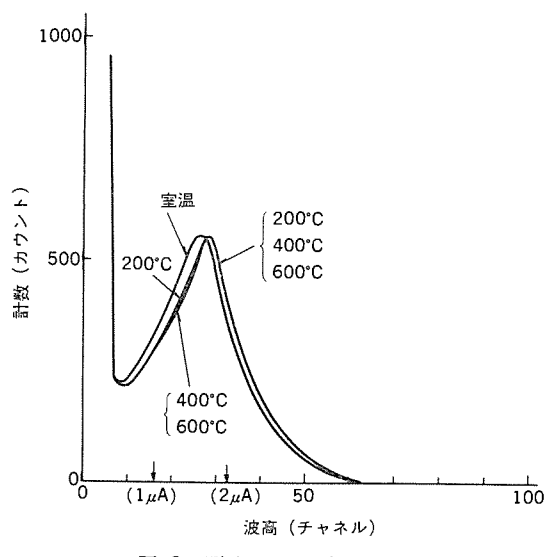


図 3. 電流 パルス 波高分布特性

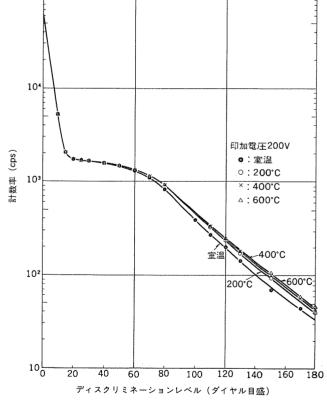


図 4. ディスクリミネーション 特性

分布は、 これに対応した波高値に ピーク をもつ分布になることが示 され、測定結果はよい対応を示している。左端の急なこう(勾)配部 は ウラン から放出される アルファ 線の作る小さな パルス によるもの で ある。室温での分布と、 200℃, 400℃, 600℃ での分布が少し異な っているが、その差は小さく実用上問題とならない。なおこの原因 は高温で、金属材料と ガス中に微量に存在する多原子分子の平衡状 態がずれるためと思われるが実証はなされていない。

7.3 ディスクリミネーション特性

中性子による パルス 信号のみを計数するために、 波高弁別技術を用 いることを2章で述べた。これは、ある設定レベル以上のパルスの

みを信号パルスとして計数するものである。図 4. は、一定中性子束 下でこのディスクリミネーションレベルを順次変え、そのときの計数率を測

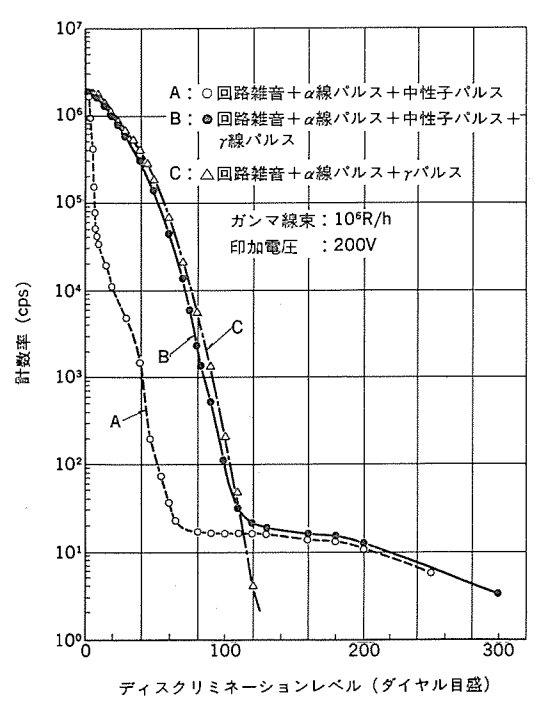


図 5. 高 ガンマ 線束下での ディスクリミネーション 特性

定したものである。 これは 7.2 節の波高分布特性を積分することによって得られるので,積分波高分布特性とも呼ばれる。したがって 7.2 節と同様にわずかの温度依存性を持つが, 実用上は何ら問題ないことが理解される。つまり,左側の アルファ 線による パルスを計数しないよう ディスクリミネーションレベル は,40 前後に設定する必要があるが, この レベル での計数率の温度変化は認められない程度であるのがわかる。

7.4 ガンマ線パルスとの弁別性能

図 5. は、10°R/h の ガンマ線環境下でも中性子 パルス のみを正しく計測できるととを示したものである。 測定回路は 7. 3 節で用いたものと異なっており、数え落し補正機能付きの計数率計,及び増幅器出力の直流電位を一定に保つよう、直流再生器を組込んだ増幅器を用いて高計数率時にも高精度の測定を行えるようにした。曲線Aは、ガンマ線がなく中性子のみの場合の ディスクリミネーション 特性である。低雑音前置増幅器を用いたので、 アルファ線 パルス も回路雑音からよく弁別できているのがわかる。曲線Bは、中性子束をAと同じにしておいて 10°R/h の ガンマ線を追加した場合である。 ガンマ線 パルス の重なり合いが大きいため、 アルファ線 パルス は見えなくなっているが、中性子 パルス は十分弁別できているのがわかる。 曲線C は参考のため、 中性子源を取除き ガンマ線のみの場合を示したものである。

7.5 プラトー特性

図 6. は一定中性子東下で、ディスクリミネーションレベルを一定にし核分裂計数管に印加する電圧を順次変えて計数率を測定したもので、プラトー特性と呼ばれる。高圧直流電源の電圧変動の計数率出力への影響を知ることにも利用できるが、実用的には、何らかの理由でディスクリミネーションレベルをあらかじめ設定したときに、選ぶべき印加電圧範囲を示すものとして用いられる。次節で述べるように動作電圧は低い方が望ましいが、図の場合には120~200 V であれば十分であり良好である。この場合でも同様に温度依存性は無視できる程度である。

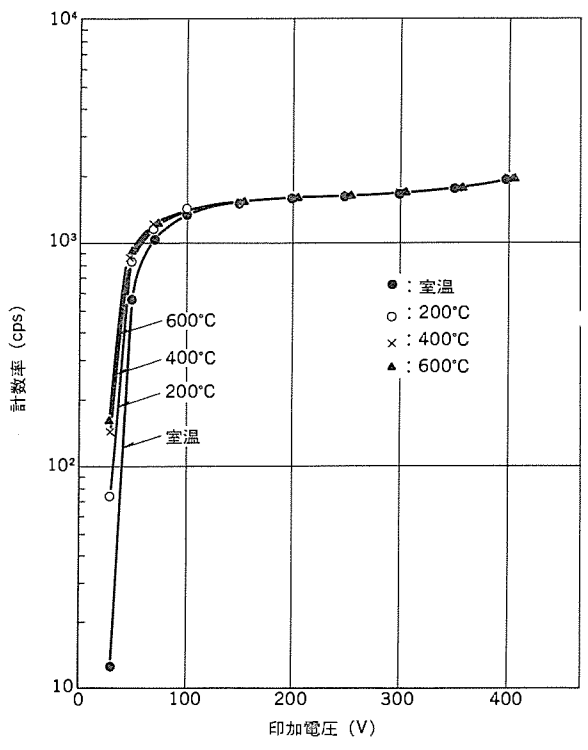


図 6. パルスプラトー 特性

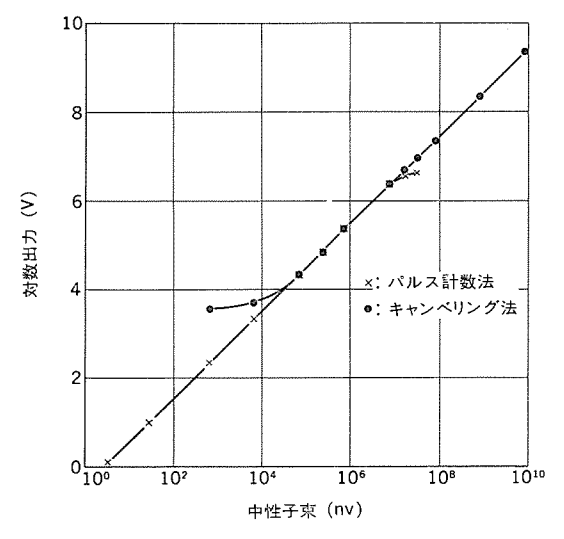


図 7. パルス計数法と キャンベリング 法の計測 レンジ の オーバラップ

7.6 バックグランドパルス

6 章で述べたように MI ケーブル内や計数管の他の部分で高電圧を印加したとき、外部放射線がない場合にも、 微小放電 パルス が発生する。この発生 メカニズム はまだ明らかでないが、現象的には印加電圧が高くなるほど、 また温度が高くなるほど放電 パルス の発生頻度は増大し、またパルス 波高も大きくなる。これは中性子パルス 計数の妨害となり、 この擬似信号パルス の発生頻度が中性子束の計測下限を決定する一要因となる。試験結果は、600°C、250 V でも放電パルスの発生頻度は 0.1 cps 以下であり良好である。

なお, ウラン からの アルファ 線による パルス も バックグランド となるが, 図 2., 図 3. からわかるように中性子 パルス に比べ十分小さいので問題とならない。

7.7 キャンベル法動作性能

2章で計数率が高くなるとパルス計数法では測定不能となり、 キャンベル 法が用いられることを述べた。 1台の核分裂計数管で広い範囲の中性子束を連続的に測定できるためには、二つの計測法で使用したときに、 正しく計測できる中性子束の領域が互いに オーバラップ している必要がある。このためには、計数管だけでなく用いる測定回路が重要な役割を果たす。 図 7. は三菱電機(株)で開発した広域系回路(5)を用いて測定した結果である。パルス 計数領域と キャンベル 法領域の オーバラップ は約 2.5 けた(桁)あり非常に良好である。

8. 原子炉照射試験

放射線の照射耐久性と長期安定性を実証するため、原子炉での照射 試験を 600℃ で行った。

8.1 加速照射試験

加速照射試験は、日本材料試験炉(JMTR)の炉内照射孔で行った。照射中性子束は、通常、核計装用核分裂計数管が遭遇する中性子束よりほぼ 2 桁高い 2×10^{12} nv とし、積算照射量は 6.5×10^{18} nvt(中性子)及び 7.2×10^{10} R(ガンマ線)であった。照射中、核分裂計数管は $600\sim620^{\circ}$ C の温度に保ち、電離 ガスの加速劣化をはかるため 200 V を印加し、26 mA の電離電流を常時流した。照射期間中に数度及び照射後詳細な特性試験を実施し、照射の影響を調べたが、各種特性に有意な変化は認められなかった。図 8. に、ディスクリミネーション特性の例を示す。照射による特性変化は、認められず安定であることがわかる。

なお上記照射は、中性子照射量のみからいうと、核計装用として 用いた場合のほぼ 10 年分に相当する。

8.2 長期実作動試験

2台の計数管を, 日本原子力研究所の研究炉 JRR-4 の η -マルコラム内に設置し,600°C での長期実作動試験を実施した。 200 V を印加し原子炉の運転に伴う 0 ~約 10^8 nv の中性子束の変化を連続測定記録するとともに,随時特性試験を行った。また温度も変化させた。これまで炉内での試験日数は 774 日であり,このうち 600°C 保持時間は約 404 日分である。この間, パルス 波形をはじめ各種特性に有

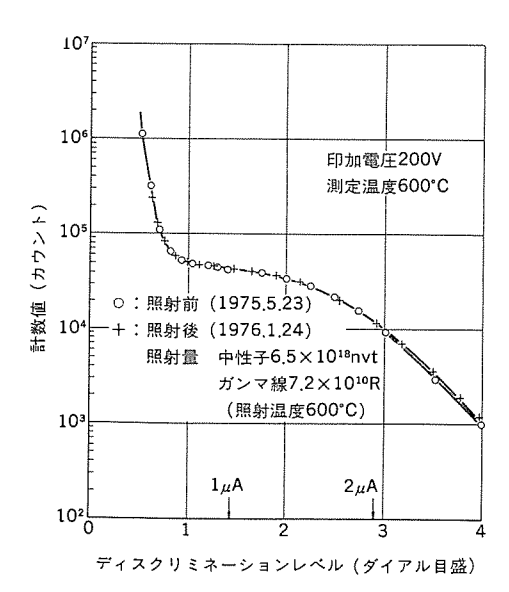


図 8. 原子炉照射前後の ディスクリミネーション 特性

意な経時変化は認められず安定して作動した。

9. 加振試験

核計装装置は地震時においても、機能維持が要求される。中性子検出器に対する耐震の要求条件は、プラントの立地点や検出器の設置方式に依存して決定されるが、ここでは基本的な性能を調べるため、4台の核分裂計数管について加振試験を行った。検出部両端を固定支持し、加振方向は検出器の軸方向及び軸と直角方向の2方向、周波数は10~50 Hz まで10 Hz 間隔で5点、加振波形は連続サイン波とし、加速度を順次増大しながら加振中に発生するバックグランドパルスを計測した。なお検出器に印加する電圧値もパラメータとした。また加振前後の特性も比較した。試験の結果、バックグランドパルスは、軸方向より軸に直角方向の加振の方が発生しやすいこと、また印加電圧の高い方が発生しやすいことが認められた。印加電圧 200 V では、4台ともどの方向の加振に対しても3gまで、パックグランドパルスの発生はなかった。また5gまで加振後も特性の変化は認められなかった。

10. む す び

以上、我々が開発した核分裂計数管の特長とその中性子計測特性、耐熱性、照射耐久性、長期安定性、耐震性などについて説明した。

電離 ガス に アルゴン と窒素の混合 ガス,電極などの主要金属材料に インコネル を用い、 構造設計上でも種々の工夫を施すことにより、高性能の中性子計測特性と 600°C の耐熱性を両立させた信頼度の高い ものとすることができた。新型炉のみでなく PWR の核計装へも適用が可能である。

従来, 450°C以上では, ここで述べたような安定した高性能動作特性を実現することは困難とされていたものであり, 世界に先がけた成功は海外からも注目され, 国際協力協定に基づく依頼により, これまで西独, 米国にサップルを供給している。また, この「核分裂計数管——電離箱の開発」は, 昭和54年の原子力学会技術賞受賞の対象ともなった。

参考文献

- (1) 田中:実用新案,昭52-32218「中性子検出器」
- (2) 若山ほか:特許出願中,特開昭 54-139781
- (3) 若山ほか:特許出願中,特開昭 54-145586
- (4) 若山ほか:特許,昭 56-32270「金属・セラミック 封着構造物」
- (5) Oda et al.: A wide range counting-Campbelling nuclear instrumentation system, IEEE Transactions on Nuclear Scince, NS-23, No. 1, P. 304-306 (1976)
- (6) 若山ほか:高温用核分裂計数管の開発(IV),同(V),同(VI),53年原子力学会秋の分科会
- (7) Wakayama, Yamagishi, Tomoda, Kawashima: Development of fission chambers for high-temperature reactors, IAEA-SM-226/32 (1978)
- (8) Wakayama, Yamagishi, Tomoda, et al. Development on experimental VHTR instrumentation, IAEA IWG-GCR Specialist Meeting on GCR core and high-temperature instrumentation. (1982-6)

韓国KETRI(電気通信研究所)納め大容量短絡試験設備

辺 勝鳳*・林 重雄**・合田啓治***・斎藤博士***・斎藤伸朗*

1. まえがき

このたび(1982年10月)完成した大容量短絡試験設備は,1982年1月に既に完工した超高圧試験設備とともに,韓国電気通信研究所 (Korea Electrotechnology and Telecommunications Research Institute: KETRI) の主試験研究設備となる。これは4年6か月の建設期間を要した韓国の国家的プロジェクトである。

ことに大容量短絡試験設備は韓国では初めてのもので、米国のゥェスチングハウス 社と韓国の現代総合技術(株)が設計を、 三菱電機(株)が主設備の製作を、韓国の大字開発(株)が建設工事を担当し成功裏に完成した。

これまで韓国は、日本、米国、オランダなどの外国の短絡試験設備と超高圧試験設備を利用して新製品の開発試験や形式性能試験を実施してきたが、機器の外国への安全輸送、試験経費など不便な点が多かった。このたび試験設備の完成によって電力遮断現象の研究、大電流に対する強度の研究、大電流せん(閃) 絡特性の研究、超高圧絶縁特性の研究、コロナ特性の研究などいろいろの実証試験研究が韓国国内で行えるようになった。同国の電力機器製造技術の開発、電力系統の実証試験研究に活用され、大きく寄与するものと期待されている。

2. 設備の概要

2.1 構成機器とレイアウト

図 1. にこの設備の全景を,図 2. に主要機器の配置図を,図 3. に 単線接続図を示す。全体の配置を決定するにあたっては,短絡発電 機出力端子より短絡変圧器に至る距離が最短となるよう配置すると ともに,短絡試験時の強大な電磁力に対抗しうる特殊な構造を考慮

図 1. 短絡試験設備全量(左より屋内試験場,変圧器ヤード, 発電機建屋,屋内試験場の奥は合成試験設備建屋, 発電機建屋の右手前は屋外試験場である)

している。したがって発電機室の機器配置も,主回路に関係ある機器は限流 リアクトル 側に,補機類はその反対側に配置している。

図 2. において、①は短絡発電機で、②の駆動電動機によって、定格 1,800 rpm で駆動される。発電機の始動停止を含み機器の運転は観測室⑫より制御される。発電機の励磁はサイリスタ 形静止励磁装置によって行われ、発電機の強力な ダンパ 巻線の効果に加え、 急速過励磁を付加して、短絡試験時の回復電圧を 90% 以上としている。短絡発電機の固定子巻線は二重巻線となっており、発電機の両端より各々別々に、③の保護遮断器に導かれる。その間に 丫 Δ 切換断路器,発電機保護用避雷器, アブソーバ 及び中性点接地抵抗が地下室に設置された キュービクル に収納されている。

限流 $_{\rm JPO}$ トル が各相に設置されており、 $_{\rm JPO}$ トル の挿入は短絡断路器を開くことによって行われる。

限流リアクトルを出たケーブルは、短絡変圧器⑤に断路器を通して接続されるとともに、離相母線を通して⑦⑧⑨の屋内試験室にも導かれる。一方、変圧器で昇圧された電圧は、⑧の高圧試験室、⑩の合成試験室及び⑩の屋外試験場へ遊V字形がいしに支えられて供給される。合成試験機器室⑩にはキャパシタバンク、充電装置、線路模擬回路、高電圧用の乾式リアクトル、放電ギャップ及び測定用抵抗体など、合成試験に使用する機器が収納されている。⑫は観測室でこの建物から全試験室を展望することができ、試験進行の様子を監視することができるようになっている。

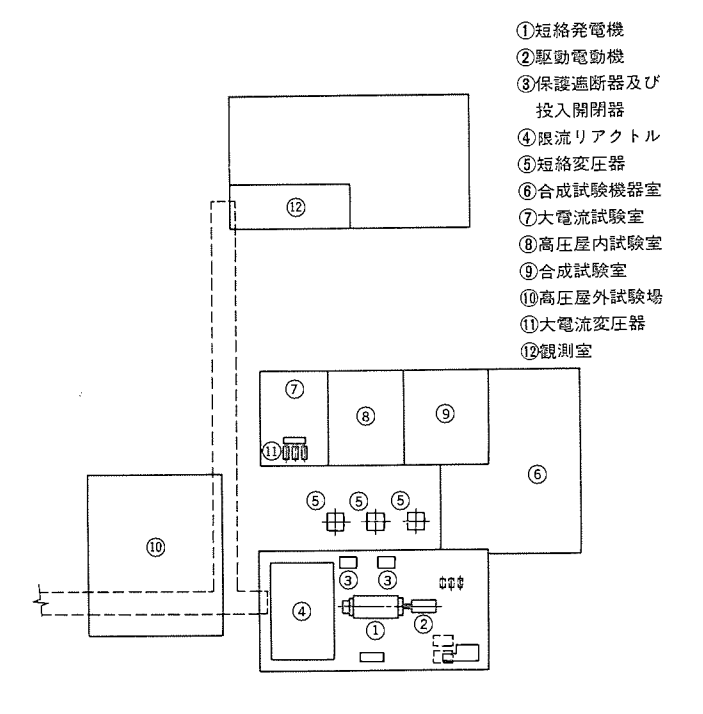


図 2. 主要機器配置図

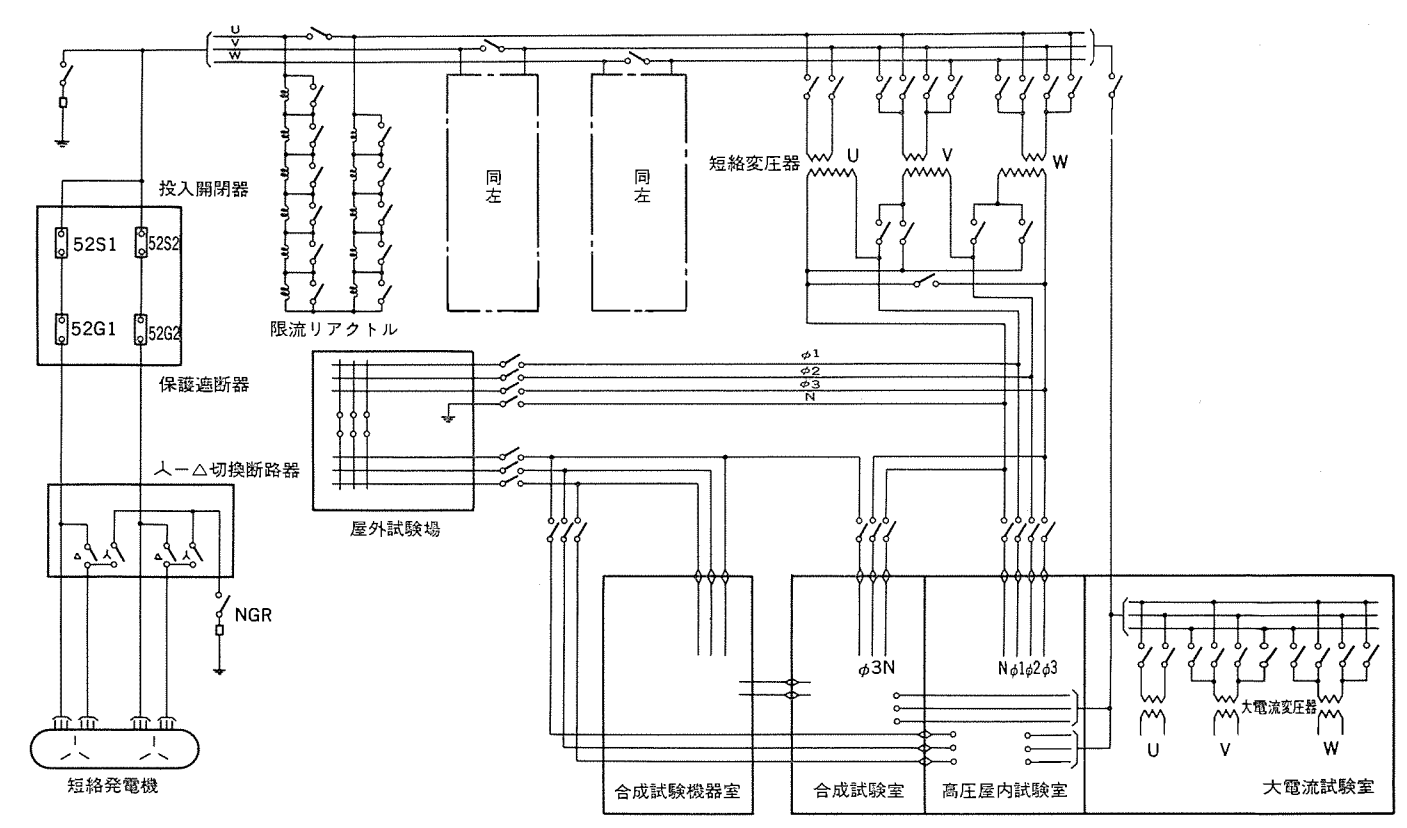


図 3. 単線接 続 図

2.2 設備能力

この設備は短絡発電機容量として、 1/2 サイクル 後 6,000 MVA、 3 サ イクル後 4,000 MVA を有し、次に示す試験能力を持っている。

(1) 遮断器

(a) 電圧定格

: 3.6~25.8 kV (直接試験)

34.5~170 kV (全点合成試験)

230~362 kV (ユニット 合成試験)

(b) 短絡電流定格 :50 kA まで

(2) 変圧器及び電圧調整器

(a) 電圧定格

: 3.3~362 kV

(b) MVA 定格

: 50~60 MVA

(3) 断路器

(a) 電圧定格

: 362 kV まで

(b) 短時間電流定格:60 kA まで

(4) 負荷断路器

(a) 電圧定格

: 38 kV まで

(b) 負荷電流定格 :1,200 A まで

(5) ヒューズ

(a) 電圧定格

: 52 kV まで

(b) 遮断電流定格 :60 kA まで

上記のほか、計器用変成器、避雷器、 バスダクト 及び限流 リアクトル な どの試験が可能である。

3. 主要機器

3.1 短絡発電機

本機の短絡容量は発電機端子での三相短絡で、短絡3サイクル後 4,000 MVA 以上, 試験運転責務としては 110 kA の三相 4 サイクル 短 終試験繰返し4回(O-15 サイクル-CO-15 サイクル-CO-20 サイクル-CO を

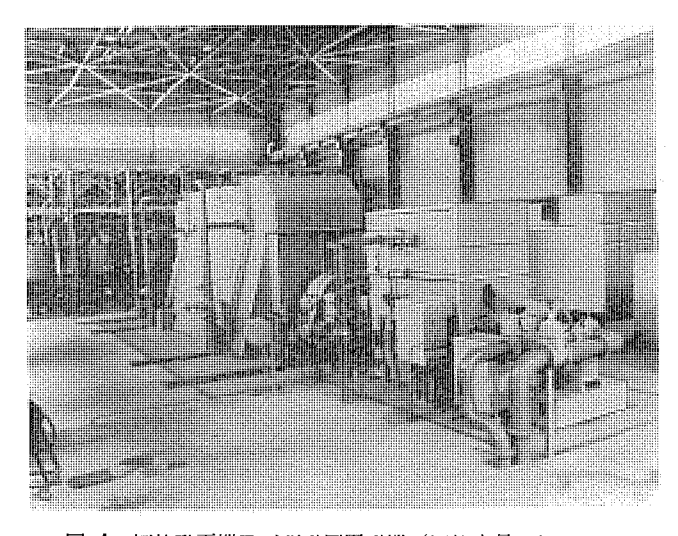


図 4. 短絡発電機及び駆動用電動機(短絡容量 1/2 サイクル 後, 6,000 MVA, 3 サイクル後 4,000 MVA の短絡発 電機、手前は駆動用誘導電動機、向う側は限流用リ アクトル である)

30分に1回実施), 定格電圧運転 (10分励磁-30分無励磁の繰返し) 及び50%電圧運転(連続励磁)が要求されている。

発電機の基本形式は、1,800 rpm、4 極、 横軸円筒回転界磁形空 気冷却同期発電機であり、全長 15 m, 床上高さ 5 m, 横幅 5.3 m, 固定子重量 270 t, 回転子重量 130 t と世界で有数の大容量短絡発電 機である。図 4. に発電機の外観を示す。

電気設計上の特長として,空げき(隙)磁束密度を通常機より高く 設計するとともに固定子 スロット形状は幅を広く、深さを浅くして磁 気抵抗を大きくし、更に固定子 コイル 端部を銅製の ダンパコーン で包み 端部漏れ磁束を短絡することにより、発電機リアクタンスを減少した。 また、短絡時定数を増加させるため、回転子に強力な制動巻線回路を組込んだ。回転子コイルスロット内及び磁極部表面に組込んだ制動 バーと、端部のコイル押え リング内側に取付けた制動 リングで構成するこの完全かご形制動巻線回路は、不平衡短絡時の逆相電流による回転子局部温度上昇も軽減させている。

機械設計上の特長として,短絡大電流により固定子 コイル 端部に働く電磁力に対し一体支持構造を採用した。巨大な短絡 トルク に対する発電機 フレーム の固定法は,強度検討の上スプリング などによる複雑な緩衝機構は設けず,基礎 ボルト で直接基礎架台に固定した。 また,発電機と駆動電動機は フレキシブル 中間軸で結合し, 駆動電動機への短絡衝撃力を中間軸で吸収する構造とした。 励磁装置には サイリスタ 静止励磁を採用し,定格励磁電圧 350 V,頂上電圧 1,200 V として急速過励磁が可能な方式とした。

現地短絡試験結果より、180 MVA 基準での発電機 1779802 値は x''d=2.7%、x'd=4.2%、xd=33.8%、短絡時定数は T''d=0.042 s, T'd=0.93 s であり、発電機端子での三相短絡容量は、 短絡 1/2 サイクル後 6,200 MVA、 3 サイクル後 4,800 MVA に達した。

3. 2 短絡変圧器

形式: 外鉄形, 単相, 油入自冷式, 60/50 Hz

容量: 50 MVA (インピーダンス 算出基準)

最大短絡容量 : 1,000 MVA

定格電圧 : 一 次 18 kV

二 次 96-72-48-24 kV

BIL : 一次 150 kV

二 次 1,425 kV (全絶縁)

インピーダンス : 2%以下 (50 MVA)

この変圧器は短絡容量が大きく、短絡責務も厳しい。また二次側 絶縁階級が高い。このために、高電圧に対する絶縁と短絡による機 械的、熱的強度について バランス のとれた設計を行う必要がある。こ れらの要求を満足するため、変圧器としては、三菱電機(株)大容量

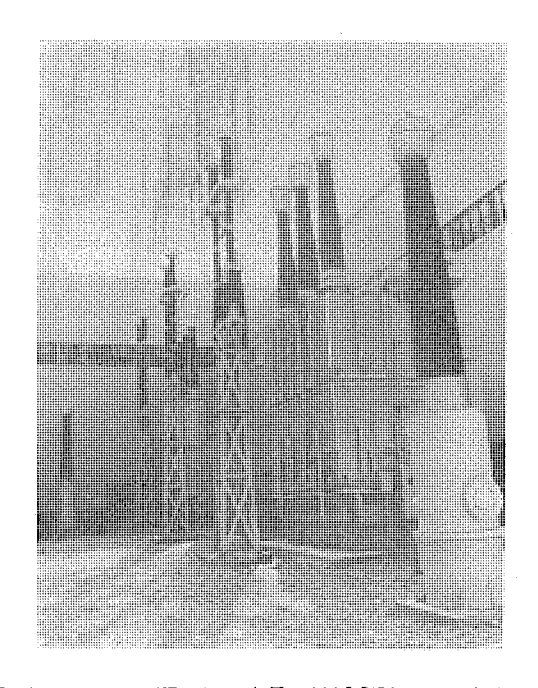


図 5. 短絡変圧器(最大短絡容量1,000 MVA の単相短絡変圧器3台,二次電圧は内蔵されたタップにより96-72-48-24 kV が得られる。また外部断路器により並列,直列に接続することができる)

変圧器の標準構造である外鉄形フォームフィット構造を採用した。外鉄形では巻線として交互配置を採用しているため、コイル群数を適当に増加させることにより、インピーダンス及び短絡電磁力を小さくできる特長がある。今回の場合はインピーダンスの仕様、短絡電磁力の点から16 群配置とした。鉄心構造としては、外鉄形の標準構造であるが、断面形状は上下端部を段付きとし、コイルを小判形にした。これによってコイル上下部のコイル径方向に働く電磁力に対する機械的安全性を高めた。更に巻線構造については、コイルを小判形にしたことのほか、すべてのコイルを同じ大きさとすることによって不均衡電磁力の発生を抑えたこと、コイル面には絶縁ワッシャを密着させるとともに巻線絶縁紙には耐摩耗性に優れた絶縁紙を採用するなどの考慮が払われている。絶縁構造としては、標準的に採用されている形絶縁構造としている。設計にあたっては、電磁力、電位分布、温度上昇などの計算において、三菱電機(株)の有する技術を駆使した。図5. に短絡変圧器の外観を示す。

3.3 保護遮断器

 形式
 : 20-C-63 L

 定格電圧
 : 24 kV

 定格電流
 : 3,000 A

 定格周波数
 : 50/60 Hz

 定格遮断電流
 : 63 kA

 定格操作圧力
 : 10 kg/cm²

AC1 分間耐圧 : 50 kV (対地間), 75 kV (極間)

BIL : 110 kV

短絡試験設備用保護遮断器は、三菱電機(株)短絡試験設備にて既に二十数年間の実績を持つ20-C-63L形空気遮断器を、発電機の二重巻線の各々に1台ずつ設置し、並列運転を行っている。20-C-63L形空気遮断器は、横吹付け形遮断方式を採用しており、過酷な再起電圧に対して優れた遮断性能を有し、1遮断点にて良好な遮断性能を発揮する。また横吹付け方式のため、構造が非常に簡単で、接触子を消弧室から外すことなく外部から目視点検ができるうえ、消耗接触子の交換も容易で、高信頼度を要求される保護遮断器として好適である。

建設後の現地性能試験においても良好な遮断性能を示し、短絡発 電機用保護遮断器としての性能を実証している。

3. 4 投入開閉器

形 式 : AC形 定格電圧 : 18 kV

定格投入電流 : 対称電流 60 kA

非対称電流 104 kA

定格周波数 : 60 Hz

定格投入時間 : 0.02 s (誤差 ±0.3 ms)

定格操作圧力 : 10 kg/cm² AC1分間耐圧 : 50 kV

BIL : 110 kV (対地間)

AC 形投入開閉器は、タンク内圧力が 10 kg/cm² に充気されているため、可動、固定接触子間はわずかな間隙で絶縁耐力があり、可動距離が非常に短いので投入時間及びそのばらつきは極めて小さい。投入動作は、投入信号により投入用電磁弁が動作し、制御ピストンを上に押し上げ、操作シリンダ内の圧縮空気が抜け、タンク内圧力 10 kg/cm² の操作力で投入する。可動接触子側は、投入時の衝撃力を緩和する バンパ が有効に作用し バウンシング が少なく、接触子の消耗も

少ない。 また投入開閉器全体が キュービクル から引き出せるようにしてあるため、消耗接触子の交換が容易に行える。投入開閉器も保護 遮断器と同様に2台設置し並列運転を行っている。

3.5 合成試験設備

高圧遮断器のための合成試験設備は、メインキャパシタバンク、メインキャパシタバンク 充電用 DC 充電装置、放電 ギャップ、チューニングインダクタ、波形調整用抵抗、波形調整用 キャパシタバンク、 近距離故障(SLF)試験用 π 回路、r- ρ 時間延長装置などで構成し、 $170\,\mathrm{kV}$ 、 $50\,\mathrm{kA}$ (遮断器の全点遮断試験、 $345\,\mathrm{kV}$ 、 $50\,\mathrm{kA}$ 遮断器のユニット遮断試験までが可能である。

メインキャパシタバンク は、 定格電圧 375 kV DC にて最大 $10\,\mu\text{F}$, 280 kV DC にて最大 $17.8\,\mu\text{F}$, $187\,\text{kV}$ にて最大 $20\,\mu\text{F}$ の静電容量が接続導体の組合せによって得られる。 各 ユニットキャパシタ を順次積み上げていく方式としたため、大幅な据付け面積の縮小ができた。

メインキャパシタバンク 用充電装置は定格出力電圧 $400~\rm{kV}$ DC で、整流器を内蔵しており、 $30~\rm{t}$ 砂以内に $10~\rm{\mu F}$ の メインキャパシタバンク を $375~\rm{kV}$ DC まで充電可能である。 また接続導体の切換えにより、正負両極性の充電ができる。

放電 ギャップは 500 kV DC の放電が可能なように設計されており, 光ファイバを用いて光 パルス により制御される。

チューニングインダクタ は、7台の乾式 リアクトル で構成しており、 各々10kArms, 600 Hz, 35 ms の耐量を有している。

波形調整用抵抗は、11 個の無誘導抵抗を接続導体により、 2Ω から 514Ω まで 2Ω おきに選択することができる。11 個の抵抗体は、絶縁 5ック上に"つ"の字に配置し、 設置 3ペース を小さくした。波形調整用 4+パシタバンクは、 3パンクは、 3パンクと同様な構成とし、定格電圧 350 kV DC にて最大 4.5 μ F、260 kV にて最大 8.1 μ F、175 kV にて最大 9 μ F の静電容量が得られる。

近距離故障(SLF)試験用 π 回路は、9段の π 回路であり、各ュニットは、7タップの1つダクタ 1台と 9台の ++パシタ で構成しており、0.9I から 0.6I までの近距離故障試験が可能である。

r-2 時間延長装置は,DC 充電装置,++パシタバンク,抵抗,1ンダクタ,放電 ++プ などの組合せにより, 供試遮断器に ++プ 電流を与え,遮断試験時の r-2 時間を延長する。放電 ++プ は光にて制御され,正負両極性の +-プ 電流の発生ができる。図 6. に合成試験機

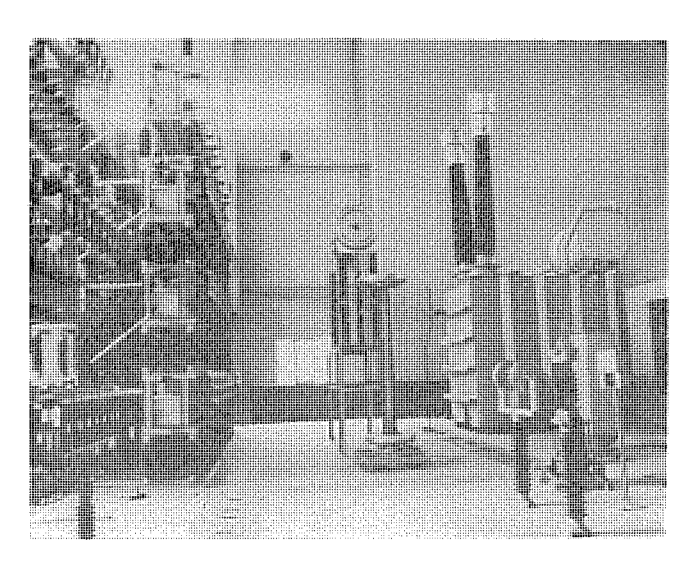


図 6. 合成試験設備室(左よりメインキャパシタバンク, 充 電用抵抗, DC 充電装置である)

器室の内部を示す。

4. 制御及び測定

発電機の始動及び停止は、観測室内制御机盤のマスタスイッチによる1人制御方式を採用している。表示灯により始動前条件の成立を確認し、マスタスイッチを入れると駆動電動機が回転を始め二次抵抗を順次減少しつつスピードを上げる。 始動に要する時間は約10分である。 駆動電動機の運転回転数は 1,500 rpm から 1,680 rpm の間,及び1,800 rpm に設定できる。

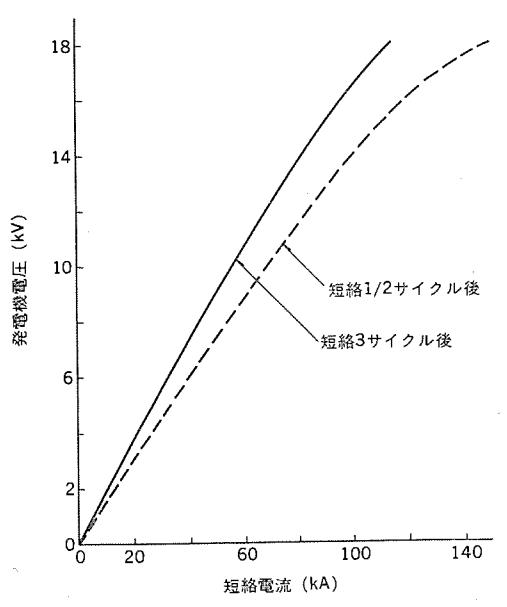
発電機運転中の電気系統,及び機械系統の運転に影響を及ぼす諸 条件は保護継電器で保護しており、故障の程度により制動停止、無 負荷無励磁運転,警報の3段階に分けて保護されている。発電機電 圧の制御は、制御机盤上の電圧設定器により設定された電圧で自動 制御される。電圧設定器は発電機定格電圧の10%から110%の間 で任意に設定できる。

試験回路の設定は、制御パネル上の照光式押ボタンスイッチで行う。制御パネル上には回路図がミミック母線にて書かれており、各断路器の位置に照光式選択スイッチが組込まれており直視的に回路の確認ができる。 また回路設定が誤っている時には断路器の操作回路をロックするインタロックを組込み、回路設定が正しく行われるよう配慮している。断路器の操作はマスタ操作スイッチによるグループごとの一括操作方式としている。

短絡試験の実施に際しては、一連の機器の動作を数秒の間にきわめて正確に制御する必要がある。この設備においては、ソリッドステート化されたシーケンスタイマを使用している。発電機軸に取付けられた200 スロットのインダクタと電磁ビックアップの組合せにより最少計数単位0.01 サイクルの分解能を持ち、最大計数は999.99 サイクルまで可能である。チャネルはあり、それぞれ独立に時限の設定ができる。発電機軸に、発電機の波形と一致するように取付けられた永久磁石発電機(PMG)の波形をシーケンスタイマ内でモニタしているため、0.01 サイクル単位でのスタートのタイミングを制御できる。



図 7. 観測室内の測定装置







5. 現地試験結果

据付け及び単体機器調整の後,突発短絡試験を含む各種試験を実施 し,この試験設備の性能を確認した。

発電機に直接接続される試験室の18 kV 試験端子において三相短絡回路を構成し、16 サイクル間の突発短絡試験を行った。 結果を図8. に示す。短絡電流波形を分析し、 かつ外部 インピーダンス を除去することにより発電機固有の特性を算出した。この結果、発電機端子における短絡容量は 3 サイクル後において 4,800 MVA である。

次に短絡変圧器を介して 24 kV, 50 kA の三相短絡直接試験を行う回路を構成し、3 サイクル 短絡試験を行った。一定励磁にて 3 サイクル 後の短絡電流 52.3 kA, 回復電圧 90.4% の性能が 得られた(図 9. 参照)。 急速過励磁の効果は 2 % 弱であり、 発電機の強力な制 動巻線により十分な特性が得られている。

このほかに合成試験, 近距離故障 (SLF) π回路特性試験などを

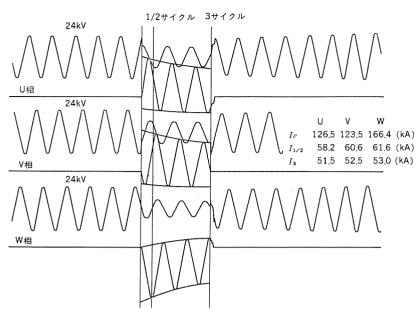


図 9. 24 kV, 50 kA 三相短絡試験 オシログラム

実施し, それぞれ所定の性能を有していることを確認した。 試験後, 主要機器の内部点検を行ったが, 異常無く結果良好であった。

6. む す び

試験結果を総合すれば、この設備は所期の性能を十分に満足している。更に特記すべきことは試験期間中、特別な支障もなく各機器がその責務を果たしたことである。これは三菱電機(株)が、短絡発電機を1963年電力中央研究所武山試験所に1号機を納入して以来3台目という実績を有していること、また保護遮断器、投入開閉器には三菱電機(株)伊丹製作所の短絡試験設備にて長年使用している実績ある機器を適用したことにある。

との設備を用いて既に各種機器の試験を実施しており、今後、韓国の電力機器製造技術の開発、電力系統の各種試験研究に活用し、電力技術の向上に大きな役割を果たすものと期待されている。

韓国KETRI(電気通信研究所)納め 6,000MVA短絡発電機

田中正昭*・田熊良行*・河相成孝*

1. まえがき

韓国電気通信研究所 (Korea Electrotechnology and Telecommunications Research Institute: KETRI) 向けに製作した題記の短絡発電機及びその補機装置は、1982年9月に現地性能試験を完了し、同年10月に客先へ引渡した。ことにその概要を報告する。

本機の短絡容量仕様値は,発電機端子での三相短絡対称分で短絡 1/2 サイクル 後 6,000 MVA, 3 サイクル 後 4,000 MVA であり,当社が過去に製作した類似の短絡発電機 2 台をしのぐ最大容量機である。表 1. に大容量短絡発電機の製作実績を示す。

表 1. 大容量短絡発電機 (円筒形回転子) の製作実績

納 入 先	三相短絡容量(MVA)	極数/回転数(rpm)	製作年
超高圧電力研究所	短絡 3 サイクル後にて 2,500	4/1,500	1962
当社伊丹製作所	短絡 3 サイクル後にて 4,000	4/1,800	1965
韓国電気通信研究所	短絡 1/2 サイクル後にて 6,000 短絡 3 サイクル後にて 4,000	4/1,800	1981

2. 仕 様

本機の概略仕様を次に示す。

(1) 短絡発電機

形 式: 横軸円筒回転界磁形,制動巻線付き

基準出力: 180 MVA (リアクタンス 算出基準) 短絡容量: 三相, 6,000 MVA (短絡 1/2 サイクル 後, 対称分)

三相, 4,000 MVA (短絡 3 サイクル 後, 対称分)

試験条件: 試験設備における短絡 3 サイクル 後 110 kA の三相 4 サイ

クル 短絡試験繰返し4回 (O-15 サイクル-CO-15 サイクル-

CO-20 サイクル-CO を 30 分に 1 回実施する)

時間定格: a. 定格電圧での10分励磁-30分無励磁の繰返し運転

b. 50% 定格電圧での連続励磁運転

端子電圧: 18 kV 極 数: 4極

同期速度: 1,800 rpm

結 線: 二重星形結線(三角結線としても使用可能)

励磁方式: サイリスタ 静止励磁, 急速過励磁付き

励磁電圧: 350 V (定格電圧), 1,200 V (頂上電圧)

駆動方式: 誘導電動機に直結

冷却方式: 内部 ファン による全閉自己通風方式, 空気冷却器内蔵

(2) 駆動用誘導電動機

形 式: 巻線形

定格出力:4,000 kW/2,000 kW

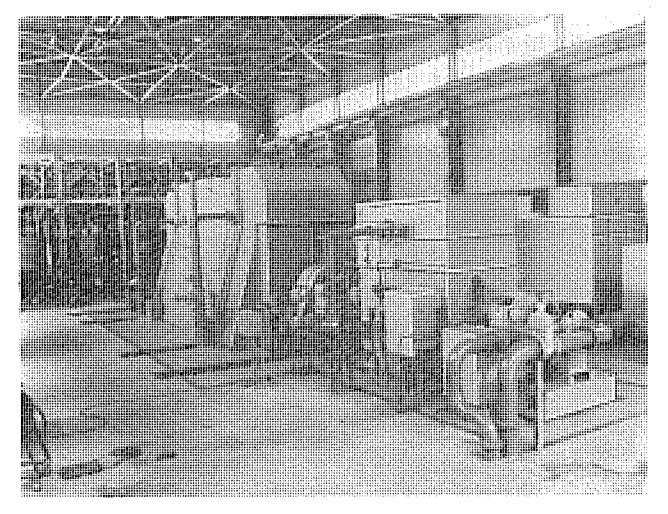


図 1. 短絡発電機・駆動電動機外観

時間定格: 10 分/連続 端子電圧: 6,600 V 相 数: 三相 同期速度: 1,800 rpm

冷却方式: 内部 ファン による全閉自己通風方式, 空気冷却器内蔵 図 1. に現地据付後の発電機・駆動電動機外観を示す。 短絡発電機の責務は,数サイクル単位の短い期間に減衰の少ない短絡大電流を試験装置へ供給することである。 このため, 電気的には リアクタレスを小さくし時定数を増加させた設計が必要である。また,機械的には短絡時の衝撃力に対して発電機各部が長期間の試験運用に耐える構造とする必要がある。

3. 設計上の特長

3.1 リアクタンス

短絡発電機の要求仕様を満たすためには リアクタンス の正確 な 把握が 必要であり、本機の設計にあたっては、 既設短絡発電機の試験 データ を参考にしつつ リアクタンス を減少させる各種検討を実施した。 空 げき (隊) 磁束密度は、 通常機より約 20% 高めた高磁束密度設計とした。固定子 スロット 数を少なくして有効導体数を減らすとともに、スロット 形状は幅方向を広く、 深さ方向を浅くして パーミアンス を小さくし、 コイル 端部を銅製の ダンパコーン で包み漏れ磁束を小さくした。

3.2 制動回路

短絡時定数は回転子の設計に大きく依存する。本機では回転子に強力な制動巻線回路(5.2 節参照)を設置して、短絡時定数を増加させた。制動回路の設計にあたっては、線間短絡試験時の逆相磁界が誘起する渦電流による回転子表面の温度上昇を抑制することも考慮した。

3.3 固定子コイル

高磁束密度下におけるラジアル磁束は、素線幅の3乗に比例して空隙

側素線の渦流損を増加させる。本機では 4列素線を採用して、ラジアル 磁束による 渦流損を減少させた。 更に直線部の レーベル 転位及び端部つなぎ部での グループ 転 位によって、漏れ磁束による渦流損を減 少させた。

3.4 結 線

固定子コイルの結線には二重星形結線を採用した。短絡試験設備の回路では,各相のバックアップ遮断器を2台並列設置する。それに対応して発電機端子は,フレーム両端の底部に線側及び中性点側各3本ずつ計12本を引き出した。この端子構成は三角結線へのつなぎ替えも可能である。

4. 冷却方式及び通風構造

本機の冷却方式には、全閉自己通風形間接空気冷却方式を採用した。発電機据付スペースを縮小するため、空気冷却器を発電機フレーム頭部両端に置き、送風能力1,800 m³/min(片側)のプロペラファンを回転子軸両端に取付けて機内空気を強制循環させる構造とした(図3.参照)。固定子コア、固定子コイル直線部は積層コアパックごとに半径方向通風ダクトを設け、そこを流れる空気で冷却した。

回転子 コイル直線部 に は冷却通風路として、コイルスロット底に軸方向通風溝を設けるとともに、スロット 歯部に回転子表面よりスロット底通風溝に向って半径方向通風穴を明けた(図 2. (a)参照)。コイル端部の通風路は、端部コイル間に挿入した間隔片のコイル支持面に半径方向通風溝を加工し、更に制動リング裏張り絶縁との当たり面に回転子ボディー端へ向う軸方向通風溝を加工した。スロット 歯部ボディー端にはコイル端部冷却空気を空隙へ排出する通風孔を明けた(図 2. (b)参照)。

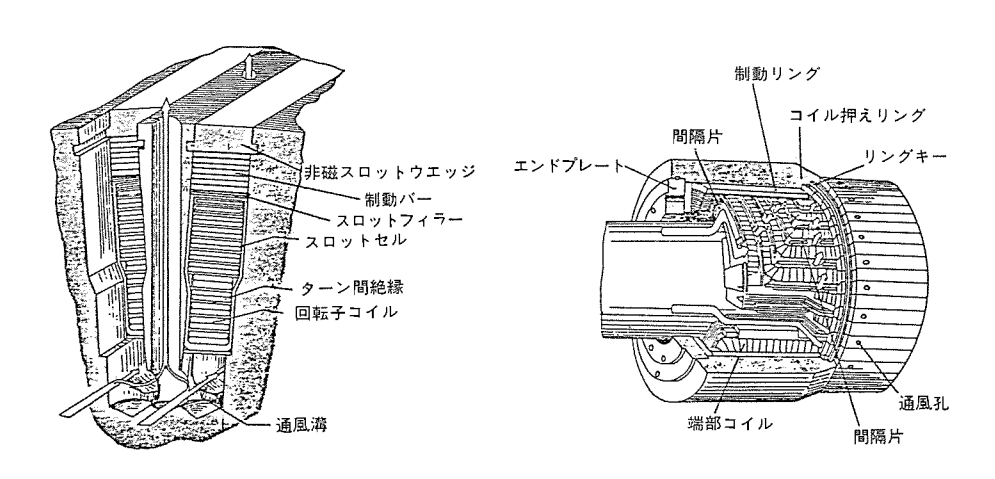
5. 構 造

図 3. に発電機組立断面図を示す。本機の概略寸法重量は全長 15 m, 床上高さ 5 m, 横幅 5.3 m, 固定子重量 270 t, 回転子重量 130 t である。

5.1 回転子軸系

図 4. に軸系構成図を示す。 軸系の設計では、ねじり共振周波数を、短絡 トルクの加振周波数成分 (60 Hz 及び 120 Hz) から離すように軸系寸法を決めた。既設機のねじり共振周波数を計算し、短絡試験時にねじり計測を行って計算精度を確認した上で、本機の検討を行った。表 2. に本機のねじり共振周波数を示す。

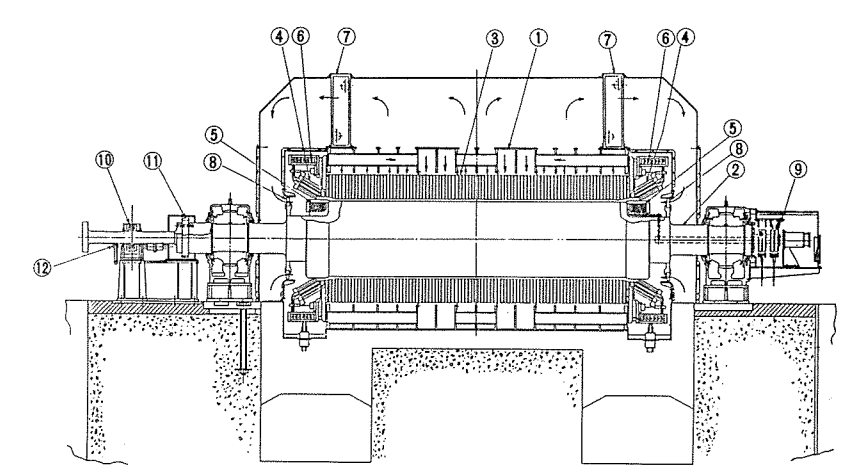
発電機回転子軸材は,降伏応力 67 kg/mm² 級の Ni-Mo-V 鋼一体 鍛造品を使用した。図 5. に スロット 加工後の回転子を示す。回転子



(a) コイル 直線部

(b) コイル 端部

図 2. 回転子 コイル の通風



①固定子フレーム ②回転子軸 ③固定子コア ④固定子コイル ⑤回転子コイル ⑥位相リング ⑦空気冷却器 ⑧プロペラファン ⑨コレクタリング ⑩スラスト軸受 ⑪ターニングギヤ ⑫接地ブラシ

図 3. 発電機組立断面図

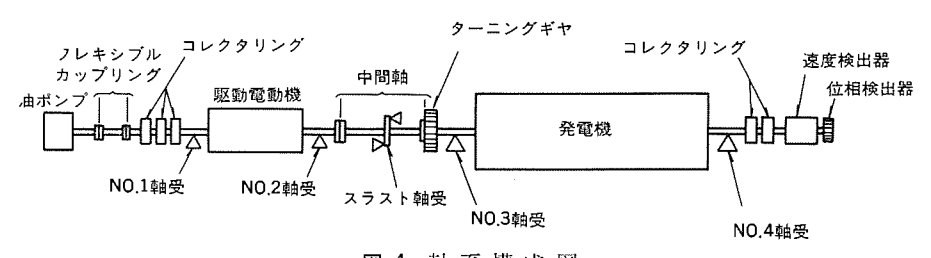


図 4. 軸 系 構 成 図

表 2. ねじり共振周波数

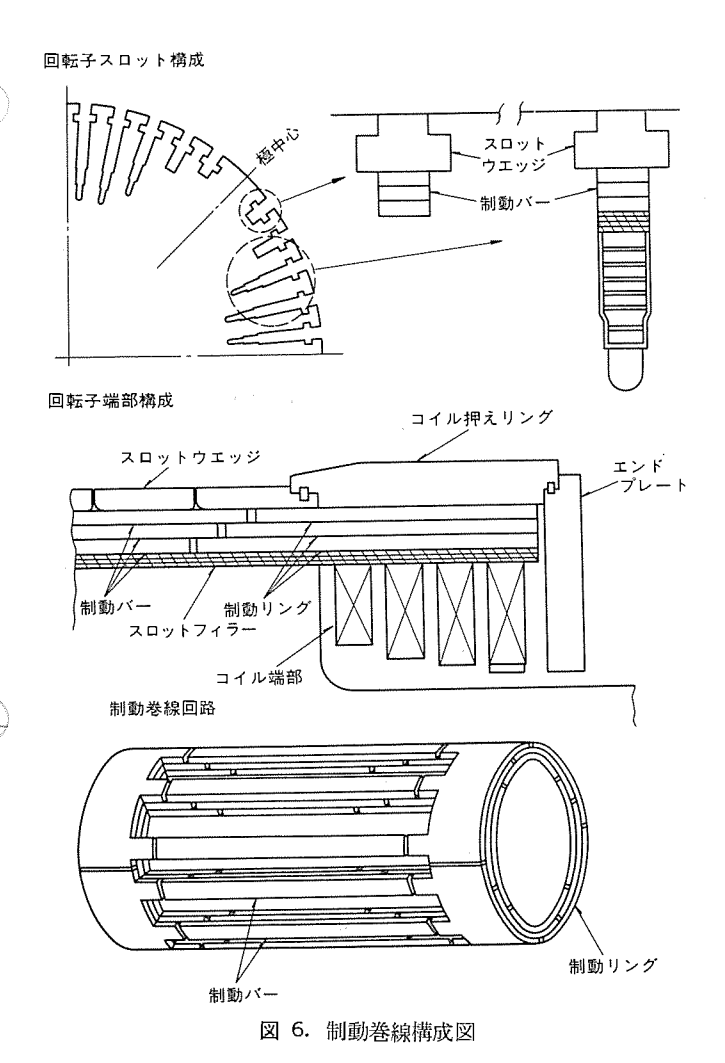
(単位:Hz)

		既		S	rţ.	機		本機(KETRI)		ri)
		設	計	値	実	測	値	設	計	値
_	次		25.3			26.3			20,0	
=	次		139.8			141.7			145.9	



図 5. 短絡発電機回転子(スロット加工後)

ボディー端で焼きばめ固定した コイル押え リングは, 降伏応力 95 kg/mm² 級の非磁性 Mn-Cr 合金鋼を使用した。 コイル押え リング の焼きばめ 代は,線間短絡試験時のかん(嵌)合部温度上昇によって焼きばめ面



圧が減少しないように, 短絡試験時の嵌合部温度上昇及び過速度時 の コイル 押え リング の変形を考慮して決めた。また、使用材の切欠き 感度が高いため、 コイル 押え リング には通風穴を設けずに前述の コイ ル端部通風構造(図2(b)参照)を採用した。

5.2 制動巻線

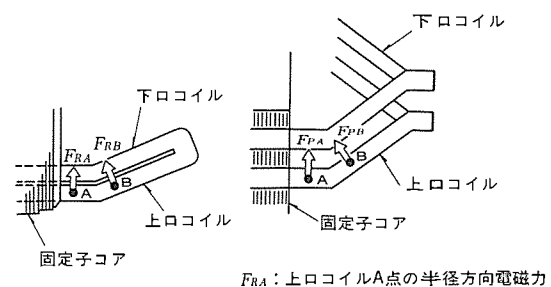
図 6. に制動巻線構成図を示す。 スロットウェッジ に電気伝導度 の高い 銅204合金を使用して制動回路の一部を形成させるとともに、その 下に数層の銅板を積層した制動 バーを組込んだ。磁極部表面にも制 動 バー専用の スロットを加工して同様に制動 バーを組込んだ。ボディー 両端の コイル 押え リング の下に銅板を積層した制動 リング を設置した。 制動 リング 各層は1円周に4分割しており、 合わせ目は熱膨張に対 する伸び代を考慮して隙間をあけた。また、制動リングにはくし (櫛)歯上の突起部を加工し、これを スロット内に挿入して制動 バーに 接続した。

5.3 固定子フレーム

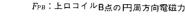
固定子 フレームは、短絡時衝撃力が繰返し加わっても耐えられるよう に、通常機より枠板の板厚、取付個数を増すとともに、枠板を貫く フレームボルトを溶接して フレーム 剛性を増した。 フレーム の基礎支持方 法は、基礎強度を考慮した上で巨大な基礎 ポルトにより、 フレーム を 直接基礎架台へ固定する従来方式を踏襲した。

5.4 固定子コア・コイル

コア の支持は、 コアボルト のほかに フレームボルト を利用して コア 両端の クランパ を二重に締め上げた。 コイル 主絶縁は、F種相当の エポキシレジ っ 含浸 マイカガラステープ を使用して、 電気絶縁・機械強度特性を高め



FRB: 上口コイルB点の半径方向電磁力 FPA:上口コイルA点の円周方向電磁力



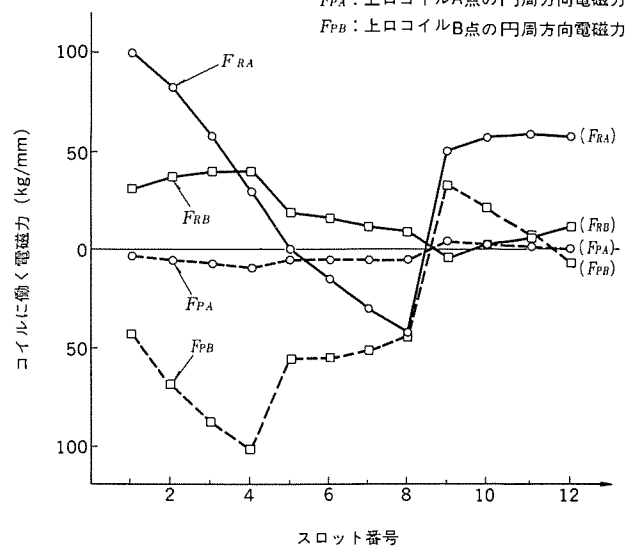


図 7. 固定子 コイル 端部の電磁力

た。また、シリースコイル 接続部は、ろう付方式を採用して接続部の強 度を増加した。

5.5 固定子コイル端部支持構造

固定子 コイル 端部には、短絡電流により巨大な電磁力が生じる。 電 磁界解析 プログラム "SCALAR" を用いて、コイル 端部電磁力を求めた 結果,発電機端子での三相突発短絡時にはコイル1本に対し,100 kg/mm の力が加わる(図 7. 参照)。この電磁力による コイル の変形 を抑制し、 長期間の試験運用においても コイル 支持機構に緩みを生 じさせぬため、特殊な支持構造を採用した。 基本的には、 コイル 端 部全体を一体 リング 構造に固めて固定子 コア 側より支持した。 コイル の軸方向熱膨張については、リング支持部に可動機構を取付けた。 また、 コイル を支持する間隔片や コイル 支えには、機械強度及び クリ -プ特性の高い絶縁材料を使用して、電磁力による コイル ひずみが コ イル 絶縁の繰返し疲労に対する許容値(10⁷ 回繰返し疲労に 対 し て 600×10-6 ストレイン)以下となるように支持構造を設計した。

コイル端部支持構造を図8. に示す。固定子 コアクランパ にコーン 支持リ ングを ボルト締めし、この支持 リング に可動機構を介して巨大な円す い状一円物の金属 コーンを取付けた。コーン の内側には コイル 支えを並 べてその上に下口コイル、コイル支え、上口コイル、コイル支えとサンドイ ッチ 状に積重ね, 最内層には羽子板状の コーンクランパ (非磁性金属) を並べて非磁性 ボルトで コーン に締め付けた。円周方向の支持は、コ イル間に ブロック状の コイル 支えを置き,コイル との隙間には熱硬化性 の ポリエステルパテ を詰めた。 コイル 先端部は、 内外 2本の支持リング, コイル 支え及び ポリエステルパテ で押え、 コーンにボルト 固定 した。固定子 コア出口部は、コイル支え ブロックを フィンガプレート 歯部間及び コーン 側

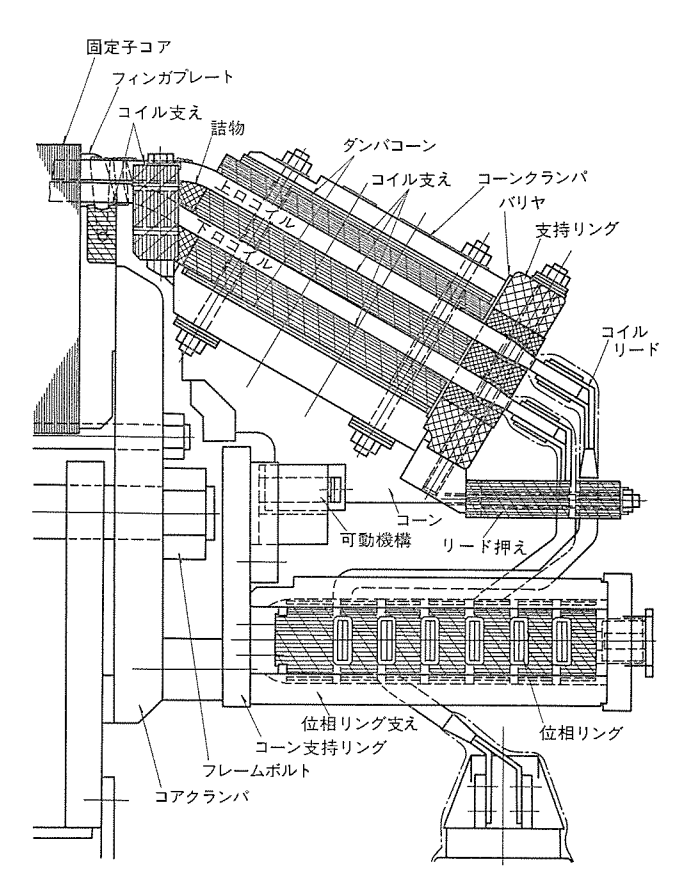


図 8. コイル端部支持構造

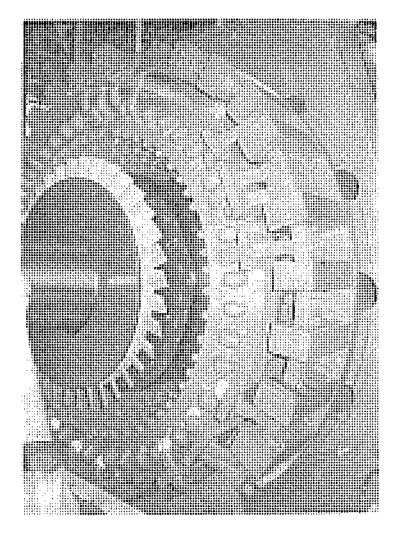


図 9. 固定子 コイル端部(組立後)

に取付け ガラス ひもで相互に縛り上げた。位相 リング は、 コーン 支持 リングにボルト 固定した位相 リング 支え内に絶縁物を挟んで固定した。 コーン及 び コーンクランパ の内側には、厚さ数 mm の銅板を積層した ダンパコーン を取付けた。また、コイル 端部と支持部材との間には、 バリヤ を挿入して耐圧試験時の フラッシュオーバを防いだ。図 9. に組立後の コイル 端部を示す。

6. 付属装置

6.1 空気冷却器

空気冷却器は発電機 フレーム 頭部両端に各 1 台設置した。冷却管は銅 フィッ 付 オーバル 形 アルミブラス 管を使用して、円管形冷却管より 体格 を縮小した。 冷却器の処理熱量は 1 台当たり $1,300~\mathrm{kW}$ であり、冷

却水温 32 \mathbb{C}° ,冷却水量 165 m^3/h にて冷却器出口空気温を $40^\circ\mathrm{C}$ に保 つことができる。

6.2 軸受潤滑油供給システム

軸受潤滑油系統を図10. に示す。潤滑油供給装置及び主油 タンク は, 発電機建屋の地下室に据付けられ、発電機軸受、駆動電動機軸受、 スラスト 軸受及び ターニングギヤ へ強制給油を行う。 主油 タンク は内容積 12 m³ であり、軸受配管を含め 10 m³ の軸受油を保持している。給 油ポップはすべて遠心形で計3台設置し、それぞれ異なった駆動源 で運転する。主油 ポップは、発電機駆動電動機軸端に フレキシブルカップ リング で接続され、吐出圧 6 kg/cm² で 3,300 l/min の油を供給する。 交流補助油 ポップは、発電機始動・停止時及び主油 ポップのバックアップ 用として軸系必要油量 1,260 l/min を供給する。更に停電などの 緊 急 バックアップ 用として、直流非常用油 ポップ を設置した。補助油 ポッ プ及び非常用油ポップの始動は、軸受給油系統の末端に当たる発電機 コレクタリング 側軸受の給油圧力を 2 段階に 検出 して, 0.85 kg/cm² 以 下で補助油 ポップ 始動, 0.5 kg/cm² 以下で非常用 ポップ 始動及び発電 機 トリップの シーケンス を組込んだ。また,発電機始動時の補助油 ポン プと主油 ポップの切換えは, 主油 ポップ 給油圧を検出して 6 kg/cm² で補助油ポップを自動停止させた。

主油 ポップ と主油 タック の据付高低差により、主油 ポップ 吸い込み 圧力が負圧となって キャビテーション が発生するのを防ぐために、主油 ポップ 回路に エジェクタ を取付けて、エジェクタ の吸い上げ効果でポップの 吸い込み圧力を正圧に保つよう工夫した。

油冷却器は、処理熱量 520 kW で冷却水温 32°C、冷却水量 150 m³/h にて冷却器出口油温度を 40°C に保つことができる。油冷却器出口に自動油温調整器を取付け、冷却水温や発生損失の変化に対して、供給油温を一定に保てるようにした。このほか、この装置には発電機始動停止時や ターニッグ 運転時の油切れ、ゴミの挟み込みなどによる軸受損傷を防止するために、150 kg/cm² の高圧油を発電機軸受に供給する オイルリフト 装置を設置した。

6.3 冷却水供給システム

このシステムは発電機空気冷却器,駆動電動機空気冷却器,軸受油冷却器及び液体抵抗冷却器へクーリングタワーで32℃に冷却した計580m³hの冷却水を供給する。50%定格の冷却水ポップを3台据付け常時2台運転とするとともに,万一のポップ停止に備え,地上高25mの所に容量300m³の非常用冷却水タックを設置した。運転中の供給圧力を監視して,正常圧力2.5kg/cm²に対し2.2kg/cm²で予備冷却水ポップを始動させ,1.7kg/cm²で非常用冷却水タックの電磁バルブを開くとともに発電機停止操作に入り,回転数が十分降下するまで各冷却器に冷却水を供給することができる。また,起動停止の繰返しや各種試験運転に対して,冷却水温度を一定に保つため自動冷却水温調整装置を設置した。

6.4 炭酸ガス消火装置

発電機機内の万一の火災に備え、炭酸 ガス 消火装置を設置した。炭酸 ガス は機内容積 160 m³ に対し、 3 段階に分けて機内放出し、機内炭酸 ガス 純度を放出開始後 15 秒以内に 15%, 1 分以内に 30% 以上に上昇 させ、その後無制動時における回転子完全停止まで約 80分間 30% 以上に保つことができる。消火装置の始動は、機内 6 箇所に取付けた温度感知器と、 固定子 コイル 短絡保護用の比率差動継電器の動作を併用して誤動作を防止している。また、放出動作は通常全自動で行われるが状況に応じて手動操作も可能である。

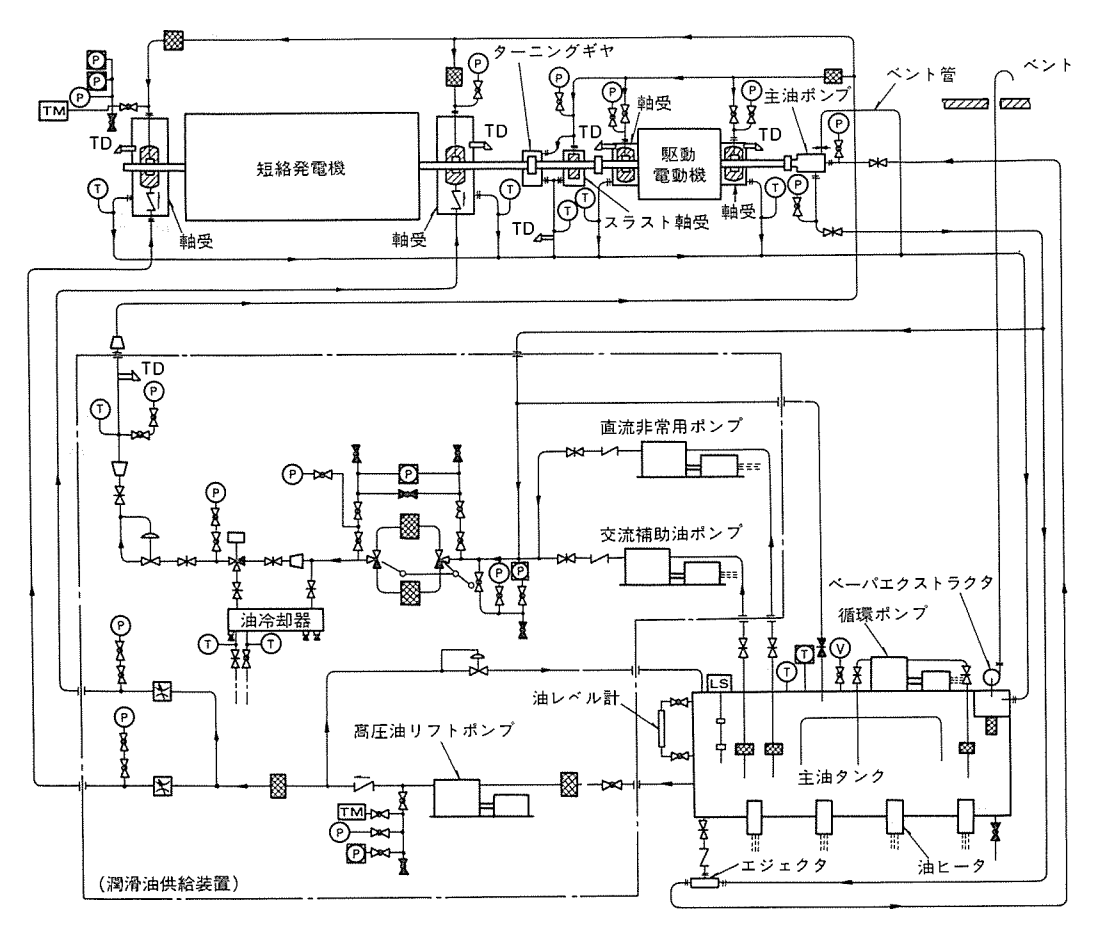


図10. 軸 受 潤 滑 油 系 統

6.5 ターニング装置

長期停止時の回転子たわみ変形に起因する振動変化を防止するため、起動昇速前に回転子を低速回転させて、変形を矯正する ターニング 装置を設置した。 発電機軸端と中間軸の間に挟み込んだ ギャスペーサ を、減速 ギャ を介して 11 kW の渦電流継手付電動機 で駆動し、回転子を約 5 rpm で ターニング する。ギャ の嵌脱は、手動にて嵌合した後 ターニング を行い、昇速時は発電機駆動電動機と ターニングギャ の速度差により、自動的に ターニングギャ が外れる構造を採用した。 渦電流継手付電動機は可変速機構を備えており、ターニング 開始時の駆動 ショック を緩和するために使用した。

ターニング 装置上には、回転子の軸方向移動を拘束するための パッド スラスト 軸受と、軸電圧に対し一点接地を行うための接地 ブラシ 装置を設けた。

7. 試験結果

7.1 工場試験結果

工場試験は 1981 年 5 月に実施した。 本機の無負荷飽和特性, 三相及び線間短絡特性を図 11. に示し,主な試験結果を次に示す。

(1) 発電機損失

機 械 損:1,400 kW (1,800 rpm 時)

鉄 損:1,310 kW (18 kV 発生時), 340 kW (9 kV 発生時) 界磁銅損:240 kW (18 kV 発生時), 20 kW (9 kV 発生時)

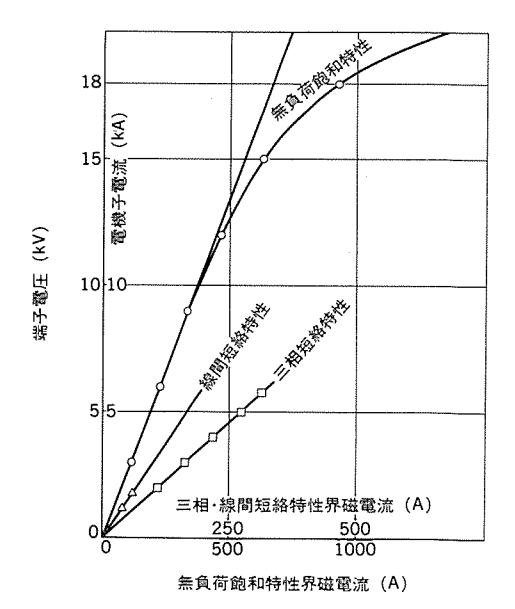
コイル 絶縁最大ひずみ:40×10-6 ストレイン

(2) 固定子 コイル ひずみ計測(コーン 支持内 コイル 絶縁ひずみ)

40% 定格電圧三相短絡にて

短絡瞬時電流

: 52.1 kA



弁(常時開)

弁(常時閉)

チェック弁 ドレンプラグ

流量調整弁 圧力調整弁

温度調整弁

圧力計

温度計

真空計

圧力スイッチ

圧力変換器

温度检出器

温度 スイッチ

オリフィス

レジューサー

フィルタ

[15] レベルスイッチ

瑟

Del-

®

(T)

Ø

P

TM

TD/D

888

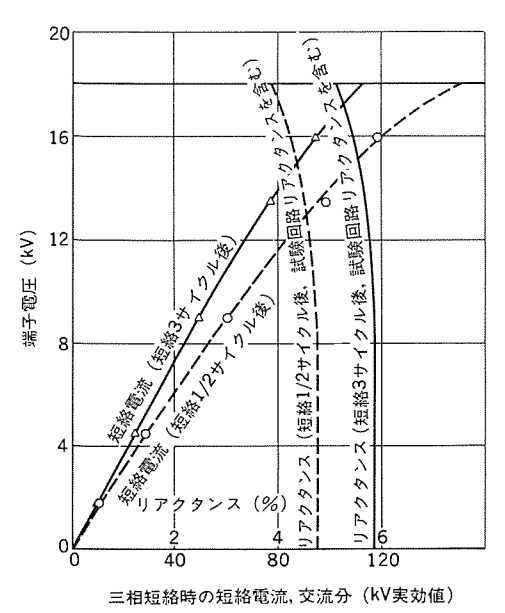
 \odot

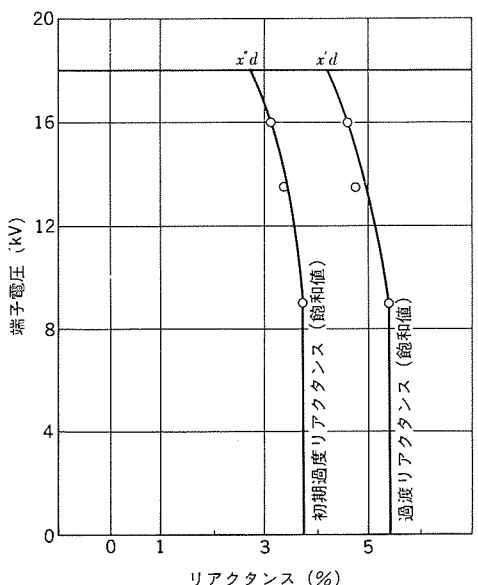
-0-

ゲート弁 グル*ー*プ弁

図 11. 短絡発電機特性曲線

三相突発短絡試験時に固定子 コイル端部ひずみ計測 を 実施して、コイル端部支持強度を確認した。現地試験設備での最大短絡電流 (瞬時約 155 kA) に対する コイル絶縁ひずみは、試験結果より 360×10-0 ストレイン以下と推定され、繰返し疲労許容値以下であった。 ねじり振動の計測については、工場試験の軸系が実機と異なるため数値は示さないが、工場試験時の軸系に対応する計算値と一致した共振周波数が観測された。





(a) 三相短絡電流と電圧の関係

(b) 発電機 リアクタンス と電圧の関係

図 12. 現地試験における短絡発電機の特性

(1) 発電機単体性能試験(16 サイクル 三相短絡試験)

試験電圧	短絡電流	(kA)	固定子コイ			
(kV)	1/2 サイク ル後	3サイク ル後	ル温度上昇 (°C Rise)	モータ側	コレクタ リング側	
13.5	98.2	77.2	5.0	2.5	1,5	
16.0	118.2	94.3	7.0	2.0	2.0	

表 3. 現地試験結果

(2) 各種 リアクタンス, 時定数 (180 MVA 基準, 飽和値)

発電機初期過渡リアクタンス:X''d=2.7%

ル 過渡リアクタンス : X'd = 4.2%: Xd = 33.8%

初期過渡短絡時定数 : T"d=0.042s : T'd = 0.93 s

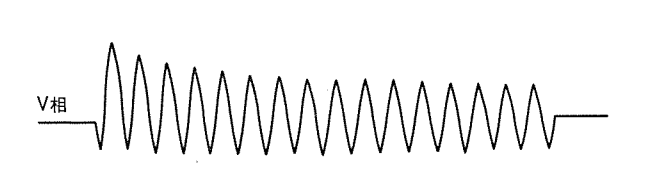
過渡短絡時定数

 $: X_e = 1.03\%$

(3) 三相短絡直接試験

試験電圧	(kV)	3 サイクル後 開放時回復電		
諸殿回路	試験回路 発電機場子		2.5 サイクル後	压(%)
24.0	18.0	60.1	52.3	90.4





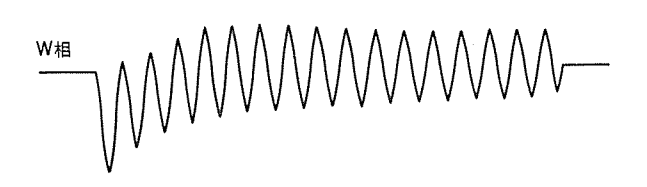


図 13. 三相短絡電流 オシログラム (16 kV)

7.2 現地試験結果

現地試験は1982年9月に実施した。 主な試験結果を表 3. に示す。 発電 機単体性能試験は, 18 kV 試験回路 で 16 サイクル 三相短絡試験を実施し た。実測結果 (図 12. (a)参照) よ り定格電圧三相短絡では、 短絡3サ イクル 後 110 kA 以上の短絡電流が得 られることを確認した。また、短 絡中の固定子 コイル 温度上昇 は 数度 であり, 軸振動も許容値 17.5/100 mm・P-P 以下であった(表 3. 参照)。 **短絡電流実測値は、試験回路 リアクタ** シスの影響を含んでいる。 この影響 を除くため、短絡中の発電機端子電 圧 を 計測して試験回路 リアクタンス を 求めた。図 12. (b)は実測 リアクタン スより試験回路 リアクタンスを除いて 求めた発電機リアクタンス特性を示す。

単体性能試験から得た発電機諸定数を表 3. に示す。 短絡容量は発 電機端子での三相短絡対称分で、短絡 1/2 サイクル 後 6,200 MVA, 3 サイクル 後 4,800 MVA に達 し た。図 13. に三相短絡電流 オシログラム を示す。なお、線間短絡容量は発電機端子での短絡対称分で、短絡 1/2 サイクル 後 3,200 MVA、 3 サイクル 後 2,800 MVA である。

一方、短絡変圧器を介した三相短絡直接試験を行い、発電機回復 電圧を確認した(表 3. 参照)。 短絡 3 サイクル 後開放時の発電機端子 回復電圧は、 急速過励磁を行わずに 90% 以上を得た。 この結果は 強力な制動巻線による効果を示している。

現地試験終了後、発電機各部の詳細点検を実施したが異常は認め られなかった。 固定子 コイル 端部支持においても緩みは認められな かった。

8. む 75

1978年設計開始以来、約4年にわたる各担当セクションでの努力の結 果、ここに世界でも最大級の短絡発電機を完成することができた。 今回の短絡発電機製作で得た技術を、今後の大容量短絡発電機及び タービン 発電機の開発,製作に役立てていく所存である。最後に本機 の製作に当たって、種々の御指導、御協力を賜った関係各位に厚く 感謝する次第である。

考 文 献

(1) 志岐ほか:超高圧電力研究所向け大容量短絡発電機,三菱電 機技報, 37, No. 8 (昭 38)

24kV及び36kV, 40kA大容量ガス遮断器と 閉鎖配電盤

堤 透*・片山 明*・古林 昇*・長谷川 裕*

1. まえがき

近年,電力設備の単機容量が増大する中で,発電機主回路や超高圧変圧器の三次回路を含む調相設備などの電力 プラント,鉄鋼プラント、 化学プラントなど大容量設備として信頼性,安全性に優れた ガス 遮断器を収納した閉鎖配電盤を開発した。

優れた消弧性能,長寿命, サージを発生しないなど,多くの優れた性能をもつ SF₆ 打ス 遮断器は,既に我が国で18年(当社実績)以上の使用実績を積み,その適用範囲も普通高圧から超超高圧の領域に及んでいる。当社実績で言えば中電圧領域で3,000台,超高圧以上で8,000台に達している。

今回開発した SF₆ ガス 遮断器は、24 kV 及び 36 kV、遮断電流 40 kA 定格のもので、接地 タンク内部に小形のパッファ形消弧室を組込み、電動ばね操作機構と手動引出機構を備えた取扱性の優れた遮断器であり、これを収納する配電盤は絶縁母線を備えた G級 メタクラ 相当の安全性の高い構造である。 これらは既に 1,500 面以上の製作実績を持つ当社(1) 33 kV、25 kA 定格、TGBA 形特高配電盤を基に強化、格上げしたもので高い信頼性が確認されている。

以下,新たに開発した大容量 ガス 遮断器と,収納閉鎖配電盤の概要を紹介する。

2. 定 格

表 1. に 6~30 kV 級 SFG 形 ガス 遮断器 (以下,GCB と称す)の シリーズ体系を示すが,このたび開発した 20~SFG~40 形及び 30~SFG~40 形を加え,中大容量域 GCB 全 シリーズ の完成を見た。図 1.,図 2. に 34.5 kV,2,000 A,40 kA,GCB 収納の TGBA 形屋内用閉鎖配電盤及び 36 kV,1,200 A,40 kA の 30~SFG~40 形 GCB の外観を示す。また表 2. には,20 kV 級,30 kV 級の閉鎖配電盤と GCBの各主要定格を示す。

表 1. 三菱 SFG 形 ガス 遮断器 シリーズ 体系

定格電圧	定格電流		定格遮断	電流 (kA)	
(kV)	(A)	25	40	50	63
7,2	1,200 2,000 3,000 4,000	6-SF	°G – 40	6-SFG-50	6-SFG-63
12	1,200 2,000 3,000 4,000	10-SFG-40		10-SFG-50	
24	600 1,200 2,000 3,000	20-SFG-25A	20-SFG-40		1
36	600 1,200 2,000 3,000	30-SFG-25A	30 – SFG – 40	注 斜線は今	回の開発品

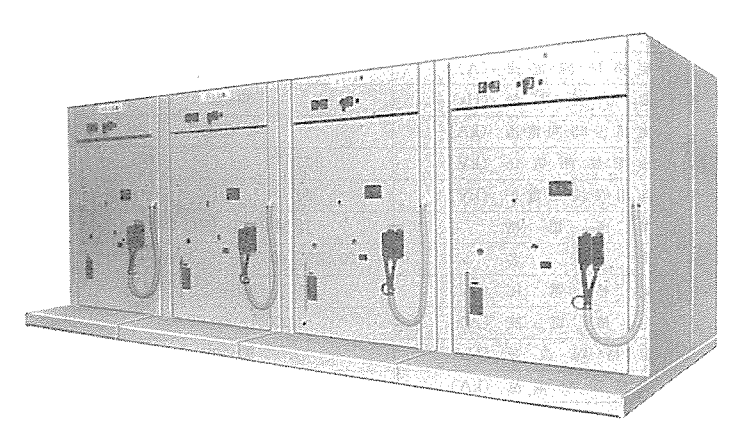


図 1. 34.5 kV, 2,000 A, 40 kA, 30-TGBA 形閉鎖配電盤

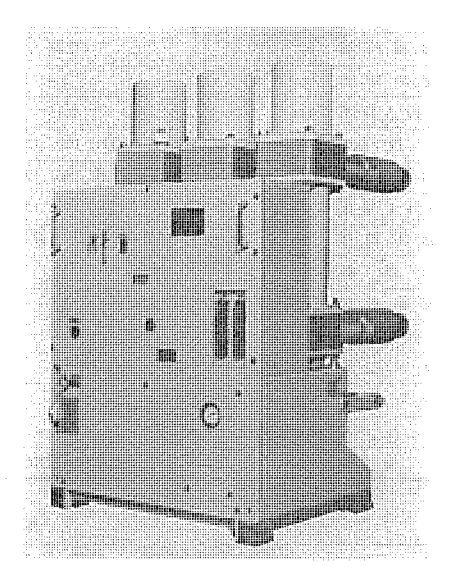


図 2. 30-SFG-40形GCB (36kV, 1,200A, 40kA)

3. 特 長

図 1., 図 2. に示す GCB 収納閉鎖配電盤の主な特長は、次のとおりである。

(1) 信頼性が高い

収納されている GCB は、 SF_{6} ガス の極めて優れた消弧性能を最大限に活用した最新の パッファ 形遮断部を、各相ごとに接地された金属 タック の中に密閉した遮断器である。 また、主回路導体は ェポキシモールド により絶縁し、更に支持がいしを使用しない シップル な構造を採用しており、遮断器室、母線室、 ケーブル室の各 コッパートメット は接地金属隔壁により、完全に区画されている。

(2) 安全性が高い

前述のとおり GCB は、高電圧部が露出しないよう接地 920 構造で、 しかも密閉されているので、従来の空気遮断器(以下、ABB と称 す)のように遮断時の ガス 放出などなく、火災や汚損の心配がない。 更に遮断器室は、完全に低圧室となっており、感電事故の危険性も 極めて少ない。遮断器の高圧断路部には、金属の自動 シャッタ が設け

表 2. 20/30-TGBA 形閉鎖配電盤と 20/30-SFG-40 形 GCB の定格

	_		仕	様	
	項	目	20 kV	30 kV	
	形 名		20-TGBA	30-TGBA	
閉	JEM-1153 の形式		G	級	
210	定格 電圧	(kV)	23	34.5	
鎖	定格母線電流	(A)	2,000,	/3,000	
配	定格周波数	(Hz)	50,	/60	
u	定格短時間電流	(kA)	40	(3 s)	
uf.	衝擊波耐電圧	(kV)	125	170	
盤	商用周波耐電圧	(kV)	50	70	
	準 拠 規 格		JEM-1153	, IEC-298	
	形 名		20-SFG-40	30-SFG-40	
ĺ	定格電 旺	(kV)	24	36	
	定格電流	(A)	1,200/2,000/3.000		
	定格周波数	(Hz)	50,	/ 60	
ガ	定格遮断電流	(kA)	4	0	
	定格再起電圧上昇率	(kV/μs)	0.50	0.60	
ĺ	定格投入電流	(kA)	10	00	
2	定格短時間電流	(kA)	40 ((3 s)	
	定格開極時間	(s)	0.	05	
	定格遮断時間	(サイクル)		5	
	無負荷投入時間	(s)	0.	15	
遊	定格投入操作電圧	(V)	DC 10	0, 125	
	投入制御電圧	(V)	DC 10	0, 125	
	定格引外し電圧	(V)	DC 10	0, 125	
ΝĪ	標準動作資務		CO-15 秒-CO/O-	· 1 分-CO- 3 分-CO	
	絶 縁 階 級	(号)	20 A	30 A	
	衝撃波 耐電 圧	(kV)	150	200	
	商用周波耐電圧	(kV)	50	70	
22	定格ガス圧力	(kg/cm ² g)	5	.0	
	補 給 指 令 圧 力	(kg/cm²g)	4	.5	
	鎖錠圧力	(kg/cm ² g)	4	.0	
	準 拠 規 格		JEC-181	, IEC-56	

単位:%

	据付面積	体積	重量
30-TCB形配電盤	100	100	100
30-TGBA形配電盤	30	15	40

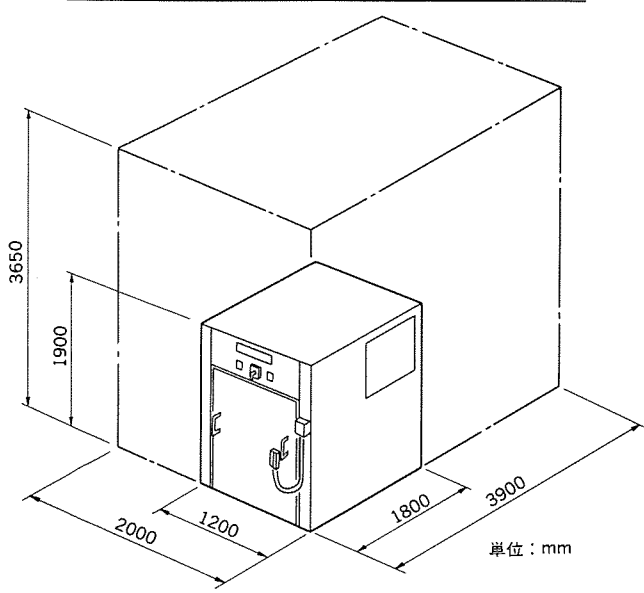


図 3. 30-TGBA 形配電盤と従来形 (ABB 収納) 配電盤の比較

てあり、この金属 シャッタの遮断器側に ブッシング形の変流器を配置した構成となっているので、 CT の交換、変更、 チェック などは遮断器を引出すのみで停電なしで安全に実施できる。

更に母線は、エポキシ絶縁と空気絶縁による複合絶縁方式を採用しており、母線接地部などの裸部分を完全に追放したG級の閉鎖配電 盤である。

(3) 小形軽量である

図 3. は、34.5 kV, 2,000 A、40 kA 単母線方式についての当社製 ABB を収納した従来の TCB 形閉鎖配電 盤と、GCB を収納した TGBA 形閉鎖配電盤の比較である。 このように、体積で15%、据付 スペース で30% に大幅に縮小された閉鎖配電盤は、収納する電気室の縮小化や、建屋 スペース の有効利用、輸送や搬入を含めた据付工期の短期化などを可能にする近代的設備として、建設設備費低減に大いに寄与できる。

(4) メンテナンス の省力化

GCB の操作には、電動ばね方式を採用しているので、ABB のような圧縮空気発生装置や、電磁操作のような大きな動力源は不要である。 更に消弧室は密閉された接地 タンク の中にあるため、汚損など外部環境による影響を受けにくく、接触子郡の電気的開閉寿命も長いので、保守作業は ABB に比べて大幅に軽減される。

そのほか、低騒音、取扱性の向上など近代的な設備としての環境 調和が図られるよう十分な考慮がされている。

4. 構 造

4.1 閉鎖配電盤の構造

閉鎖配電盤の側断面構造は図 4. に示す。

(1) 母線及び導体

遮断器断路部の固定 コンタクトと母線接続部間の導体は、エポキシ樹脂で一体モールドした特殊ブッシングで形成し、主母線の支持と固定コンタクトの支持を兼用した合理的 な設計である。主母線は丸形導体をエポキシ樹脂でモールドし、特殊ブッシングの接地部に挿入され、特殊コンタクトで接続する構造である。更に挿入部分の裸部分は、EPゴムキャップにより完全に遮へいされている。このようにエポキシ樹脂と空気絶縁による複合絶縁方式を採用しているので、万一エポキシ樹脂が損傷、汚損しても常規運転に支障はないよう信頼性を高めた設計である。図 5. は母線室を示す。

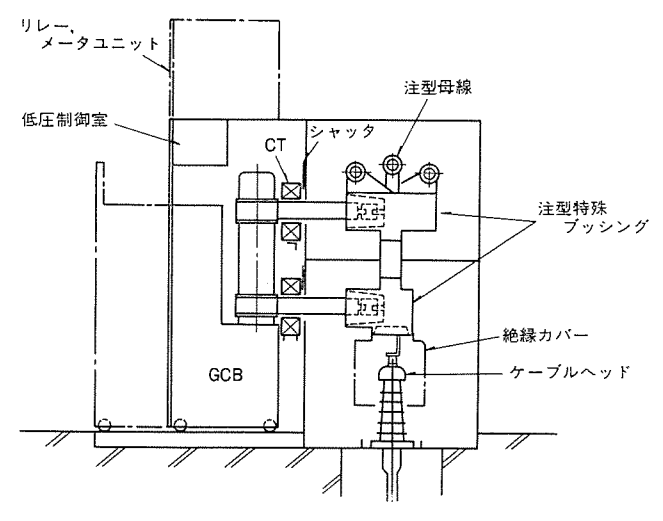


図 4. GCB 収納 TGBA 形閉鎖配電盤構造図

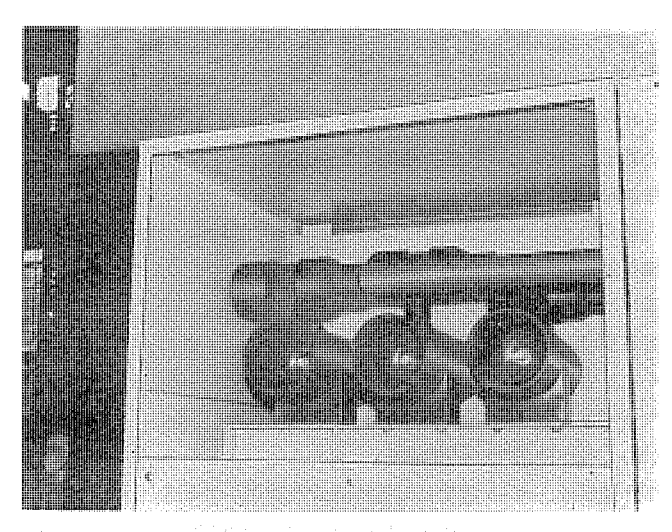


図 5. 母線室と特殊 ブッシング

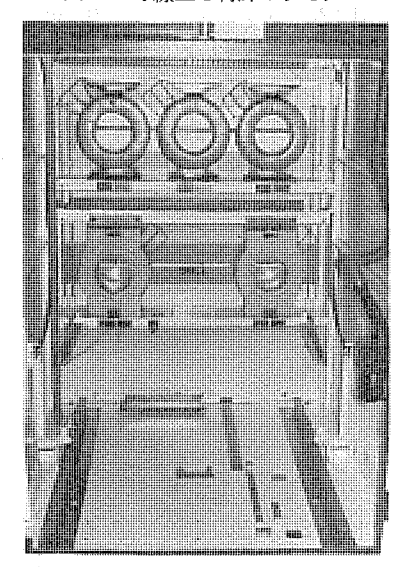


図 6. 36 kV, 40 kA TGBA 形閉鎖配電盤の遮断器室

(2) インタロック

- (a) GCB が OFF 状態でなければ引出し及び挿入操作はできない。
- (b) GCB の投入及び引外し操作は、GCB が完全に挿入位置にあるか、又は完全に試験位置にあるときのみ操作可能である。
- (c) GCB が引出し途中又は挿入途中にあるときは、GCB の投

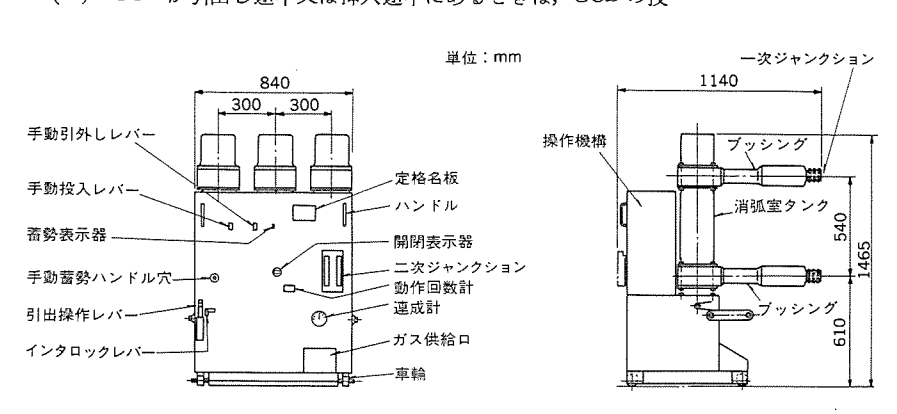


図 7. 30-SFG-40 形 GCB (36 kV, 40 kA, 1,200 A)

入操作はできない。

(3) 遮断器室

図 6. に GCB を引出した状態の遮断器室内を示す。

- (a) シャッタ: GCB の ブッシング が貫通する部分には、上下一対の 金属 シャッタ を設置し、GCB を引出すことにより シャッタ は自動的 に遮へいする。
- (b) CT: $\frac{1}{2}$ の手前側(低圧室側)には各 GCB の ブッシング 貫通部に対し、 $\frac{1}{2}$ では ダブルコア の ブッシング CT が取付けられている。 このように CT は $\frac{1}{2}$ もかっまって。 GCB を引 出すのみで安全に交換、点検ができる。
- (c) 床面:GCBの電流定格を間違えて挿入して も,遮断器が挿入不可能なように誤挿入防止装置や接地母線,また必要に応じてGCBのポジションスイッチなどを設けている。

(4) 低圧制御室

GCB の制御は遮断器室前面上部に散けてあり、遮断器の入切操作スイッチ、信号灯、GCB の ガス 警報 リレー などを取付けている。また必要に応じて保護 リレー や計器類を別 ユニット とし、低圧制御室上部 に搭載できる。

4.2 ガス遮断器の構造

36 kV クラスの 30-SFG-40 形 GCB の外形を図 7. に示す。図は 1,200 A 定格器を示すが,2,000 A,3,000 A 定格については, ブッシング 導体径, 消弧室内部の導体断面積などが異なるのみである。 なお 24 kV クラスの 20-SFG-40 形 GCB はブッシングを取換えるのみで構成可能な構造である。以下, 36 kV 用について説明する。図 7. に示すようにこの GCB は引出形を標準としており, 消弧室部は移動台車上に取付けた消弧室 タンクと注型ブッシングで構成し,消弧室 タンクは接地金属で構成している。操作機構は台車前面に配置し,遮断器前面からすべての操作が可能なように,制御装置,引出装置などを配置している。

この GCB の一次 ジャンクション 寸法(相間,極間寸法など)は,以下に詳述する遮断 ユニット の開発により,遮断容量の飛躍的増大にも

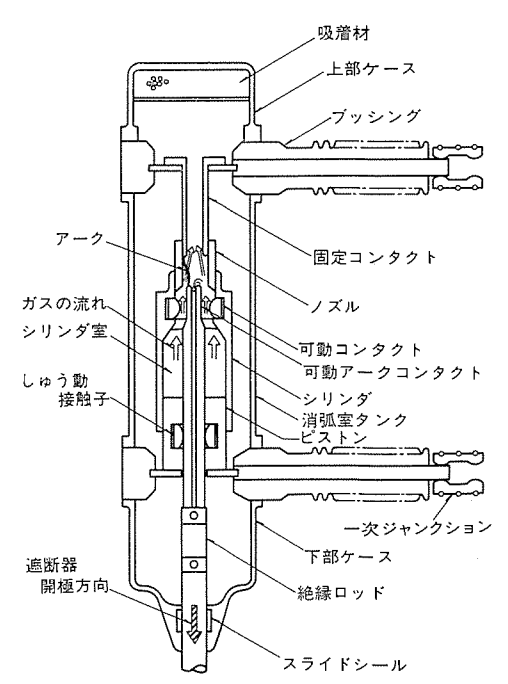


図 8. 消弧室の構造・動作

かかわらず、36 kV, 25 kA _{クラス} の GCB (30-SFG-25 A 形) と同一であり、メタクラ の基本的構成が従来製品と同一となるよう配慮している。

(1) 消弧室の構造

消弧室は単圧式パッファ 形消弧方式を採用しており、その構造を図8. に示す。図は遮断器開放途中を示しているが、操作機構の操作力により図のように、ピストンロッドが下方に動作し、ピストンロッドと一体に可動接触子、可動 アーク接触子、シリンダが下方に移動する。これらの移動によりシリンダ室のガスが圧縮され、図で示す矢印の方向にガスを吹き付けアークを消弧する。

パッファ 形消弧方式による電流の遮断は、上述のように機械的操作力により、シリンダ室内の ガス 圧を上昇させる必要があり、その上昇圧力に打勝つだけの操作 エネルギー が必要となる。この圧力上昇値はGCB の遮断性能に影響を与える重要な一要因であり、かつ操作機構の操作 エネルギー 決定のための一因子でもある。一方、GCB の満たすべき基本性能とそれらの性能を得るための基礎技術は、図9.に示すような関係である。遮断性能に重要な影響を与える ガス の吹付方式についての技術的発展は、最近めざましいものがあり、合理的な設計によって消弧 ユニット自体の小形化が大いに進められている。

特別高圧 クラス の GCB の例を示すと、 図 10. に示すように今回 開発された GCB の消弧室 ユニット は小形化が更に前進したことを示している。図は シリンダ 容積を単位遮断容量当たりの値で示しており、約 10 年間で遮断に要する ガス の有効利用率は、約 5 倍に 向上したことを物語っている。この消弧 ユニット の小形化を可能ならしめるためにはほかに、図 8. で示す ノズル、コンタクト、などの形状要素及び ガ

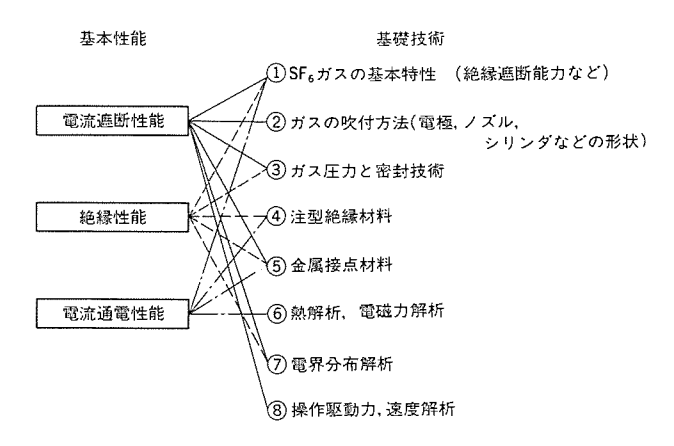


図 9. GCB の基本性能と基礎技術の関係

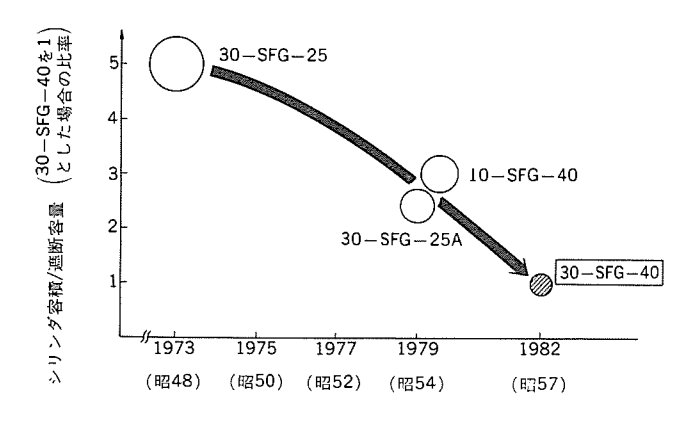


図 10. 特別高圧 クラス GCB の遮断 ユニット の変遷

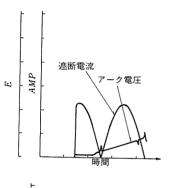
ス圧力,開極速度など種々の要因が相互に影響しあう。また,SF₆ ガス 自体の電流遮断時の高温時の物理的,熱力学的要因も影響し,これら種々の条件を適切に選定することが技術的に重要なポイントとなる。 我々はこれらの要因の最適な組合せを選定するために ガス中遮断現象 シミュレーションプログラム⁽²⁾ を応用した。

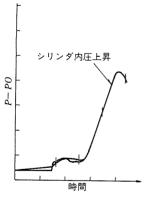
図 11. は、そのシミュレーション結果の一例であり、40 kA の短絡電流を遮断した時の電流、アーク電圧、シリンダ内の圧力上昇、アーク室及びシリンダ室の温度などをシミュレートしている。これらを各種の消弧室形状、開極速度、遮断条件などの入力データによってシミュレートすることにより、前述の各種要因の最適設計を可能にし、図 10.で示すような非常に小形の消弧ユニットが実現できた。

(2) 操作機構及び制御装置

操作機構は,E=9 蓄勢ばね操作方式を採用しており,消弧 3=-0 の小形化により,操作機構自身も低勢力化が可能となった。操作機構の主要部分は図 12. に示すように 3-0 つレーム 内に組込まれて おり, 3-0 つレーム を台車上に固定している。

この操作機構は図で示すように、 通常は モータによって投入ばねを蓄勢することができ、蓄勢、投入、引外しとも比較的小さい電力で制御可能であるが、据付調整の時などで補助電源がない場合でも





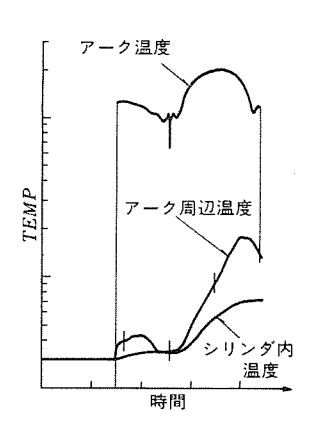


図 11. 消弧室 モデル の シミュレーション 結果

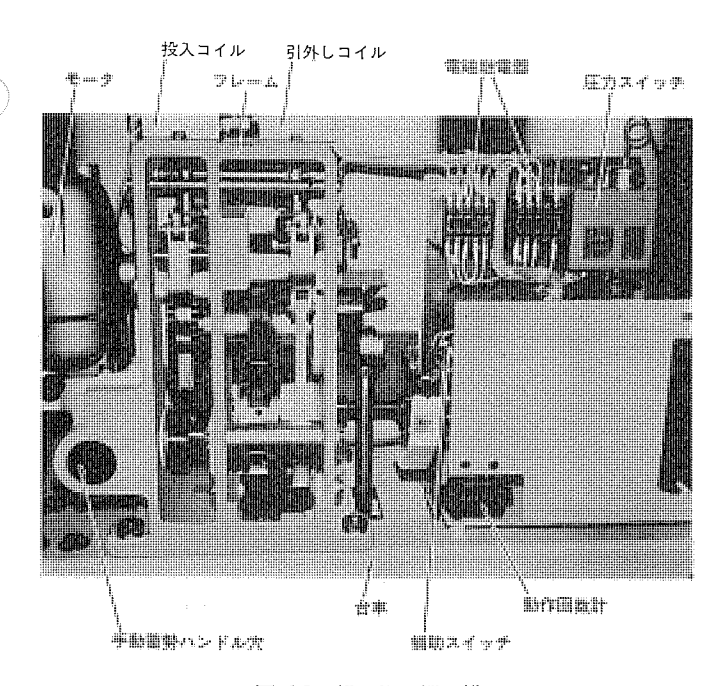


図 12. 操 作 機 構

簡単に手動で操作出来るような構造としている。 図は保護 カバー を 取外した状態であり、との状態で容易に機構内部の点検が可能であ る。投入ばね、引外しばねは台車下部に配置しており、これら機構 の基本的構成は実績ある標準器 (30-SFG-25 A 形 GCB など) と同 一思想で設計している。

制御装置は図 12. に示すように、パネル上に圧力 スイッチ、補助 ス イッチ、電磁継電器、開閉表示器を配置し、台車上に組立ててある。 消弧室 タンク 内の ガス 圧力は、前記温度補償用圧力 スイッチ によって 常に密度管理を して おり, 万一の ガス 漏れに対して, 定格 5 kg/ cm²·g (20°C の状態で) の ガス 圧力が 4.5 kg/cm²·g に低下した場合 は補給指令を,また4.0 kg/cm²・gまで低下した場合は,制御回路を ロ ックする システム を採用している。また、日常点検時には圧力計で常 に ガス 圧力の目視 チェック が可能である。

電磁継電器,補助 スイッチ などの制御用機器は,標準製品との共用 化を図ってあり、これらの制御装置の基本的構成、システム 設計など も標準化され統一した思想で設計している。

5. 試験結果

5.1 温度試験

定格電流 1,200, 2,000, 3,000 A の閉鎖配電盤に、 それぞれの定格 のGCB を実装した状態で通電し、温度上昇値を測定し、いずれの 遮断器、配電盤とも規格値を十分に満足する結果を得た。

5.2 耐電圧試験

GCB を配電盤に実装した状態で30号Bの試験を実施したが、更に GCB 単体の状態で JEC-181 規定の 30 号Aの耐電圧試験を実施し, いずれのケースにおいても良好な結果を得た。また,GCBの単体試 験において、万一の ガス 漏れ状態を想定し、〇気圧(大気圧相当) の状態で36kVの商用周波耐電圧試験を実施し、この状態での実用 性能に支障のないことを確認した。

5.3 短時間電流試験

1,200 A 用配電盤に同定格の GCB を実装した状態で,電流実効値 40 kA (非対称波高値 100 kA) を 3 秒間通電し,各部の機械的,熱 的損傷もなく、試験前後における主回路の接触抵抗値の変化もない ことを確認した。なお、この試験及び以後に述べる短絡試験につい ては、社内における性能検証に加えて、電力中央研究所武山試験研 究 センター における認証試験も実施し,良好な結果を得た。 図 13. は同試験場における供試器 (1,200 A 配電盤と GCB) の試験実施状

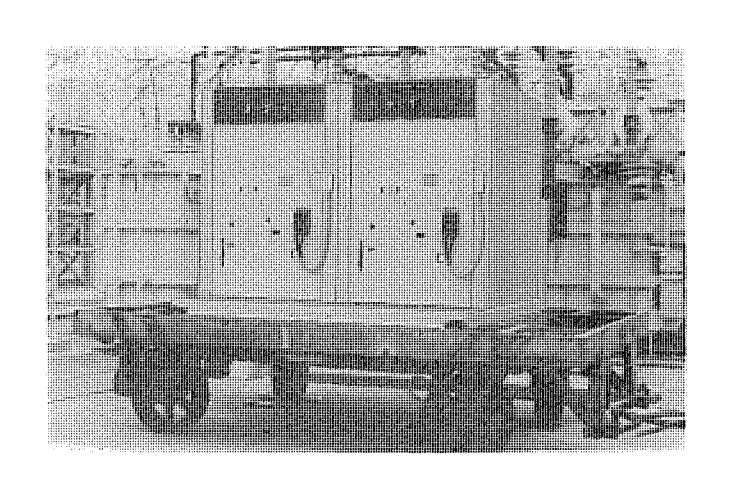


図 13. 電力中央研究所武山試験研究 センター に おける短時間電流試験状況

				表 3. 短 絡	試験条件	及び結果	一覧		
地	験 項	目	試験方法	動作資務	試 験 電 圧 (kV)	通電電流又は 遊 断 電 流 (kA)	再 起 上 昇 率 (kV/μs)	電 E 波 高 値 (kV)	鱛考
	1	号	単 相 合 成	O-1分-O-3分-O	31.2	4.1	3.06	76.9	$31.2 \text{ kV} = 36 \text{ kV} \times \frac{1.5}{\sqrt{3}}$
短	2	号	単 相 合 成	O-1分-O-3分-O	31.2	12.5	3.02	70.2	v
絡	3	号	単 相 合 成	O-1分-O-3分-O	31.2	24.5	1.44	68.8	u
試	4 a	号	三 相 直 接	C-3分-C	0,76	103 (ビーク値)		_	投入容量試験
験	4 Ъ	号	単 相 合 成	O-1分-O-3分-O	31.2	40.8	0.61	63.1	$31.2 \text{ kV} = 36 \text{ kV} \times \frac{1.5}{\sqrt{3}}$
72	5	号	単 相 合 成	O-1分-O-3分-O	31.2	40.4 (DC 分37%以上)	0.61	63.1	v
異	相地絡遮斯	試験	単 相 合 成	0-1分-0	36	35.3	0.63	76.2	
脱	調達斯	试験	単 相 合 成	O-1分-O	52	10.2	0.50	106	$52 \text{ kV} = 36 \text{ kV} \times \frac{2.5}{\sqrt{3}}$

注 試験ガス圧はすべて鎖錠圧力 (4.0 kg/cm²g, at 20°) にて実施

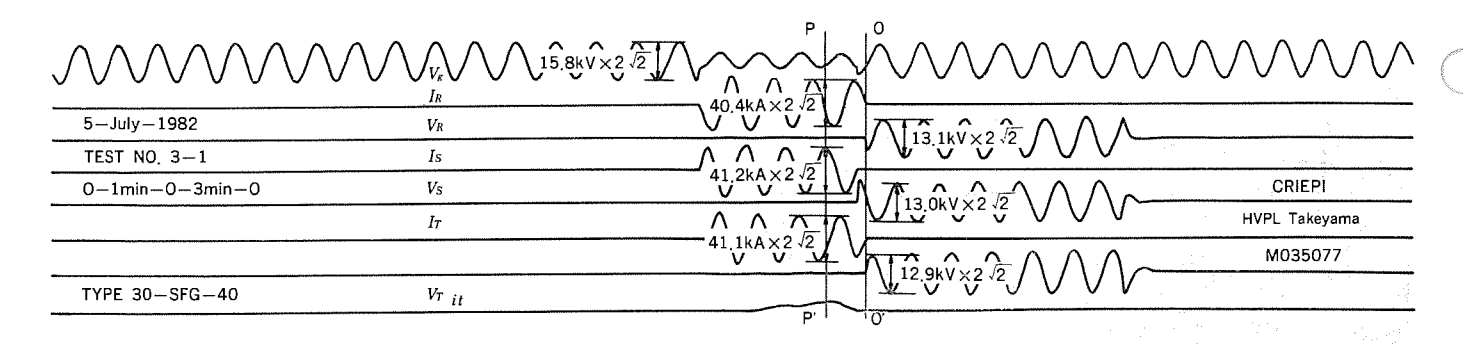


図 14. 三相短格試験(4b号) オシロクラム

表 4. 小電流遮断試験条件一覧

試 験 項 目	試 験 方 法	動作責務及び試験回数	試験電圧 (kV)	遊所電流(A)	偷	考
進み小電流遮断試験	単 相 直 接	"0" 12 回*	"O" 12 回* 27		$27 \text{ kV} = 36 \text{ kV} \times 1.3 / \sqrt{3}$	
進步小能加起的試験	1 相 但 按	0 (2 🔟	2,	50.8	試験ガス圧は鎖錠圧力 (4 kg/cm ² g at20°C	
遅れ小電流遮断試験	n4 kg =4= kfr	"0" 12 回*	31.2	5.6	31.2 kV=36 kV×1.5/~/	3
是 4 小 电 加 壁 街 訊 映	単相 直接	U 12 iii.	. 31.2	20.4	試験ガス圧は最高使用圧力	(5 kg/cm ² g at 20°C)

注 * 遮断位相は π/6 間隔で位相制御

況である。

5. 4 短絡試験

表 3. に示す試験条件で各種の短絡試験を実施し、 すべての条件で優れた遮断性能を有することを確認した。なお、 表 3. に示す試験条件は JEC-181 及び IEC-Pub 56 の条件の内、厳しい方の条件で試験を実施したことを示している。 また図 14. は前記武山試験 センター での 40 kA 三相直接短絡遮断時の オシログラム である。なおこの試験は試験設備の都合上 24 kV 回路にて試験を実施したものである。

5.5 小電流遮断試験

表 4. の試験条件で遅れ小電流, 進み小電流遮断試験を実施し, いずれのケース も電流遮断時の発生過電圧値が低いこと及び無再点弧, 無再発弧で遮断できることを確認した。

5.6 その他の試験

前記各種試験のほかに,無負荷連続開閉試験 (10,000 回), ガスリーク 試験,過負荷電流通電試験,耐圧力試験,せん絡試験など,各種性 能検証試験を実施したが,いずれの試験でも優れた性能を有してい ることを確認した。

6. む す び

高圧 ガス 遮断器は,信頼性,安全性が高く, 小形軽量で省 エネルギーの ニーズ にも対応するものとして広く適用されている。 6 kV クラスでは,火力,原子力発電所を中心として,従来の磁気遮断器 (MBB) に代わって ガス 遮断器の採用が進められ,更に老朽化した既設配電盤の予防保全の一環として,既設 MBB を GCB に置き換える更新工事も実施されている。更に,20/30 kV クラスでは,従来の空気遮断器 (ABB) に代わって今回開発された ガス 遮断器の採用が検討されている。

とのように大容量電力 プラント をはじめ、あらゆる電力設備の近代 化の一手段として、高圧 ガス 遮断器が今後ますます広く適用される ものと期待される。

参考文献

- (1) 梁川ほか:三菱電機技報, 53, No. 4, P. 266 (昭 54)
- (2) 笹尾ほか:昭和56年度電気学会全国大会,第12分冊, No. 1173

インバータ駆動時の電動機の機械的諸特性

竹下光夫*・佐藤公夫**・柳沢公人**・清水正義**

1. まえがき

省力化、自動化に対応して、可変周波数電源で誘導電動機(以下、電動機と称す)を運転する インバータ の需要は、他の電気式、機械式の可変速装置と同様にその メリット が認められ広く使用されてきた。最近、特に省 エネルギー の要求に呼応した ポンプ、 ファン などの可変速運転の必要性が急速に高まってきたのと、一方においては、 パワーエレクトロニクス の技術進歩及 び 生産性の向上による コストダウン などが重畳し需要が増大してきた。

可変速装置としてのインバータは、電動機と組合せて使用した場合、他の可変速装置に比べ、次のような数々の特長を持っており本質的に汎用性に富んだ製品である。

- (1) 保守性が優れている。
- (2) 耐環境性が優れている。
- (3) トータル 効率が高い。
- (4) 小形軽量である。
- (5) 操作性に優れている。

しかし一方では、経済性及び技術的制約のために、電動機に印加する電圧、電流波形が正弦波でなくひずみ波となり、この波形に多くの高調波が含まれている。この高調波の電磁力に起因する振動、騒音の発生、及び高調波による銅損、鉄損の発生に伴う温度上昇、効率の低下が生じる。そのほかに、軸電圧の発生による軸受への影響、電気振動トルクの発生など、インバータが電動機に及ぼす諸問題について留意しなければならないし、その対応が必要である。

従来、電磁振動、騒音についてはかなり検討されているが、それらは正弦波電源に関する定性的なものが主であった。インバータ駆動時におけるひずみ波形電圧、電流(ひずみ波電源)が小形電動機に及ぼす機械的影響のうち、軸電圧の発生による軸受への影響及び電気脈動トルクについては小形電動機については実用上ほとんど影響がないのでとこでは割愛する。インバータ駆動時に一番注意しなければならないひずみ波電源による小形電動機の振動騒音についてその解析法と実験結果について述べ、更にひずみ波電源の高調波成分による電動機の各損失に対する解析及びその特異点について言及し、通風熱解析について例題を使って解説する。

2. 振動騒音

電動機の振動騒音の要因を大別すると、電磁力、機械力、流体力に分類できる。ことでは、ひずみ波電圧印加時における電磁振動騒音について主に述べる。この場合について種々の電磁加振力を求め、電動機の振動系の伝達関数から振動応答を解析し、実験結果と比較検討する。また、電動機において工作精度上、起こりうる固定子と回転子との偏心についても考慮した各種検討結果についても述べる。

2.1 電磁加振力

インバータ で電動機を運転した場合のひずみ波電源固有の電磁加振力は,

(1) 時間高調波による電磁加振力

であり、また商用電源の場合にも存在するものとして、

- (2) 相の アンバランス による電磁加振力
- (3) 溝高調波による電磁加振力
- (4) 相帯高調波による電磁加振力

などがある。(3),(4)項については、従来からよく検討⁽¹⁾⁽²⁾されている。とこでは、(1),(2)項を中心に述べる。しかし、インバータ出力電圧の相間 バランス は非常に良好なので、実際には問題にならない。

- (1) 時間高調波による電磁加振力
- (a) ひずみ波電源に含まれるN次高調波による電磁加振力 回転子が固定子に対して偏心した場合をも考慮した高調波の空げ き磁束による電磁加振力を解析的に求める。空げき磁束密度Bの 分布は、近似的に次のようになる。

$$B = B_1 \left\{ \cos(\omega_0 t + P \theta) + \sum_{m=2}^{N} b_m \cos(m\omega_0 t + P \theta) \right\} (1 - \varepsilon \cos \theta)$$
.....(1)

てこで ω:電源の角振動数

B₁:基本波の磁束密度

P:極対数

θ:機械角

ε:偏心率

 b_m : 磁束密度の高調波成分 $/B_1$

この磁束による電磁加振力は $F=B^2/2\mu$ となる。電磁振動,騒音に関与する電磁加振力の主な項は,一次とm次の成分によって生じ,次式で表される。

$$\begin{split} \frac{F'}{(B_1^2/2\mu)} &= \frac{1}{2} + \frac{1}{2}\cos(2\omega_0 t + 2P\theta) \\ &+ b_m [\cos\{(1+m)\omega_0 t + 2P\theta\} + \cos(1-m)\omega_0 t] \\ &- \varepsilon \Big[\cos\theta + \frac{1}{2}\cos\{2\omega_0 t + (2P-1)\theta\} \\ &+ \frac{1}{2}\cos\{2\omega_0 t + (2P+1)\theta\} \Big] \\ &- 2\varepsilon b_m \Big[\cos(1-m)\omega_0 t \cdot \cos\theta \\ &+ \frac{1}{2}\cos\{(1+m)\omega_0 t + (2P-1)\theta\} \Big] \\ &+ \frac{1}{2}\cos\{(1+m)\omega_0 t + (2P+1)\theta\} \Big] &\cdots (2) \end{split}$$

(b) 搬送周波数による電磁加振力

搬送周波数帯域成分と他の周波数、例えば電源周波数による電磁 加振力を求める。この場合の磁束密度は、

$$B=B_1\{\cos(\omega_0t+P\theta)+b_c\cos(\omega_ct\pm P\theta)\}$$
 ·····(3)
とこで ω_c : 搬送周波数帯の周波数

 b_c : (搬送周波数帯の成分) $/B_1$

と表せる。電磁加振力は、前項に述べた高調波による電磁加振力の場合と同様に求められ、その周波数は $\omega_0 \pm \omega_c$ となる。

(2) 相のアンバランスによる電磁加振力

空げき磁束が時間高調波を含み、 その高調波が アンバランス の場合に ついての電磁加振力を求める。この時の空げき磁束密度は次のよう に表される。

$$B_0 = B_1[\cos(\omega_0 t + P\theta) + \sum_{m=2}^{N} \{b_m \cos(m\omega_0 t + P\theta) + a_m \cos m\omega_0 t \cdot \cos P\theta\}] \quad \dots$$

$$(4)$$

(1)項と同様にして電磁加振力を求めると、偏心した場合を含む電 磁加振力の主な項である $a_m \varepsilon$ は次のようになる。

$$\begin{split} \frac{F'}{(B_1^2/2\mu_0)} &= a_m \varepsilon \left[\frac{1}{2} \cos\{ (1+m)\omega_0 t + (2P+1)\theta \} \right. \\ &+ \frac{1}{2} \cos\{ (1+m)\omega_0 t + (2P-1)\theta \} \\ &+ \cos\theta \cdot \cos(1+m)\omega_0 t \\ &- \frac{1}{2} \cos\{ (1-m)\omega_0 t + (2P+1)\theta \} \\ &+ \frac{1}{2} \cos\{ (1+m)\omega_0 t + (2P-1)\theta \} \\ &+ \cos\theta \cdot \cos(1-m)\omega_0 t \right] \qquad (5) \end{split}$$

(3) 溝高調波による電磁加振力

回転子と固定子の溝数組合せによって生ずる溝高調波に起因する電 磁加振力のうち、通常問題となるもの(1)は次のとおりである。

$$f_k = \left\{ \frac{N_R}{P} (1 - S) \stackrel{\circ}{=} 2 \right\} f_0$$
 (6)

$$k = N_R - N_S \stackrel{1}{0} 2P$$
(7)

ここで $N_S:$ 固定子濫数

 $N_R:$ 回転子溝数

S: すべり

f_k:電磁加振力の周波数

 f_0 :電源周波数

k:加振力のモード

加振力については文献(1)に詳細に述べられている。

2. 2 振動応答式

回転子の軸方向を z 軸として円柱座標を用いると、電動機のある点 の振動応答Aは次のようになる。

$$A = r_s \int \int_s M(r_i, r) F(\theta) ds \quad \cdots \quad (8)$$

ここで M:機械系の伝達関数

 \mathbf{r}_1 :振動の応答点の座標 $[\mathbf{r}_1 = (\mathbf{r}_1, \ \theta_1, \ \mathbf{z}_1)]$

s:加振力点について積分

電動機の振動系の伝達関数を固有 モードφπ で展開すると次のように なる。

$$M(\mathbf{r}_{1}, \mathbf{r}) = \sum_{n=1}^{N'} \frac{\phi_{n}(\mathbf{r}_{1}) \cdot \phi_{n}(\mathbf{r}) \omega^{2}}{m_{en}(\omega_{n}^{2} - \omega^{2})} \quad \cdots \quad (9)$$

ここで ω_n :固有振動数

 m_{en} : 等価質量

ω:加振力の角振動数

№: 固有 モード の数

式(8)は式(9)より次式のようにかきなおせる。

$$A = r_s \sum_{n=1}^{N'} \phi_n(\mathbf{r}_1) \int \int_s \frac{\phi_n(\mathbf{r}_1) \cdot \phi_n(\mathbf{r}) \omega^2}{m_{em}(\omega_n^2 - \omega^2)} F(\theta) ds \cdots \cdots (10)$$

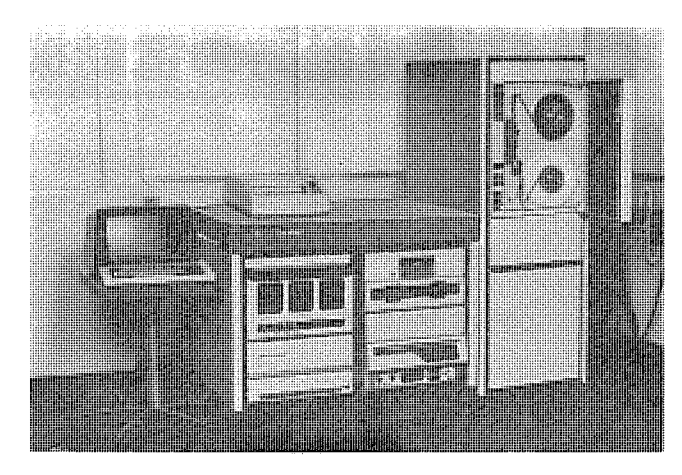
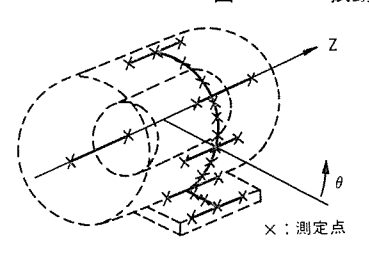
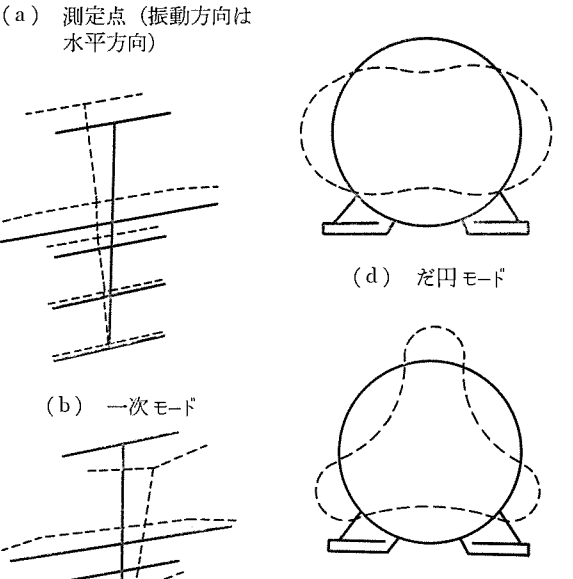


図 1. FFT 振動解析装置





(e) リングの三次 モード

(c) 二次 モード

図 2. 固有モードの測定結果

2. 1 節の結果から電磁加振力は、一般に基本振動数の l 倍の振動数 で表されるから、式(10)は次のようになる。

$$A = r_s \sum_{n=1}^{N} \phi_n(\mathbf{r}_1) \int \int_s \frac{\phi_n(\mathbf{r}_1) \cdot \phi_n(\mathbf{r}) \omega^2}{m_{en}(\omega_n^2 - \omega^2)} h_{l,k}(l\omega_1 t - k\theta) ds \cdots (11)$$
ここで $k:$ 整 数

ht.k: 電磁加振力の振幅

2.3 振動系

式(9)の振動系の定数について、解析的に求める方法もあるが、こ こでは図 1. に示す FFT (Fast Fourier Transform) 振動解析装置を 用いて、インパルス法で伝達関数、固有モードを測定し式(11)に必要な

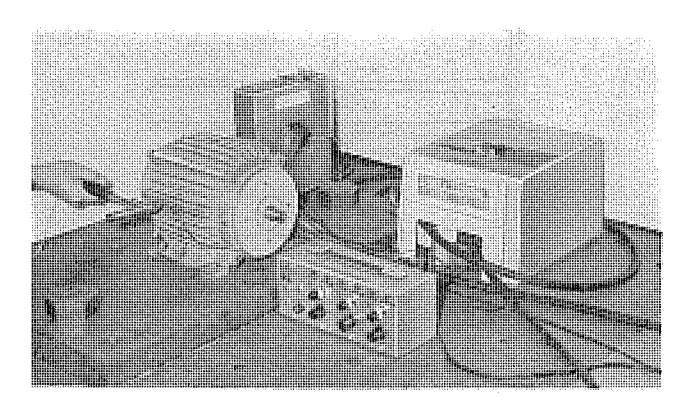


図 3. 試験モデル

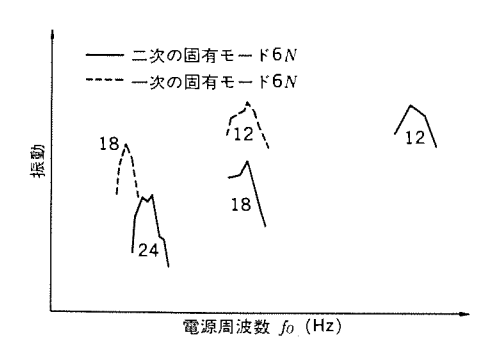


図 4. 電源周波数に対する振動 (2極, 偏心量大)

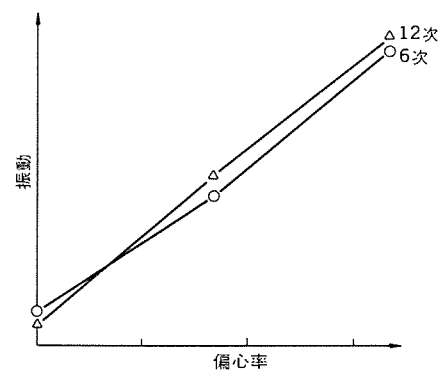


図 5. 偏心率に対する振動

振動系の定数を得る。固有 $\mathfrak{t}=\mathfrak{l}$ の例を図 2. に示す。図 2. (b), (c) の固有 $\mathfrak{t}=\mathfrak{l}$ 図は図 2. (a) の点,図 2. (d), (e) の固有 $\mathfrak{t}=\mathfrak{l}$ 図は,フレーム の円周上の点に関するものである。図 2. (d) は リング のだ円形,図 2. (e)は リング の三次の固有 $\mathfrak{t}=\mathfrak{l}$ である。

2.4 振動騒音の分析結果

2. 1 節で求めた電磁加振力に対して、式(11)の応答式を用いると、 2. 3 節に示した各固有 モードに対する共振時の応答の大きさが求まる。更に、電動機を インバータ で無負荷運転した場合の振動応答を測定して解析結果と比較検討する。 測定に用いた試験 モデル の例を図3. に示す。

2.4.1 時間高調波による影響

(1) ひずみ波電源に含まれるN次高調波

電源周波数に対する振動の各次数成分の代表例を図 4. に示す。電源周波数の6N次成分が一,二次の共振振動数に一致して振動が大きくなっており,解析結果と一致している。磁束密度 b_m は,高次になると減少するため,これに対応して振動も減少している。次に偏心率に対する振動について述べる。

ひずみ波で電動機を駆動した場合,式(2)より6N次成分の振動

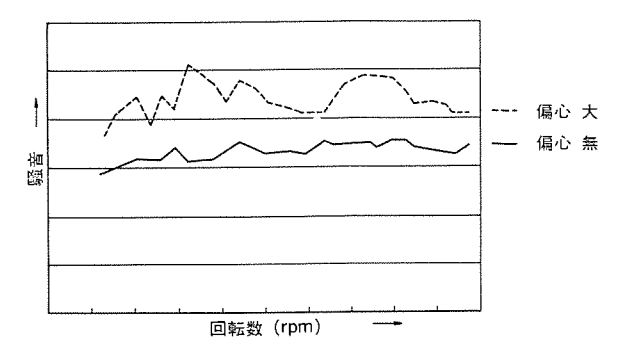


図 6. 回転数に対する騒音

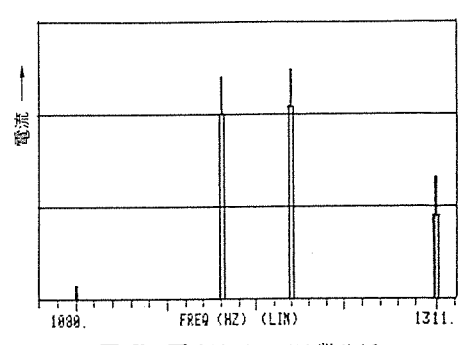
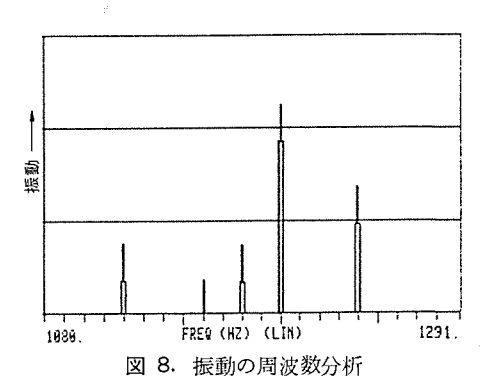


図 7. 電流波形の周波数分析



は,偏心率に比例することがわかる。一方,実機について偏心率を変えて, 振動を測定すると図 5. に示すように振動は偏心率にほぼ 比例していることが確認された。また,回転数を低速から連続的に上昇させた場合の騒音の測定結果を図 6. に示す。 この図より,回 転子と固定子の偏心量をなくすと, 全回転数において騒音を 10 dB (A) 以上低減でき,その最大値は 20 dB(A) にも達し,この方法が 非常に有効であることが明らかになった。

(2) 搬送周波数

電動機を 20 Hz の電源周波数で運転した場合の電流波形の周波数分析結果を図 7. に示す。 この図より、撤送周波数帯域の磁束波形の主成分は、1,200±20、1,200±100 Hz であることがわかる。したがって、2.1 節(1)(b)より主な電磁加振力は、1,200、1,200±40、1,200±80 Hz となる。一方、振動の実験結果によると図 8. に示すように、電磁加振力に対応する周波数成分が顕著であり解析結果と一致している。

2.4.2 相のアンバランス

高調波の相の アンバランス による加振力成分の大きさは、 式(5)より $a_m \epsilon$ の $1-g_m \epsilon$ である。 商用電源における相電圧の アンバランス は問題 となることもあるが、一般には小さい。また、 インバータ 出力電圧の アンバランス 成分 a_m は非常に小さい。したがって、ひずみ波電源で電動機を運転した場合、ひずみ波の高調波による電磁加振力より、高

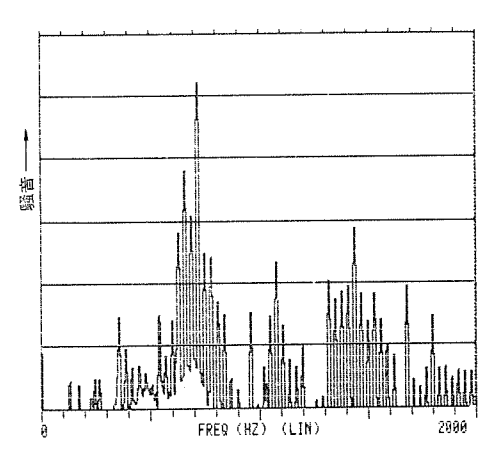


図 9. 騒音の周波数分析

調波の相の アンバランス による加振力 の 方が小さくほとんど無視できる。

2. 4. 3 溝高調波

溝高調波による電磁加振力の周波数は、数kWの電動機においては 1,000~2,000 Hz となることが多い。従来、正弦波電源による運転に対して、十分に振動騒音が小さくなるように設計されてきたために、図 9. に示す騒音のレベルにおいても、2. 4. 1 節の基本波の高調波による成分より 25 dB(A) 程度低い。しかし、溝高調波の加振力の周波数近傍には、フレームがだ円形などに変形する リング形の固有 モードが存在するために、これらについても十分に検討を行うことによって低振動化を図っている。

3. 熱 特 性

3.1 発生熱損失の種類(3)

電圧形インバータにより駆動される電動機の等価回路は、図 10. のように基本波成分に対するものと、 k 次時間高調波成分に対するものにより表される。 インバータ 駆動電動機の電流, 効率, 力率などの各種特性は、この等価回路を使用することにより計算できる。

ここでは、 インバータ 駆動電動機の発生熱損失の種類を列記する。

(1) 固定子銅損:高調波電流による導体の表皮効果を考慮した抵抗損失である。

$$W_{1e} = 3\{r_1 \cdot I_1^2 + \sum_{i} (r_{1k} \cdot I_{1k}^2)\}$$
(12)

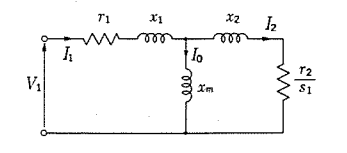
(2) 固定子端損失:固定子積層部分に入ってくる漏れ磁束によって生じる渦電流損である。

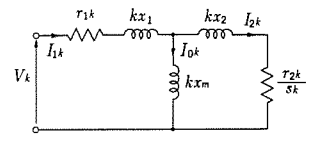
$$W_{1e} = 3c_1\{I_0^2 \cdot f_0 + \sum_k (I_{0k}^2 \cdot k \cdot f_0)\}$$
 ··············(13)
ことで $c_1 =$ 機械定数

(3) 回転子銅損:固定子銅損と同様の抵抗損失である。

$$W_{c_2} = 3\{r_2 \cdot I_2^2 + \sum_{k} (r_{2k} \cdot I_{2k}^2)\}$$
(14)

(4) 回転子 ジクザク 損失:回転子歯部の脈動磁束により,回転子導





(a) 基本波成分に対する 第価回数

(b) k次時間高調波成分 に対する等価回路

図 10. 誘導電動機の1相の等価回路

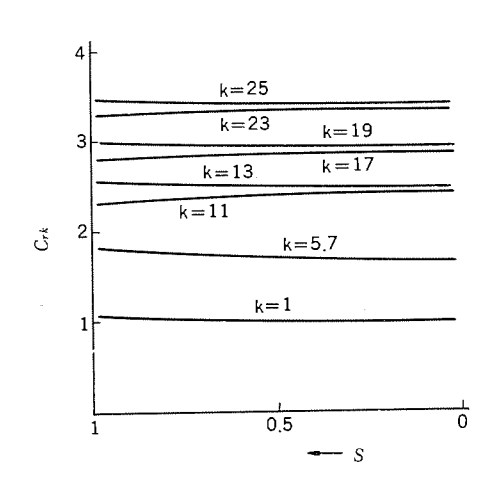


図 11. 二次抵抗增加係数

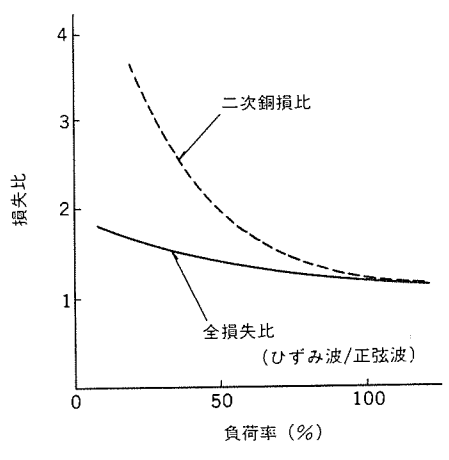


図 12. ひずみ波電源運転時の正弦波に対する電動機の損失比

体に誘導される抵抗損失である。

$$W_{zz} = 3\{c_0 \cdot r_2 \cdot I_0^2 + c_m (r_2 \cdot I_1^2 + \sum_k r_{2k} \cdot I_{1k}^2)\}$$
(15) ことで c_0 , $c_m = 機械定数$

(5) 鉄損: ヒステリシス 損と渦電流損に分かれ、前者はほぼ磁束密度の二乗と周波数に比例し、後者は電流実効値の二乗に比例する。一般に高調波成分の磁束密度は、次のようになる。

$$B_k = B_1 / k^2 \qquad (16)$$

ここで B_1 は基本波の磁束密度を表す。

3.2 回転子銅損についての検討

前項に述べた各種損失の中で,一例として高調波による表皮効果の 影響が大きい回転子銅損について述べる。第 k 次高調波に対するか ご形回転子導体抵抗 r_{2k} は,表皮効果を考慮して次式で表される。

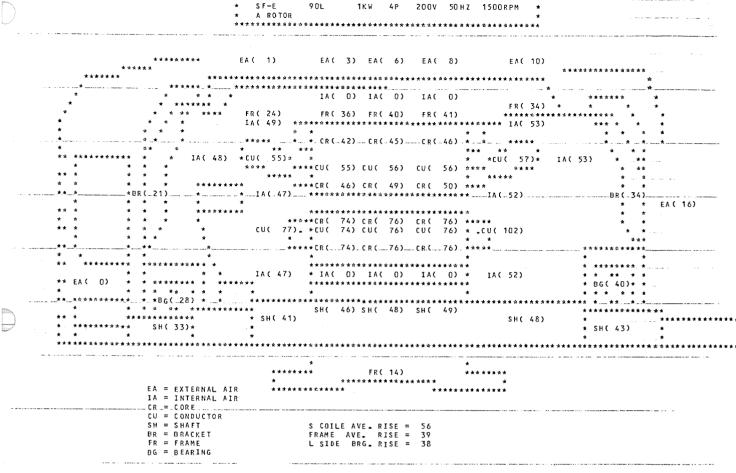
$$r_{2k} = c_{rk} \cdot r_{2\cdot bar} + r_{2\cdot end} \cdot \cdots \cdot (17)$$

ことで c_{rk} は二次抵抗増加係数, r_{2-nar} は導体のn-n の部分の基本波分に対する抵抗値, r_{2-end} は表皮効果の影響をうけにくい エンドリング部分の抵抗値を示す。

例えば、三相誘導電動機 2.2 kW 4P をあるひずみ波電源で駆動した場合における二次抵抗増加係数を計算すると図 11. のようになる。ひずみ波電圧と正弦波電圧印加時における二次銅損、及び全損失についてそれぞれの比を求めた結果を図 12. に示す。

3.3 通風熱解析

インバータ 駆動電動機の発生熱損失は、 正弦波電源駆動の場合より増 大傾向にあるので、電動機の通風熱解析はより重要となってくる。 当社では、従来より多くの基礎実験を基にして、熱回路網法による



*** TEMPERATURE RISE DISTRIBUTION IN THE STEADY STATE ***

図 13. 通 風 熱 解 析 例

熱解析(4)と,管路網法による通風解析を統合した通風熱解析 プログラム を開発し,実験,解析の両面から検討を行い インバータ 駆動電動機の通風冷却技術の向上に努めている。図 13. にその プログラム の出力フォーマット 例を示す。 高調波損失を含んだ各部の発生熱損失, 寸法諸元,冷却条件などを入力して,各部の温度上昇値を求めたものである。

4. む す び

電動機を インバータ のひずみ波電圧・電流で運転した場合の振動,騒音の発生起因,その解析法と実験結果について述べた。また,損失の解析を行い,更に通風熱解析について説明した。

これらの研究成果は,駆動される電動機の低振動,低騒音,高効率化を志向したインバータの開発に有効に活用されている。その結果,当社独自の製品(5)と相まって市場のニーズにマッチした可変速装置となり現在使用されている。今後,一層インバータ駆動可変速システム装置の利用は,増大の一途をたどることは前述した特長が示すとおりである。しかしながら,まだ正弦波電源で駆動した場合の電動機の機械的諸特性に比べ十分とは言えない。インバータの性能改善,新しい制御方式の開発,新しい素子の開発などが相乗して市場のニーズ

に合った インバータ に改良されるであろう。また電動機 サイド からも, 更に研究を進める必要がある。

この数年の間に、可変速製品は省ェネルギーを目的とするのみならず、速応性、広域変速性、位置決め性、低速安定性などの必要分野への用途拡大、需要増大することは確実である。このためにも、今後のインバータの開発の中で、電動機の機械的諸特性の研究検討を続けて行く所存である。

参考文献

- (1) 衛藤ほか:誘導電動機の電磁騒音の解析,三菱電機技報,48, No. 10 (昭 49)
- (2) 小泉ほか:誘導電動機の電磁騒音低減法,三菱電機技報,51, No. 8 (昭52)
- (3) P. L. ALGER: INDUCTION MACHINES (SECOND EDITION)
- (4) 三富ほか:全閉外扇形誘導電動機の通風冷却解析,三菱電機 技報,48,No. 10 (昭 49)
- (5) 山崎ほか:新形はん用 トランジスタインバータ, 三菱電機技報, 55, No. 9 (昭 56)

《MELCOM-COSMO 900II》の 高速ベクトル演算処理システム

益 田 嘉 直*・森 伯 郎*・藤 掛 遵*・佐々木良男*

1. まえがき

当社の汎用電子計算機《MELCOM-COSMO 900 II》は、パイプライン 制御方式や高速 バッファメモリ などの論理方式上の工夫と、それを支える最新の テクノロジー を結集して開発した《MELCOM-COSMO シリーズ》の最上位機種である。

科学技術の急速な発展に伴い、最近は大規模な科学技術計算における高速ベクトル演算処理の要求が一段と高まってきている。当社は《MELCOM-COSMO 900 II》に付加機構として増設でき、完全プログラム 互換 を 有 する内蔵 アレー 処理装置(Integrated Array Processor: IAP)を開発し、併せて自動ベクトル化 FORTRAN コンパイラを作成した。これらにより、ベクトル計算や行列計算を従来のプログラムを変更することなく高速処理することができ、性能価格比を大幅に向上させた。

本稿では、《MELCOM-COSMO 900 II》 の高速 ベクトル 演算処理 システム の概要、特長、内蔵 アレー 処理装置の構造、 及び コンパイラ の 方式、利用効果について紹介する。

図 1. に《MELCOM-COSMO 900 II》 本体装置の外観を示す。

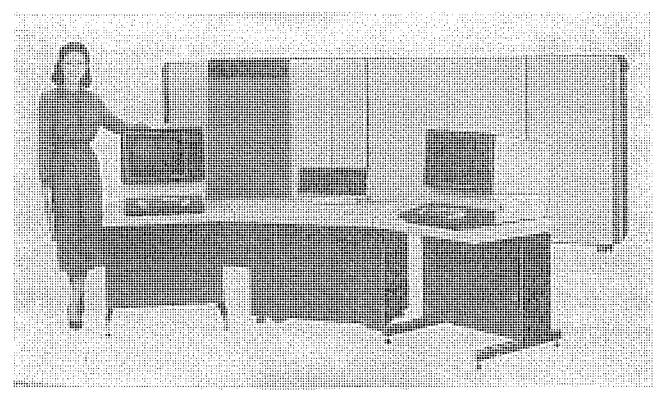


図 1. 《MELCOM-COSMO 900 II》 本体装置の外観

2. システムの概要

2.1 システムの特長

《MELCOM-COSMO 900 II 》 の高速 ベクトル 演算処理 システム は,本体内蔵形の p_{U-} 処理装置で構成しており, 次のような特長を有している。

(1) 厳選された ベクトル 命令による高速化

28 種類のベクトル 処理機能を厳選し、 これらをベクトル 命令として実現している。四則演算を行う基本命令のほかに、内積計算や累積加算を行う複合命令も準備している。

(2) マイクロプログラム による パイプライン 制御

パイプライン の乱れや キャッシュメモリ の競合を吸収し、 ベクトル 要素(オペランド)の アドレス 計算、読出しと演算実行を オーバラップ させて並列処理する マイクロプログラム を備えている。

(3) 高級言語 (FORTRAN) での y-ス 互換性

従来の外付ァレー処理装置のように、副プログラム呼出し(CALL文)を用いる必要はなく、コンパイルオプションを指定するだけで、対象となる DO ループ を自動的に ベクトル 命令に変換できる。

(4) その他

《MELCOM-COSMO อリーズ》の下位機種700Ⅲ, 800Ⅲ の内蔵 アレー 処理装置との互換性や仮想記憶への配慮はもちろんのこと、マルチプログラミング処理についてもベクトル演算命令を256 要素ごとに分割処理し、割込み可能としている。実装上は、単に基板差し換えだけで在来機に設置でき、フィールドアップグレーダビリティも非常によくなっている。

表 1. に《MELCOM-COSMO 900 II》本体部⁽¹⁾の基本仕様を示

2.2 ベクトル演算命令

表 2. に ベクトル 演算命令一覧を示す。《MELCOM-COSMO シリーズ》 の ベクトル 演算命令は 26 種類の浮動小数点 ベクトル 演算命令と,これ

表 1. 《MELCOM-COSMO 900 II》 本体部基本仕様

分 類	項 目	内 容
	記 憶 素 子	N-MOS LSI (64 K ビット/石)
	記 憶 容 量	4~16 M バイト
	地 設 単 位	4 M バイト
	インタリーブ	8-way インタリーブ
主記憶装置	アクセスタイム	560 ns/8バイト
	説 出 し 幅	8バイト+1チェックバイト
	最大転送レート	114 MB/s (メガバイト/秒)
	停 電 保 黢	バッテリ標準装備
	アクセスタイム	70 ns/8パイト
高速バッ	機成	16ロー×32カラム×64バイト (ブロック)
ファメモリ	記 憶 容 量	32 K バイト/64 K バイト
	命令アドレスレジスタ	2 組
	命令パッファ	16バイト× 2組
	オベランドアドレスレジスタ	4 組
	オペランドバッファ	8 バイト× 4 組
	命令牛ュー	4 組
	アドレス変換バッファ	128 エントリ×2 組
基本処理装	アドレス空間スタック	29 組
T	命 令 数	213+IAP 命令
	命 令 長	4バイト
	アドレス方式	直接, 間接, インデックス, ベースレジス タ, 直接オペランド
	アドレス変換	マップアドレス変換, テープルアドレス変 換 (1 レベル, 2 レベル)
	データ形式	2進,10進,浮動小数点(単精度,倍精度, 4倍精度)
	割込レベル	最大 48 レベル
	入出力総合転送能力	19 MB/s
入出力処理	汎用入出力処理装置	2.2~3.0 MB/s(最大 12 台)
装置	多重入出力処理装置	70~90 KB/s (最大 4 台)

表 2. ベクトル 演算命令一覧

命令名称	単 精	度	倍精	度	動作
ता च व्याप	ニーモ ニック	サブOP コード	ニーモ ニック	サブOP コード	397 11-
ベクトル転送	VMVS	00 B I	VMVL	40B1	Zi←Xi
ベクトル 転送 コンプリメント	VMVCS	00 B 0	VMVCL	40 B 0	Zi←-Xi
ベクトル加算	VAS	0001	VAL	4001	Zi←Xi+Yi
ベクトル演算	vss	0000	VSL	4000	Zi←Xi-Yi
ベクトル乗算	VMS	0003	VML	4003	Zi←Xi*Yi
ベクトル除算	VDS	0002	VDL	4002	Zi←Xi/Yi
ベクトル内積	VIPS	0045	VIPL	4045	Z←Z+ΣXi*Yi
ベクトル 内積 コンプリメント	VIPCS	0044	VIPCL	4044	Z←Z−ΣXi*Yi
ベクトル和	VSMS	00 F 3	VSML	40 F 3	Z←Z+∑Xi
ベ ク ト ル 和 コンプリメント	VSMCS	00 F 2	VSMCL	40 F 2	Z←Z−ΣXi
ベ ク ト ル イタレーション	VITRS	0018	VITRL	4018	Zi+1←Xi+Yi*Zi
ベクトル乗算後加算	VMAS	0017	VMAL	4017	Zi←Zi+Xi*Yi
ベクトル乗算後減算	VMSS	0016	VMSL	4016	Zi←Zi−Xi*Yi
精 度 変 換 (単精度→倍精度)	vcvs	00 A 0			Zi←Xi
精 度 変 換 (倍精度→単精度)			VCVL	40 A 0	Zi←Xi

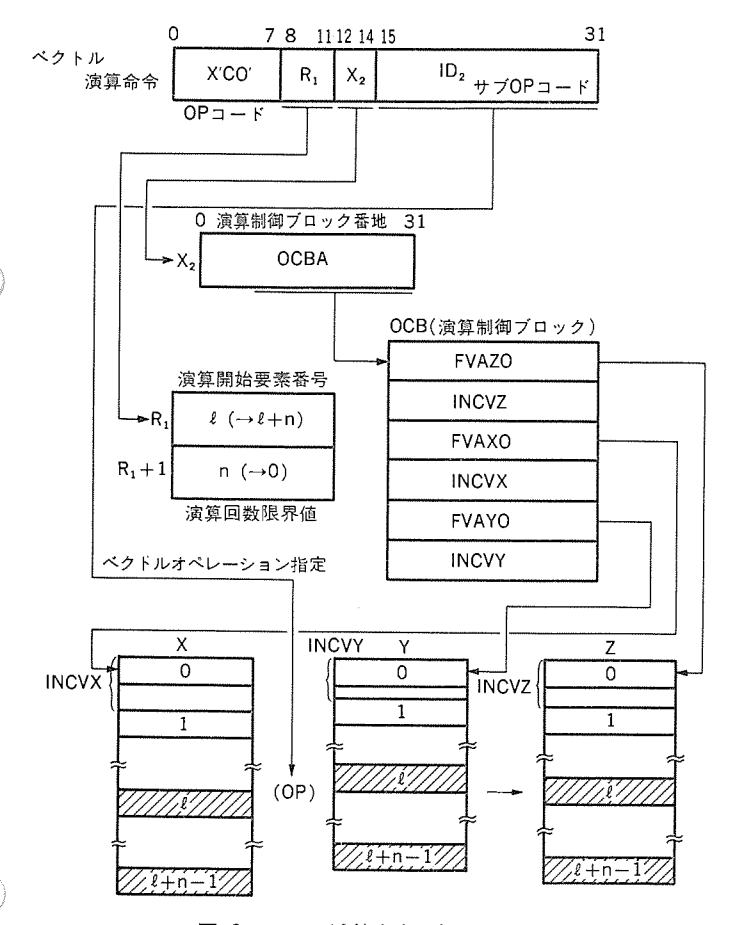


図 2. ベクトル 演算命令の処理形式

に精度変換2命令を加えた合計28命令である。

図 2. に ベクトル 演算命令の処理形式 を 示す。 図中,FVAXO,FVAYO,FVAZO は,それぞれ X,Y,Z ベクトル 要素の先頭 τ ドレス であり, また INCVX,INCVY,INCVZ はそれぞれ X,Y,Z ベクトル 要素のインクリメント 値である。 ベクトル 演算命令 中の R_1 フィールド で指定される汎用 レジスタ には,ベクトル 要素中何番目 の要素から演算を開始し(演算開始要素番号),要素数いくつまで演算を続けるか(演算回数限界値)が保持されている。また, X_2 フィールド で指定される汎用 レジスタ には,X,Y,Z 各々のベクトル 要素の先頭 τ ドレスと インクリメント 値(要素間距離)を保持する演算制御 ブロック(OCB)の τ ドレス が入っている。

ベクトル 演算は,通常 R_1 , X_2 で指定した汎用 νi スタ の値による ベクトル 要素 X,Y,Z 間で行い, ID_2 で示す サブオペレーションコード で指定した ベクトル 演算を実行する。結果は要素 Z に格納する。 この演算は汎用 νi スタ R_1 +1 に保持されている演算回数限界値 だけ実行し,ベクトル 演算が正常に終了した場合には, 汎用 νi スタ R_1 には演算回数の値を加算し, 汎用 νi スタ R_1 +1 の内容は ぜっとなる。 更に, 演算制御 ブロック の インクリメント 値を ぜっ にすることにより, オペランドの一部を スカラ として処理させることも可能である。

ベクトル 演算命令の実行中に発生した割込みは,演算の途中で受付けるととができる。 割込みを受付けると汎用 υ 328 \mathbf{R}_1 には演算を再開始すべき ベクトル 要素の番号が保持され, その ベクトル 演算命令の実行は中断する。割込み処理の後に再度この υ 0 υ 56 に戻った時には,引き続きこの υ 0 υ 1 υ 1

3. 論理構造と実装技術

3.1 方式設計

《MELCOM-COSMO 900 II》 基本処理装置は、命令の読出し、命令の解読、アドレス計算、オペランドの読出しなどを行う命令前処理部(IPU)の処理と、命令実行部(EXU)の処理を適宜 オーバラップさせて複数個の命令を並列に処理することを特長とするパイプライン制御方式(機械語レベル)によって高速処理を実現している。しかしながら、ベクトル 演算命令をマイクロプログラム で実現する場合、一般にベクトル 演算命令の処理はベクトル 要素数に比例して実行時間が長くなり、かつほとんど命令実行部に処理が依存するため、機械語レベルでのパイプライン制御は十分な効果を発揮できない。

そこで、ベクトル 演算で必要とする オペランド(ベクトル 要素)の アドレス 計算並びに読出しと、演算実行を並列処理できる、 いわゆる マイクロプログラム レベル での パイプライン 制御を実現し、 内蔵 アレー 処理装置を開発した。

更に,内蔵 $_{7U^-}$ 処理装置を《MELCOM-COSMO 900 II》 基本 処理装置に付加機構として内蔵する必要上,特に以下の点に十分な 配慮と工夫を行った。

- (1) 互換性の実現
- (2) 論理構造の面での整合性
- (3) 実装技術上の結合性

図 3. にとの内蔵 $_{7\nu-}$ 処理装置 (IAP) を組込んだ《MELCOM-COSMO 900 $_{11}$ 》 の構成を示す。専用 $_{N-}$ ドウェアロジック のほかに,約 $_{10}$ K $_{N}$ $_{11}$ トの $_{12}$ $_{12}$ $_{13}$ $_{14}$ $_{15}$

3.2 論理構造

通常,汎用処理装置における標準命令では2個以下の オペランド 指定

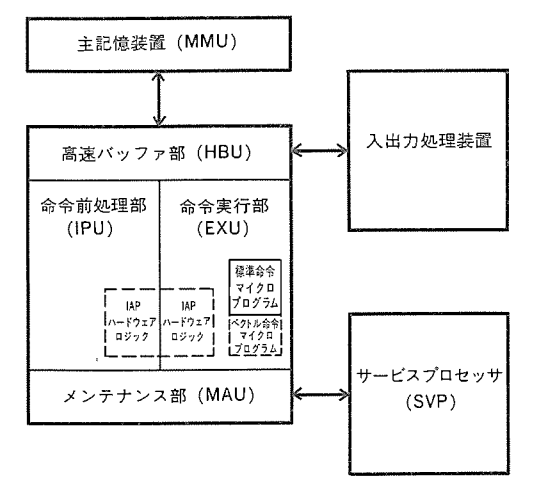


図 3. 内蔵 $_{7 \nu -}$ 処理装置 (IAP) を組込んだ《MELCOM-COSMO 900 $_{1}$ の構成図

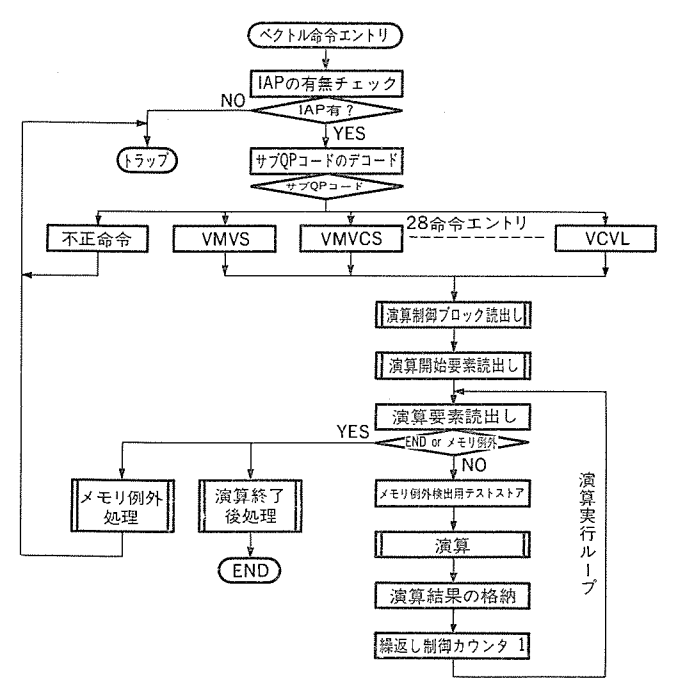


図 4. ベクトル 演算命令の概略処理 フロー

しか必要としないので、オペランドの番地を保持するオペランドアドレスレジスタと、オペランドの内容を保持するオペランドデータレジスタがそれぞれ2個あれば十分であった。しかしながら、ベクトル演算命令のように3個以上のオペランド指定が連続して必要な場合には、各々のオペランドに対する要求が起こるごとにオペランドアドレスレジスタの内容を入れ替えなければならない。また、ベクトル演算を行うためにはベクトル要素間の演算のほかに、ベクトル要素を読出すためのインデックスの加減算と、演算の繰返し回数を調べるための処理が必要である。これらの処理を標準の基本処理装置で行うためには、一つのベクトル要素間の演算を行うごとに命令実行部の演算回路を使用して処理をシーケンシャルに行わなくてはならず、ベクトル演算命令の処理の高速化は困難であった。

この内蔵 $_{7\nu}$ - 処理装置は、《MELCOM-COSMO 900 $_{10}$ の標準基本処理装置に以下の回路, 及び $_{700}$ でのかった。を付加することにより、ベクトル 演算命令に必要な $_{700}$ 計算, ベクトル 要素の読出し、繰返し制御を ベクトル 要素の演算と並列に実行できるように構成し、高速処理を実現した。

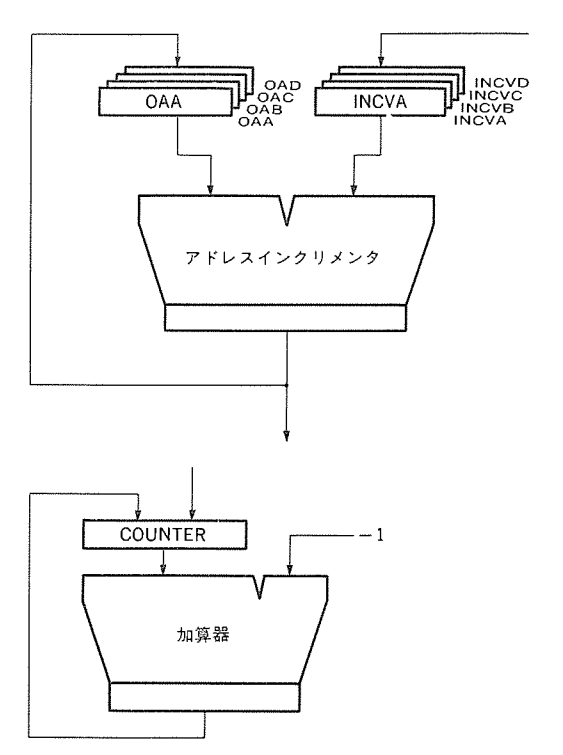


図 5. オペランドアドレス 計算制御方式と繰返し制御 カウンタ

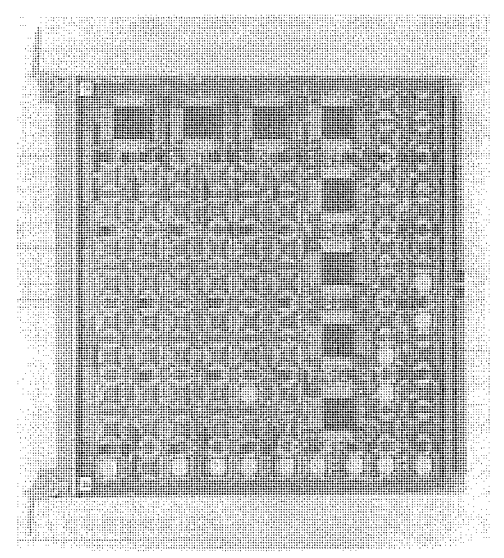


図 6. 論理素子を実装した プリント 基板

- (1) オペランド 指定に必要な数だけのオペランド アドレス レジスタ (OAA ~OAD) の拡張と、各 オペランド の インクリメント 値を保持する レジスタ (INCVA~INCVD) の新設。
- (2) オペランドの読出し要求の種類拡張と、オペランドの読出しを効率よく実行するための制御回路の追加。
- (3) オペランドの読出しの終了条件を検出するための繰返し制御カウンタの新設。

図 5. に オペランド アドレス 計算制御方式と繰返し制御 カウンタ の構成を示す。

とのほかにも,次のような改良,工夫を施すことにより高速化を 図った。

- (1) 単精度命令用 オペランド データ アラインメント 処理の追加。
- (2) 高速 バッファ 部 (HBU) の テーブル 変換 バッファ の制御方式の改良。

(3) 例外処理,トラップ処理のための各種制御回路の充実。

3. 3 実装技術

《MELCOM-COSMO 900 II》 システムでは、各種の内蔵ァレー処理装置用 ハードウェア ロジック を盛り込んだ十数種の基板を、 標準の基本処理装置の対応する基板と差し換えるだけで高速ベクトル演算処理を実現する、いわゆる フィールド アップグレーダビリティ を実現した。 したがって、この内蔵ァレー処理装置は 基本処理装置に物理的にも内蔵されるので、実装技術は基本処理装置と全く同じである。

論理素子としては ECL-100 K ファミリー (0.75 ns/ゲート) の小規模 集積回路(SSI), 中規模集積回路(MSI), 及び ECL-LSI (250~300 ファンクション/石) を使用し高速化を図っている。図 6. に論理素子を 実装した プリント 基板の例を示す。

4. ソフトウェアの方式

4.1 コンパイラ

《MELCOM-COSMO 900 II》では、UTS/VS システム の拡張 FORTRAN コンパイラ で、 IAP の ベクトル 演算命令 を 配列処理に効果的に 適用している。

FORTRAN の プログラム で ベクトル 計算や行列計算を行う場合は、図 7. に示すように FORTRAN の DO ループ で表現するが、 拡張 FORTRAN コンパイラ では VEC という コンパイルオプションを指定するだけで、 標準の言語仕様で記述された DO ループ を解析し、 ベクトル 演算命令を使用する オブジェクトプログラム を生成することができる。

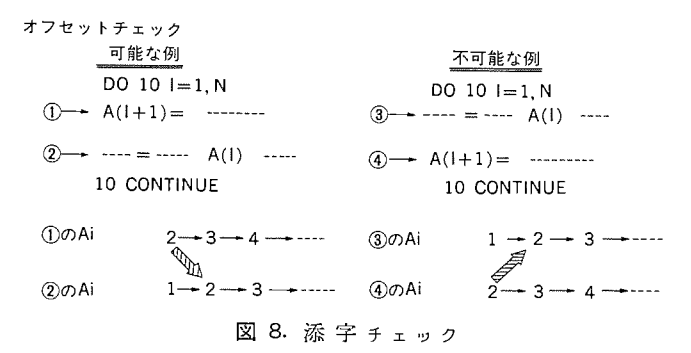
4.2 オブジェクトシーケンス

通常の $DO_{\nu-1}$ をそのまま 32ν パイル した 475 12ν 12ν

拡張FORTRANとIAP

◎IAP化の指定……VECオプション (原始プログラム) (目的プログラム) VEC指定あり 通常 DOの DO 10 I=1, N 初期化 初期化 1要案 全要案 S = S + X(1) * Y(1)IAP の計算 の計算 繰返しの 制御変数 10 CONTINUE の最終値

図 7. ベクトル 演算の ソース 表現と オブジェクトシーケンス



また、各 ベクトル 命令は パイプライン 制御により配列要素の読出しと演算を並列処理するので、処理時間を大幅に短縮することができる。

4.3 DO ループの条件

コンパイラ は DO ループ に対して、次のような条件を調べて ベクトル 演算命令の適用可否を決定する。 ベクトル 演算命令が適用されなかった ループ は、通常の処理 シーケンス になる。

- (1) μ -プ内の文は、算術代入文と CONTINUE 文であり、 形は 添字式を除き実数形又は倍精度実数形であること。
- (2) DO の制御変数及び パラメータ は、整数形である こと。
- (3) EQUIVALENCE 文で宣言された変数,配列は参照だけで定義されていないこと。
- (4) 配列の定義と参照がベクトル 演算命令の適用によって、演算順序を変更しても結果が変わらない関係にあること。

4.4 定義と参照関係の問題

ベクトル 演算命令を適用すると、対象となった DO ループを文ごとのループに分割して処理するのと同様になる。 したがって、 繰返し実行する一つの DO ループの実行結果と文ごとの DO ループ処理の結果とが一致しない場合は、 この DO ループは論理的に ベクトル 命令の適用が不可能となる。例えば、図 8. の左側の例では、 ①のA(2)が定義された後で、②のA(2)で参照しているので、ベクトル 演算命令を適用しても同じ結果になる。ところが、右側の例のように定義と参照の関係が逆転していると、 ③と④を別々のループ に分割して処理した結果は、 一つのループ の時と異なった結果を得るので、このループは ベクトル 演算命令が適用できない。 配列要素間だけでなく、単純変数の場合も同様の問題があり、コンパイラは専用のフェーズでベクトル 化可能条件を チェック している。

4.5 複合ベクトル演算命令の適用

ベクトル 演算命令には加減乗除などの基本命令のほかに、内積計算や イタレーション を行う複合 ベクトル 演算命令がある。図 9. は内積計算を 含む FORTRAN の DO ループを示したもので、 コンパイラは、次のよ うな条件を判定して内積命令を適用している。

- (1) 左辺の変数と等しい変数が右辺に1回だけ現われていること。
- (2) 左辺の変数は DO ループ の他の箇所には現れないこと。
- (3) 代入文の右辺は、 $S+E_1*E_2$ (又は E_1*E_2+S) の形であること。ただし、S は左辺と同じ変数、 E_1 、 E_2 は算術式とする。

他の複合 ベクトル 演算命令についても、 データ の参照関係、代入文 の形を チェック し、適用可能な命令を決定している。内積命令は応用 例にも示すように、線形計算に用いると特に効果がある。

S=S+X(1)*Y(1)

10 CONTINUE

図 9. 内積計算の例

5. 性能評価

5.1 ベクトル演算命令の基本性能

内蔵 ァレー 処理装置の性能評価の方法には、 大別して次の二つの方法がある。

- (1) 基本的なベクトル演算命令の性能を個々に調査し評価する方法。
- (2) 評価用の典型的なプログラム群により、総合的な処理性能を評

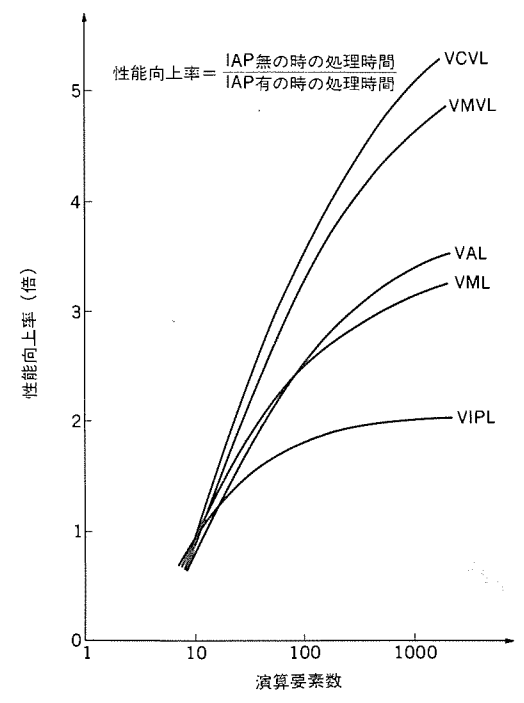


図 10. ベクトル 演算命令の性能向上率

表 3. 応用 プログラム での性能評価

応用プログラム		倍 率 (IAI	'無/IAP 有)	
10)	11 7 9 9) A	単 精 度	倍 精 度
マト	リクス	の積	3,23	3.02
	スザイデ	ル法	2.83	2.55
遊	行	列	3.69	2.13

備考 $n \times n$ の行列を用い n=350 の時の例

価する方法。

ここでは、前者の方法による評価について述べる。測定は オヘレー

ティングシステム UTS/VS H00 版のもとで、拡張 FORTRAN コンパイラ において行い、性能評価用 FORTRAN プログラム の実行により、ベクトル 演算命令 28 種の各々についての評価を試みた。ベクトルオプション の選択により、スカラ 処理(IAP 無)と、ベクトル 処理(IAP 有)の各々の処理時間を測定比較することで内蔵 アレー 処理装置の 性能向上率を調べた。測定に当たっては、3回同じ プログラム を実行し、その平均値を 算出することで計算機環境の違いによる内蔵 アレー処理装置への影響を減らすようにした。

図 10. に χ_{OFIU} 演算命令の性能向上率を示す。 約 1,000 要素の 処理で性能向上率 $2\sim 5$ 倍を達成した。

5.2 応用プログラムによる性能評価

表 3. は、応用 プログラム を用いて ベクトル 演算命令の効果を測定したものである。いずれも、数値計算でよく使用される手法である。 これら以外にも、 データ 処理における コンボリューション や パワー 法による行列の最大固有値を求める場合などでも同様に効果があった。測定方法は、前節と同じ方法を用いている。

6. む す び

以上述べたように、《MELCOM-COSMO 900 II》 の高速 ベクトル 演算処理 システム では、かつて スーパコンピュータ のみに適用されていた高速ベクトル 演算処理技術を、使いやすい形で利用者に提供することができ、性能価格比を大幅に向上させることに成功した。

今後は、性能の向上、操作性の向上などこの システム の改良に努力するとともに、 FORTRAN 8X など アレー 処理用言語機能の動向にも着目し、新しい形での利用技術の積極的な取込みを行う予定である。

最後にこの システム の開発にあたり、御指導、御協力をいただいた 関係者各位に深く謝意を表する次第である。

参考文献

(1) 田渕ほか:《MELCOM-COSMO 900 II》の本体装置、 三菱 電機技報、54, No. 9 (昭 55)

《MELCOM 80》ビジネスグラフシステム

富沢研三*・太田将夫*・高橋真理*・川上孝仁*

1. まえがき

オフィスコンピュータ は、 これまで オフィスオートメーション の中心的な担い手として、 事務計算中心の データ 処理から日本語処理、文書処理へとその レパートリー を拡大してきた。 そして最近では、視覚に訴える資料すなわち グラフ 化された資料を提供することが要求されている。

コンピュータを使ったビジネスグラフ処理の活用は、①手書きで処理されていたグラフ作成業務の省力化が図れる、②従来、数表として出力されていた経営資料をグラフ化することにより管理者の意志決定を容易にする、③カラーグラフィックディスプレイ装置を使用し、会議運営や資料の説明を効果的に行う、などオフィスオートメーションを推進する上での様々な効果が期待されている。

《MELCOM 80》 ビジネスグラフシステム は,そうした期待にこたえたもので,簡単に美しい グラフ を作成することができる システム である (図 1.)。

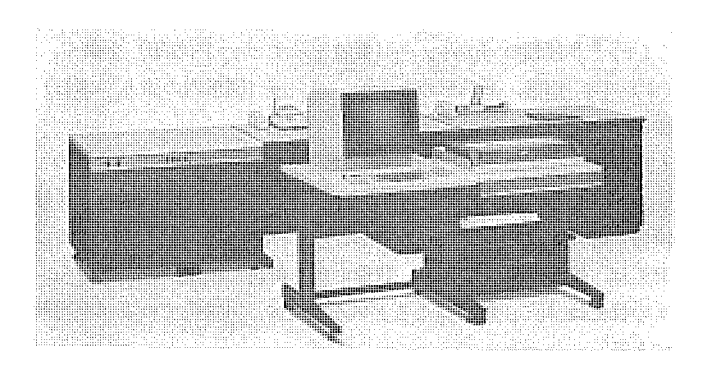


図 1. オフィスコンピュータ 《MELCOM 80 OFFICE LAND》

2. システムの概要と特長

2.1 システムの概要

《MELCOM 80》 ビジネスグラフシステム は、従来よりの データ 処理, 日本語処理,文書処理を行っている オフィスコンピュータ 上で グラフ 処理を同時に行うことができるように 設計 された システム である。 コンピュータ による グラフ 処理の利点は、グラフ 作成用の専用機とは違い、ファイルとして ディスク などに蓄積された データをコンピュータ を使って加工・分析し グラフ 化することができる点にある。このため最新の経営・管理情報を素早く グラフ にして提供することが可能である。また《MELCOM 80》 ビジネスグラフシステム は、グラフ を作成し活用しようとする利用者の立場にたった"使いやすさ"を追求し開発した システム である。

2.2 システムの特長

《MELCOM 80》 ビジネスグラフシステム の特長について次に述べる。

- (1) 日本語処理 ワークステーション に グラフィック 機能を持たせており, 日本語 データ 処理と ビジネスグラフ 処理を 1 台の ワークステーション 上 で行 うことができる。
- (2) 高分解能 ティスプレイ 装置 (1,120×700 ドット) により高品質な文字と クラフ を表示する (図 2., 図 3.)。 文字は 24×24 ドット の美しい明朝体である。
- (3) ディスプレイ 装置はベクトル・円弧発生機構を内蔵 しており高速 な図形表示を行う。
- (4) グラフの ハードコピー を連続帳票や カット紙(単票) にとることができる。 カット 紙への ハードコピー は業界で初めての機能である。
- (5) 対話形式で簡単に グラフ が描ける ユーティリティ を用意している。
- (6) 利用者 プログラム から呼び出され ビジネスグラフ を作成する グラフラ

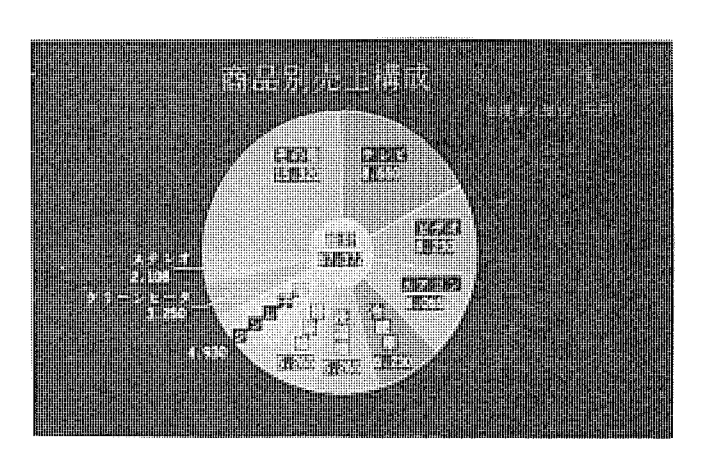
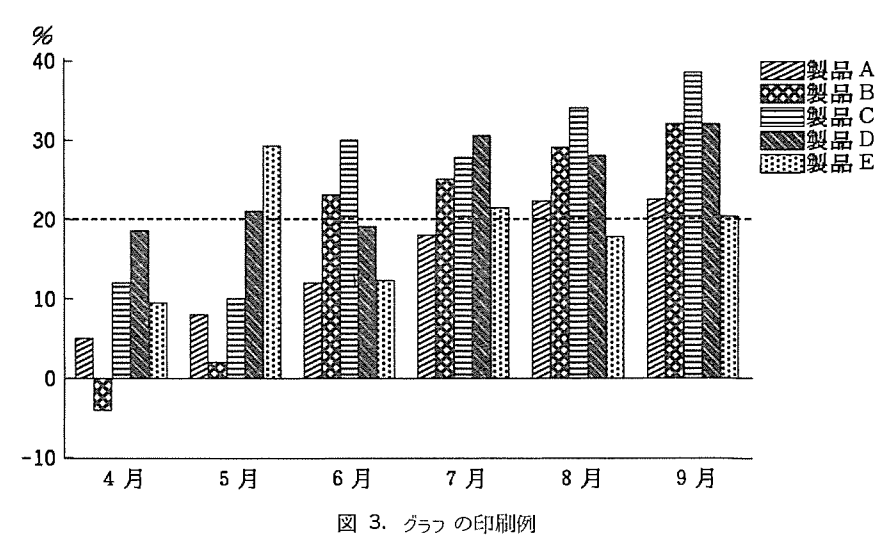


図 2. グラフ の表示例

製品別売上高増減率



イブラリを用意しており、データ 処理の結果を グラフ として表示するととが可能である。

- (7) グラフライブラリ には、 直線・円弧・多角形などを描く作画機能 サブルーチン も用意しており、フローチャート や組織図などの利用者独自の 用途にあった図表や絵を描くことも可能である。
- (8) グラフの フォーマット の修飾機能が豊富にあり、 最適な グラフ 表現を簡単に行うことができる。
- (9) グラフデータ や パラメータ を ファイル として保存することができる。 以上述べたこの システム の特長は、オフィスコンピュータ の グラフシステム では最高水準の機能である。

3. ハードウェア

カラーグラフィック 日本語 ワークステーション (図 4.) は《MELCOM 80》 日本語 システム の標準の ディスプレイ 装置に グラフィック 機能をもたせ、日本語 データ 処理 と ビジネスグラフ 処理を 1 台の ワークステーション 上で取り扱う ことを可能としている。

カラーグラフィック 日本語 ワークステーション の接続方式及び機能について次に述べる。



図 4. カラーグラフィック 日本語 ワークステーション

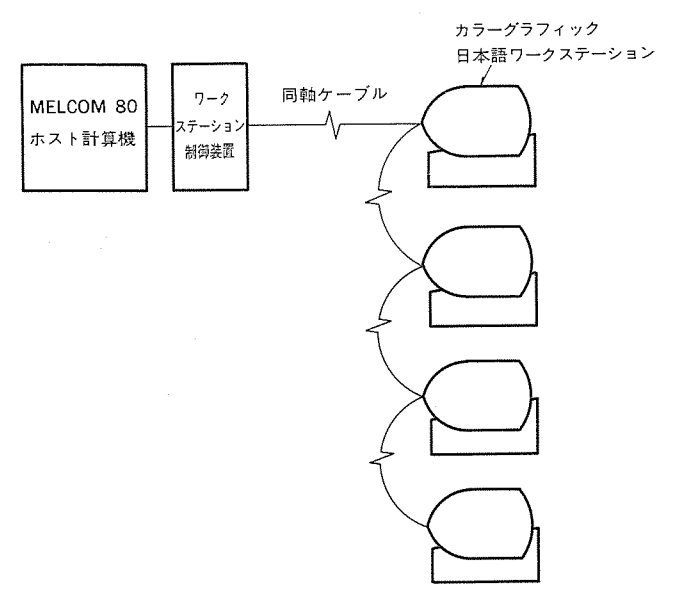


図 5. ホスト計算機との接続方法

(1) ホスト 計算機との接続

ホスト 計算機と カラーグラフィック 日本語 ワークステーション は 1 本の同軸 ケーブル で接続しており、 この同軸 ケーブル で 0.5 Mb/s (メガビット/秒) の高速な データ 伝送が可能である。 同軸 ケーブル は最大 1 km まで延長でき、 1 台の制御装置に最大 4 台の カラーグラフィック 日本語 ワークステーション の接続(図 5.)が可能である。

(2) 高分解能 グラフィック 用 ディスプレイ 装置の採用

(3) ベクトル 発生 ハードウェア 機構を内蔵

直線や円弧を高速に発生する ハードウェア 機構を内蔵している。 ホスト 計算機からは 28 種の グラフィックコマンド を送ることにより, 多種多様 な描画を行うことができる。 これにより ホスト 計算機における 図形 生成の負荷の軽減と高速表示を実現している。 グラフィックコマンド の一 例を次にあげる。

- (a) 2点間の絶対又は相対座標指定により直線を描く。
- (b) 中心点, 半径, 角度を指定して円弧や扇形を描く。
- (c) 指定した座標間に線を引き、矩形、多角形、折れ線を描く。
- (d) 8種類の線種と2種類の線の太さの指定が可能である。
- (e) 座標の主目盛りと副目盛りを描く。
- (f) 8種類の プロットマーカ (数値を示す グラフ 内の印)を描く。
- (4) 円, 矩形, 多角形の エリアシェーディング (図形内の塗りつぶし) 機構を内蔵

エリアシェーディングコマンドにより、円、矩形、多角形を任意の16種のシェーディングパターンにより塗りつぶすことができる。更にシェーディングは、模様の部分と模様の背景となる部分のそれぞれに色指定ができる。例えば、模様の部分を赤色、背景の色を黄色に指定すれば、オペレータの目にはオレンジ色に見えるというふうに、中間色での表示が可能である。

(5) 文字の拡大,回転機構を内蔵

表示する文字を 4 倍に拡大したり、±90 度回転することが可能である。 4 倍拡大は グラフ の表題などの強調したい 部分の表示に使用できる。 ±90 度回転機構は縦軸に付ける タイトル を回転させて表示する場合などに使用できる。

(6) 自由自在な色指定

(7) ハードコピー 機能

ディスプレイ 装置に表示した グラフ は,日本語 プリンタ 装置上の連続帳票 や カット 紙(単票)の任意の位置へ ハードコピー をとることができる。 ハードコピー は ディスプレイ に表示した大きさのほかに,縦横それぞれ 2 倍づつ拡大した大きさのものをとることができる。 更に, 画面の一部分の ハードコピー をとることも可能である。

4. ソフトウェア

ビジネスグラフシステムは、会話形式でビジネスグラフを容易に作成することができるユーティリティプログラムと、利用者プログラムから呼び出してグラ

フや図形の作成を行う サブルーチャ 群(グラフライブラリ)とで構成している(図 6.)。

4.1 会話形グラフ作成ユーティリティ

会話形 グラフ 作成 ユーティリティ は, だれにでも簡単に グラフ の作成が 行えるように操作性を最大限に高めた ユーティリティプログラム である。 利用者は グラフ を作成する場合,ディスプレイ に表示された メニュー 画面 (図 7.) に従って必要な項目を入力するだけでよい。 とのため特別な知識も必要とせず,入力する項目も標準形式の グラフ ならば表1. で示す程度の パラメータ を入力するだけですむ。

更に、グラフ 表現に対する利用者の多種多様な要求に対してきめ細かく対応できるように、 表 2. に示すような オプション 機能を豊富に用意し、隔通性に富んだ グラフ 作成 システム としている。 オプション 機能を使用すれば、 例えば円 グラフ の強調したい扇形部分を切り出して表示するといった処理を行うことができる。

会話形 グラフ 作成 ユーティリティ の優れた操作性は、 図 8. に示す メニュー 画面の構成と ファンクションキー を 使った ワンタッチオペレーション に よるものである。 例えば利用者は グラフ の形式を修正し デザイン 決めを



図 6. ビジネスグラフシステム の構成

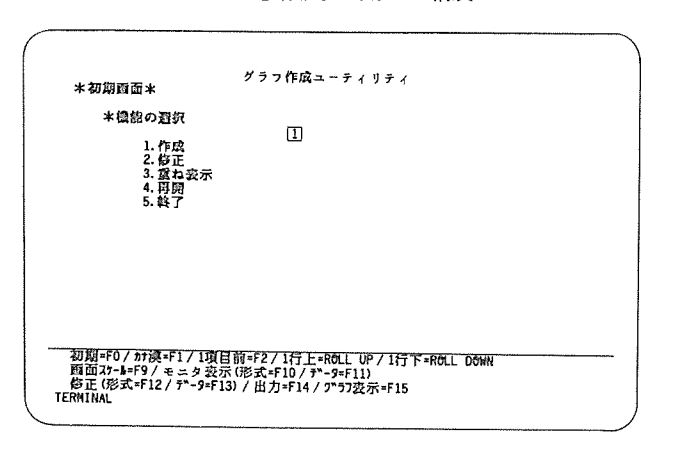


図 7. メニュー 画面例

表 1. グラフ 作成基本 パラメータ

	Ą				E		任 意/必 須
y		フ		-	li	類	必 須
麦						蹈	任 意
凡		例	4	8	~~~~	称	任 意
横	帕		5	~		ル	任 意
	Э ;				_	g.	必 須

表 2. オプション 機能 (一部)

シェーディングバターンの変	更	往	Ħ	3	Ż 0	り ク	7	フ	内	裘	苏
色 の 変	更	数	ſį	Œ.	の	グ	ラ	フ	内	麦	示
線の種類の変	更	棒	Į	<u>-</u>	檸	の	間	隔	の	変	更
凡例の位置の変	更	B		盛		b	線	の	氢	Ē	示
扇形の切り出	L	参		H	A	豿	!	の	麦		示
内	FJ	フ		ı	/	_		3	ν		ク
ソーティン	7	7		ラ	フ	0) #	声 4	h • 1	忧	大
項目名のインデクシン	7	11	3	7	フ	の	種	類	の	変	更

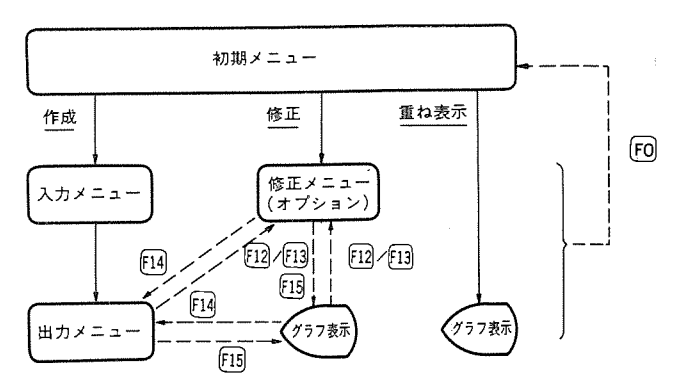


図 8. メニュー の構成と処理による メニュー の流れ

行っているときに,いつでも ファンクションキー | F15 | を押して グラフ を表示し見直すことができるので,スムーズ に最適な デザイン の グラフ を決定することができる。

会話形 グラフ 作成 ユーティリティ の機能を次にまとめる。

- (1) 作成できる グラフ の種類
 - (a) 縦棒 グラフ
 - (b) 横棒 グラフ
 - (c) 折れ線 グラフ
 - (d) 円 グラフ
 - (e) 内訳図(構成比率帯 グラフ)
 - (f) 積上げ棒 グラフ

(2) グラフの作成・修正及び表示機能

グラフ の作成及び修正は ディスプレイ に表示された ガイダンス に従って、グラフ 作成用 パラメータ と実際の数値 データ を入力することによって行う。ユーティリティ は、 入力された パラメータ や数値 データ に基づいて棒の幅、高さ、間隔などの計算や凡例付け、 表題の センタライズ などの作図処理を自動的に行い ディスプレイ上に グラフ を表示する。このため作図するためのわずらわしさは一切なく、簡単な パラメータ を入力するだけで美しい グラフ を描くことができる。

(3) 印刷機能

ディスプレイ 上に表示されている グラフ を印刷指示により、 日本語 シリアルプリンタ 装置上の連続帳票や カット紙(単票)の任意の位置に印刷することができる。印刷サイズとしては普通サイズと縦横 2 倍の 4 倍拡大 サイズとを選択でき、 複数枚の用紙への連続出力指示も可能である。

(4) グラフ 情報の ファイル 出力機能

グラフ の作成及び修正で入力した グラフ 形式 パラメータ(種類、レイアウト、項目名など)や数値 データ を、 グラフ 情報 ファイル として ディスク や フロッピディスク に出力することができる。グラフ 形式 パラメータ は数値 データ とは別 ファイル として出力することができ,それぞれが独立している。 このため、 どの グラフ 形式 ファイル と数値 データファイル とを組合せて グラフ 表示することも可能である。また、数値 データファイル の内容は データ 処理で取り扱える データ形式なので、利用者 プログラム でこのファイル を作成・更新することができる。 グラフ 情報 ファイル を使用した グラフ 作成処理の流れを図 9. に示す。

(5) グラフ の重ね表示機能

ファイル として出力した二つの グラフ の グラフ 情報 ファイル を読み込んで, 同一画面上に グラフ を重ね表示 (図 10.) 又は分割表示 (図 11.)

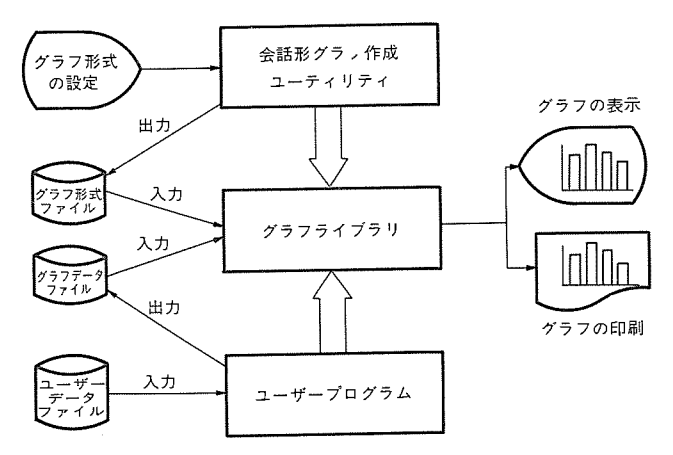


図 9. グラフ 情報 ファイル を使った グラフ 処理の流れ

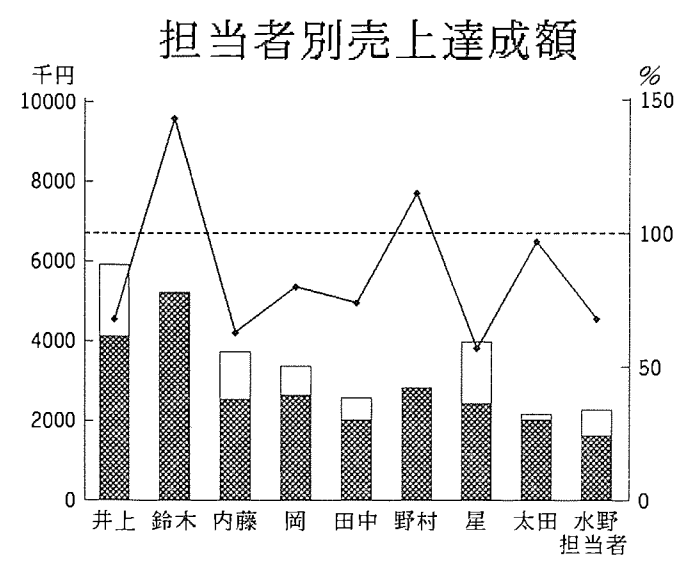


図 10. グラフ の重ね表示

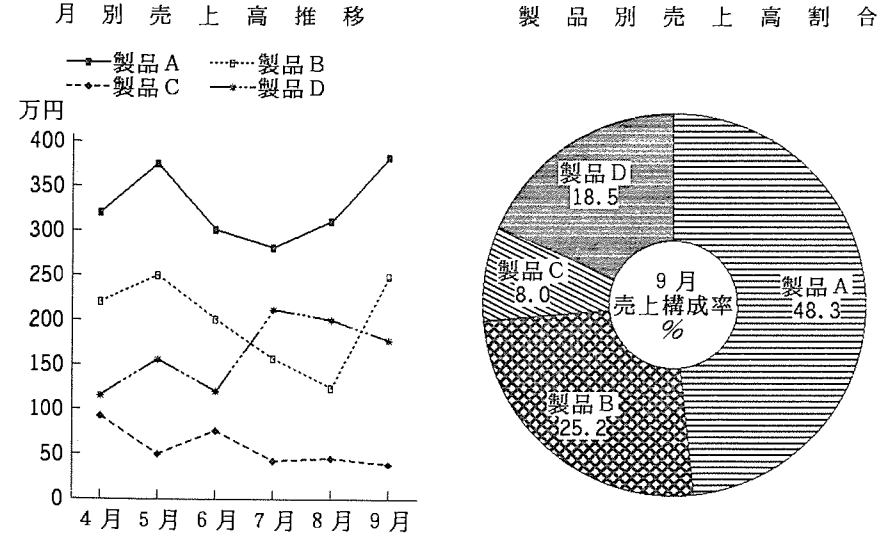


図 11. グラフ の分割表示

することができる。

(6) 漢字表示機能

グラフ の表題, 凡例名称, 軸 ラベル などに漢字を使いたい場合には,

カナ 漢字変換入力や漢字 コード 入力により漢字 データ を入力すること ができる。

4.2 グラフライブラリ

グラフライブラリ は、COBOL や プログレス II で作成された利用者 プログラム から CALL 命令で呼び出すことによって、カラーグラフィック 日本語 ワークステーション 上に ビジネスグラフ や図形を表示したり、 日本語 プリンタ 装置上に印刷したりする サブルーチン の集りである。グラフライブラリ の サブルーチン は、次に示す機能別 サブルーチン 群に分類される。

(1) 制御機能 サブルーチン

鑿達成額 □未達成額

達成率

グラフライブラリ の初期設定/終了,端末(ディスプレイ,プリンタ)への グラフ 及び図形の出力,グラフ 情報 ファイル への入出力,エラー 処理などを行う サブルーチン。

(2) グラフ 作成機能 サブルーチン

グラフ の種類,タイトル,凡例, シェーディング(塗 りつぶし)パターン,線の種類などの グラフ の形 式や グラフ 化する 数値 データ を設定する サブルー

(3) 図形作画機能 サブルーチン

カラーグラフィック 日本語 ワークステーション の図形生成機能(円弧,直線,シェーディング,マーカ,グラフ 文字など)や図形要素の属性(色,線種,シェーディングパターン,文字の回転・拡大)を使って図形を描く サブルーチン。

ビジネスグラフを描く プログラムを作成するには、グラフ作成サブルーチンを使用してグラフの形式を設定する方法と、あらかじめ会話形グラフ作成ユーティリティで生成しておいたグラフ情報ファイルを読み込んで設定する方法との2通りの方法がある。特に、グラフ情報ファイルを利用する方法は、グラフ形式を定義する作業とプログラムを作成する作業とを併行してすすめるととができるため、効率的なシステム開発を行うことができる。

5. む す び

オフィスオートメーション に対する関心が高まるにつれ、オフィスコンピュータ はこれからの事務合理化の中心的な役割を果たすべく期待されている。オフィスのシステム 化は現場のだれもがコンピュータを直接活用してこそ、その成果があがるものである。コンピュータにいくら機能があっても複雑な使いづらいシステムであっては合理化を推進することはできない。今回報告したビジネスグラフシステムはこの点に十分な考慮をはらい、利用者にとって使いやすいシステムとなるように開発したものである。我々は今後

共,オフィスコンピュータ《MELCOM 80》の ハードウェア, ソフトウェア を利用者の"使いやすさ"を追求した システム として提供できるよう努力してゆくつもりである。

ソフトウェア品質評価支援システム"SQUARE"

中山俊英*・佐伯正夫*

1. まえがき

1.1 ソフトウェアが抱えている問題点

近年, 我が国の ハードウェア 技術, その生産技術, 生産管理技術は急速な進歩を遂げ, 特にその品質と生産性の向上は諸外国からも非常に注目されている。

ハードウェア技術の飛躍的改善に比べると、ソフトウェアの品質・生産性の向上は見劣りがしている。例えば、1974年に J. B. スローターが報告した「ソフトウェアの抱える問題点」(いは、7年の歳月と国境を越えて我が国のソフトウェア産業の課題として、いまだに生き続けている。ソフトウェアの品質・生産性の向上がこのように遅れた理由は多々考えられるが、主たる理由は次の2件であろう。

- (1) ソフトウェアの特性が、ハードウェアとは異なっている。
 - (a) 鉛筆と紙があれば、 だれでも yフトウェア を作ることができる。
 - (b) 科学的原理に基づく生産手法や基準が確立されていない。
 - (c) 品質, 生産性は, ソフトウェア 生産者の能力に大きく左右される。
- (2) ソフトウェア生産管理技術が確立されていない。
 - (a) ソフトウェア の生産管理は主として ソフトウェア 関係者の手で進められ、より進んだ ハードウェア の生産管理手法を導入できなかった。
 - (b) ソフトウェアの特性に注目しすぎ、 ハードウェア との共通点を見い出せなかった。

こうして、ソフトウェアの生産は旧態依然とした生産方式から脱却できず、ソフトウェア産業は典型的な労働集約的産業となった。また、その生産技術、生産管理技術は未確立な分野として取残されていた。 この問題を解決すべく種々のアプローチがソフトウェア工学として進められてきており、次第にその成果を上げつつある。

1.2 当社のアプローチ

当社では、ソフトウェアの特性を生かしつつ、 IE 的 アプローチ を ソフトウェア 生産管理に適用することによって ソフトウェア の問題を解決しよう と試みてきた。

当社の主なアプローチについて、その概要を次に示す。

- (1) 管理の強化
 - (a) 管理技術の開発と EDP 化推進
 - (b) 管理目標の設定と達成度管理
- (2) 生産技術の強化
 - (a) 開発標準の整備と実施徹底
 - (b) レビューの徹底と検査内容の充実
- (3) 生産設備の充実・強化
 - (a) 開発・検査設備の増強・整備
 - (b) 開発・検査 ツール の充実・整備
- (4) 要員対策の強化
 - (a) 開発標準の教育充実

(b) 動機付け(小集団活動の利用など)

これらの ァプローチ を展開するにあたっては、次に示すように品質管理活動をその主体として位置付け、ブレークダウン してきた。

- (1) ソフトウェアの問題は品質と生産性に帰着するが、品質の悪さが 生産性の低下を招くケースが多く、品質管理を徹底すれば品質、生 産性両面の問題解決になると期待できる。
- (2)「評価尺度の設定は技術を進歩させる」という原理に従い、品質 データの評価を徹底して品質問題の解決を図る。
- (3) したがって、品質データと評価尺度を設定し、その評価をベースとした品質管理活動を実施することによって、品質及び生産性の向上を実現する。

我々ソフトウェア品質管理部門は、品質 データの中でも評価のベースとなるものとして、ソフトウェア製品出荷後のフィールドデータをとりあげた。すなわち、フィールドでの故障に関する種々のデータを収集・蓄積・評価し、それらのデータから得た情報、学びとった教訓・反省を各作業段階へタイムリーにフィードバックしていくことを品質向上(特に信頼性向上)の重要施策とした⁽²⁾。

1. 3 "SQUARE"

先般,ソフトウェア 生産管理 オンライントータルシステム の一要素として開発完了した ソフトウェア 品質評価支援 システム "SQUARE" (Software Quality & Reliability Evaluater) は,フィールド 故障 データ を種々の角度から柔軟に集計・分析・レポート する機能などによってフィールド 故障 データベース に基づく 品質向上施策を強力に支援するとともに,管理作業の省力化,管理密度の向上を実現した。ソフトウェア 品質管理サイクル の中枢に位置する部門が "SQUARE" を使用して一元化された データベース を活用することにより,適切な評価,タイムリー なフィードバック が自在にできる。 このように,品質管理部門が,その立場を生かして各種品質管理活動の遂行にあたってフィールド 故障 データベース を活用することによって,ソフトウェア 製品の品質向上が推進されている。

この論文では、 まず フィールド 故障 データベース に基づく品質向上施 策を紹介し、次いで "SQUARE" を紹介する。

なお、この論文で使用する用語を次のように規定する。

- (1) 故障 : ソフトウェア 製品に潜在している不良が表面化し, 規定の機能を失うこと。
- (2) クレーム : フィールドにおける ユーサー からの苦情。

2. フィールド故障データベースに基づく品質向上施策

"SQUARE"を紹介する前に、フィールド故障データとしてどのようなデータを収集し、それらをどのように活用して品質向上を推進しているかを示す。

2.1 フィールド故障データベースの内容

フィールド 故障 データベース には, フィールド での故障に関する種々の データ(クレームデータ,故障 データ など)を一元的に収集し蓄積している。 次にその クレームデータ と故障 データ についてその主なものを示す。

(1) クレームデータ

- (a) 受付日, 処置完了日
- (b) 処置担当区分
- (c) プログラム 区分
- (d) クレーム 照会区分
- (e) 処置優先度
- (f) クレーム 現象区分
- (g) 顧客番号
- (h) 処置区分

例えば,処置区分には主に次のような項目を設定している。

・純粋な質問に対する回答

- 修正情報発行
- ・次版にて対処
- ・説明書の不良
- ユーザー の誤解 誤操作
- ・ ハードウェア の不良

(2) 故障 データ

- (a) 製品番号·版名
- (b) ユーザー への影響度
- (c) 故障の検出段階
- (d) 修正人工·修正量
- (e) 故障の原因が作り込まれた作業段階
- (f) 検査で発見できなかった理由

例えば、検査で発見できなかった理由には、主に次のような項目 を設定している。

- ・検査項目が設定されなかった。
- ・検査仕様が誤っていた。
- ・検査 プログラム の誤りであった。
- ・検査 データ の不良であった。
- ・検査項目は設定されたが実施しなかった。
- ・検査環境が設定できなかった。

2.2 品質向上施策の紹介

ソフトウェア 品質管理部門は、ソフトウェア 製品の品質管理 サイクル の中枢 に位置しており、その活動は開発計画段階から保守段階までを含んだすべての作業段階にわたっている。この立場を生かし、各作業段階における各種品質管理活動を通じてフィールド故障 データベース を活用してきた。フィールド故障 データ を他の品質 データ や各種生産管理 データ とも突き合わせて多角的に分析・評価した結果を、関連部門へタイムリーにフィードバック することによって品質向上を推進している。以下に、フィールド故障 データベースに基づく主な品質向上施策を示す。

2. 2. 1 クレーム処置の監視, 信頼性監視

定期的に次のような作業を実施し、関連部門に対して対策検討又は 処置を指示している。問題検出時には必要に応じて詳細分析(要因 分析など)を実施する。

- (1) 顧客単位に クレーム 件数, 処置区分などを調べて, 対策・処置を要する顧客を洗い出す。
- (2) 製品単位に クレーム 件数, 処置区分, 故障件数などを調べて, 対策・処置を要する製品を洗い出す。
- (3) 処置優先度,処置区分などの内訳を含めて クレーム 件数の時系 列変化を調べて、クレーム 発生状況と クレーム 処置状況とを評価する。
- (4) 処置優先度ごとに目標設定した クレーム 処置日数の実績を評価し、クレーム 処置日数の短縮を促進する。
- (5) クレーム 件数と故障件数との時系列変化から信頼性を監視する。また、故障件数、修正情報発行件数の累積値をそれぞれ生産 ステップ数、製品 ステップ数で ノーマライズ したものも信頼性評価尺度の一つとして使用する。

2.2.2 品質目標に対する実績監視

ソフトウェア 製品全体の品質について長期目標(5年)と短期目標(1年)とを設定している。また、個々の製品についても、その開発計画時に品質目標を設定している。個別製品の品質目標の一例として

信頼性目標については、 生産 ステップ 数で ノーマライズ した 故障件数 (限界値)を設定している。

これらの品質目標に対する実績を毎月監視し、関連部門に対して 実績報告を行うとともに、限界値への近接又は超過などの問題があ れば、必要に応じて詳細分析も実施して、対策検討又は処置を指示 している。

2. 2. 3 品質評価, 詳細分析

評価 タイミング, 評価対象単位, 評価項目及び フィードバック 方法についてその概略を示す。

- (1) 評価 タイミング
 - (a) 品質目標における限界値への近接などの問題検出時点
 - (b) 品質目標の標準評価期間の終りに達した時点
 - (c) 期末, 半期末など
- (2) 評価対象単位

全製品総合,機種単位,担当 グループ 単位,属性に応じて群分けした 製品群単位,製品単位など。

- (3) 評価項目
 - (a) 絶対信頼性評価

故障件数の時系列変化, ノーマライズ した故障累積件数, 目標との比較など。

(b) 相対信頼性評価

過年度との比較、母体製品や同種製品との比較など。

(c) 詳細分析(信頼性要因分析など)

故障 \vec{r}_{-9} の統計から,不良の作り込まれた作業段階,検査で発見できなかった理由などを分析する。 また,他の品質 \vec{r}_{-9} や各種生産管理 \vec{r}_{-9} とも突き合せて,例えば次のような多角的要因分析を行う。

- ・各種仕様書評価 データ との相関
- ・テスト密度(テスト項目数を ステップ数 でノーマライズ したもの)との相関、又は テストカバレッジ(命令、分岐条件などの通過率)との相関
- ・不良検出率(各作業段階で検出した不良件数を ノーマライズ したもの)との相関
- ・プロジェクト要員数、スキル(経験年数)との相関
- ・生産性との相関
- ・記述言語との相関
- ・プログラム の種類との相関
- (4) 評価・分析結果の フィードバック

開発 グループ 別, プログラム 種別, 製品別, 全製品総合などの評価対象単位に対応して、評価・分析結果, 重点課題, 改善対策などをまとめ, 関連部門へ報告している。また、各作業段階に対応した活動を通じて設計・検査方法などの改善を図るとともに,審査規準や各種管理方式の改良に生かしている。更に、品質目標更新審査にも役立てている(実績に応じて、その20%から30%の向上を目安としている)。

3. 品質評価支援システム "SQUARE"

フィールド 故障 データ に基づく品質向上施策をより効果的なものとする ためには、主に次に示す要件を満たす支援 システム を開発する必要が あった。

(1) 管理 データの増大と多様化に伴う管理工数の増大を低減するとともに、管理密度を向上させる必要がある。

- (2) 管理 データを一元管理するとともに、正確な情報を タイムリーに フィードバック する必要がある。
- (3) より可視的でわかりやすい レポート を提供する必要がある。
- (4) 品質評価及び各種要因分析を行うにあたっては、個々のソフトウェア製品の属性やその製品を産み出したプロジェクトに関する各種生産管理データも含めて、データの持つ意味、有効範囲などを吟味し多角的な分析を行うことが大切である。したがって、支援システムは柔軟な集計・分析機能を提供するとともに、各種データ間の相関を分析することも支援すべきである。

我々は、上記のような要件を満たす 品質評価支援 システム として "SQUAR E" を開発した。"SQUARE" は、フィールド 故障 データベース を核とする情報検 索 システム でもある。"SQUARE" の機 能を、図 1. に概念的に示す。 また、 その出力例を図 2.、図 3.、図 4. に示す。

次に、"SQUARE"の主な機能とその特長について述べる。

(1) 柔軟かつ多角的な集計・分析機 能

各種品質 データを任意の集計期間で集計できるとともに、累計値や時系列変化を求めることができる。また、集計対象単位については、最小集計単位ごとの集計 データを任意の階層構造に従ってグループ化し集計する機能を持っている(利用者は、この階層的集計構造を定義することができる)。このことを利用して、プログラム種別、記述言語別などの任意の属性に応じて層別した分析を行うことができる。また、各種関連データとの相関を散布図として出力することも可能である。

これらの機能を駆使することによって, フィールド故障データに基づく品質向 上施策を遂行する上で必要となる集計・分析作業のほとんどを容易に実施することができる。

(2) 日本語 レポート, グラフ 出力機能 日本語 レポート, 各種 グラフ を提供する ことによって,情報の可視化,見やす さの向上を図っている。例えば,各種 データの時系列変化を表す折れ線グラフ, 不良作込み段階,検査で発見できなか った理由などを表す円グラフを得るこ とができる。また,出力したい情報だけを表示するための各種選択編集機能 も用意しており、目的に応じて適切な レポート を得るこ とができる。 (3) 各種監視支援機能

保守監視,信頼性監視及び品質目標実績監視を行うために, パラメー

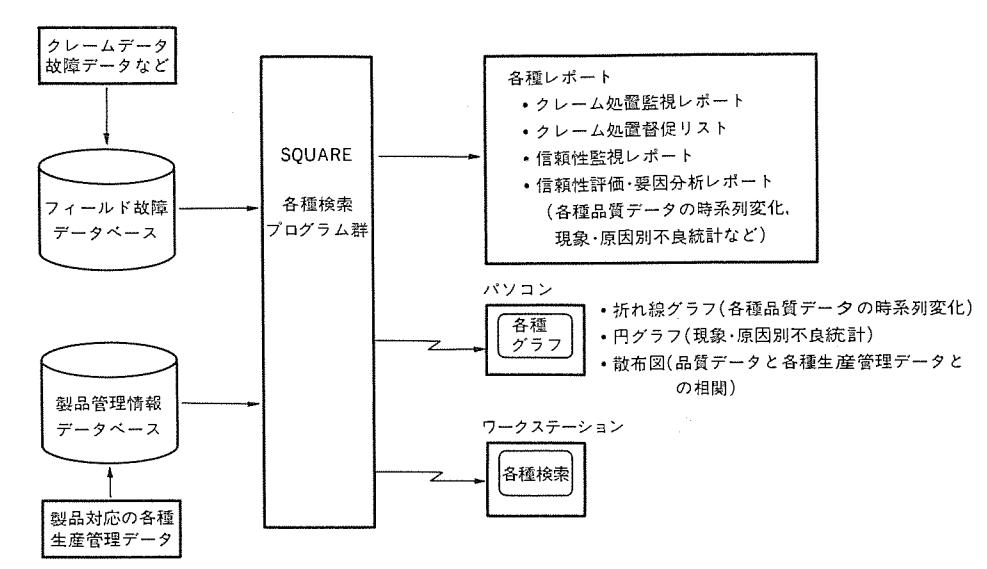


図 1. SQUARE の概念

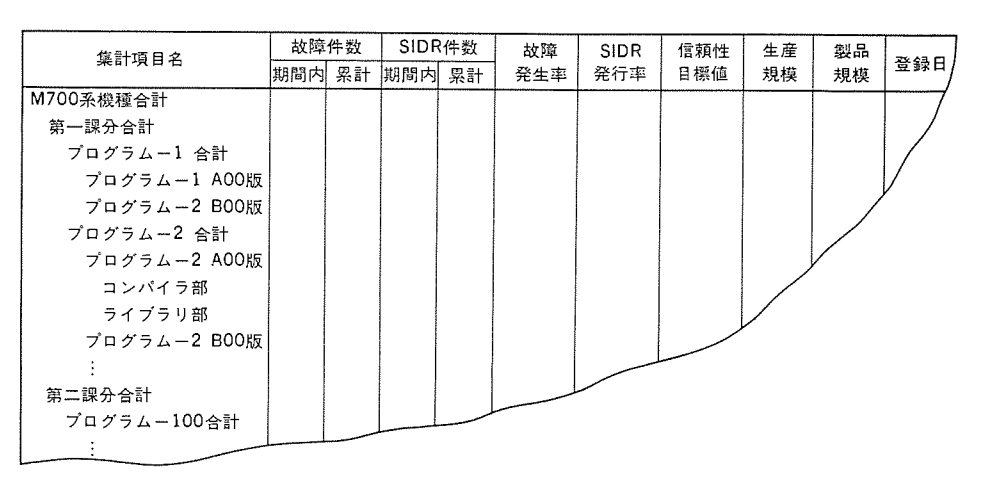


図 2. 信頼性監視 レポート の例

								····				
	コンパイ)版 期間内			早計			6月	7月	8月	9月 /	
	故阳	章件数										7
	SIDR件数	A B C D 合計										
不	1A 外部設計(樹	段能仕様の抜け又は解釈誤り)	(%)	(%)						/
良	1B 外部設計(核	験能仕様の誤り)		%)	ì	%)						
不良作込み段階	1C 外部設計(イ :	(ンタフェースの誤り)	(%)	(%)				/		
検出る	A 検査項目	もれ	(%)	(%)						
ð	B 検査仕様		(%)	(%)						
なか		グラム、データ不良	(%)	(%)						
検出できなかった理由	D 検査実施 :	返もれ	(%)	(%)						
処置	A 改修完了 B 次版以降 :											
	i											

図 3. 信頼性評価・要因分析 レポート の例

OSI 不良作込段階

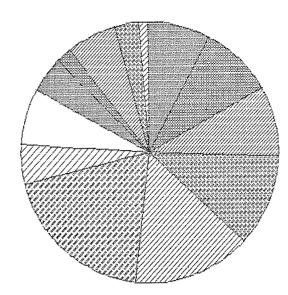


図 4. 現象・原因別不良統計の例

タとして設定された限界値を超えた エントリ を自動的に抽出・表示する機能が設けられている。

(4) オンライン 即時検索機能

フィールド 故障 データベース は,全国各地の ワークステーション から常時,会 話形検索を行うことができる。そのための標準的な検索 コマンド も豊富に用意して利用者の便宜を図っている。この サービス によって,SE (システムエンジニア),CE (カスタマエンジニア) の第1次保守作業効率も向上している。

4. む す び

以上, フィールド 故障 データベース に基づく ソフトウェア 製品品質向上施策と, その支援 システム "SQUARE" とを紹介した。

我々は "SQUARE" を駆使することによって、品質管理密度の向上、より可視的な情報を タイムリーに フィードバック するというねらいを実現することができ、ソフトウェア 製品の品質向上を加速させつつあ

7.809% 36 7.809% 42 7.809% 42 9.10999% 42 9.10999% 53 9.10999% 53 11.4.75% 89 14.75% 89 14.75% 89 14.555% 21 16.29% 29 1.084% 5 る。制御プログラム、言語プロセッサなどの基本ソフトウェア全般(約5,000 K ステップ)を対象にした例を用いて、その成果の一端を次に披露する(昭和55年度上期の値を1として指数で示す)。

- (1) クレーム 件数が減少した。 55 年度上期=1.00 55 年度下期=0.30 56 年度上期=0.26 56 年度下期=0.25
- (2) 故障件数が減少した。 55年度上期=1.00 55年度下期=0.47 56年度上期=0.40 56年度下期=0.27

この システム を発展させ、より実りある成果を得るために、今後とも次のことを主要課題として把え、

改善努力を積み重ねていきたい。

- (1) 各作業段階で収集した品質 データ及び各種生産管理 データとフィールド 故障 データとの相関分析に基づいた信頼性要因分析を積み上げていき,より特性の強い要因を探し出す。これに基づいて,各作業段階での審査規準を改良する。
- (2) 製品の ライフサイクル 全体を通じて一貫性のある品質評価基準を確立するとともに、その方式を支援する総合的な生産管理 システムへの統合化を推進する。

参考文献

- J. B. Slaughter: Understanding the Software Problem, NCC
 p. 333~336(1974)
- (2) 桜井俊一: ソフトウェア・フィールド 故障 データバンク の活用,日科技連第12回信頼性・保全性 シンポジウム 発表報文集,p. 471~

高出力GaAs FETのパルス動作特性

大橋 光雄*・酒寄隆雄*・鈴木 武*・西岡保彦**・斎藤日出夫**

1. まえがき

CW(連続波)動作高出力増幅器のひ(砒)化 がりつム 電界効果 トランジスタ(GaAs FET)による固体化が、マイクロ 波通信装置において盛んに進められている。一方,レーダ 応用などで重要な パルス 動作高出力増幅器に関しては、消費電力及び チャネル 温度の減少による効率や信頼性の向上が期待されるにもかかわらず、FET 化の検討は近年まであまり意欲的に行われていなかった。 これは従来, ①FET の出力は降伏電圧と飽和電流の積で決定されるため, パルス 動作と CW動作とで RF(高周波)特性に大きな差は認められない, ②パルス のない・オフ 時に位相の乱れを生じやすいと考えられていたためである。これに加え初期の試験結果で、パルス 動作による RF 特性の性能向上が認められなかったことが起因している(1)(2)。

1980 年代になって,「レイン 電圧及び素子温度上昇と パルス 特性の関連,そして パルスドライブ方式に関する検討が行われた (3) (4) (5)。 これら一連の検討結果から ドレイン 電圧を高くすることができ,この結果出力電力が著しく大きくなることがわかった。例えば 8 GHz において ドレイン 電圧 9 V のとき C W 出力 2.3 W に対し ドレイン 1.5 W で 1.5 W のとき 1.5 W のと 1.5 W が得られており,1.5 1

パルス動作時に高ドレイン電圧動作が可能なのは、降伏電圧のメカニズムの一つである熱不安定性による影響が小さいからと推定されている⁽⁶⁾。また GaAs の電子易動度は素子の温度と密接に関連し、FET の特性に大きな影響を与える。 例えば温度変動 25~99°C の範囲で電子易動度はおよそ 20 % 変動する。これに伴い 1 dB の RF 出力変動が測定されている。 すなわち、パルス動作時の チャネル 温度上昇は CW 動作時に比べ小さいため、特性が改善される。

パルスドライブ 方式に関しては、 ゲートパルスドライブ 方式よりも ドレインパルスドライブ 方式の方が大きな RF ピーク 出力が得られている $^{(4)}$ 。 効率に関しては、三菱 MGF-2124(CW 出力 1 W、 効率 20 %, 0 12 GHz)を用いて、ゲートドライブ 方式で 1 B級動作させた場合、 1 8 GHz で付加電力効率 45 48 % が得られている $^{(7)}$ 。

以上のような一連の研究成果により、GaAs FET のパルス動作応用が注目を浴びはじめている。当然、レーダ装置などへの応用の早期実現が期待されている。しかしながらこの要請にこたえるには、現在のところ、FET のパルス動作特性に関する報告は少なく、パルスドライブ方式による違い、パルス条件とパルス特性との関係、素子構造パラメータとパルス特性との関係など各種データの蓄積が必要である。

以上の観点から、ととではパルスドライブ方式の相異点、そして三菱高出力 GaAs FET を用い FET 構造の違い及びパルスドライブ方式の違いによるパルス 動作特性の評価結果について述べる。

2. パルスドライブ方式

FET の パルスドライブ 方式は、ゲート を パルス 駆動する方式と ドレイン を

パルス 駆動する方式(前者を ゲートドライブ,後者を ドレインドライブ という)の二つに大別される。

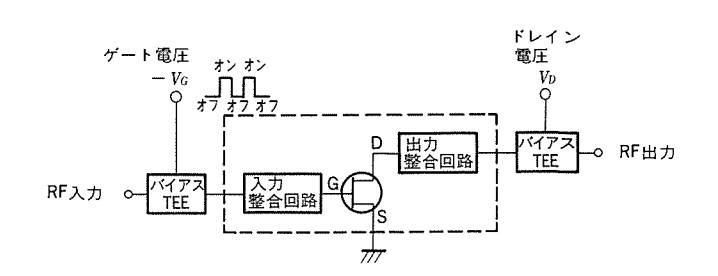
2.1 ゲートドライブ

ゲートドライブ 方式は図 1. (a) に示したように一定のドレイン電圧を加えておき、ゲートに素子がオフ(ドレイン電流が流れない)となる電圧と、オン(ドレイン電流が流れる)となる電圧からなるパルス電圧を印加して動作させる方式である。素子オン時にRF出力が得られる。

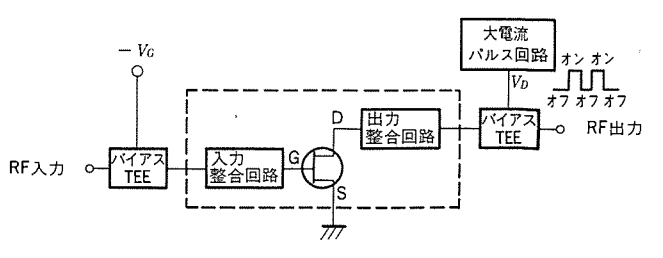
この方式では、パルスオン・オフを小信号スイッチ素子で行うことができ、スイッチング速度が早い、またパルス電源容量がドレインドライブ方式に比べ小さくできるという利点がある。装置の小形軽量化、省電力化が要求されるレーダ応用ではこの方式が有利と考えられる。他方、CW信号を入力した場合、素子がオフ状態でも信号が出力にもれるという欠点がある。これは高出力FETではピンチオフ電圧以下のゲート電圧を加えても、わずかではあるがドレイン電流が流れるからである。このもれ電流は素子温度上昇の要因ともなり出力の伸びを妨げる。この欠点は素子自体によるもので、素子の改良により解決可能である。

2.2 ドレインドライブ

ドレインドライブ は図 1. (b) に示したように、ゲートに所定のゲート電圧を加えておき、ドレイン電圧をパルスで加える方式である。 この方式は素子 オフ(ドレイン電圧 パルス 0 V)の時、ドレイン電流を遮断でき、もれ電流による素子温度上昇はさけられる。現状ではゲートドライブよりも出力、利得共に大きな改善効果が期待できる。しかしながら、素子 オン時にドレイン電流を流すために、VMOS FET などによる大電流パルス 回路を必要とする。このため、パルスの立上り、立下り時間もゲートドライブに比べ大きくなる。ゲートドライブ方式と比較する場合には、このパルス 回路の効率も含めて総合的に評価する必要が



(a) ゲートパルスドライブ



(b) ドレインパルスドライブ

図 1. パルスドライブ 方式

3. パルス動作特性

3. 1 評価用高出力 GaAs FET

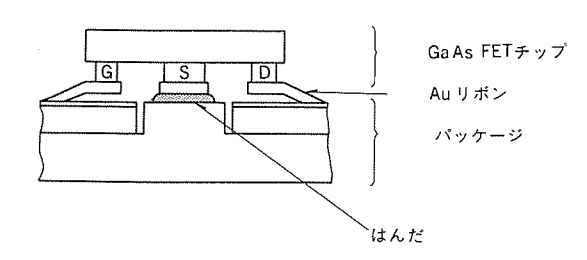
測定に使用した高出力 FET は、 $6\,\mathrm{GHz}$ 帯で $5\,\mathrm{W}$ 出力を有する内部整合形素子である。アップサイドアップ 形とアップサイドダウン 形の チップマウント 構造からなる $2\,\mathrm{種o}$ 素子を用いた。図 2. (a), (b) にこれらの素子の構成断面図を示した。アップサイドアップ 形高出力 FET は単位 ゲート幅 $250\,\mu\mathrm{m}$, 全 ゲート幅 $16.0\,\mathrm{mm}$ で各 ソース 電極を Au めっきで架橋した プレーテッドソースブリッジ 構造 (PSB 構造と称する)素子である。アップサイドダウン 形(フリップチップ 構造)高出力 FET は $2\,\mathrm{Fy}$ プで構成している。 $1\,\mathrm{Fy}$ プの単位 ゲート幅は $200\,\mu\mathrm{m}$, 全 ゲート幅は $7.2\,\mathrm{mm}$ である。各 ソース 電極は Au リポン で電気的に接続し,パッケージヒートシック 面に直接取付けている (8)。

二つの素子構造の主な特長を列記すると次のようになる。

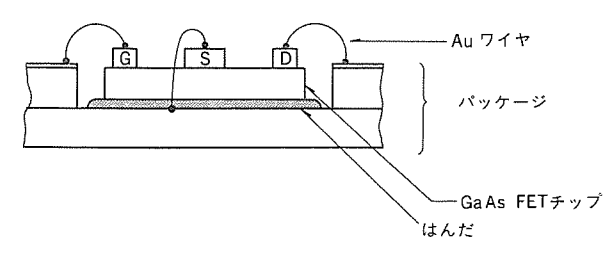
(1) アップサイドアップ 構造

- (a) 各ソース電極間にワイヤを用いていないのでソースインダクタンスが小さくなり高周波特性の改善が期待できる。
- (b) ウェーハ 及び アセンブリプロセス が容易になる。

(2) アップサイドダウン 構造



(a) アップサイドダウンチップマウント



(b) アップサイドアップチップマウント図 2. チップマウント

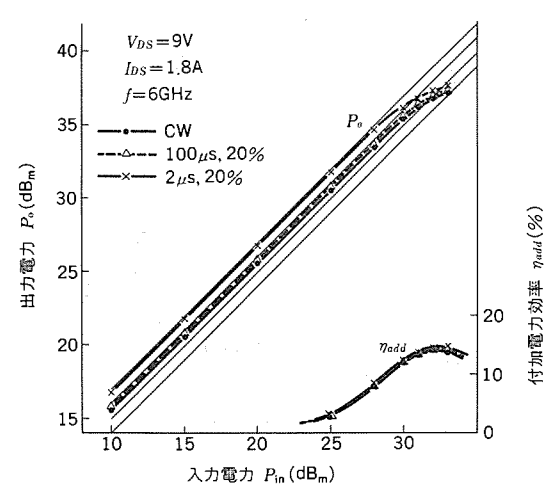


図 3. アップサイドアップ 形素子の ドレインパルスドライブ P_{tn} - P_o , η_{add} 特性

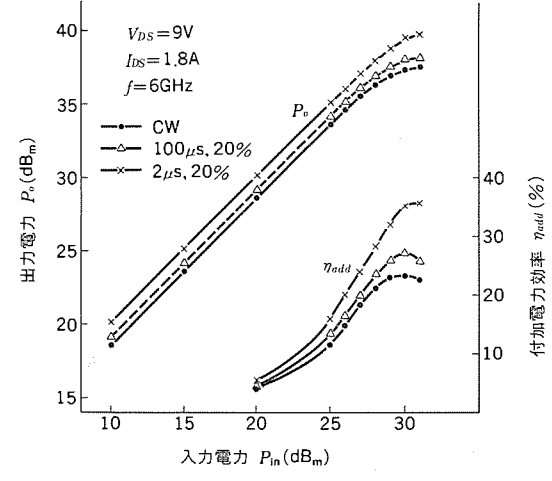


図 4. アップサイドダウン 形素子の ドレインパルスドライブ P_{in} - P_o , η_{add} 特性

表 1. CW 特性と ドレインパルスドライブ 特性比較

素子構造	アップサイド: 5 W ジ		アップサイドアップ形素子 5 W クラス					
動作モード	パルス	CW	ハルス	cw				
バイアス条件	VDS=9V IDS=1.8 A f=6 GHz バルス幅=2 µs (20%デューティ)	V_{DS} =9 V I_{DS} =1.8 A f=6 GHz	VDS=9 V IDS=1.8 A f=6 GHz バルス幅=2 µs (20%デューティ)	V_{DS} =9 V I_{DS} =1.8 A f=6 GHz				
利 得 (dB)	10.2	8.6	6,8	5.6				
出 力 (W) P _{1dB}	8.9	5.5	4.8	4.6				
効 率 (%)	35	23	14.5	14				

(a) 各ソース 電極を ワイヤ を用いず直接 パッケージヒートシンク に取付けているので、ソースインダクタンス が極めて小さくなり、高周波特性の大幅な改善が期待できる。

(b) 熱抵抗が低い

などである。

3. 2 FET 構造とパルス特性

アップサイドアップ 形 FET と アップサイドダウン 形 FET に関し、 周波数 6 GHz における ドレインドライブ による パルス 動作特性を評価し、 CW 特性と比較した。用いた パルス は パルス 幅 $2~\mu s$ と $100~\mu s$ で デューティ は ともに 20~% に設定した。

図 3. に アップサイドアップ 形,図 4. に アップサイドダウン 形素子の パルス 特性を CW 特性とともにそれぞれ示した。 バイアス 条件は ドレイン 電圧 V_{DS} 9 V, ドレイン 電流 I_{DS} 1.8 A に設定した。 $100~\mu s$ パルス 特性 は直線電力利得 5.8 dB, 1 dB 利得抑圧出力電力 P_{1dB} 4.6 W であり,CW 特性の G_L 5.6 dB, P_{1dB} 4.6 W と比べ,わずかの利得向上があっただけである。パルス幅が $2~\mu s$ と短くなると, G_L 6.8 dB, P_{1dB} 4.8 W となり,それぞれ 1.2 dB,0.2 W 向上した。しかしながら飽和出力 P_o は $2~\mu s$, $100~\mu s$,CW ともに 5.7 W 前後であり差はほとんど現れない。効率に関しては,パルス 動作,CW 動作で差は認められず,最大付加電力効率は 15~% である。

他方 アッップサイトੱቓウっ 形の場合には,図 4. に示すように パルス 特性 と CW 特性で顕著な差が現れる。 パルス 幅 $100~\mu s$ では CW 特性に比べ G_L , P_{1dB} ともに 0.6~dB, 1.6~dB(2.4~W) 向上する。 $2~\mu s$ に

なると G_L で 1.6 dB, P_{1dB} で 2.1 dB (3.4 W) 向上した。更に, CW の場合飽和出力が約5.7 W であるのに対し,パルス 幅 2 μ s の場合には 9.6 W と伸びている。また, 効率も パルス 動作と CW 動作と で大きな差が認められ,最大付加電力効率は パルス 幅 2 μ s で 36 %, C W で 23 % である。

表 1. に2 μs パルス動作と CW 動作時の各構造 FET の RF 特性

をまとめた。素子 マウント 構造による パルス 特性の差の主な理由としては、

- (1) 熱抵抗の違いによる 素子温度上昇の違い。
- (2) 熱時定数(熱抵抗と 熱容量との積)の違い。 などが考えられる。

今回評価に使用したアップサイドアップ 形高出力 FET とアップサイドダウン 形高出力 FET の熱抵抗は、後者の方が約2°C/W高い。通常

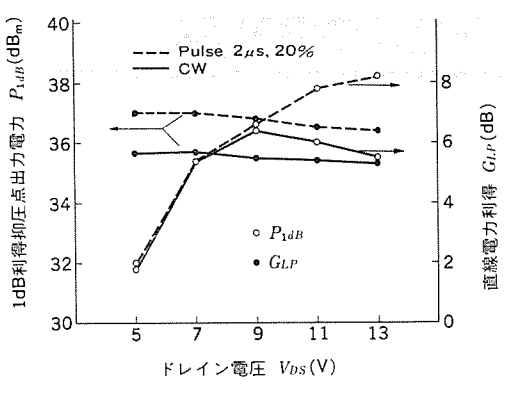


図 5. ァップサイドアップ 形素子の ドレインパルスドライブ ドレイン 電圧特性

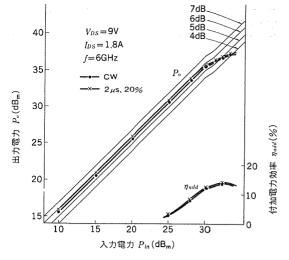


図 6. アップサイドアップ 形素子の ゲートパルスドライブ 方式 P_{in} ー P_o , n_{ada} 特性

パルス 動作時の過渡熱抵抗は定常時の約 1/3 程度が見込まれることから、パルス 動作時に 10°C 以上の温度上昇差が推定される。また、チャネル の発生熱は アップサイドアップ 形の場合 FET の ソース 電極から直接 ヒートシンク に放熱され、アップサイドダウン 形の場合には FET チップ の表面から GaAs 基板を通って ヒートシンク に放熱される。 したがって、アップサイドダウン 形の場合には熱時定数が短く、パルスオフ間のチャネル温度低下の割合が アップサイドアップ 形よりも大きい。 このため、出力電力に差が現れると考えられる。

図 5. に アップサイドアップ 形高出力 FET を ドレインドライブ (パルス 幅 2 μ s, デューティ 20 %) した場合の P_{1dB} , G_L の ドレイン 電圧依存性を CW の場合と比較して示した。図からパルス動作させた場合, G_L は ドレイン電圧によらず約 1 dB の性能向上があった。また P_{1dB} は ドレイン電圧 $5\sim9$ V までは CW とほとんど差がないのに対し, $11\sim13$ V では著しい差が現れる。 パルス 動作では ドレイン電圧が高くなるに 従い出力は増加傾向にある。他方 CW の場合,出力が低下し始め素 子温度の影響が大きく現れていることを示している。これらの傾向は FET 構造には依存していない。 またこの結果は Wade らの報告と類似している (4)。

3.3 パルスドライブ方式の違いによるパルス特性

図 6. に アップサイドアップ 構造を用いた ゲートドライブ による パルス 特性を CW と比較して示した。条件は 3. 2 節で示した ドレインドライブ と比較できるように, 周波数 6 GHz,パルス 幅 2 μ s, デューティ 20 % のパルスを用い,ドレイン 電圧 9 V,ドレイン 電流 1.8 A とした。図 6. から,パルス 動作で G_L 6.0 dB, P_{1dB} 4.8 W と CW の G_L , P_{1dB} よりそれぞれ 0.4 dB,0.2 W 大きくなった程度である。図 3. に示したドレインドライブ の場合に比べ,改善効果は小さい。 これは素子 オフ 時のもれ電流による素子温度上昇によるものと考えられる。今回の測定で,入力に CW 信号を加えた場合,素子 オフ 時に 15~20 dB 減衰された信号が出力されている。

もれ電流の問題は ゲートドライブ を採用する場合,解決すべき重要な問題点の一つであり,素子材料及び構造の検討が必要である。

4. む す び

6 GHz 帯 5 W 高出力 GaAs FET を用いて、素子構造の違い及び パルスドライブ 方式の差による パルス 特性を調べるとともに、CW 特性と比較検討した。結果として、CW 動作と比べ ドレインドライブ 方式 (パ

 μ ス 幅 $2\,\mu$ s, $f_{2}-f_{7}$ 20 %)で利得 $1.6\,\mathrm{dB}$,出力 $3.4\,\mathrm{W}$, 付加電力 効率 $13\,\%$ の向上が認められた。

今回の結果ではアップサイドダウン構造の方がアップサイドアップ構造より大きな改善効果が得られた。ドレインドライブ方式とゲートドライブ方式では、ドイレンドライブの方が改善度が大きかった。 これらの検討結果から、ドレインドライブ方式において高ドレイン電圧を動作させた場合、CW動作よりも出力電力、効率が著しく向上すること、更に素子構造の違いによりパルス特性改善度が異なり、素子熱時定数の小さいものほど改善効果が著しいことがわかった。 このように高出力 Ga As FET をパルス動作させると利得、出力、効率の点で著しく改善されるので、今後レーダ装置など高出力パルス応用装置の分野で団体化促進に重要な役割を果たすことは確実である。

参考文献

- Casima: Phase Characteristics of I-Band Pulse Gate FET Power Amplifiers, IEEE MTT-S p. 147~149 (1978)
- (2) Wisseman: X-Band Power Field Effect Transistor, AFAL
 -TR-78-148 p. 145~155 (1978)
- (3) Wade: Pulsed GaAs FET Operation for high Peak Output Powers, Electronics Letters, Sept. 13 (1979)
- (4) Wade: A 10 Watts X-Band Pulsed GaAs FET, IEEE IS SCC p. 158~159 (1980)
- (5) Temple: Pulsed Fets Yield X-Band Power, MSN p. 39~ 43 (1989)
- (6) Sze: Physics of Semiconductor devices, Wiley p. 109~110 (1969)
- (7) Cohn: Class B Operation of Microwave FETs for Array Module Applications, IEEE MTT-S Digest p. 169~171 (1982)
- (8) 小引ほか:10 GHz 帯内部整合形高出力 GaAs FET, 三菱電機技報, 56, No. 4 (昭 57)

池田洋介*・井上弼文*・金森一憲*

1. まえがき

最近のカーオーディオ においては高性能、高機能化の傾向があり、マイクロコンピュータ(以下、マイコンと称す)の導入によりカーラジオの電子同調化、カーステレオ のソフト 操作化が一般的に普及しつつある。一方、自動車は安定成長期に入り競争が激化し商品性向上のため基本走行性能競争のほかに快適性、安定性を追求するようになり、その手段として エレクトロニクス 化が急速に進行しつつある。また、自動車の ューザー においては自分の個性を主張し、他人との差別化を求める傾向が強い。このような状況の中で自動車 メーカー のライン 装着においてもカーオーディオ への高性能、高機能化要求が強くなっている。

当社は業界に先がけて車載用電子同調式 $h=5\bar{v}$ オ を開発し、三菱自動車工業(株) デボネァ車に搭載されたが、その後、電子同調式 $h=5\bar{v}$ オ の改良を進めてきた結果、車載用受信機としては非常に便利な放送内容自動選局 MASS(Microcomputer Automatic Station Selector)、及び h=1メモリ機能をもった $h=5\bar{v}$ オ RX-240 形を開発し、三菱自動車工業(株) $f=5\bar{v}$ 83 年 モデル に搭載された。本稿ではこの MASS 及び h=1メモリ の機能を中心に製品の概要を紹介する。

2. MASS システム及びオートメモリの開発の背景

マイコン 制御による最近の電子同調 カーラジオ では、走行中に受信局のサービスエリア を外れてきたときの再選局操作の面倒さを改善するために、各種の方策が試みられて製品化されている。例えば、①受信中の電波が弱くなると自動的に他の強い局へ移動する カーラジオ、②受信帯域の受信可能局を数秒間の スポットでスキャン させ、 好みの番組を選択出来るようにしたカーラジオ、③あらかじめ周波数を メモリしておき強い局へ自動的に移動する カーラジオ、 などが市場に出回っている。しかし、①の場合には放送内容に関係なく電波の強弱によってのみ切換わる欠点、②の場合には受信中の電波が弱くなると、その都度 スキャンボタン の操作及び番組の選択操作を必要とする欠点、③の場合にはあらかじめ車の走行予定圏内の受信可能局の周波数を調べ、メモリのインプット作業をしなければならない煩雑さが問題となっている。

これらの不満な点を解決するために、当社では受信中に他局の電界してル及び放送内容を常にチェックし、かつ受信中の局と比較することにより、自動的に受信状態のよい同一放送の他局へ切換えていく MASS システムを開発し、試作評価の結果、実用性が高いことを確認したので、製品化の運びとなった。また、従来の電子同調カーラジオでは選局操作するのに MANUAL UP/DOWN とか SEEK UP/DOWN のボタンによって受信可能局をとらえて受信したり、あるいはメモリイネーグルボタンを押して数個連ねたプリセットチャンネルボタンにあらかじめ個々にメモリしておき、希望する放送局のチャンネルボタンを押して受信する方式をとっている。これは旧来からの機械式チューナーと基本的に同じで、ただ電子化しソフトタッチしただけに過ぎないといえる。このようにまだマイコンの真価が十分発揮しえない点

に着眼し、MASS システム とともに オートメモリ 機能の開発を行い製品の導入を実施した。

3. MASS システムの概要

3.1 機能

我が国における電波事情は NHK の FM 放送, AM の第1, 第2 放送及び一部の民間放送が同一 ネットワーク で放送している。 このように同一の プログラム 内容で放送している局が,互いに一部に共通のサービスエリア を持っているような地域を車で走行するとき,この MA SS システム によって同じ番組を中断なく, かつ常に最良な受信状態で聴き続けることが可能となった。言い換えれば従来の カーラジオでは,1回の操作で1局分の サービスエリア しか選局出来なかったものが,数局のサービスエリア をまとめて選局出来るようになったといえる。

同一内容の サービスエリア が クロス しないで互いに孤立して存在する場合には、 受信中の局が全く受信不可能になった後に次の サービスエリア に入るため、 放送内容の同時比較が出来なくなり内容判別不能状態に陥ることになる。この問題を解消するために、FM の場合、受信中の局が受信不可能になると自動的に内容判別を中断し、電界レベル判定のみで他局を探し出し切換える方式をとった。これらの様子を図 1. に示す。

3.2 構成

ある局を受信中に他局情報を キャッチ するには、2 台の チューナー を使

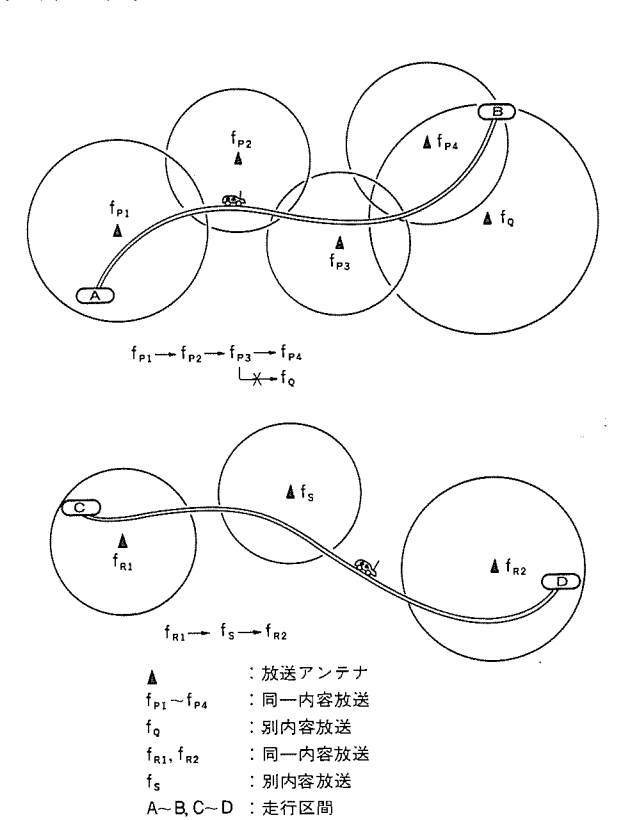


図 1. 走行区間と放送局配置例 (FM 局)

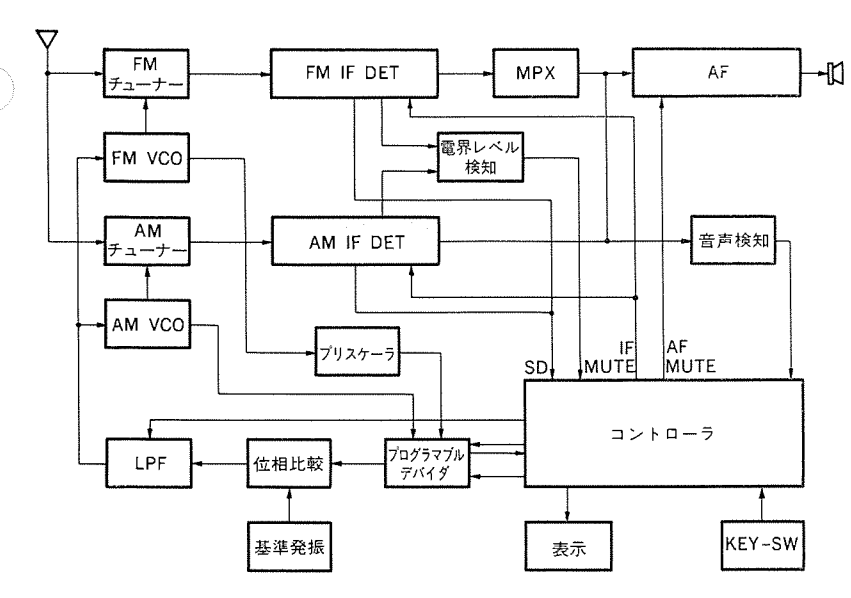


図 2. ブロックダイヤグラム(ラジオ 部)

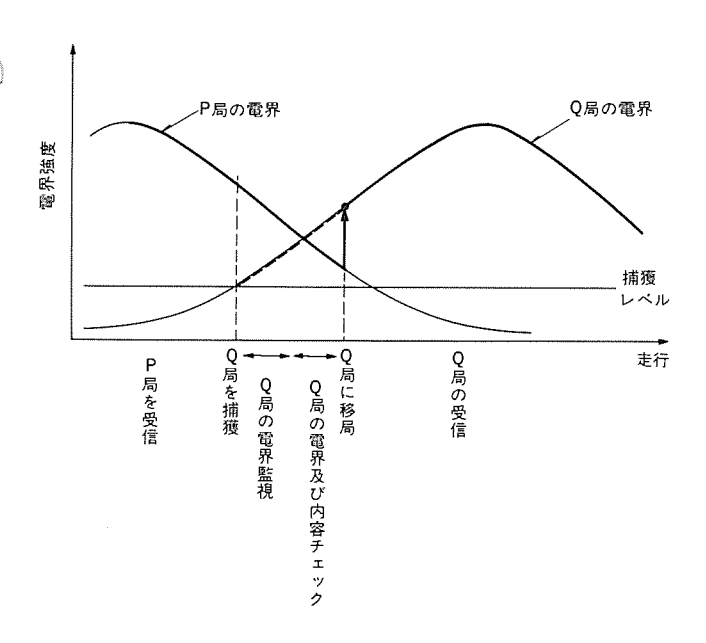


図 3. MASS システム 移局模式図

って一方を受信専用,他方を他局の E=g= 専用とするのが最も簡単で実現しやすい。しかしての方法は F=f=2 台分の f=f=2 を必要とするのと当然 f=f=2 も割高となり不利である。 そこで当社では図 2. の MASS f=f=2 の 機能をもたせるため時分割処理により短時間に他局の情報を f=f=f=f=2 の f=f=f=2 の f=f=2 の f=f=2

3.3 動作

3.3.1 動作原理

走行中、聴き続けたい番組の放送局があるとき、まずその局を受信 し MASS ボタンを押すと、バンド内を1回 サーチ してその地点での受 信可能局を一挙に メモリ に蓄えた後、MASS 動作を開始する。MA

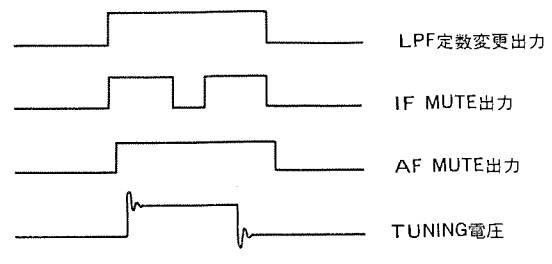


図 4. MASS 動作他局 チェック 時の タイミング

SS 動作中は、自局を受信中に逐次メモリ内の各局を時分割処理でサンプリングして呼び出し、電界レベルと音声パターンについて自局との比較チェックを行う。自局よりも電界レベルが強く、しかも同一内容と判定すると、その局へ受信局の切換えが実行される。メモリに蓄えられた局がすべて自局よりも電界レベルが弱いか、又は電界レベルが強くても内容が違うと

判断した場合には、 改めて バンド内から新しい受信可能局がないかどうか探索する。もし受信可能局があれば、メモリ に蓄え込むか若しくは弱くなった元の メモリ 局と入れ替えて、メモリ 内容の更新をし再び自局との比較 チェック を繰返す。

とのようにして他局 $f_{x=y,0}$ を続行しながら、常に同一内容の最良 受信局へ自動的に切換えて行くようにしたのがとの MASS $f_{0,0}$ の基本的な動作原理である。図 3. にMASS $f_{0,0}$ の移局模式図を示す。

3. 3. 2 時分割処理

ワンチューナーシステム、すなわち 1 系統の受信回路で、ある局を受信しながら他局の状態を確認するためには、時分割処理方式をとらざるをえない。しかも、本来の受信品質を劣化させないようできるだけ短時間に他局の 5 チェック処理をすませる必要がある。この時分割処理技術が本機開発の最大の重要ポイントといえよう。 この システム を実現するに当たって、①PLL の引込み応答時間の短縮、②他局 5 チェック時間の短縮、③他局 5 チェック時・瞬時に正確な情報の補獲、④音切れ異和感の軽減、⑤強電界局への 5 スムーズ な移行、等々幾多の改良検討を必要とした。しかし、この MASS システム の前身となる当社の M TS (Microcomputer Tuning System) を製品化した時点で時分割処理の基礎技術は確立しており、今回はその技術を応用発展させたものである。

PLL の応答時間の短縮には、TWO-MODULUS PRESCALER を用いた パルススワロー 方式を採用し、更に 2 モードの LOW-PASS ループフィルター を用い マイコン からの定数変更出力により、 サーチ 中 ループ 定数を切換えて処理速度を早めている。チェック 時の異音の軽減には IF MUTE と AF MUTE が重要な役割りを果たしている。図 4. に他局 チェック 時の タイミング を示す。

3.3.3 電界レベル及び音声検知

走行中に電界変動の比較的激しい FM 放送では、瞬時に判定した電界 レベル はあまりあてにできない。 このような条件下で自局と他局の電界比較を行うと、自局よりも受信状態の悪い局へ移局してしまう場合も考えられる。そのため、このような判定 ミス をさけるため、一定期間の平均的な受信状態を把握し相互比較をする必要がある。

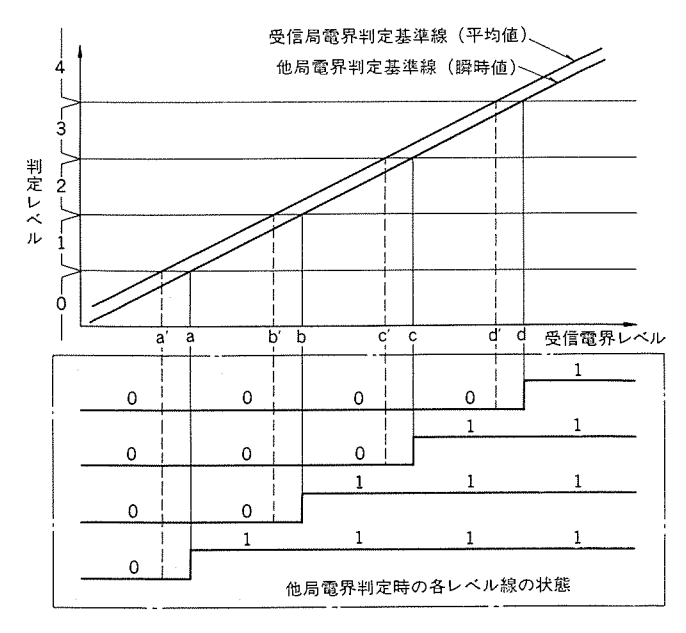


図 5. 受信電界レベル対判定レベルの関係

状態を読取り、これを平均化して電界レベルを判定し、他局の場合には時分割動作による時間的制約のため瞬時電界レベルによらざるをえないが、許容される最大の時定数回路で平均化された瞬時レベルで判定している。 更に、他局の電界判定レベルを自局の電界判定レベルを自局の電界判定レベルに対し相対的に高くとることにより、自局の受信状態より悪い局への切換えがおこることを防いでいる。この様子を図 5. に示す。実際には上記の確認を複数回行い、内容判別とともに所定の総合判定要件を満たしたときに受信局の切換えを実行するようにしている。

内容判別は、音声検知回路により自局及び他局の音声に含まれるパターンを サンプリング して、 マイコン で認識比較を行い同一内容か否かを判定させている。 なお、自局の電界 レベル が十分強い場合には、他局に切換える必要性が低く、逆に自局の電界 レベル が弱く なると、早く受信状態のよい他局へ移局させる必要性が高まることから、自局の電界 レベル に相応して他局 チェック の頻度を変えている。

4. オートメモリ機能の概要

との オートメモリ 機能は、 ワンタッチ の ボタン 操作で短時間に バンド 内をサーチ して受信 レベル の高い ものから最大 5 局自動的に メモリ する もので、最初に受信される局はとの メモリ 中最高 レベル 局である。 これらの局は CHANGE ボタン で順次呼び出すことができる。 この オートメモリ 機能は、 自分の生活圏内での選局操作はもちろんのこと、特に全く知らない地域での選局操作が大幅に簡便化されたといえる。 また、同一内容局が複数局 オートメモリ された場合、 強い局から順に メモリ されているため最良受信局が容易に選択出来る メリット がある。 次に アルゴリズム の詳細について述べる。

- (1) メモリエリア に最初検出感度 レベル 1 で サーチ を始め、レベル 1 以上 の局をすべて検出 レベル とともに メモリ していく。
- (2) $_{
 m y=y=y}$ が満杯になると, そこからは検出感度を $_{
 m U}$ $_{
 m L}$ $_{
 m$

- (4) バンドエッジ に達するか、メモリ 内の局がすべて 4 レベル の局になるかすると サーチ を終了する。
- (5) 次に、オートメモリ局の メモリェリア に高い レベル 局から順に 5 局選んで転送する。

5. 新製品 RX-240 SY 形の概略仕様

マイコン 集中制御による AM/EM-MPX 電子 同調 ラジオ 部と オートリ バース 式 カセットデッキ 部とを一体化 した一体形 <math>n-Aテレオ で、外観は 図 6. に仕様は表 1. に示す。

主な特長としては次のものがあげられる。

- (1) 同一放送の他局を自動選局する MASS 機能
- (2) AM・FM 各々最大 5 局 ワンタッチ で オートメモリ し CHANGE ボタン で順次呼び出す機能
- (3) プリセットチャンネルアドレスインジケータ付プリセットメモリボタン
- (4) ワンタッチマニュアル 選局 (UP, DOWN), ワンタッチ 自動選局 (UP, DOWN)
- (5) 高輝度緑色蛍光表示管による見やすい ディジタル 周波数表示
- (6) ワンレバー 操作式 オートリバースカセットデッキ
- (7) 透過照明による夜間 イルミネーションパネル
- 図 7. に内部の構成図を示す。

AM・FM 両受信回路部分とその コントロール 部分が、MASS システム を構成する中心部分をなす。本機で採用した主な回路方式は次のものがあげられる。

- (1) 基準発振に水晶を用いた PLL シンセサイザ 方式に よる ディジタルチューニング 式 スーパーヘテロダイン
- (2) マイコン 制御による MASS, AUTO-MEM, CHANGE, MA NUAL UP/DOWN, AUTO UP/DOWN, FM/AM, MEM, CH1, CH2, CH3の モーメンタリ KEY-SW 方式

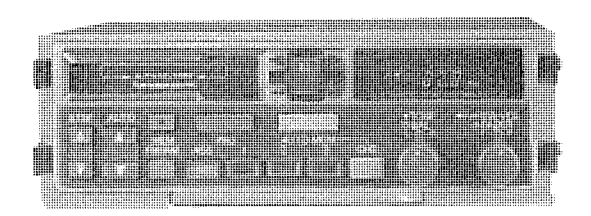


図 6. MASS 付 カーラジオ RX-240 SY 形の外観

表 1. カーラジオ RX-240 形定格表

項	固	住
	AM 受信周波数 (kHz) 実用感度 (dBμ)	522~1,611 30 以下
1. ラジオ部	受信周波数 (MHz) 実用 感 度 (dBµ) 分 離 度 (dB)	
2. デッキ部	再 生 方 式 テープスピード (cm/s) ワウフラッター (%)	4トラック 2 プログラム 2 チャンネルス テレオ再生方式 4.76 0.15 (JIS Wrms)
3. 総 合	適合負荷インピーダンス 出 力 電源電圧 (V) 消費電流 外形寸法 (mm) 重量 (kg)	0.9 A 以下 (1 W 出力時), 10 mA 以下 (バックアップ)
4. リモコン部	操作機能	POWER ON/OFF, FM/AM, VOL. AUTO-MEM, CHANGE

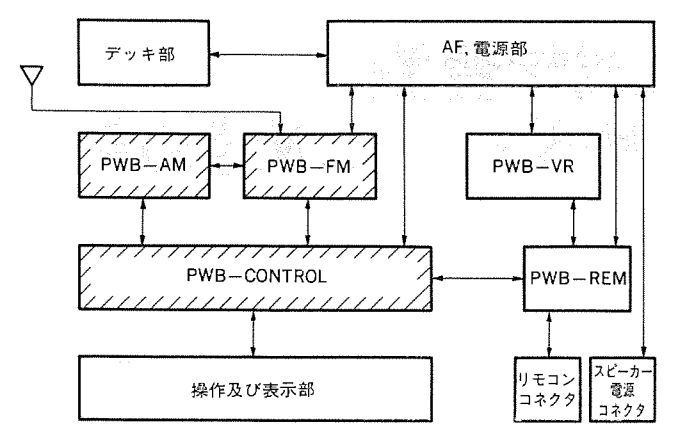


図 7. 構 成 図

- (3) ディジタル 周波数表示の ダイナミック 点灯方式
- (4) PLL の応答を早めるために TWO-MODULUS PRESCAL ER を用いた パルススワロー 方式
- (5) FM QUADRATURE 検波方式
- (6) PLL 方式 FM ステレオ 復調方式
- (7) 外来雑音を抑制する FM ノイズキラー 回路
- (8) マルチパス による影響を軽減する SRC 方式

6. 走行試験結果

主として MASS 及び t_{-1} の機能確認のため、本試作機を t_{7} ランシグマ に装着し、 名神高速及び東名高速並びにその周辺において 走行試験を行った結果、主な内容を紹介する。

(1) AM 性能

一例として、民放で東海地方を キットワーク している静岡放送の電波と地域の関係を図 8. に示す。 この地域を MASS 動作で走行した場合、御殿場 (1,404 kHz) から浜松 (1,404 kHz) まで沿線の放送局を順次受信でき、実質上、静岡放送の サービスエリア が拡大した感を受ける。複数局の サービスエリア が重なる地域においては、地形によって電界強度が変動し受信周波数が度々変わる ケース もあるが、 放送内容が同じであるため使用者に違和感を与えない。 NHK 第1、第2 放送においても全国各地で同様の利用が可能である。 夜間の受信でビートが混入する場合、内容判別が甘くなる点は今後の改良点として検討が必要である。

(2) FM 性能

東京、大阪間は NHK FM によって大略 $_{+\eta}$ トワーク されている。 これらの局は、一部の $_{D-JJL}$ 放送の時間帯を除いて同一放送内容である。大阪にて NHK FM $_{88.1}$ MHz を受信し、 MASS 動作にて東

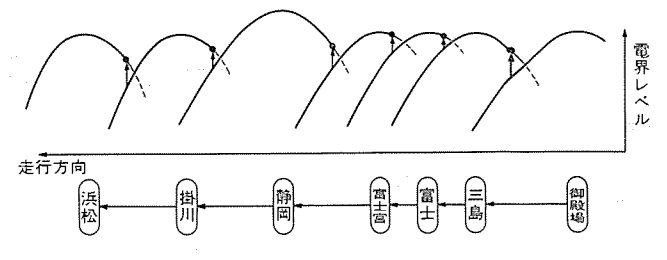


図 8. 走行 テスト における移局状況 (AM)

京までの受信状態を試験した。従来のカーラジオは、頻繁に手動で選局する必要があるのに対し、このカーラジオでは、ほとんど再選局操作なしで NHK FM を受信できる。ただし、東京、大阪間の高速道路上での電界は、一部で非常に弱い地域があり、継続受信できない場合もあった。AMと同様に、地域によっては受信周波数が度々変化するが、同一内容を受信するため実用上問題ない。

(3) その他

実用感度,選択度,耐雑音性などの基本性能において従来のカーラジオと差がないことが確認された。ワンチューナー 方式による MASS 機能は,この走行試験において特に大きな不具合点はなく,一般ユーザーに受け入れられる性能であった。トンネル内及びトンネル前後において電波状態が多様に変わるため,切換えるチャンスが多くなる現象が見られたが,この機能が確実に機能していることを示している。

以上のように弱電界地域での例外的な動作を除き、大勢的には移局動作が行われ、長距離走行時の実用性が高いことが実証された。また オートメモリ については、 不案内な土地での選局に非常に威力を発揮することがわかった。MASS と オートメモリ の 2 機能を使うことにより運転中の カーラジオ の操作性が改善され、安全性にも寄与するものと思われる。

7. む す び

以上,この機種の特長を MASS の機能中心に述べた。 今後 カーオーディオ においては,このような新機能開発の競争が激化すると予想されるが,当社においても, この機能の改良とともに コストの低減及び海外向けへの展開に鋭意取り組んでいる。

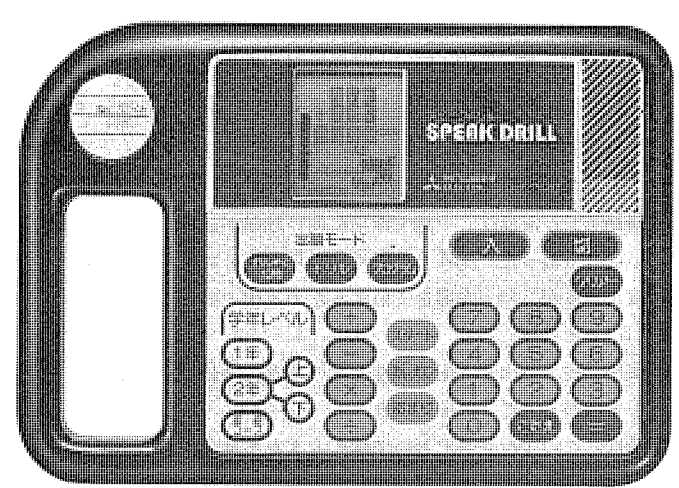
最後にこの開発にあたって、三菱自動車工業(株)乗用車技術 センタ - の関係者各位から絶大な御助力をいただいたことに感謝の意を表する。

参考文献

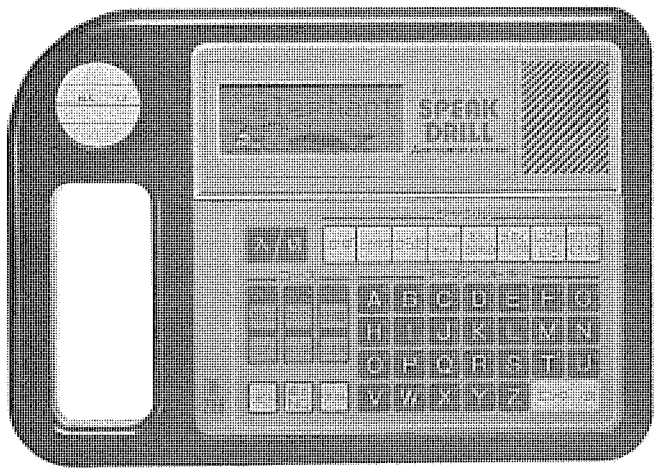
(1) 平田ほか:カーラジオ における受信局自動切換 システム, 三菱電 機技報, 55, No. 7 (昭 56)



三菱音声合成学習機 《さんすうめきめき》《えいごめきめき》



《さんすうめきめき》



《えいごめきめき》

《えいごめきめき》TM-21EW・21EK仕様

音声合成方式	分析合成方式
表 示 装 置	液品 (有効表示部 73(W)×29(H)mm)
双小	ドットマトリックス表示部 ドット数7×5×8ドット
使用半導体	LSI4 個使用(マイクロコンピュータ・液晶ドライバー 音声シンセサイザー、音声ROM(128Kピット))
スピーカー	5.0cm丸形スピーカー8Ω
動作周囲温度	0~40°C
電源	直流6V(単2乾電池4個使用)、ACアダプター(別売)
電池寿命	連続18時間(三菱乾電池バイタル使用時)
电化为中	連続36時間(三菱アルカリ乾電池使用時)
外 形 寸 法	258(幅)×182(奥行)×36.5(厚さ)mm
重 量	約 700g (乾電池を含む)
出力ジャック	イヤホーンジャック (8Ωイヤホーン)
付 属 品	単2乾電池4本、テキスト用絵本1冊
79 <i>89</i> 4 DO	単語マスクカード 1 枚、取扱説明書
別売部品	ACアダプター (AA-61形)
入 力 部	フラットスイッチ (メンブレムスイッチ)・(46キー)
学習内容	アルファベット、たんご、プログラム
表示内容	アルファベット(大文字、小文字)、単語(最大8文字)、数字
収録単語数	た ん ごコース用 80単語 (音声アリ)
化林华苗蚁	プログラムコース用 80単語 (音声ナシ)
ジャンル選択	8 ジャンル (かず、どうぶつ、からだ、くだもの/やさい、おかし/のみもの かぞく/いえのもの、しぜん/いろ、のりもの/もちもの 各ジャンル10単語
問題プログラム能力	最大10間 (プログラム用 80単語中から選定)
リピート機能	単語の発音を繰り返し聞くことが可能(マスター、ドリル時リピートキーによる。)
絵の Na 表示	マスター時、絵のNo. キーを押すことにより絵本のNo. が液晶上に表示される。
オートパワーオフ	約5分

三菱電機では、このたび三菱音声合成学習機として《さんすうめきめき》に新たに《えいごめきめき》を加え、シリーズ化を図りました。

対象は、幼児から小学生全般であり、音声合成LSI、ワイド 液晶画面の採用により、楽しく興味を持って学習できること が考慮されています。本格的学習の基調として、反復学習、 解法の過程の理解、不得意内容などを集中学習できる機能を 盛りこんでありますから、着実に学習効果を上げることがで きるよう配慮されています。

特長

●算数学習機《さんすうめきめき》

出題モードとして連続10間(問題の連続10間出題)、ドリル(約3分間の時間内に速く解く練習)、プログラム(母親などが子供の苦手な問題をプログラムし弱点を征服する)、この3つのモードを備えていて、業界で初めての筆算方式を採用しています。更に、2桁までの加減算については、解き方のステップ(繰り上がり、繰り下がり)が表示できます。前記の特長のほか、学年レベル(1年、2年、進級)の選択により、各学年の教科書の学習レベルに合致した学習ができます。反復学習により小学生の基礎計算力の向上を図ることもできます。

●英語学習機《えいごめきめき》

学習コースとしてアルファベット(アルファベットの書き方と発音をマスター)、たんご(英単語のスペルと、発音の学習)、プログラム(母親などによる単語出題機能)の3つのコースを備え、絵本とともに楽しく学習できるように工夫されています。絵と発音とスペル表示との立体的な学習で、英語のリズムを肌で感じることができます。アルファベットコースは「ABCの歌」のメロディに合わせて発音を練習する機能をもっています。たんごコースでは、リピート機能を用いて、子供達に親しみやすい英単語(80語)の発音及びスペルを学習できます。更に、ドリルによる英単語のヒヤリング、スペルのテスト機能により理解力を判断できます。収録単語は、たんごコースの80語(発音有)とプログラムコース80語(発音無)の計160語が収録してあります。

《さんすうめきめき》TM-11MB・11MR仕様

音声合成方式	分析合成方式
表 示 装置	液晶(有効表示部 41×48.5mm) 筆算方式(3段)
使用半導体	LSI 3個使用 (液晶ドライバー付マイクロコンピュータ、 音声シンセサイザー、音声ROM(128Kビット)
スピーカー	4.5cm 丸形スピーカー 8 Ω
動作周囲温度	0 ~40°C
電 源	直流 6 V(単 2 乾電池 4 個使用)ACアダプター(別売)
電 池 寿 命	連続22時間(三菱乾電池バイタル使用時) 連続45時間(三菱アルカリ乾電池使用時)
外 形 寸 法	258(輻)×182(奥行)×36.5(厚さ)mm
重 量	約 700g (乾電池を含む)
出力ジャック	イヤホーンジャック (8Ωイヤホーン)
付 属 品	単2乾電池4本 点数シール2枚 取扱説明書
別 売 部 品	ACアダプター (AA-61形)
入 力 部	フラットスイッチ (メンブレンスイッチ) (30キー)
可能演算	四則(+、-、×、÷)
出. 題 桁 数	最大桁 加算 3 桁 + 3 桁 東第 1 桁×1 桁 破算 3 桁 - 3 桁 除算 3 桁÷1 桁
問題プログラム能力	加算 3 桁+ 3 桁 乗算 3 桁×1 桁 最大 5 間 最大桁数 加算 3 桁+ 3 桁 乗算 2 桁×2 桁
モード選択	3モード(れんぞく10間、プログラム、ドリル)
学年レベル選択	1年、2年上、2年下、進級コース
解法の表示	2 桁以下の加減算においては、筆算方式による 1 ステップごとの解法表示あり。
オートパワーオフ	約5分
	1

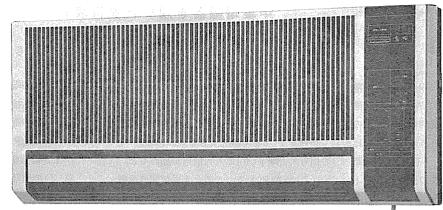


《エレドラヒーポン霧ヶ峰》 MSHEシリーズ

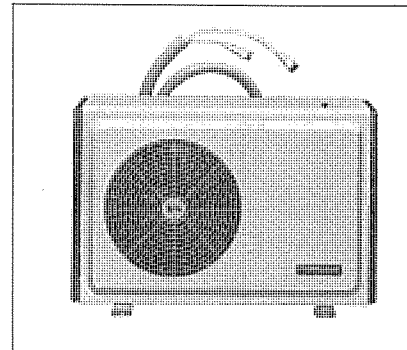
三菱電機では、このたび新除湿方式エレクトロニクスドライメカを搭載した壁掛形暖房エアコンを新発売しました。この《エレドラヒーポン霧ヶ峰》は、冷房・暖房機能にエレクトロニクスドライメカによる新除湿方式を付加し、梅雨時などの除湿にも大きな効果を発揮します。

エレクトロニクスドライメカとは、従来のドライタイプルームエアコンのようなドライ運転のための冷媒回路を持たず、エレクトロニクスにより送風機と圧縮機の制御を行ない、除湿を可能にしたものです。

また、《エレドラヒーポン霧ヶ峰》MSHEシリーズでは、ユーザ個性化時代のインテリアに対応したカラータイプも発売。本体パネルは木目、マーブルホワイト、ワインレッドとインテリアに合わせ選ぶことができます。



MSHE-2520R-RW形



MSHE-2520R-RW形(室内側)

特長

エレクトロニクスドライメカのほかにも、省スペース、省エネルギー、快適性向上について数々の特長を持っています。

- ●冷房・暖房・除湿の多目的な用途に使用できます 冬・梅雨・夏・秋と、10ヶ月間使用できます。
- ●省スペース

室内ユニット12.9cm、室外ユニット25cmのうす形ユニットです。

●経済性と快適性の両立

マイコン省エネ機能として室内表示《グリーンサイン》、節約冷 房を行なう《ドライシフト回路》、低温時の暖房能力を強化した 《ホットアップ回路》などの機能が付加されています。

●高暖房能力

ヒータレスで3,300/3,700kcal/h (50/60Hz) の暖房能力を出すことができます。 (外気7℃時) また、MSHE-2019R、MSHE-

2520R・Sタイプはサブヒータを備え3,650/4,050kcal/h(50/60Hz)の暖房能力を出すことができます。 (外気7℃時)

❷サービス性

マイコン自己診断機能により、サービス時にスイッチひとつでチェックができます。

標準仕様

(50/60Hz)

								電 気	特	性:										
形 名 〈室外ユニット〉	暖房能力 〈kcal/h〉	冷房能力 〈kcal/h〉	電 源 ⟨V⟩	サブヒータ 〈W〉	消費		金(ic 流 A>	力 (5	字 %>	始動電流 〈A〉	圧縮機 出 力		度出力 Nン	騒音値		製品 (k		電 源 接続方法	コンセント 定 格 (ブレーカー) 容
					暖房	冷房	暖房	冷房	暖房	冷房		(1)/	内	外	内	外	内	外		\ (F 30.)
MSHE-2020R <muhe-2020r></muhe-2020r>	2,650/3,150	1,800/2,000	単相100	-	820/990	795/960	9.1/10.0	8.8/9.7	90/99	90/99	44/41	750	14	17	40/43	45/46	10	35	端子台	125V 20A
MSHE-2019R <muhe-2019r></muhe-2019r>	3,000/3,500	1,800/2,000	単相100	405	1,225/1,395	795/960	13.6/14.1	8.8/9.7	90/99	90/99	44/41	750	14	17	40/43	45/46	10	35	端子台	125V 20A
MSHE-2520R (MUHE-2520R)	3,300/3,700	2,240/2,500	単相100	-	1,065/1,260	960/1,145	11.8/12.7	10.7/11.9	90/99	90/96	44/40	800	14	17	40/43	45/46	10	39	端子台	125V 20A
MSHE-2520S (MUHE-2520S)	3,300/3,700	2,240/2,500	単相200	-	1,065/1,260	960/1,145	5.9/6.4	5.3/5.8	90/99	90/99	33/31	800	14	17	40/43	45/46	10	37	端子台	250 V 20 A
MSHE-2520RT <muhe-2520rt></muhe-2520rt>	3,300/3,700	2,240/2,500	室内単相100 室外三相200		内40/50 外1,025/1,210	内40/50 外920/1.095	内0.4/0.5 外3.3/3.5		内100/100 内90/99	内100/100 外91/99	25/23	800	14	17	40/43	45/46	10	37	内 ① 外端子台	125V15A
MSHE-2519R <muhe-2519r></muhe-2519r>		2,240/2,500		405	1,470/1,665		15.9/16.8		92/99	90/96	44/40	800	14	17	40/43	45/46	10	39	端子台	125V 20A
MSHE-2519S (MUHE-2519S)	3,650/4,050	2,240/2,500	単相200	405	1,470/1,665	960/1,145	8.2/8.4	5.3/5.8	90/99	91/99	33/31	800	14	17	40/43	45/46	10	37	端子台	125 V 20 A
MSHE-2819R (MUHE-2819R)	4,150/4,550	2.500/2,800	単相100	980	1,995/2,200	1,090/1,370	21.1/22.2	12.1/14.3	95/99	90/96	44/40	800	18	17	42/45	45/46	10	39	端子台	125V 30 A
MSHE-2819S <muhe-2819s></muhe-2819s>	4,150/4,550	2,500/2,800	単相200	980	1,995/2,200	1,090/1,370	10.8/11.1	6.05/6.9	92/99	90/99	33/31	800	18	17	42/45	45/46	10	38	端子台	250 V 20 A

特許と新案有償開放



有償開放についてのお問合せ先 三菱電機株式会社 特許部 TEL (03) 218-2136

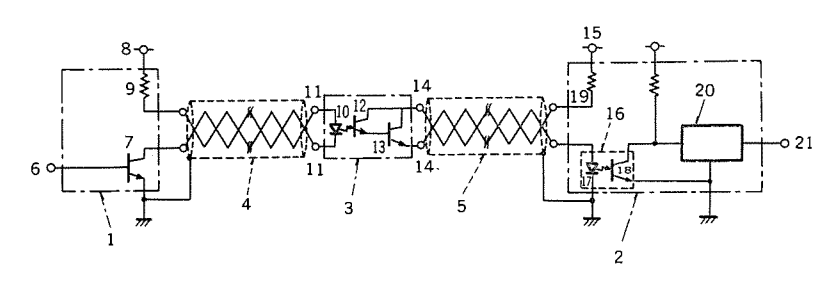
中継増幅器を用いた通信装置 (実用新案第1378342号)

考案者 仁田周一・菱沼 進

この考案は遠距離間の通信を行うため中継増幅器を用いた装置に関するもので、特徴は光電結合素子を中継増幅器に用いることにより送信側、受信側の電源を利用し、中継増幅器の電源を不要にするとともに雑音除去比が高く高周波 ノイズをも除去できる点にある。

ラインドライバ 回路(1)の信号入力端子(6)に入力信号が加わると, との回路の出力トランジスタ(7)は飽和する。とのとき送信側直流電 源(8)より入力制限抵抗(9),送電線路(4),中継増幅器(3)の入 力端子(11)を介して発光素子(10)に信号電流が流れ,信号電流が光 電変換され受光素子(12)に伝達される。との受光素子(12)の出力電 流が増幅され,出力トランジスタ(13)を導通させる。従って中継増幅器 (3)の出力端子(14)が短絡状態となり、受信側直流電源(15)から入力制限用抵抗(19)及び伝送路(5)を介して発光素子(17)に電流が流れる。この電流が光電変換され受光素子(18)に伝達されると受光素子(18)は飽和し、波形整形回路(20)に入力信号が加わる。この信号レベルが波形整形回路(20)の閾値を越えることによりラインレシーバ回路(2)の信号出力端子(21)に出力信号が得られる。

上記のようにとの考案の通信装置は中継増幅器用の電源を必要ともせず、 また光電結合素子により雑音絶縁性及び高周波 ノイズ の除去効果が高いものである。



〈次号予告〉 三菱電機技報 Vol. 57 No. 5 圧縮機と冷熱制御特集

特集論文

- ●低温用半密閉形圧縮機の新シリーズ
- ●ツインロータリ式カーエアコンシステム
- ●低温用ロータリ圧縮機 RL(Z) 形
- ●冷凍機の運転制御
- ❷冷凍・冷蔵ショーケースシステムの省エネルギー制御
- ●パッケージエアコン《Mr. SLIM》の自己診断機能

普通論文

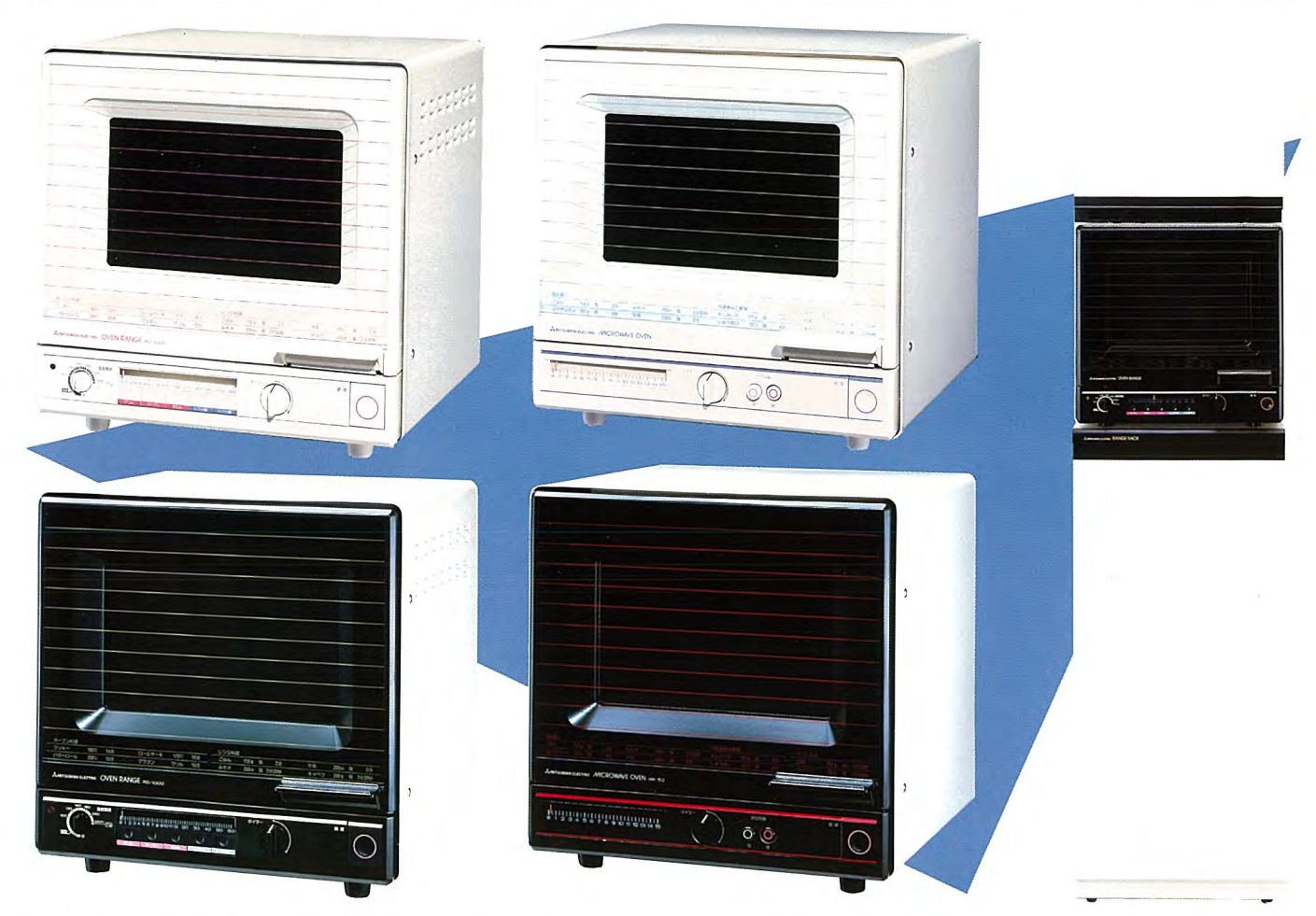
- ●50 kW りん酸形燃料電池発電システム
- ●発電プラント運転訓練用シミュレータの最近の動向
- ●四国電力(株)本川発電所納め総合監視システム
- ●水力発電所ディジタル保護継電装置 (HDPS)
- ●分散処理システムのハードウェア,ソフトウェア
- ●海洋観測衛星1号搭載用マイクロ波放射計
- ❸トランジスタモータ
- ●高速大容量 64 K ビットマスク ROM

三菱電機技報編集	集委員			三菱電視	数技報	57巻4	罗
委員長	志岐守哉	委 員	野村兼八郎				
副委員長	岸本駿二	"	山 内 敦		ادا سنا مدا	s se adada 1	昭和 58 年 4 月 22 日 印刷
"	三浦 宏	"	柳下昌平	(無	町転車	を禁す	昭和58年4月25日 発行
委 員	峯 松 雅 登	"	櫻 井 浩				
"	翠川 祐	"	徳 山 長	編集	乗発	行人	諸 住 康 平
"	佐藤文彦	"	柴山恭一	Ep	刷	所	東京都新宿区市谷加賀町1丁目12番地
"	大年倉像	"	町野康男				大日本印刷株式会社
"	井 上 通	"	荒野 喆 也	発	行	所	東京都千代田区丸の内2丁目1番2号 (〒 100)
. "	立川清兵衛	"	瀬辺国昭				菱電エンジニアリング株式会社内
"	吉田太郎	"	倉橋浩一郎				「三菱電機技報社」Tel. (03) 218 局 2 0 4 5
,,	野畑昭夫	"	小 原 英 一	発	売	元	東京都千代田区神田錦町3丁目1番地 (〒 101)
, ,	田中克介	"	尾形善弘				株式会社 オーム社
"	的 場 徹	幹事	諸住康平				Tel. (03) 233 局 0643 (代), 振替口座東京 6-20018
		4 号特集担当	的 場 徹	定		価	1 部 500 円送料別(年間予約は送料共 6,700 円)
1				1			



55%ものスペースセーブ、横幅40cmのコンパクトサイズ

三菱オーブンレンジ RO-1000派 電子レンジ RR-50形



狭い台所などで、電子レンジの置き場所の悩みを解決するため、このたび三菱電機では、幅40cm、高さ40cmのオーブンレンジRO-1000形と、同サイズの電子レンジ単機能タイプRR-50形を発売しました。また、オーブンレンジの上部、下部の空間を有効に利用するために、専用の置台RC-30形も同時に発売しました。幅40cmは業界で最も小さく、設置に必要なスペース(排気のための空間を含めたスペース)は、当社従来品に比べ55%も縮減されています。

特長

●「タテ形」で幅40cmを実現

従来、電子レンジの操作部は本体の右側にありましたが、これを下部にもってくることにより、幅40cmを実現しました。マグネトロン、トランスなどの主要部品はオーブン室の下に入り、マイクロ波は導波管を通ってオーブン室の左横から出る構造になっています。

●庫内は従来品とほぼ同じ大きさ

外形寸法はぐっと小さくなりましたが、庫内の有効寸法は、従来のオーブンレンジとほぼ同じです。大きなデコレーションケーキもゆったり焼け、2合徳利でのお酒のカンも簡単です。

●テレビのようなデザイン、リビングにもピッタリ

ドア部分は全面にガラスを採用。高級感あふれるデザインとしま した。特に再加熱に力を発揮する電子レンジ単機能タイプは、キ ッチンを離れた新しい生活スタイルを提案します。

●1台で6種類の機能切り換え(RO-1000形)

レンジ強…温め直し、酒のカンなどのスピード加熱に。 レンジ弱…冷凍食品の解凍に。

オーブン…お菓子やパン作りに。ローストチキンなどの肉料理に。 グリル…1000Wの上ヒーターで焼魚やグラタンを。

煮込み…400Wの下ヒーターでシチューなどをじっくり。

発酵……庫内を37℃に保ち、イースト発酵を。 ●ヒーター着脱可、庫内の掃除が簡単です。(RO-1000形)

標準仕様

		RO-1000形	RR-50形						
電	消費電力	950W	930W						
電子レンジ	高周波出力	500W/200W相当切換式	500W/200W相当切換式						
2	周波数	2,450MHz	2,450MHz						
	消費電力	1,030W							
オーブン	ヒーター 切 換	グリル オープン 煮込み 上セーター 1000W 500W 0 Fヒーター 0 400W 400W							
	温度調節	発酵(37℃)~250℃・グリル							
寸	外 形	幅400×奥行370×高さ400mm	幅400×奥行347×高さ400mm						
法	庫内有効	幅280×奥行310×高さ180mm	幅300×奥行310×高さ210mm						
I	量	23kg	19kg						
色	調	ブラックブラウン クリスタルホワイト	ブラックブラウン クリスタルホワイト						